



IEC 62305-4

Edition 2.0 2010-12

# INTERNATIONAL STANDARD

## NORME INTERNATIONALE

**Protection against lightning –  
Part 4: Electrical and electronic systems within structures**

**Protection contre la foudre –  
Partie 4: Réseaux de puissance et de communication dans les structures**

IECNORM.COM : Click to view the full PDF of IEC 62305-4:2010





## THIS PUBLICATION IS COPYRIGHT PROTECTED

Copyright © 2010 IEC, Geneva, Switzerland

All rights reserved. Unless otherwise specified, no part of this publication may be reproduced or utilized in any form or by any means, electronic or mechanical, including photocopying and microfilm, without permission in writing from either IEC or IEC's member National Committee in the country of the requester.

If you have any questions about IEC copyright or have an enquiry about obtaining additional rights to this publication, please contact the address below or your local IEC member National Committee for further information.

Droits de reproduction réservés. Sauf indication contraire, aucune partie de cette publication ne peut être reproduite ni utilisée sous quelque forme que ce soit et par aucun procédé, électronique ou mécanique, y compris la photocopie et les microfilms, sans l'accord écrit de la CEI ou du Comité national de la CEI du pays du demandeur.

Si vous avez des questions sur le copyright de la CEI ou si vous désirez obtenir des droits supplémentaires sur cette publication, utilisez les coordonnées ci-après ou contactez le Comité national de la CEI de votre pays de résidence.

IEC Central Office  
3, rue de Varembé  
CH-1211 Geneva 20  
Switzerland

Tel.: +41 22 919 02 11  
Fax: +41 22 919 03 00  
[info@iec.ch](mailto:info@iec.ch)  
[www.iec.ch](http://www.iec.ch)

### About the IEC

The International Electrotechnical Commission (IEC) is the leading global organization that prepares and publishes International Standards for all electrical, electronic and related technologies.

### About IEC publications

The technical content of IEC publications is kept under constant review by the IEC. Please make sure that you have the latest edition, a corrigenda or an amendment might have been published.

#### Useful links:

IEC publications search - [www.iec.ch/searchpub](http://www.iec.ch/searchpub)

The advanced search enables you to find IEC publications by a variety of criteria (reference number, text, technical committee,...).

It also gives information on projects, replaced and withdrawn publications.

IEC Just Published - [webstore.iec.ch/justpublished](http://webstore.iec.ch/justpublished)

Stay up to date on all new IEC publications. Just Published details all new publications released. Available on-line and also once a month by email.

Electropedia - [www.electropedia.org](http://www.electropedia.org)

The world's leading online dictionary of electronic and electrical terms containing more than 30 000 terms and definitions in English and French, with equivalent terms in additional languages. Also known as the International Electrotechnical Vocabulary (IEV) on-line.

Customer Service Centre - [webstore.iec.ch/csc](http://webstore.iec.ch/csc)

If you wish to give us your feedback on this publication or need further assistance, please contact the Customer Service Centre: [csc@iec.ch](mailto:csc@iec.ch).

### A propos de la CEI

La Commission Electrotechnique Internationale (CEI) est la première organisation mondiale qui élabore et publie des Normes internationales pour tout ce qui a trait à l'électricité, à l'électronique et aux technologies apparentées.

### A propos des publications CEI

Le contenu technique des publications de la CEI est constamment revu. Veuillez vous assurer que vous possédez l'édition la plus récente, un corrigendum ou amendement peut avoir été publié.

#### Liens utiles:

Recherche de publications CEI - [www.iec.ch/searchpub](http://www.iec.ch/searchpub)

La recherche avancée vous permet de trouver des publications CEI en utilisant différents critères (numéro de référence, texte, comité d'études,...).

Elle donne aussi des informations sur les projets et les publications remplacées ou retirées.

Just Published CEI - [webstore.iec.ch/justpublished](http://webstore.iec.ch/justpublished)

Restez informé sur les nouvelles publications de la CEI. Just Published détaille les nouvelles publications parues. Disponible en ligne et aussi une fois par mois par email.

Electropedia - [www.electropedia.org](http://www.electropedia.org)

Le premier dictionnaire en ligne au monde de termes électroniques et électriques. Il contient plus de 30 000 termes et définitions en anglais et en français, ainsi que les termes équivalents dans les langues additionnelles. Egalement appelé Vocabulaire Electrotechnique International (VEI) en ligne.

Service Clients - [webstore.iec.ch/csc](http://webstore.iec.ch/csc)

Si vous désirez nous donner des commentaires sur cette publication ou si vous avez des questions contactez-nous: [csc@iec.ch](mailto:csc@iec.ch).



IEC 62305-4

Edition 2.0 2010-12

# INTERNATIONAL STANDARD

## NORME INTERNATIONALE

**Protection against lightning –  
Part 4: Electrical and electronic systems within structures**

**Protection contre la foudre –  
Partie 4: Réseaux de puissance et de communication dans les structures**

INTERNATIONAL  
ELECTROTECHNICAL  
COMMISSION

COMMISSION  
ELECTROTECHNIQUE  
INTERNATIONALE

ICS 29.020; 91.120.40

ISBN 978-2-83220-130-5

**Warning! Make sure that you obtained this publication from an authorized distributor.**

**Attention! Veuillez vous assurer que vous avez obtenu cette publication via un distributeur agréé.**

## CONTENTS

FOREWORD .....	5
INTRODUCTION .....	7
1 Scope .....	9
2 Normative references .....	9
3 Terms and definitions .....	10
4 Design and installation of SPM .....	13
4.1 General .....	13
4.2 Design of SPM .....	16
4.3 Lightning protection zones (LPZ) .....	17
4.4 Basic SPM .....	20
5 Earthing and bonding .....	21
5.1 General .....	21
5.2 Earth-termination system .....	22
5.3 Bonding network .....	24
5.4 Bonding bars .....	28
5.5 Bonding at the boundary of an LPZ .....	29
5.6 Material and dimensions of bonding components .....	29
6 Magnetic shielding and line routing .....	30
6.1 General .....	30
6.2 Spatial shielding .....	30
6.3 Shielding of internal lines .....	30
6.4 Routing of internal lines .....	30
6.5 Shielding of external lines .....	31
6.6 Material and dimensions of magnetic shields .....	31
7 Coordinated SPD system .....	31
8 Isolating interfaces .....	32
9 SPM management .....	32
9.1 General .....	32
9.2 SPM management plan .....	32
9.3 Inspection of SPM .....	33
9.3.1 General .....	33
9.3.2 Inspection procedure .....	34
9.3.3 Inspection documentation .....	34
9.4 Maintenance .....	35
Annex A (informative) Basis of electromagnetic environment evaluation in an LPZ .....	36
Annex B (informative) Implementation of SPM for an existing structure .....	60
Annex C (informative) Selection and installation of a coordinated SPD system .....	76
Annex D (informative) Factors to be considered in the selection of SPDs .....	82
Bibliography .....	87
Figure 1 – General principle for the division into different LPZ .....	13
Figure 2 – Examples of possible SPM (LEMP protection measures) .....	15
Figure 3 – Examples for interconnected LPZ .....	19
Figure 4 – Examples for extended lightning protection zones .....	20

Figure 5 – Example of a three-dimensional earthing system consisting of the bonding network interconnected with the earth-termination system .....	22
Figure 6 – Meshed earth-termination system of a plant .....	23
Figure 7 – Utilization of reinforcing rods of a structure for equipotential bonding .....	25
Figure 8 – Equipotential bonding in a structure with steel reinforcement .....	26
Figure 9 – Integration of conductive parts of internal systems into the bonding network .....	27
Figure 10 – Combinations of integration methods of conductive parts of internal systems into the bonding network .....	28
Figure A.1 – LEMP situation due to lightning strike .....	37
Figure A.2 – Simulation of the rise of magnetic field by damped oscillations .....	40
Figure A.3 – Large volume shield built by metal reinforcement and metal frames .....	41
Figure A.4 – Volume for electrical and electronic systems inside an inner LPZ n .....	42
Figure A.5 – Reducing induction effects by line routing and shielding measures .....	43
Figure A.6 – Example of SPM for an office building.....	45
Figure A.7 – Evaluation of the magnetic field values in case of a direct lightning strike .....	46
Figure A.8 – Evaluation of the magnetic field values in case of a nearby lightning strike .....	48
Figure A.9 – Distance $s_a$ depending on rolling sphere radius and structure dimensions .....	51
Figure A.10 – Types of grid-like large volume shields .....	52
Figure A.11 – Magnetic field strength $H_{1/MAX}$ inside a grid-like shield type 1 .....	53
Figure A.12 – Magnetic field strength $H_{1/MAX}$ inside a grid-like shield type 1 according to mesh width .....	54
Figure A.13 – Low-level test to evaluate the magnetic field inside a shielded structure .....	55
Figure A.14 – Voltages and currents induced into a loop formed by lines .....	56
Figure B.1 – SPM design steps for an existing structure .....	63
Figure B.2 – Possibilities to establish LPZ in existing structures .....	67
Figure B.3 – Reduction of loop area using shielded cables close to a metal plate .....	69
Figure B.4 – Example of a metal plate for additional shielding .....	70
Figure B.5 – Protection of aerials and other external equipment .....	71
Figure B.6 – Inherent shielding provided by bonded ladders and pipes .....	72
Figure B.7 – Ideal positions for lines on a mast (cross-section of steel lattice mast).....	72
Figure B.8 – Upgrading of the SPM in existing structures.....	74
Figure C.1 – Surge voltage between live conductor and bonding bar .....	79
Figure D.1 – Installation example of test class I, class II and class III SPDs .....	83
Figure D.2 – Basic example for different sources of damage to a structure and lightning current distribution within a system .....	84
Figure D.3 – Basic example of balanced current distribution .....	85
Table 1 – Minimum cross-sections for bonding components .....	30
Table 2 – SPM management plan for new buildings and for extensive changes in construction or use of buildings .....	33
Table A.1 – Parameters relevant to source of harm and equipment.....	38
Table A.2 – Examples for $I_{0MAX} = 100 \text{ kA}$ and $w_m = 2 \text{ m}$ .....	48
Table A.3 – Magnetic attenuation of grid-like spatial shields for a plane wave.....	49
Table A.4 – Rolling sphere radius corresponding to maximum lightning current .....	51

Table A.5 – Examples for $I_{0/\text{MAX}} = 100 \text{ kA}$ and $w_m = 2 \text{ m}$ corresponding to $SF = 12,6 \text{ dB}$ .....	51
Table B.1 – Structural characteristics and surroundings.....	60
Table B.2 – Installation characteristics.....	61
Table B.3 – Equipment characteristics .....	61
Table B.4 – Other questions to be considered for the protection concept .....	61
Table D.1 – Preferred values of $I_{\text{imp}}$ .....	82

IECNORM.COM : Click to view the full PDF of IEC 62305-4:2010

## INTERNATIONAL ELECTROTECHNICAL COMMISSION

**PROTECTION AGAINST LIGHTNING –****Part 4: Electrical and electronic systems within structures****FOREWORD**

- 1) The International Electrotechnical Commission (IEC) is a worldwide organization for standardization comprising all national electrotechnical committees (IEC National Committees). The object of IEC is to promote international co-operation on all questions concerning standardization in the electrical and electronic fields. To this end and in addition to other activities, IEC publishes International Standards, Technical Specifications, Technical Reports, Publicly Available Specifications (PAS) and Guides (hereafter referred to as "IEC Publication(s)"). Their preparation is entrusted to technical committees; any IEC National Committee interested in the subject dealt with may participate in this preparatory work. International, governmental and non-governmental organizations liaising with the IEC also participate in this preparation. IEC collaborates closely with the International Organization for Standardization (ISO) in accordance with conditions determined by agreement between the two organizations.
- 2) The formal decisions or agreements of IEC on technical matters express, as nearly as possible, an international consensus of opinion on the relevant subjects since each technical committee has representation from all interested IEC National Committees.
- 3) IEC Publications have the form of recommendations for international use and are accepted by IEC National Committees in that sense. While all reasonable efforts are made to ensure that the technical content of IEC Publications is accurate, IEC cannot be held responsible for the way in which they are used or for any misinterpretation by any end user.
- 4) In order to promote international uniformity, IEC National Committees undertake to apply IEC Publications transparently to the maximum extent possible in their national and regional publications. Any divergence between any IEC Publication and the corresponding national or regional publication shall be clearly indicated in the latter.
- 5) IEC itself does not provide any attestation of conformity. Independent certification bodies provide conformity assessment services and, in some areas, access to IEC marks of conformity. IEC is not responsible for any services carried out by independent certification bodies.
- 6) All users should ensure that they have the latest edition of this publication.
- 7) No liability shall attach to IEC or its directors, employees, servants or agents including individual experts and members of its technical committees and IEC National Committees for any personal injury, property damage or other damage of any nature whatsoever, whether direct or indirect, or for costs (including legal fees) and expenses arising out of the publication, use of, or reliance upon, this IEC Publication or any other IEC Publications.
- 8) Attention is drawn to the Normative references cited in this publication. Use of the referenced publications is indispensable for the correct application of this publication.
- 9) Attention is drawn to the possibility that some of the elements of this IEC Publication may be the subject of patent rights. IEC shall not be held responsible for identifying any or all such patent rights.

International Standard IEC 62305-4 has been prepared by IEC technical committee 81: Lightning protection.

This second edition cancels and replaces the first edition, published in 2006, and constitutes a technical revision.

This edition includes the following significant technical changes with respect to the previous edition:

- 1) Isolating interfaces capable of reducing conducted surges on lines entering the structure are introduced.
- 2) Minimum cross-sections for bonding components are slightly modified.
- 3) First negative impulse current is introduced for calculation purposes as electromagnetic source of harm to the internal systems.
- 4) Selection of SPD with regard to voltage protection level is improved to take into account oscillation and induction phenomena in the circuit downstream of SPD.
- 5) Annex C dealing with SPD coordination is withdrawn and referred back to SC 37A.

- 6) A new informative Annex D is introduced giving information on factors to be considered in the selection of SPDs.

This bilingual version (2012-06) corresponds to the monolingual English version, published in 2010-12.

The text of this standard is based on the following documents:

FDIS	Report on voting
81/373/FDIS	81/383/RVD

Full information on the voting for the approval of this standard can be found in the report on voting indicated in the above table.

The French version of this standard has not been voted upon.

This publication has been drafted, as closely as possible, in accordance with the ISO/IEC Directives, Part 2.

A list of all the parts in the IEC 62305 series, under the general title *Protection against lightning*, can be found on the IEC website.

The committee has decided that the contents of this publication will remain unchanged until the stability date indicated on the IEC web site under "<http://webstore.iec.ch>" in the data related to the specific publication. At this date, the publication will be

- reconfirmed,
- withdrawn,
- replaced by a revised edition, or
- amended.

## INTRODUCTION

Lightning as a source of harm is a very high energy phenomenon. Lightning flashes release many hundreds of mega-joules of energy. When compared with the milli-joules of energy that may be sufficient to cause damage to sensitive electronic equipment in electrical and electronic systems within a structure, it is clear that additional protection measures will be necessary to protect some of this equipment.

The need for this International Standard has arisen due to the increasing cost of failures of electrical and electronic systems, caused by electromagnetic effects of lightning. Of particular importance are electronic systems used in data processing and storage as well as process control and safety for plants of considerable capital cost, size and complexity (for which plant outages are very undesirable for cost and safety reasons).

Lightning can cause different types of damage in a structure, as defined in IEC 62305-1:

- D1 injury to living beings by electric shock;
- D2 physical damage (fire, explosion, mechanical destruction, chemical release) due to lightning current effects, including sparking;
- D3 failure of internal systems due to LEMP.

IEC 62305-3 deals with the protection measures to reduce the risk of physical damage and life hazard, but does not cover the protection of electrical and electronic systems.

This Part 4 of IEC 62305 therefore provides information on protection measures to reduce the risk of permanent failures of electrical and electronic systems within structures.

Permanent failure of electrical and electronic systems can be caused by the lightning electromagnetic impulse (LEMP) via:

- a) conducted and induced surges transmitted to equipment via connecting wiring;
- b) the effects of radiated electromagnetic fields directly into equipment itself.

Surges to the structure can originate from sources external to the structure or from within the structure itself:

- surges which originate externally from the structure are created by lightning flashes striking incoming lines or the nearby ground, and are transmitted to electrical and electronic systems within the structure via these lines;
- surges which originate internally within the structure are created by lightning flashes striking the structure itself or the nearby ground.

NOTE 1 Surges can also originate internally within the structure, from switching effects, e.g. switching of inductive loads.

The coupling can arise from different mechanisms:

- resistive coupling (e.g. the earth impedance of the earth-termination system or the cable shield resistance);
- magnetic field coupling (e.g. caused by wiring loops in the electrical and electronic system or by inductance of bonding conductors);
- electric field coupling (e.g. caused by rod antenna reception).

NOTE 2 The effects of electric field coupling are generally very small when compared to the magnetic field coupling and can be disregarded.

Radiated electromagnetic fields can be generated via

- the direct lightning current flowing in the lightning channel,
- the partial lightning current flowing in conductors (e.g. in the down-conductors of an external LPS in accordance with IEC 62305-3 or in an external spatial shield in accordance with this standard).

IECNORM.COM : Click to view the full PDF of IEC 62305-4:2010

## PROTECTION AGAINST LIGHTNING –

### Part 4: Electrical and electronic systems within structures

#### 1 Scope

This part of IEC 62305 provides information for the design, installation, inspection, maintenance and testing of electrical and electronic system protection (SPM) to reduce the risk of permanent failures due to lightning electromagnetic impulse (LEMP) within a structure.

This standard does not cover protection against electromagnetic interference due to lightning, which may cause malfunctioning of internal systems. However, the information reported in Annex A can also be used to evaluate such disturbances. Protection measures against electromagnetic interference are covered in IEC 60364-4-44<sup>[1]</sup> 1 and in the IEC 61000 series<sup>[2]</sup>.

This standard provides guidelines for cooperation between the designer of the electrical and electronic system, and the designer of the protection measures, in an attempt to achieve optimum protection effectiveness.

This standard does not deal with detailed design of the electrical and electronic systems themselves.

#### 2 Normative references

The following referenced documents are indispensable for the application of this document. For dated references, only the edition cited applies. For undated references, the latest edition of the referenced document (including any amendments) applies.

IEC 60364-5-53:2001, *Electrical installations of buildings – Part 5-53: Selection and erection of electrical equipment – Isolation, switching and control*

IEC 60664-1:2007, *Insulation coordination for equipment within low-voltage systems – Part 1: Principles, requirements and tests*

IEC 61000-4-5:2005, *Electromagnetic compatibility (EMC) – Part 4-5: Testing and measurement techniques – Surge immunity test*

IEC 61000-4-9:1993, *Electromagnetic compatibility (EMC) – Part 4-9: Testing and measurement techniques – Pulse magnetic field immunity test – Basic EMC Publication*

IEC 61000-4-10:1993, *Electromagnetic compatibility (EMC) – Part 4-10: Testing and measurement techniques – Damped oscillatory magnetic field immunity test – Basic EMC Publication*

IEC 61643-1:2005, *Low-voltage surge protective devices – Part 1: Surge protective devices connected to low-voltage power distribution systems – Requirements and tests*

IEC 61643-12:2008, *Low-voltage surge protective devices – Part 12: Surge protective devices connected to low-voltage power distribution systems – Selection and application principles*

<sup>1</sup> Figures in square brackets refer to the bibliography.

IEC 61643-21, *Low voltage surge protective devices – Part 21: Surge protective devices connected to telecommunications and signalling networks – Performance requirements and testing methods*

IEC 61643-22, *Low voltage surge protective devices – Part 22: Surge protective devices connected to telecommunications and signalling networks – Selection and application principles*

IEC 62305-1:2010, *Protection against lightning – Part 1: General principles*

IEC 62305-2:2010, *Protection against lightning – Part 2: Risk management*

IEC 62305-3:2010, *Protection against lightning – Part 3: Physical damage to structures and life hazard*

### 3 Terms and definitions

For the purposes of this document, the following terms and definitions, as well as those given in other parts of IEC 62305, apply.

#### 3.1

##### **electrical system**

system incorporating low voltage power supply components

#### 3.2

##### **electronic system**

system incorporating sensitive electronic components such as telecommunication equipment, computer, control and instrumentation systems, radio systems, power electronic installations

#### 3.3

##### **internal systems**

electrical and electronic systems within a structure

#### 3.4

##### **lightning protection**

LP

complete system for the protection of structures and/or electrical and electronic systems in those structures from the effects of lightning, consisting of an LPS and SPM

#### 3.5

##### **lightning protection system**

LPS

complete system used to reduce physical damage due to lightning flashes to a structure

NOTE It consists of both external and internal lightning protection systems.

#### 3.6

##### **lightning electromagnetic impulse**

LEMP

all electromagnetic effects of lightning current via resistive, inductive and capacitive coupling which create surges and electromagnetic fields

#### 3.7

##### **surge**

transient created by LEMP that appears as an overvoltage and/or overcurrent

**3.8  
rated impulse withstand voltage level** $U_W$ 

impulse withstand voltage assigned by the manufacturer to the equipment or to a part of it, characterizing the specified withstand capability of its insulation against overvoltages

NOTE For the purposes of this part of IEC 62305, only withstand voltage between live conductors and earth is considered.

**3.9  
lightning protection level**

LPL

number related to a set of lightning current parameters relevant to the probability that the associated maximum and minimum design values will not be exceeded in naturally occurring lightning

NOTE Lightning protection level is used to design protection measures according to the relevant set of lightning current parameters.

**3.10  
lightning protection zone**

LPZ

zone where the lightning electromagnetic environment is defined

NOTE The zone boundaries of an LPZ are not necessarily physical boundaries (e.g. walls, floor and ceiling).

**3.11  
LEMP protection measures**

SPM

measures taken to protect internal systems against the effects of LEMP

NOTE This is part of overall lightning protection.

**3.12  
grid-like spatial shield**

magnetic shield characterized by openings

NOTE For a building or a room, it is preferably built by interconnected natural metal components of the structure (e.g. rods of reinforcement in concrete, metal frames and metal supports).

**3.13  
earth-termination system**

part of an external LPS which is intended to conduct and disperse lightning current into the earth

**3.14  
bonding network**

interconnecting network of all conductive parts of the structure and of internal systems (live conductors excluded) to the earth-termination system

**3.15  
earthing system**

complete system combining the earth-termination system and the bonding network

**3.16  
surge protective device**

SPD

device intended to limit transient overvoltages and divert surge currents; contains at least one non-linear component

### 3.17

#### **SPD tested with $I_{imp}$**

SPDs which withstand the partial lightning current with a typical waveform 10/350 µs and require a corresponding impulse test current  $I_{imp}$

NOTE For power lines, a suitable test current  $I_{imp}$  is defined in the Class I test procedure of IEC 61643-1:2005.

### 3.18

#### **SPD tested with $I_n$**

SPDs which withstand induced surge currents with a typical waveform 8/20 µs and require a corresponding impulse test current  $I_n$

NOTE For power lines a suitable test current  $I_n$  is defined in the Class II test procedure of IEC 61643-1:2005.

### 3.19

#### **SPD tested with a combination wave**

SPDs that withstand induced surge currents with a typical waveform 8/20 µs and require a corresponding impulse test current  $I_{SC}$

NOTE For power lines a suitable combination wave test is defined in the Class III test procedure of IEC 61643-1:2005 defining the open circuit voltage  $U_{OC}$  1.2/50 µs and the short-circuit current  $I_{SC}$  8/20 µs of a 2 Ω combination wave generator.

### 3.20

#### **voltage-switching type SPD**

SPD that has a high impedance when no surge is present, but can have a sudden change in impedance to a low value in response to a voltage surge

NOTE 1 Common examples of components used as voltage switching devices include spark gaps, gas discharge tubes (GDT), thyristors (silicon controlled rectifiers) and triacs. These SPDs are sometimes called "crowbar type".

NOTE 2 A voltage-switching device has a discontinuous voltage/current characteristic.

### 3.21

#### **voltage-limiting type SPD**

SPD that has a high impedance when no surge is present, but will reduce it continuously with increased surge current and voltage

NOTE 1 Common examples of components used as non-linear devices are varistors and suppressor diodes. These SPDs are sometimes called "clamping type".

NOTE 2 A voltage-limiting device has a continuous voltage/current characteristic.

### 3.22

#### **combination type SPD**

SPD that incorporates both voltage-switching and voltage-limiting type components and that may exhibit voltage-switching, voltage-limiting or both voltage-switching and voltage-limiting behaviour, depending upon the characteristics of the applied voltage

### 3.23

#### **coordinated SPD system**

SPDs properly selected, coordinated and installed to form a system intended to reduce failures of electrical and electronic systems

### 3.24

#### **isolating interfaces**

devices which are capable of reducing conducted surges on lines entering the LPZ

NOTE 1 These include isolation transformers with earthed screen between windings, metal-free fibre optic cables and opto-isolators.

NOTE 2 Insulation withstand characteristics of these devices are suitable for this application intrinsically or via SPD.

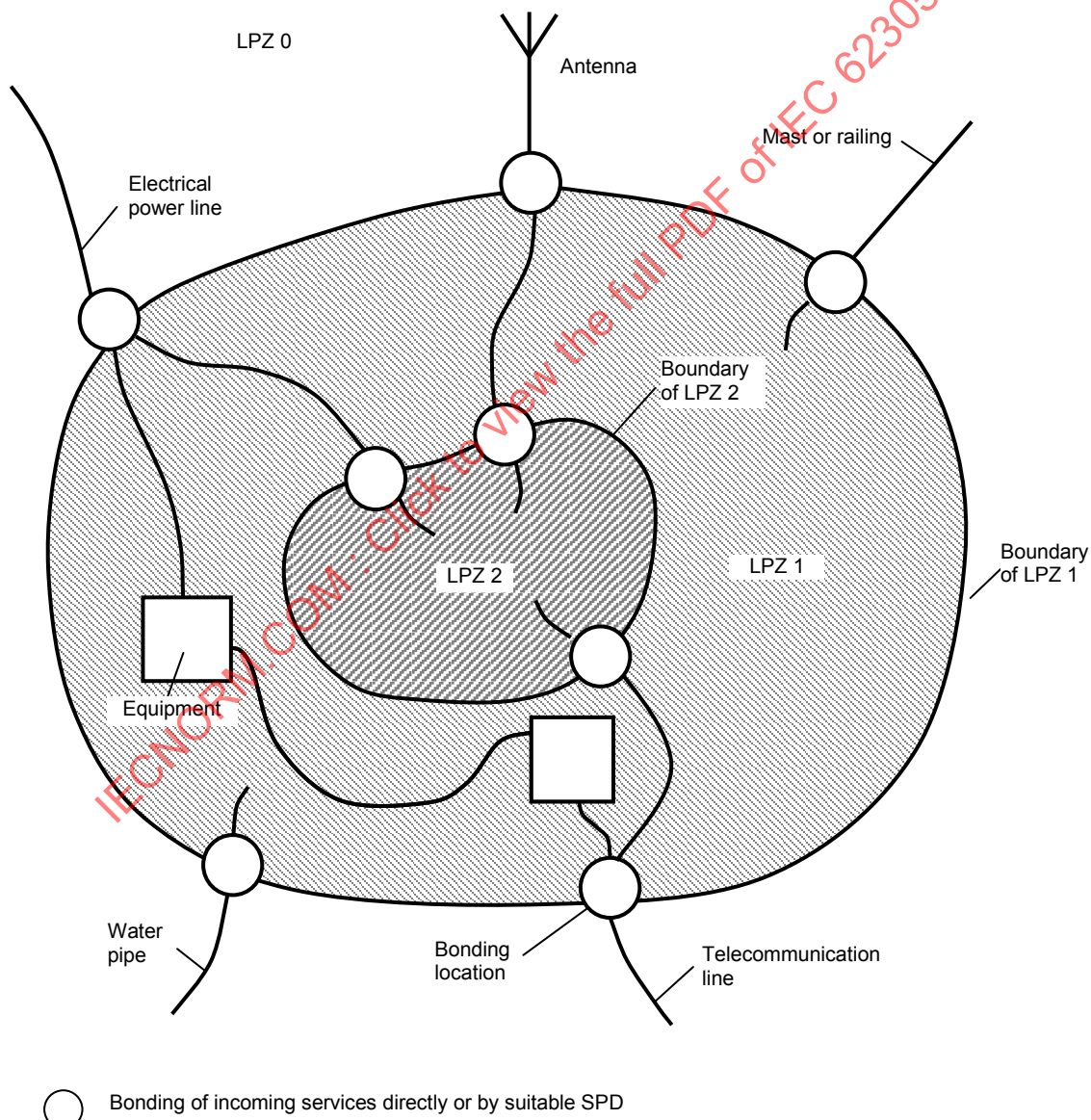
## 4 Design and installation of SPM

### 4.1 General

Electrical and electronic systems are subject to damage from a lightning electromagnetic impulse (LEMP). Therefore SPM need to be provided to avoid failure of internal systems.

The design of SPM should be carried out by experts in lightning and surge protection who possess a broad knowledge of EMC and installation practices.

Protection against LEMP is based on the lightning protection zone (LPZ) concept: the zone containing systems to be protected shall be divided into LPZs. These zones are theoretically assigned part of space (or of an internal system) where the LEMP severity is compatible with the withstand level of the internal systems enclosed (see Figure 1). Successive zones are characterized by significant changes in the LEMP severity. The boundary of an LPZ is defined by the protection measures employed (see Figure 2).



IEC 2762/10

NOTE This figure shows an example of dividing a structure into inner LPZs. All metal services entering the structure are bonded via bonding bars at the boundary of LPZ 1. In addition, the conductive services entering LPZ 2 (e.g. computer room) are bonded via bonding bars at the boundary of LPZ 2.

**Figure 1 – General principle for the division into different LPZ**

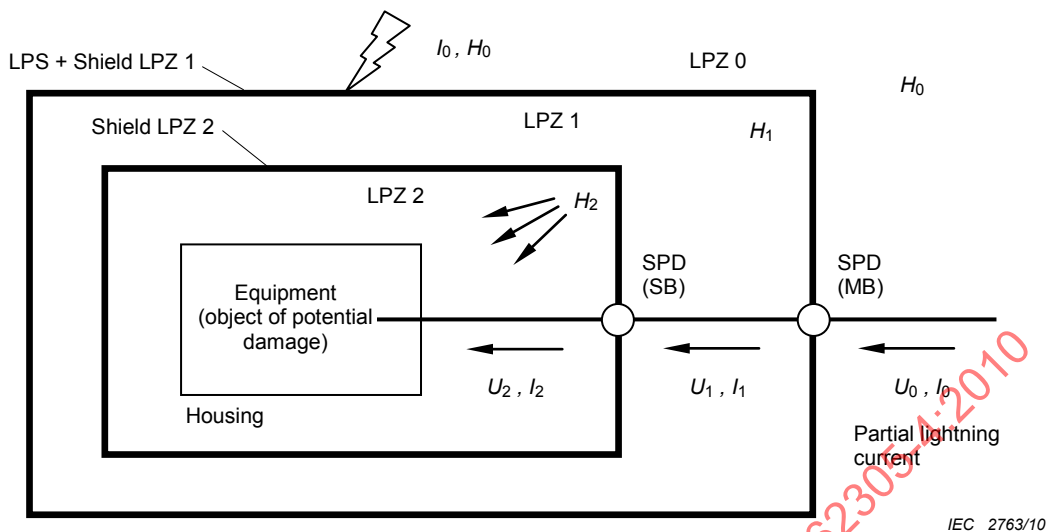


Figure 2a – SPM using spatial shields and a coordinated SPD system – Equipment well protected against conducted surges ( $U_2 << U_0$  and  $I_2 << I_0$ ) and against radiated magnetic fields ( $H_2 << H_0$ )

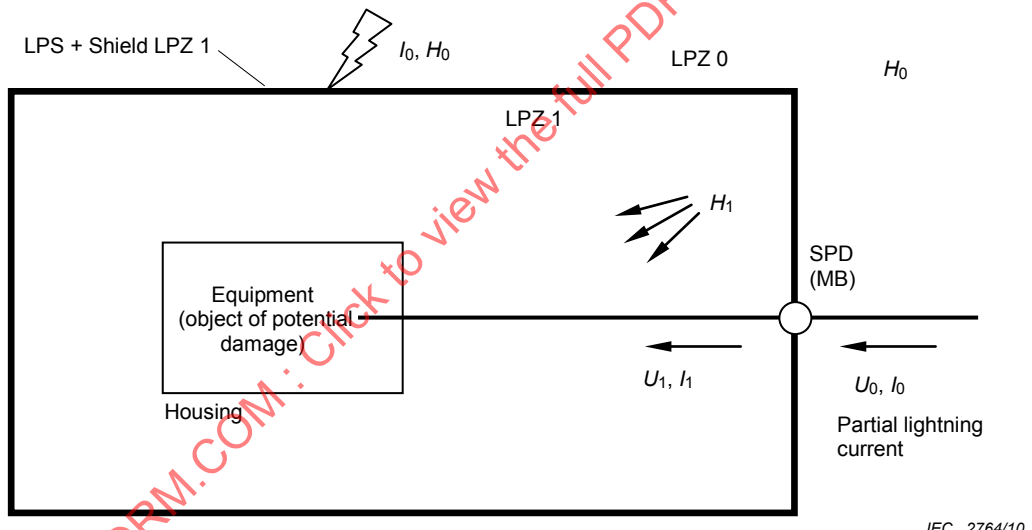


Figure 2b – SPM using spatial shield of LPZ 1 and SPD protection at entry of LPZ 1 – Equipment protected against conducted surges ( $U_1 < U_0$  and  $I_1 < I_0$ ) and against radiated magnetic fields ( $H_1 < H_0$ )

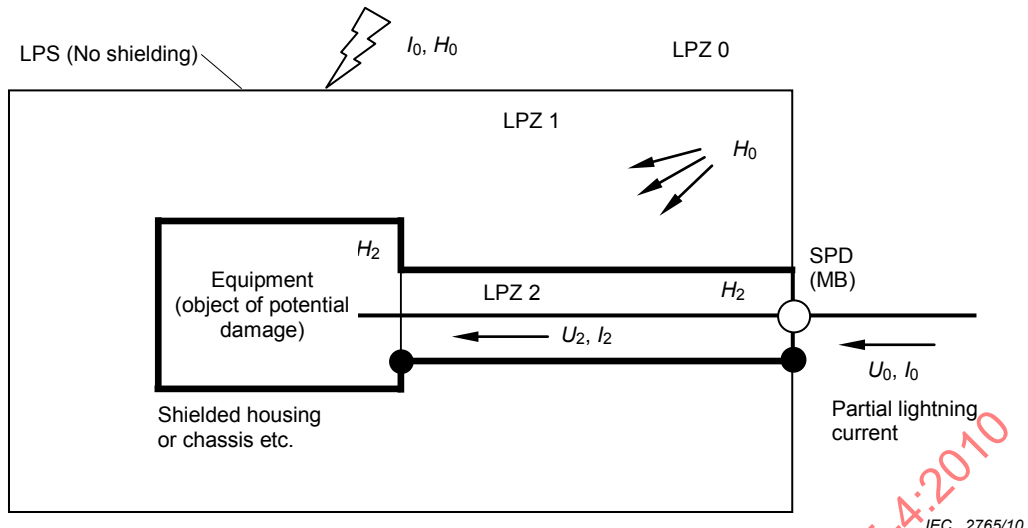


Figure 2c – SPM using internal line shielding and SPD protection at entry of LPZ 1 – Equipment protected against conducted surges ( $U_2 < U_0$  and  $I_2 < I_0$ ) and against radiated magnetic fields ( $H_2 < H_0$ )

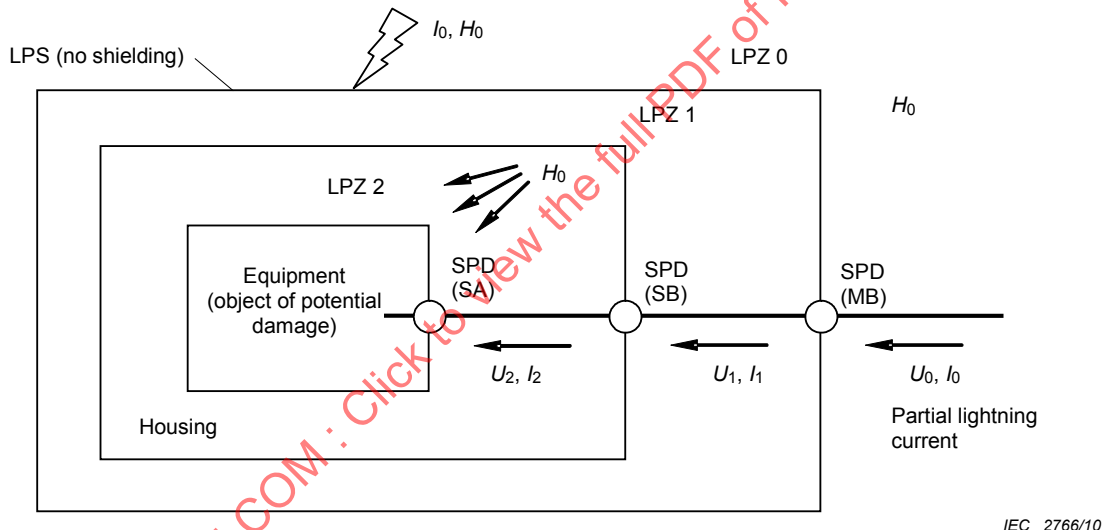


Figure 2d – SPM using a coordinated SPD system only – Equipment protected against conducted surges ( $U_2 \ll U_0$  and  $I_2 \ll I_0$ ), but not against radiated magnetic field ( $H_0$ )

#### Key

- shielded boundary
- non-shielded boundary

NOTE 1 SPDs can be located at the following points:

- at the boundary of LPZ 1 (e.g. at main distribution board MB);
- at the boundary of LPZ 2 (e.g. at secondary distribution board SB);
- at or close to equipment (e.g. at socket outlet SA).

NOTE 2 For detailed installation rules see also IEC 60364-5-53.

#### Figure 2 – Examples of possible SPM (LEMP protection measures)

Permanent failure of electrical and electronic systems due to LEMP can be caused by

- conducted and induced surges transmitted to equipment via connecting wiring,
- effects of radiated electromagnetic fields impinging directly onto equipment itself.

For protection against the effects of radiated electromagnetic fields impinging directly onto the equipment, SPM consisting of spatial shields and/or shielded lines, combined with shielded equipment enclosures, should be used.

For protection against the effects of conducted and induced surges being transmitted to the equipment via connection wiring, SPM consisting of a coordinated SPD system should be used.

Failures due to electromagnetic fields impinging directly onto the equipment can be considered negligible provided the equipment complies with the relevant radio frequency emission and immunity EMC product standards.

In general, equipment is required to comply with the relevant EMC product standards therefore SPM consisting of a coordinated SPD system is usually considered sufficient to protect such equipment against the effects of LEMP.

For equipment not complying with relevant EMC product standards, SPM consisting of a coordinated SPD system alone is considered inadequate to protect such equipment against the effects of LEMP. In this case, Annex A provides further information as to how to achieve best protection against directly impinging electromagnetic fields. The equipment's withstand level against radiated magnetic fields needs to be selected in accordance with IEC 61000-4-9 and IEC 61000-4-10.

If required for specific applications, a simulated system-level test which includes the SPD(s), installation wiring and the actual equipment may be performed in the laboratory to verify protection withstand coordination.

#### 4.2 Design of SPM

SPM can be designed for protection of equipment against surges and electromagnetic fields. Figure 2 provides some examples of SPM using protection measures, such as LPS, magnetic shields and coordinated SPD systems.

- SPM employing spatial shields and a coordinated SPD system will protect against radiated magnetic fields and against conducted surges (see Figure 2a). Cascaded spatial shields and coordinated SPDs can reduce the magnetic field and surges to a lower threat level.
- SPM employing a spatial shield of LPZ 1 and an SPD at the entry of LPZ 1 can protect equipment against the radiated magnetic field and against conducted surges (see Figure 2b).

NOTE 1 The protection would not be sufficient if the magnetic field remains too high (due to low shielding effectiveness of LPZ 1), or if the surge magnitude remains too high (due to a high voltage protection level of the SPD and due to the induction effects onto wiring downstream of the SPD).

- SPM using shielded lines, combined with shielded equipment enclosures, will protect against radiated magnetic fields. The SPD at the entry of LPZ 1 will provide protection against conducted surges (see Figure 2c). To achieve a lower threat level (in one step from LPZ 0 to LPZ 2), a special SPD may be required (e.g. additional coordinated stages inside) to reach a sufficient low voltage protection level.
- SPM using a coordinated SPD system is only suitable to protect equipment which is insensitive to radiated magnetic fields, since the SPDs will only provide protection against conducted surges (see Figure 2d). A lower threat surge level can be achieved using coordinated SPDs.

NOTE 2 Solutions in accordance with Figures 2a to 2c are recommended especially for equipment which does not comply with relevant EMC product standards.

NOTE 3 An LPS in accordance with IEC 62305-3 that employs only equipotential bonding SPDs provides no effective protection against failure of sensitive electrical and electronic systems. The LPS can be improved by reducing the mesh dimensions and selecting suitable SPDs, so as to make it an effective component of the SPM.

### 4.3 Lightning protection zones (LPZ)

With respect to lightning threat, the following LPZ are defined (see IEC 62305-1):

#### Outer zones:

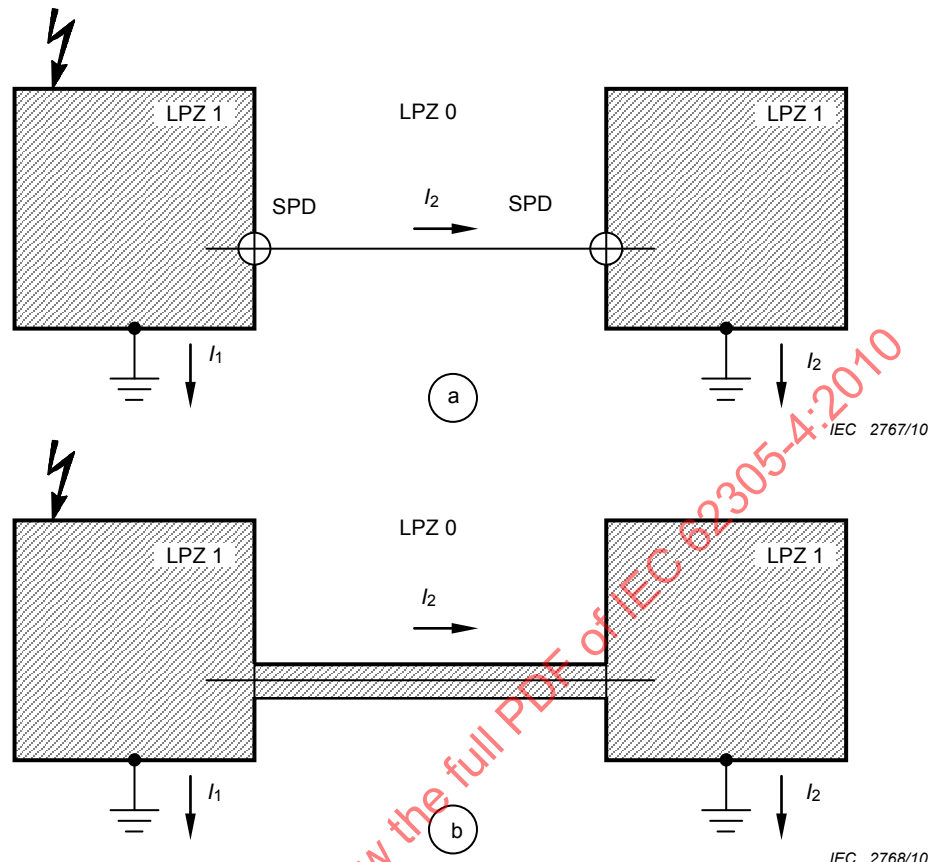
- LPZ 0 Zone where the threat is due to the unattenuated lightning electromagnetic field and where the internal systems may be subjected to full or partial lightning surge current. LPZ 0 is subdivided into:
- LPZ 0<sub>A</sub> zone where the threat is due to the direct lightning flash and the full lightning electromagnetic field. The internal systems may be subjected to full lightning surge current.
- LPZ 0<sub>B</sub> zone protected against direct lightning flashes but where the threat is the full lightning electromagnetic field. The internal systems may be subjected to partial lightning surge currents.

#### Inner zones: (protected against direct lightning flashes)

- LPZ 1 Zone where the surge current is limited by current sharing and isolating interfaces and/or by SPDs at the boundary. Spatial shielding may attenuate the lightning electromagnetic field.
- LPZ 2...n Zone where the surge current may be further limited by current sharing and isolating interfaces and/or and by additional SPDs at the boundary. Additional spatial shielding may be used to further attenuate the lightning electromagnetic field.

The LPZs are implemented by the installation of the SPM, e.g. installation of a coordinated SPD system and/or magnetic shielding (see Figure 2). Depending on the number, type and withstand level of the equipment to be protected, suitable LPZ can be defined. These may include small local zones (e.g. equipment enclosures) or large integral zones (e.g. the whole structure) (see Figure B.2).

Interconnection of LPZs of the same order may be necessary if either two separate structures are connected by electrical or signal lines, or the number of required SPDs is to be reduced (see Figure 3).



**NOTE** Figure 3a shows two LPZ 1 connected by electrical or signal lines. Special care should be taken if both LPZ 1 represent separate structures with separate earthing systems, spaced tens or hundreds of metres from each other. In this case, a large part of the lightning current can flow along the connecting lines, which are not protected.

#### Key

$I_1, I_2$  partial lightning currents

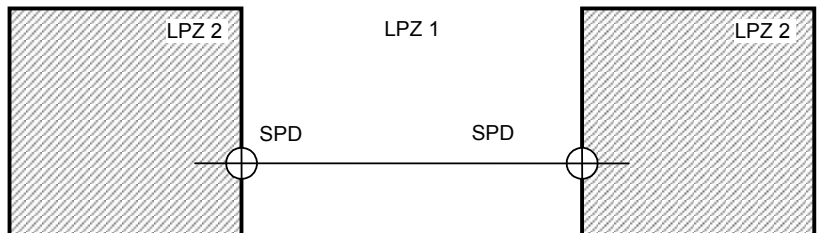
**Figure 3a – Interconnecting two LPZ 1 using SPDs**

**NOTE** Figure 3b shows, that this problem can be solved using shielded cables or shielded cable ducts to interconnect both LPZ 1, provided that the shields are able to carry the partial lightning current. The SPD can be omitted, if the voltage drop along the shield is not too high.

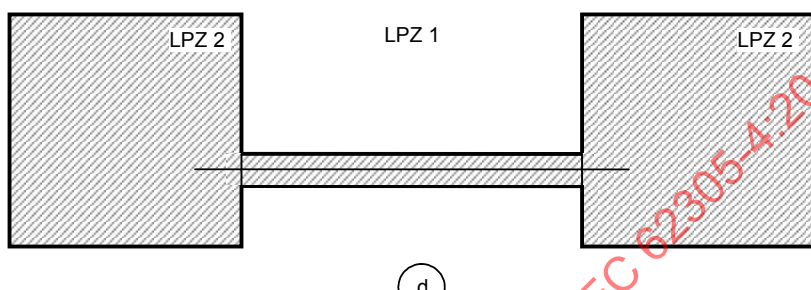
#### Key

$I_1, I_2$  partial lightning currents

**Figure 3b – Interconnecting two LPZ 1 using shielded cables or shielded cable ducts**



IEC 2768/10



IEC 2769/10

**NOTE** Figure 3c shows two LPZ 2 connected by electrical or signal lines. Because the lines are exposed to the threat level of LPZ 1, SPDs at the entry into each LPZ 2 are required.

**Figure 3c – Interconnecting two LPZ 2 using SPDs**

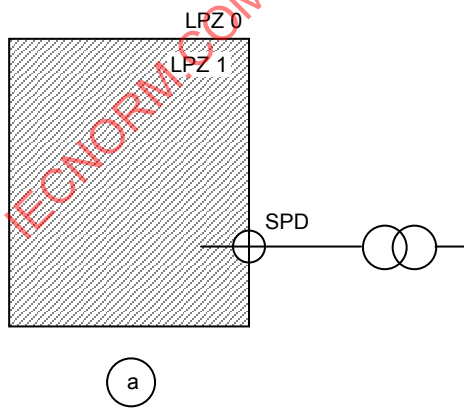
**NOTE** Figure 3d shows that such interference can be avoided and the SPDs can be omitted, if shielded cables or shielded cable ducts are used to interconnect both LPZ 2.

**Figure 3d – Interconnecting two LPZ 2 using shielded cables or shielded cable ducts**

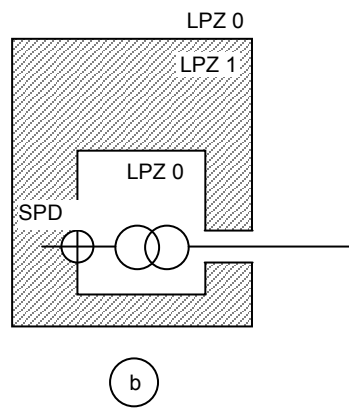
### Figure 3 – Examples for interconnected LPZ

Extending an LPZ into another LPZ might be needed in special cases or can be used to reduce the number of required SPDs (see Figure 4).

Detailed evaluation of the electromagnetic environment in an LPZ is described in Annex A.



IEC 2770/10



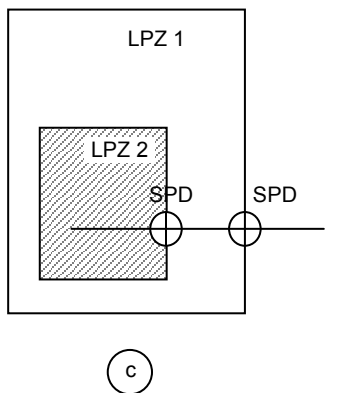
IEC 2771/10

**NOTE** Figure 4a shows a structure powered by a transformer. If the transformer is placed outside the structure, only the low voltage lines entering the structure require protection using an SPD.

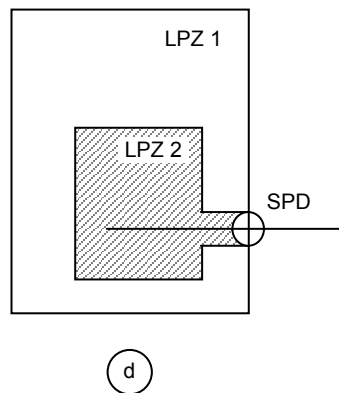
**Figure 4a – Transformer outside the structure (within LPZ 0)**

**NOTE** If the transformer is placed inside the structure and does not have an SPD installed on the HV side (since the owner of the building is often not permitted to adopt protection measures on the high voltage side) then Figure 4b applies. Figure 4b shows that the problem can be solved by extending LPZ 0 into LPZ 1, which again requires SPDs to be installed on the low voltage side only.

**Figure 4b – Transformer inside the structure (LPZ 0 extended into LPZ 1)**



IEC 2772/10



IEC 2773/10

**NOTE** Figure 4c shows an LPZ 2 supplied by an electrical or signal line. This line needs two coordinated SPDs: one at the boundary of LPZs 0/1, the other at the boundary of LPZs 1/2.

**Figure 4c – Two coordinated SPDs needed – SPD (between zones 0/1) and SPD (between zones 1/2)**

**NOTE** Figure 4d shows that the line can enter immediately into LPZ 2 and only one SPD is required, if LPZ 2 is extended into LPZ 1 using shielded cables or shielded cable ducts. However this SPD will reduce the threat immediately to the level of LPZ 2.

**Figure 4d – Only one SPD needed – SPD (between zones 0/2) (LPZ 2 extended into LPZ 1)**

**Figure 4 – Examples for extended lightning protection zones**

#### 4.4 Basic SPM

Basic protection measures against LEMP include:

- **Earthing and bonding (see Clause 5)**

The earthing system conducts and disperses the lightning current into the earth.

The bonding network minimizes potential differences and may reduce the magnetic field.

- **Magnetic shielding and line routing (see Clause 6)**

Spatial shielding attenuates the magnetic field inside the LPZ, arising from lightning flashes direct to or nearby the structure, and reduces internal surges.

Shielding of internal lines, using shielded cables or cable ducts, minimizes internally-induced surges.

Routing of internal lines can minimize induction loops and reduce internal surges.

**NOTE 1** Spatial shielding, shielding and routing of internal lines can be combined or used separately.

Shielding of external lines entering the structure reduces surges from being conducted onto the internal systems.

- **Coordinated SPD system (see Clause 7)**

A coordinated SPD system limits the effects of externally originated and internally created surges.

- **Isolating interfaces (see Clause 8)**

Isolating interfaces limits the effects of conducted surges on lines entering the LPZ.

Earthing and bonding should always be ensured, in particular, bonding of every conductive service directly or via an equipotential bonding SPD, at the point of entry to the structure.

Other SPM can be used alone or in combination.

SPM shall withstand the operational stresses expected in the installation place (e.g. stress of temperature, humidity, corrosive atmosphere, vibration, voltage and current).

Selection of the most suitable SPM shall be made using a risk assessment in accordance with IEC 62305-2, taking into account technical and economic factors.

Practical information on the implementation of SPM for internal systems in existing structures is given in Annex B.

NOTE 2 Lightning equipotential bonding (EB) in accordance with IEC 62305-3 will protect against dangerous sparking only. Protection of internal systems against surges requires a coordinated SPD system in accordance with this standard.

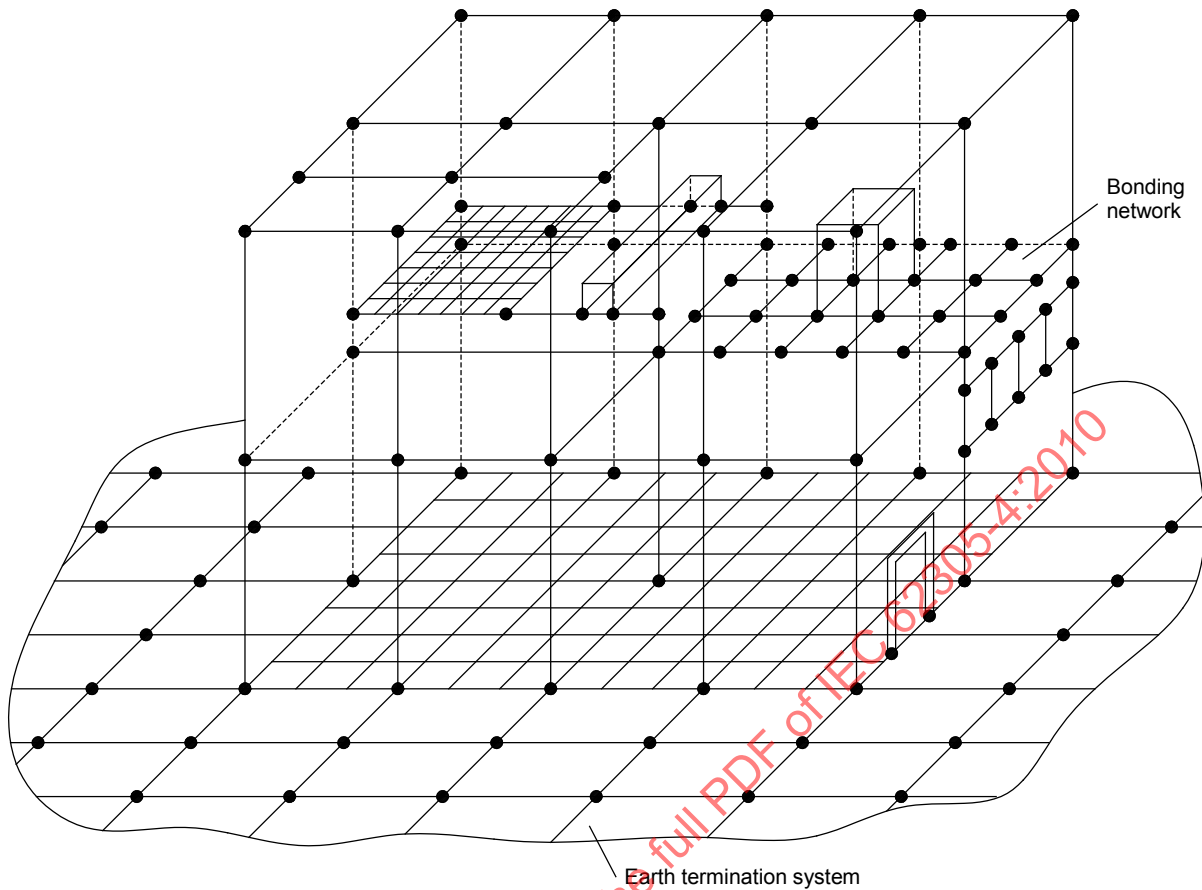
NOTE 3 Further information on the implementation of SPM can be found in IEC 60364-4-44.

## 5 Earthing and bonding

### 5.1 General

Suitable earthing and bonding are based on a complete earthing system (see Figure 5) combining

- the earth-termination system (dispersing the lightning current into the soil), and
- the bonding network (minimizing potential differences and reducing the magnetic field).



IEC 2774/10

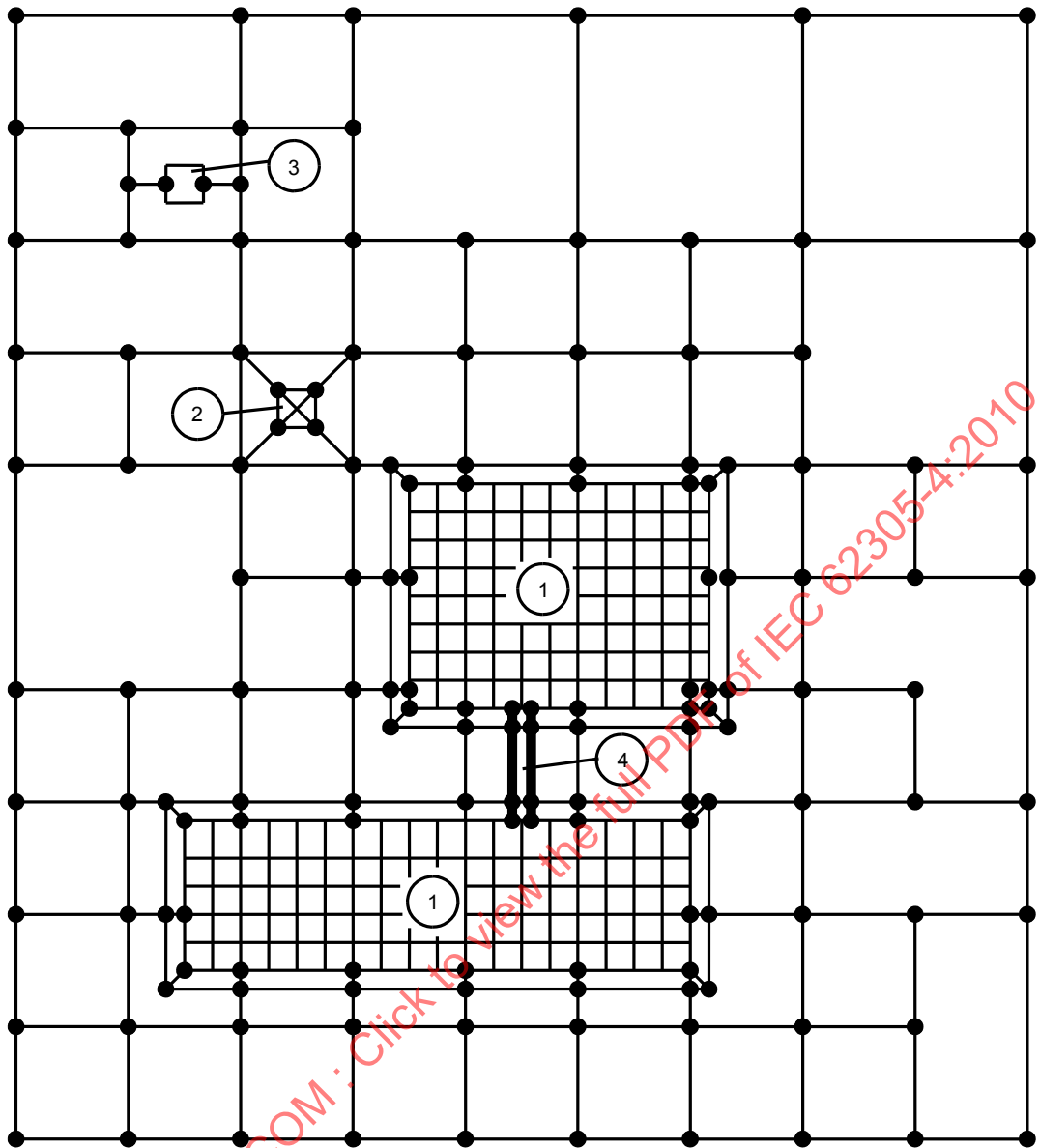
**NOTE** All drawn conductors are either bonded structural metal elements or bonding conductors. Some of them may also serve to intercept, conduct and disperse the lightning current into the earth.

**Figure 5 – Example of a three-dimensional earthing system consisting of the bonding network interconnected with the earth-termination system**

## 5.2 Earth-termination system

The earth-termination system of the structure shall comply with IEC 62305-3. In structures where only electrical systems are provided, a type A earthing arrangement may be used, but a type B earthing arrangement is preferable. In structures with electronic systems, a type B earthing arrangement is recommended.

The ring earth electrode around the structure, or the ring earth electrode in the concrete at the perimeter of the foundation, should be integrated with a meshed network under and around the structure, having a mesh width of typically 5 m. This greatly improves the performance of the earth-termination system. If the basement's reinforced concrete floor forms a well defined interconnected mesh and is connected to the earth-termination system, typically every 5 m, it is also suitable. An example of a meshed earth-termination system of a plant is shown in Figure 6.



IEC 2775/10

**Key**

- 1 building with meshed network of the reinforcement
- 2 tower inside the plant
- 3 stand-alone equipment
- 4 cable tray

**Figure 6 – Meshed earth-termination system of a plant**

To reduce potential differences between two internal systems, which may be referenced in some special cases to separate earthing systems, the following methods may be applied:

- several parallel bonding conductors running in the same paths as the electrical cables, or the cables enclosed in grid-like reinforced concrete ducts (or continuously bonded metal conduit), which have been integrated into both of the earth-termination systems;
- shielded cables with shields of adequate cross-section, and bonded to the separate earthing systems at either end.

### 5.3 Bonding network

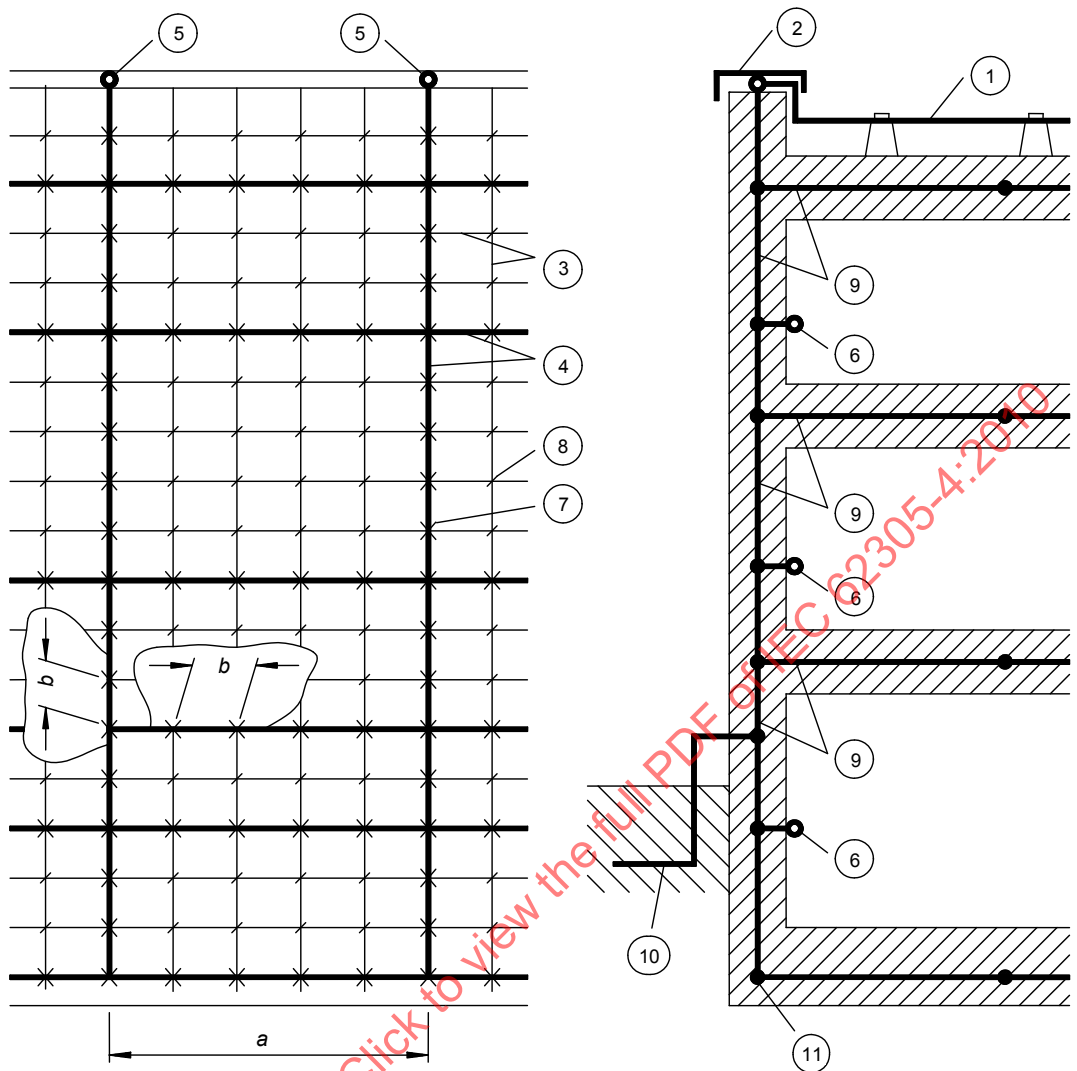
A low impedance bonding network is needed to avoid dangerous potential differences between all equipment inside the inner LPZ. Moreover, such a bonding network also reduces the magnetic field (see Annex A).

This can be realised by a meshed bonding network integrating conductive parts of the structure, or parts of the internal systems, and by bonding metal parts or conductive services at the boundary of each LPZ directly or by using suitable SPDs.

The bonding network can be arranged as a three-dimensional meshed structure with a typical mesh width of 5 m (see Figure 5). This requires multiple interconnections of metal components in and on the structure (such as concrete reinforcement, elevator rails, cranes, metal roofs, metal facades, metal frames of windows and doors, metal floor frames, service pipes and cable trays). Bonding bars (e.g. ring bonding bars, several bonding bars at different levels of the structure) and magnetic shields of the LPZ shall be integrated in the same way.

Examples of bonding networks are shown in Figures 7 and 8.

IECNORM.COM : Click to view the full PDF of IEC 62305-4/2010



IEC 2776/10

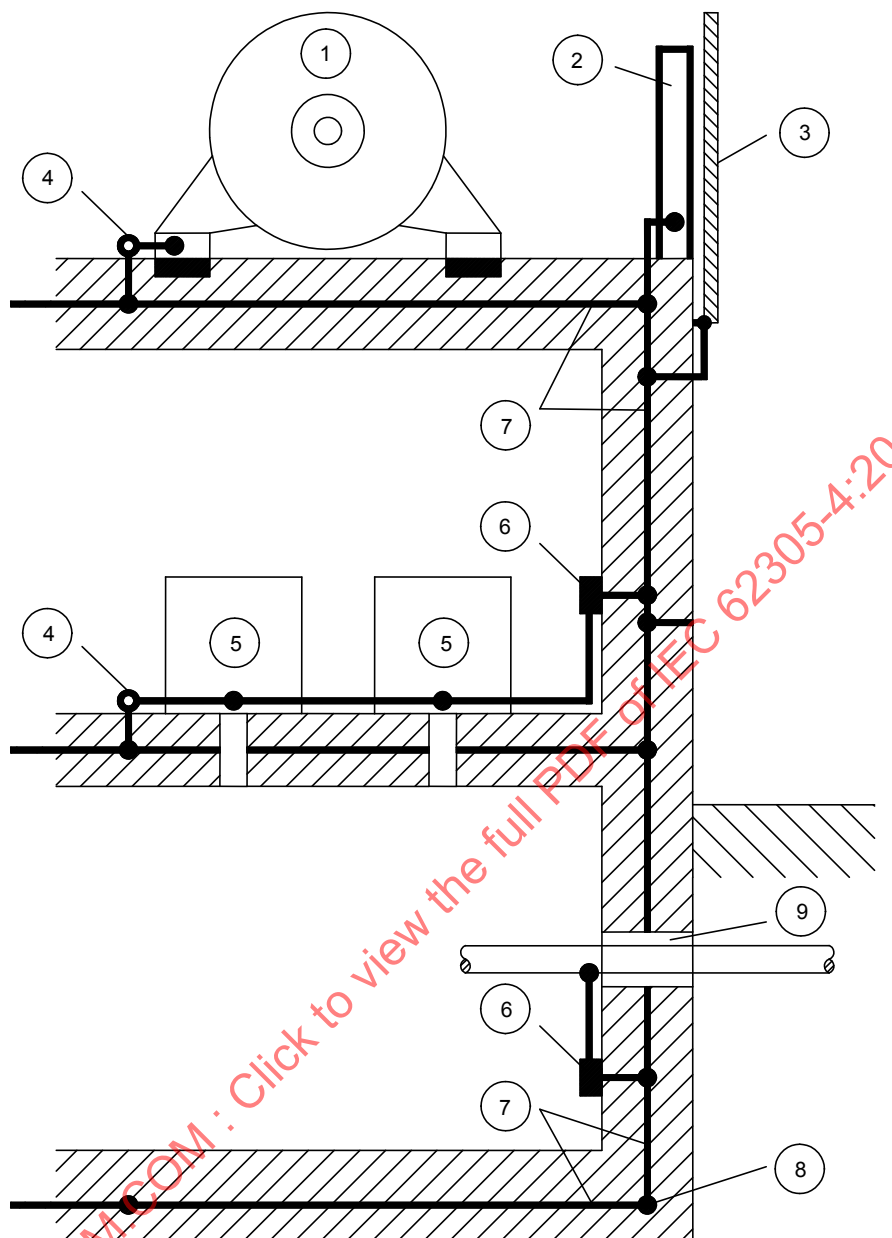
**Key**

- 1 air-termination conductor
- 2 metal covering of the roof parapet
- 3 steel reinforcing rods
- 4 mesh conductors superimposed on the reinforcement
- 5 joint of the mesh conductor
- 6 joint for an internal bonding bar
- 7 connection made by welding or clamping
- 8 arbitrary connection
- 9 steel reinforcement in concrete (with superimposed mesh conductors)
- 10 ring earthing electrode (if any)
- 11 foundation earthing electrode

*a* typical distance of 5 m for superimposed mesh conductors

*b* typical distance of 1 m for connecting this mesh with the reinforcement

**Figure 7 – Utilization of reinforcing rods of a structure for equipotential bonding**



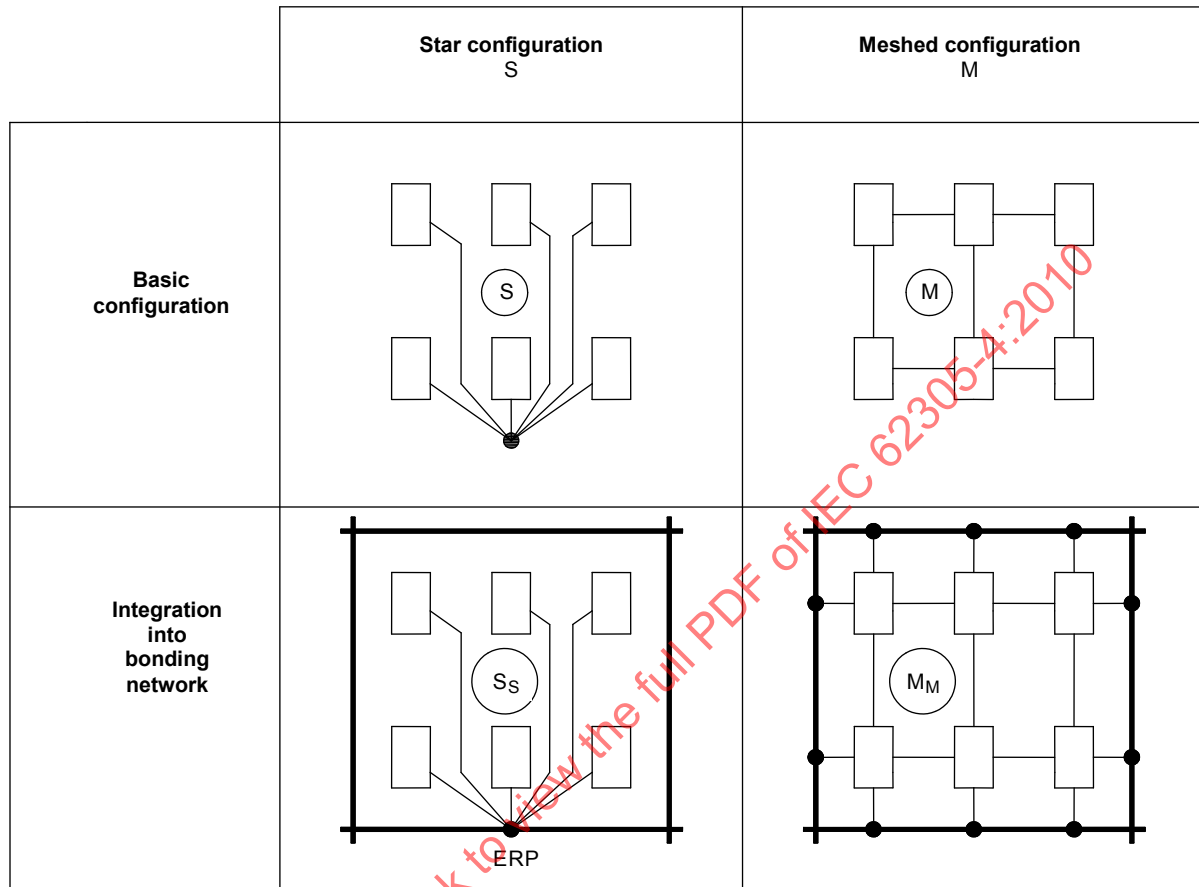
IEC 2777/10

**Key**

- 1 electrical power equipment
- 2 steel girder
- 3 metal covering of the facade
- 4 bonding joint
- 5 electrical or electronic equipment
- 6 bonding bar
- 7 steel reinforcement in concrete (with superimposed mesh conductors)
- 8 foundation earthing electrode
- 9 common entry point for different services

**Figure 8 – Equipotential bonding in a structure with steel reinforcement**

Conductive parts (e.g. cabinets, enclosures, racks) and the protective earth conductor (PE) of the internal systems shall be connected to the bonding network in accordance with the following configurations (see Figure 9):



IEC 2778/10

**Key**

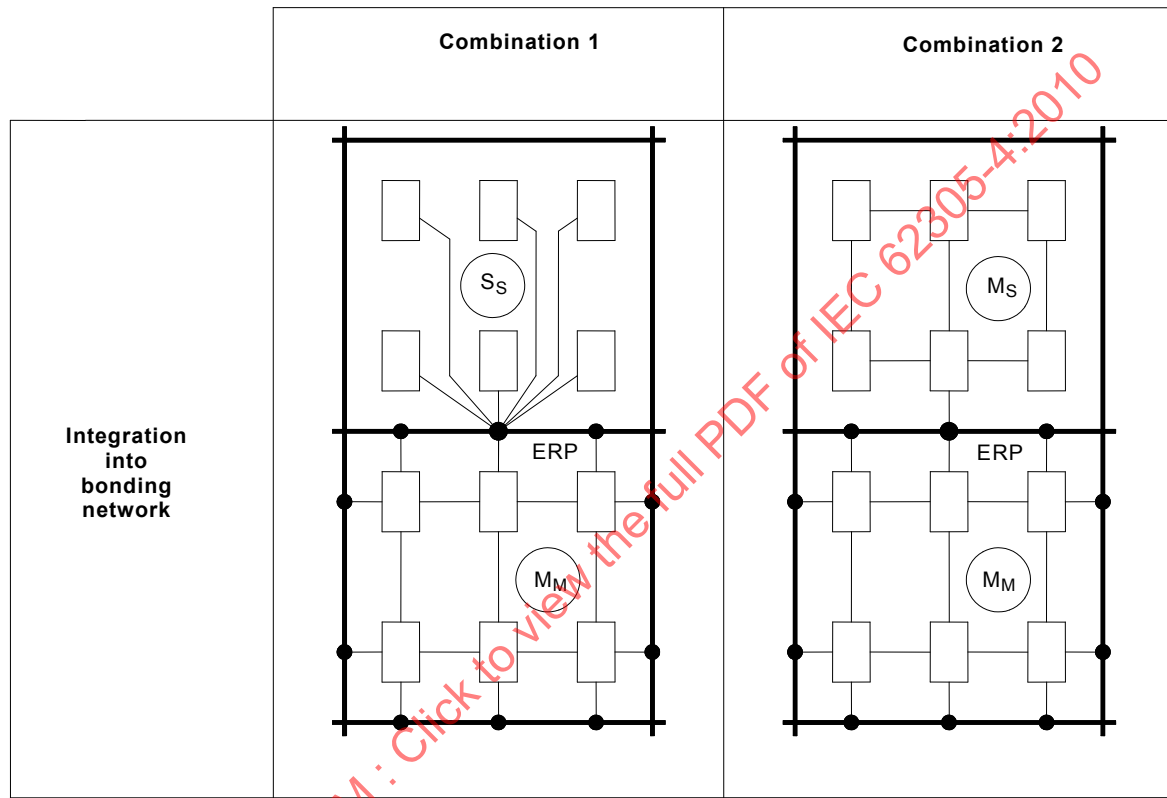
- bonding network
- bonding conductor
- [Equipment symbol] equipment
- bonding point to the bonding network
- ERP earthing reference point
- S<sub>S</sub> star point configuration integrated by star point
- M<sub>M</sub> meshed configuration integrated by mesh

**Figure 9 – Integration of conductive parts of internal systems into the bonding network**

If the configuration S is used, all metal components (e.g. cabinets, enclosures, racks) of the internal systems shall be isolated from the earthing system. The configuration S shall be integrated into the earthing system only by a single bonding bar acting as the earth reference point (ERP) resulting in type S<sub>S</sub>. When configuration S is used, all lines between the individual equipment shall run in parallel with, and close to, the bonding conductors following the star configuration in order to avoid induction loops. Configuration S can be used where internal systems are located in relatively small zones and all lines enter the zone at one point only.

If configuration M is used, the metal components (e.g. cabinets, enclosures, racks) of the internal systems are not to be isolated from the earthing system, but shall be integrated into it by multiple bonding points, resulting in type  $M_M$ . Configuration M is preferred for internal systems extended over relatively wide zones or over a whole structure, where many lines run between the individual pieces of equipment, and where the lines enter the structure at several points.

In complex systems, the advantages of both configurations (configuration M and S) can be combined as illustrated in Figure 10, resulting in combination 1 ( $S_S$  combined with  $M_M$ ) or in combination 2 ( $M_S$  combined with  $M_M$ ).



IEC 2779/10

**Key**

<hr/>	bonding network
<hr style="border-top: 1px solid black; border-bottom: none;"/>	bonding conductor
<hr style="border-top: 1px solid black; border-bottom: 1px solid black;"/>	equipment
●	bonding point to the bonding network
ERP	earthing reference point
$S_S$	star point configuration integrated by star point
$M_M$	meshed configuration integrated by mesh
$M_S$	meshed configuration integrated by star point

**Figure 10 – Combinations of integration methods of conductive parts of internal systems into the bonding network**

#### 5.4 Bonding bars

Bonding bars shall be installed for bonding of

- all conductive services entering an LPZ (directly or by using suitable SPDs),
- the protective earth conductor PE,
- metal components of the internal systems (e.g. cabinets, enclosures, racks),
- the magnetic shields of the LPZ at the periphery and inside the structure.

For efficient bonding the following installation rules are important:

- the basis for all bonding measures is a low impedance bonding network;
- bonding bars should be connected to the earthing system by the shortest possible route;
- material and dimensions of bonding bars and bonding conductors shall comply with 5.6;
- SPDs should be installed in such a way as to use the shortest possible connections to the bonding bar as well as to live conductors, thus minimizing inductive voltage drops;
- on the protected side of the circuit (downstream of an SPD), mutual induction effects should be minimized, either by minimizing the loop area or using shielded cables or cable ducts.

## **5.5 Bonding at the boundary of an LPZ**

Where an LPZ is defined, bonding shall be provided for all metal parts and services (e.g. metal pipes, power lines or signal lines) penetrating the boundary of the LPZ.

**NOTE** Bonding of services entering LPZ 1 should be discussed with the service network providers involved (e.g. electrical power or telecommunication authorities), because there could be conflicting requirements.

Bonding shall be performed via bonding bars, which are installed as closely as possible to the entrance point at the boundary.

Where possible, incoming services should enter the LPZ at the same location and be connected to the same bonding bar. If services enter the LPZ at different locations, each service shall be connected to a bonding bar and these bonding bars shall be connected together. To realise this, bonding to a ring bonding bar (ring conductor) is recommended.

Equipotential bonding SPDs are always required at the entrance of the LPZ to bond incoming lines, which are connected to the internal systems within the LPZ, to the bonding bar. Using an interconnected or extended LPZ can reduce the number of SPDs required.

Shielded cables or interconnected metal cable ducts, bonded at each LPZ boundary, can be used either to interconnect several LPZ of the same order to one joint LPZ, or to extend an LPZ to the next boundary.

## **5.6 Material and dimensions of bonding components**

Material, dimensions and conditions of use shall comply with IEC 62305-3. The minimum cross-section for bonding components shall comply with Table 1 below.

Clamps shall be dimensioned in accordance with the lightning current values of the LPL (see IEC 62305-1) and the current sharing analysis (see IEC 62305-3).

SPDs shall be dimensioned in accordance with Clause 7.

**Table 1 – Minimum cross-sections for bonding components**

Bonding component	Material <sup>a</sup>	Cross-section <sup>b</sup> mm <sup>2</sup>
Bonding bars (copper, copper coated steel or galvanized steel)	Cu, Fe	50
Connecting conductors from bonding bars to the earthing system or to other bonding bars (carrying the full or a significant part of lightning current)	Cu	16
	Al	25
	Fe	50
Connecting conductors from internal metal installations to bonding bars (carrying a partial lightning current)	Cu	6
	Al	10
	Fe	16
Earthing conductors to the SPD (carrying the full or a significant part of lightning current) <sup>c</sup>	Class I	16
	Class II	6
	Class III	1
	Other SPDs <sup>d</sup>	1

<sup>a</sup> Other material used should have cross-sections ensuring equivalent resistance.  
<sup>b</sup> In some countries, smaller conductor sizes may be used, provided that they fulfil the thermal and mechanical requirements – see Annex D of IEC 62305-1:2010.  
<sup>c</sup> For SPDs used in power applications, additional information for connecting conductors is given in IEC 60364-5-53 and IEC 61643-12.  
<sup>d</sup> Other SPDs include SPDs used in telecommunication and signalling systems.

## 6 Magnetic shielding and line routing

### 6.1 General

Magnetic shielding can reduce the electromagnetic field as well as the magnitude of induced internal surges. Suitable routing of internal lines can also minimize the magnitude of induced internal surges. Both measures are effective in reducing permanent failure of internal systems.

### 6.2 Spatial shielding

Spatial shields define protected zones, which may cover the whole structure, a part of it, a single room or the equipment enclosure only. These may be grid-like, or continuous metal shields, or comprise the "natural components" of the structure itself (see IEC 62305-3).

Spatial shields are advisable where it is more practical and useful to protect a defined zone of the structure instead of several individual pieces of equipment. Spatial shields should be provided in the early planning stage of a new structure or a new internal system. Retrofitting to existing installations may result in higher costs and greater technical difficulties.

### 6.3 Shielding of internal lines

Shielding may be restricted to cabling and equipment of the system to be protected; metallic shield of cables, closed metallic cable ducts and metallic enclosures of equipment are used for this purpose.

### 6.4 Routing of internal lines

Suitable routing of internal lines minimizes induction loops and reduces the creation of surge voltages internally in the structure. The loop area can be minimized by routing the cables close to natural components of the structure which have been earthed and/or by routing electrical and signal lines together.

NOTE Some distance between power lines and unshielded signal lines may still be needed to avoid interference.

## 6.5 Shielding of external lines

Shielding of external lines entering the structure includes cable shields, closed metallic cable ducts and concrete cable ducts with interconnected reinforcement steel. Shielding of external lines is helpful, but often not the responsibility of the SPM planner (since the owner of external lines is normally the network provider).

## 6.6 Material and dimensions of magnetic shields

At the boundary of LPZ 0<sub>A</sub> and LPZ 1, materials and dimensions of magnetic shields (e.g. grid-like spatial shields, cable shields and equipment enclosures) shall comply with the requirements of IEC 62305-3 for air-termination conductors and/or down-conductors. In particular:

- minimum thickness of sheet metal parts, metal ducts, piping and cable shields shall comply with Table 3 of IEC 62305-3:2010;
- layouts of grid-like spatial shields and the minimum cross-section of their conductors, shall comply with Table 6 of IEC 62305-3:2010.

The dimensions of magnetic shields not intended to carry lightning currents are not required to conform to Tables 3 and 6 of IEC 62305-3:2010:

- at the boundary of LPZs 1/2 or higher, provided that the separation distance,  $s$ , between magnetic shields and the LPS is fulfilled (see 6.3 of IEC 62305-3:2010),
- at the boundary of any LPZ, if the number of dangerous events  $N_D$  due to lightning flashes to the structure is negligible, i.e.  $N_D < 0,01$  per year.

## 7 Coordinated SPD system

The protection of internal systems against surges requires a systematic approach consisting of coordinated SPDs for both power and signal lines. The rules for the selection and installation of a coordinated SPD system are similar in both cases (see Annex C).

In SPM using the lightning protection zones concept with more than one inner LPZ (LPZ 1, LPZ 2 and higher), SPD(s) shall be located at the line entrance into each LPZ (see Figure 2).

In SPM using LPZ 1 only, an SPD shall be located at the line entrance into LPZ 1 at least.

In both cases, additional SPDs may be required if the distance between the location of the SPD and the equipment being protected is long (see Annex C).

The SPD's test requirements shall comply with

- IEC 61643-1 for power systems,
- IEC 61643-21 for telecommunication and signalling systems.

Information on selection and installation of a coordinated SPD system are reported in Annex C. Selection and installation of a coordinated SPD system shall comply also with

- IEC 61643-12 and IEC 60364-5-53 for protection of power systems,
- IEC 61643-22 for protection of telecommunications and signalling systems.

Information and guidelines as to the magnitude of surges created by lightning, for the purpose of dimensioning SPDs at different installation points in the structure, is provided in Annex D of this standard and Annex E of IEC 62305-1:2010.

## 8 Isolating interfaces

Isolating interfaces may be used to reduce the effects of LEMP. Protection of such interfaces against overvoltages, where needed, may be achieved using SPDs. The withstand level of the isolating interface and the voltage protection level of the SPD  $U_P$  shall be coordinated with the overvoltage categories of IEC 60664-1.

NOTE The scope of this part of IEC 62305 deals with protection of equipment within structures, and not protection of interconnected structures to which the isolation transformer may provide some benefit.

## 9 SPM management

### 9.1 General

To achieve a cost-effective and efficient protection system, the design should be carried out during the building conception stage and before construction. This allows one to optimize the use of the natural components of the structure and to choose the best compromise for the cabling layout and equipment location.

For a retrofit to existing structures, the cost of SPM is generally higher than that of the cost for new structures. However, it is possible to minimize the cost by a proper choice of LPZ and by using existing installations or by upgrading them.

Proper protection can be achieved only if

- provisions are defined by a lightning protection expert,
- good coordination exists between the different experts involved in the building construction and in the SPM (e.g. civil and electrical engineers),
- the management plan of 9.2 is followed.

The SPM shall be maintained by inspection and maintenance. After relevant changes to the structure or to the protection measures, a new risk assessment should be carried out.

### 9.2 SPM management plan

Planning and coordination of the SPM requires a management plan (see Table 2), which begins with an initial risk assessment (IEC 62305-2) to determine the required protection measures needed to reduce the risk to a tolerable level. To accomplish this, the lightning protection zones shall be determined.

In accordance with the LPL defined in IEC 62305-1, and the protection measures to be adopted, the following steps shall be carried out:

- an earthing system, comprising a bonding network and an earth-termination system, shall be provided;
- external metal parts and incoming services shall be bonded directly or via suitable SPDs;
- the internal system shall be integrated into the bonding network;
- spatial shielding in combination with line routing and line shielding may be implemented;
- requirements for a coordinated SPD system shall be determined;
- suitability of isolating interfaces shall be determined;
- for existing structures, special measures may be needed (see Annex B).

After this, the cost/benefit ratio of the selected protection measures should be re-evaluated and optimized using the risk assessment method again.

**Table 2 – SPM management plan for new buildings and for extensive changes in construction or use of buildings**

Step	Aim	Action to be taken by
Initial risk analysis <sup>a</sup>	To check the need for LEMP protection If needed, select suitable SPM using the risk assessment method To check the risk reduction after each successive protection measure taken	Lightning protection expert <sup>b</sup> Owner
Final risk analysis <sup>a</sup>	The cost/benefit ratio for the selected protection measures should be optimized using the risk assessment method again As a result the following are defined: - LPL and the lightning parameters - LPZs and their boundaries	Lightning protection expert <sup>b</sup> Owner
SPM planning	Definition of the SPM: - spatial shielding measures - bonding networks - earth-termination systems - line shielding and routing - shielding of incoming services - a coordinated SPD system - isolating interface	Lightning protection expert Owner Architect Planners of internal systems Planners of relevant installations
SPM design	General drawings and descriptions Preparation of lists for tenders Detailed drawings and timetables for the installation	Engineering office or equivalent
Installation of the SPM including supervision	Quality of installation Documentation Possibly revision of the detailed drawings	Lightning protection expert Installer of the SPM Engineering office Supervisor
Approval of the SPM	Checking and documenting the state of the system	Independent lightning protection expert Supervisor
Recurrent inspections	Ensuring the adequacy of the SPM	Lightning protection expert Supervisor

<sup>a</sup> See IEC 62305-2.

<sup>b</sup> With a broad knowledge of EMC and knowledge of installation practices.

### 9.3 Inspection of SPM

#### 9.3.1 General

The inspection comprises checking the technical documentation, visual inspections and test measurements. The object of the inspection is to verify that

- the SPM complies with the design,
- the SPM is capable of performing its design function,
- any new additional protection measure is integrated correctly into the SPM.

Inspections shall be made

- during the installation of the SPM,
- after the installation of the SPM,
- periodically,
- after any alteration of components relevant to the SPM,
- possibly after a lightning flash to the structure (e.g. where indicated by a lightning flash counter, or where an eyewitness account of a flash to the structure is provided, or where there is visual evidence of lightning-related damage to the structure).

The frequency of the periodical inspections shall be determined with consideration to

- the local environment, such as corrosive soils and corrosive atmospheric conditions,
- the type of protection measures employed.

NOTE Where no specific requirements are identified by the authority having jurisdiction, the values of Table E.2 of IEC 62305-3:2010 are recommended.

### **9.3.2 Inspection procedure**

#### **9.3.2.1 Checking of technical documentation**

After the installation of new SPM measures, the technical documentation shall be checked for compliance with the relevant standards, and for completeness. Consequently, the technical documentation shall be continuously updated, e.g. after any alteration or extension of the SPM.

#### **9.3.2.2 Visual inspection**

Visual inspection shall be carried out to verify that

- there are no loose connections nor any accidental breaks in conductors and joints,
- no part of the system has been weakened due to corrosion, especially at ground level,
- bonding conductors and cable shields are intact and interconnected,
- there are no additions or alterations which require further protection measures,
- there is no indication of damage to the SPDs and their fuses or disconnectors,
- appropriate line routings are maintained,
- safety distances to the spatial shields are maintained.

#### **9.3.2.3 Measurements**

A measurement of electrical continuity should be performed on those parts of an earthing and bonding system that are not visible for inspection.

NOTE If an SPD does not have a visual indicator (flag), measurements shall be performed in accordance with the manufacturer's instructions to confirm its operating status, when so required.

### **9.3.3 Inspection documentation**

An inspection guide should be prepared to facilitate the process. The guide should contain sufficient information to assist the inspector with his task, so that all aspects of the installation and its components, tests methods and test data which is recorded, can be documented.

The inspector shall prepare a report, which shall be attached to the technical documentation and the previous inspection reports. The inspection report shall contain information covering

- the general status of the SPM,
- any deviation(s) from the technical documentation,
- the result of any measurements performed.

#### 9.4 Maintenance

After inspection, all defects noted shall be corrected without delay. If necessary, the technical documentation shall be updated.

IECNORM.COM : Click to view the full PDF of IEC 62305-4:2010

## Annex A (informative)

### **Basis of electromagnetic environment evaluation in an LPZ**

#### **A.1 General**

Annex A provides information for the evaluation of the electromagnetic environment inside an LPZ that can be used for protection against LEMP. It is also suitable for protection against electromagnetic interference.

#### **A.2 Damaging effects on electrical and electronic systems due to lightning**

##### **A.2.1 The source of damage**

The primary source of damage is the lightning current and its associated magnetic field, which have the same waveshape as the lightning current.

NOTE For protection considerations the influence of the lightning electric field is usually of minor interest.

##### **A.2.2 Object of damage**

Internal systems installed in or on a structure having only a limited withstand level to surges and to magnetic fields, may be damaged or operate incorrectly when subjected to the effects of lightning and its subsequent magnetic fields.

Systems mounted outside a structure can be at risk due to the unattenuated magnetic field and, if positioned in an exposed location, due to surges up to the full lightning current of a direct lightning strike.

Systems installed inside a structure can be at risk due to the remaining attenuated magnetic field, due to the conducted or induced internal surges and due to external surges conducted by incoming lines.

For details concerning equipment withstand levels the following standards are of relevance:

- the rated impulse voltage level of the power installation is defined in Table F.1 of IEC 60664-1:2007. The withstand level is defined by the rated impulse withstand voltage 1,5 kV – 2,5 kV – 4 kV and 6 kV for 230/400V and 277/480V systems;
- the withstand level of telecommunication equipment is defined in ITU-T K.20<sup>[3]</sup>, K.21<sup>[4]</sup> and K.45<sup>[5]</sup>.

The withstand level of equipment is generally defined in the accompanying product specification sheet, or can be tested

- against conducted surges using IEC 61000-4-5 with test levels for voltage: 0,5 kV – 1 kV – 2 kV and 4 kV at 1,2/50 µs waveshape and with test levels for current: 0,25 kV – 0,5 kV – 1 kV and 2 kA at 8/20 µs waveshape,

NOTE In order for certain equipment to meet the requirements of the above standard, it may incorporate internal SPDs. The characteristics of these internal SPDs may affect the coordination requirements.

- against magnetic fields using IEC 61000-4-9 with test levels: 100 A/m – 300 A/m – 1 000 A/m at 8/20 µs waveshape and IEC 61000-4-10 with test levels: 10 A/m – 30 A/m – 100 A/m at 1MHz.

Equipment not complying with radio frequency (RF) radiated emission and immunity tests, as defined by the relevant EMC product standards, can be at risk due to directly radiated

magnetic fields into it. On the other hand, the failure of equipment complying with these standards can be neglected.

### A.2.3 Coupling mechanisms between the object of damage and the source of damage

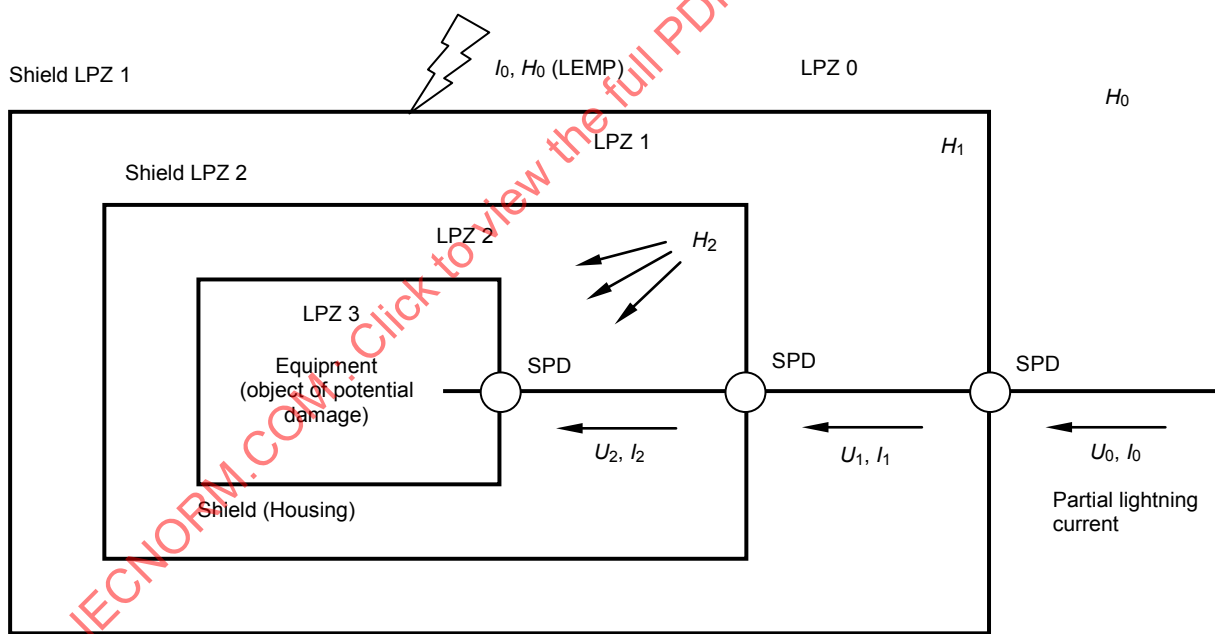
The equipment's withstand level needs to be compatible with the source of damage. To achieve this, the coupling mechanisms need to be adequately controlled by the appropriate creation of lightning protection zones (LPZs).

## A.3 Spatial shielding, line routing and line shielding

### A.3.1 General

The magnetic field caused inside an LPZ by lightning flashes to the structure or the nearby ground, may be reduced by spatial shielding of the LPZ only. Surges induced into the electronic system can be minimized either by spatial shielding, or by line routing and shielding, or by a combination of both methods.

Figure A.1 provides an example of the LEMP in the case of lightning strike to the structure showing the lightning protection zones LPZ 0, LPZ 1 and LPZ 2. The electronic system to be protected is installed inside LPZ 2.



IEC 2780/10

**Figure A.1 – LEMP situation due to lightning strike**

In Table A.1 points 1, 2 and 3 define the parameters  $I_0$ ,  $H_0$ , and  $U_W$  of Figure A.1; suitable test parameters, to assure that equipment is able to withstand the expected stress in its installation location, are given in points 4 and 5.

**Table A.1 – Parameters relevant to source of harm and equipment**

		Primary source of harm LEMP								
		As defined from parameters in accordance with LPLs I to IV:								
1.	IEC 62305-1	Impulse μs	Amplitude for LPL I – II – III - IV kA	Steepness for LPL I – II – III - IV kA/μs	Relevant effects:					
		$I_0$	10/350 1/200 0,25/100	200 – 150 – 100 – 100 100 – 75 – 50 – 50 50 – 37,5 – 25 – 25	20 – 15 – 10 – 10 100 – 75 – 50 – 50 200 – 150 – 100 – 100	Partial lightning current Induction Induction				
		$H_0$	Derived from the corresponding $I_0$							
	Rated impulse voltage level of power installation									
2.	As defined for overvoltage category I to IV for nominal voltages 230/400 V and 277/480 V:									
	IEC 60664-1	$U_w$	Overvoltage category I to IV		6 kV – 4 kV – 2,5 kV – 1,5 kV					
3.	Withstand level of telecommunication equipment									
	ITU Recommendation K.20 <sup>[3]</sup> , K.21 <sup>[4]</sup> and K.45 <sup>[5]</sup>									
4.	Tests for equipment without suitable product standards									
	Withstand level of equipment as defined for conducted ( $U_c$ ) lightning effects:									
	IEC 61000-4-5	$U_{oc}$	Impulse 1,2/50 μs		4 kV – 2 kV – 1 kV – 0,5 kV					
		$I_{sc}$	Impulse 8/20 μs		2 kVA – 1 kVA – 0,5 kVA – 0,25 kA					
5.	Tests for equipment not complying with relevant EMC product standards									
	Withstand level of equipment as defined for radiated ( $H$ ) lightning effects:									
	IEC 61000-4-9	$H$	Impulse 8/20 μs, (damped oscillation 25 kHz, $T_p = 10 \mu s$ )		1 000 A/m – 300 A/m – 100 A/m					
	IEC 61000-4-10	$H$	Damped oscillation 1 MHz, (impulse 0,2/0,5 μs, $T_p = 0,25 \mu s$ )		100 A/m – 30 A/m – 10 A/m					

The primary electromagnetic sources of harm to the electronic system are the lightning current  $I_0$  and the magnetic field  $H_0$ . Partial lightning currents flow through the incoming services. These currents as well as the magnetic fields have approximately the same waveshape. The lightning current to be considered here consists of a first positive stroke  $I_F$  (typically with a long tail 10/350 μs waveshape) and first negative stroke  $I_{FN}$  (1/200 μs waveshape) and subsequent strokes  $I_S$  (0,25/100 μs waveshape). The current of the first positive stroke  $I_F$  generates the magnetic field  $H_F$ , the current of the first negative stroke  $I_{FN}$  generate the magnetic field  $H_{FN}$ , and the currents of the subsequent strokes  $I_S$  generate the magnetic fields  $H_S$ .

The magnetic induction effects are mainly caused by the rising front of the magnetic field. As shown in Figure A.2, the rising front of  $H_F$  can be characterized by a damped oscillating field of 25 kHz with maximum value  $H_{F/MAX}$  and time to maximum value  $T_{P/F}$  of 10 μs. In the same way, the rising front of  $H_S$  can be characterized by a damped oscillating field of 1 MHz with maximum value  $H_{S/MAX}$  and time to maximum value  $T_{P/S}$  of 0,25 μs. Similarly the rising front of  $H_{FN}$  can be characterized by a damped oscillating field of 250 kHz with maximum value  $H_{FN/MAX}$  and time to maximum value  $T_{P/FN}$  of 1 μs.

It follows that the magnetic field of the first positive stroke can be characterized by a typical frequency of 25 kHz, the magnetic field of the first negative stroke by a typical frequency of 250 kHz, and the magnetic field of the subsequent strokes by a typical frequency of 1 MHz. Damped oscillating magnetic fields of these frequencies are defined for test purposes in IEC 61000-4-9 and IEC 61000-4-10.

By installing magnetic shields and SPDs at the interfaces of the LPZ, the effect of the unattenuated lightning defined by  $I_0$  and  $H_0$ , should be reduced to or under the withstand level of the equipment. As shown in Figure A.1, the equipment should withstand the surrounding magnetic field  $H_2$  and the conducted lightning currents  $I_2$  and voltages  $U_2$ .

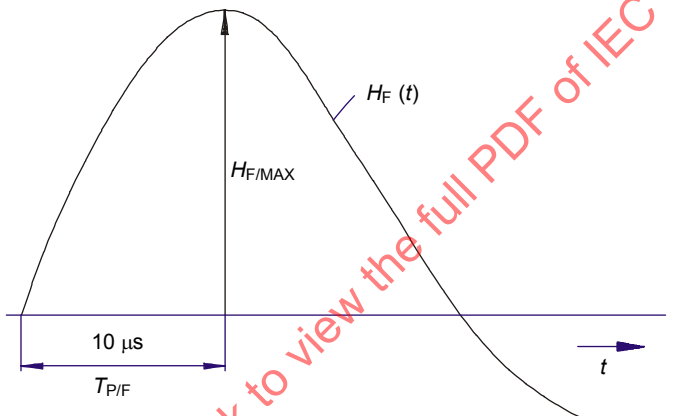
The reduction of  $I_1$  to  $I_2$  and of  $U_1$  to  $U_2$  is the subject of Annex C, whereas the reduction of  $H_0$  to a sufficiently low value of  $H_2$  is considered here as follows:

In the case of a grid-like spatial shield, it may be assumed that the waveshape of the magnetic field inside the LPZs ( $H_1$ ,  $H_2$ ) is the same as the waveshape of the magnetic field outside ( $H_0$ ).

The damped oscillating waveforms shown in Figure A.2 comply with the tests defined in IEC 61000-4-9 and IEC 61000-4-10 and can be used to determine the equipment's withstand level to magnetic fields created by the rise of the magnetic field of the first positive stroke  $H_F$  and of the subsequent strokes  $H_S$ .

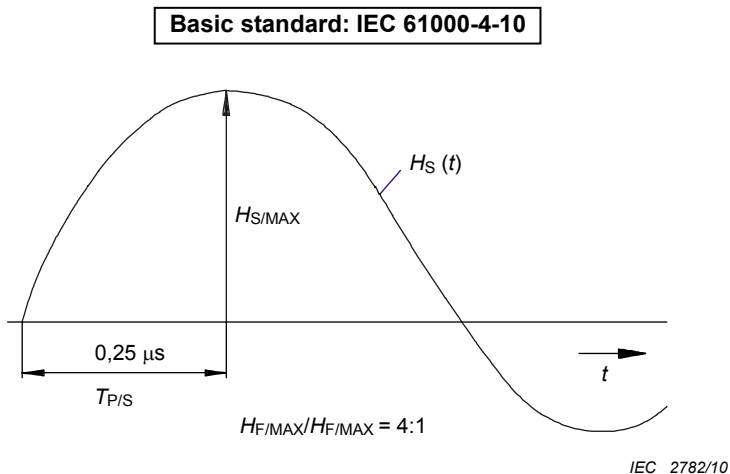
The induced surges caused by the magnetic field coupled into the induction loop (see Clause A.5), should be lower than, or equal to, the equipment's withstand level.

**Basic standard: IEC 61000-4-9**



IEC 2781/10

**Figure A.2a – Simulation of the rise of the field of the first positive stroke (10/350 μs) by a single impulse 8/20 μs (damped 25 kHz oscillation)**



**Figure A.2b – Simulation of the rise of the field of the subsequent stroke (0,25/100 µs) by damped 1MHz oscillations (multiple impulses 0,2/0,5 µs)**

NOTE 1 Although the definitions of the time to the maximum value  $T_p$  and the front time  $T_1$  are different, for a convenient approach, their numerical values are taken as equal here.

NOTE 2 The ratio of the maximum values  $H_{F/MAX} / H_{FN/MAX} / H_{S/MAX} = 4 : 2 : 1$

### Figure A.2 – Simulation of the rise of magnetic field by damped oscillations

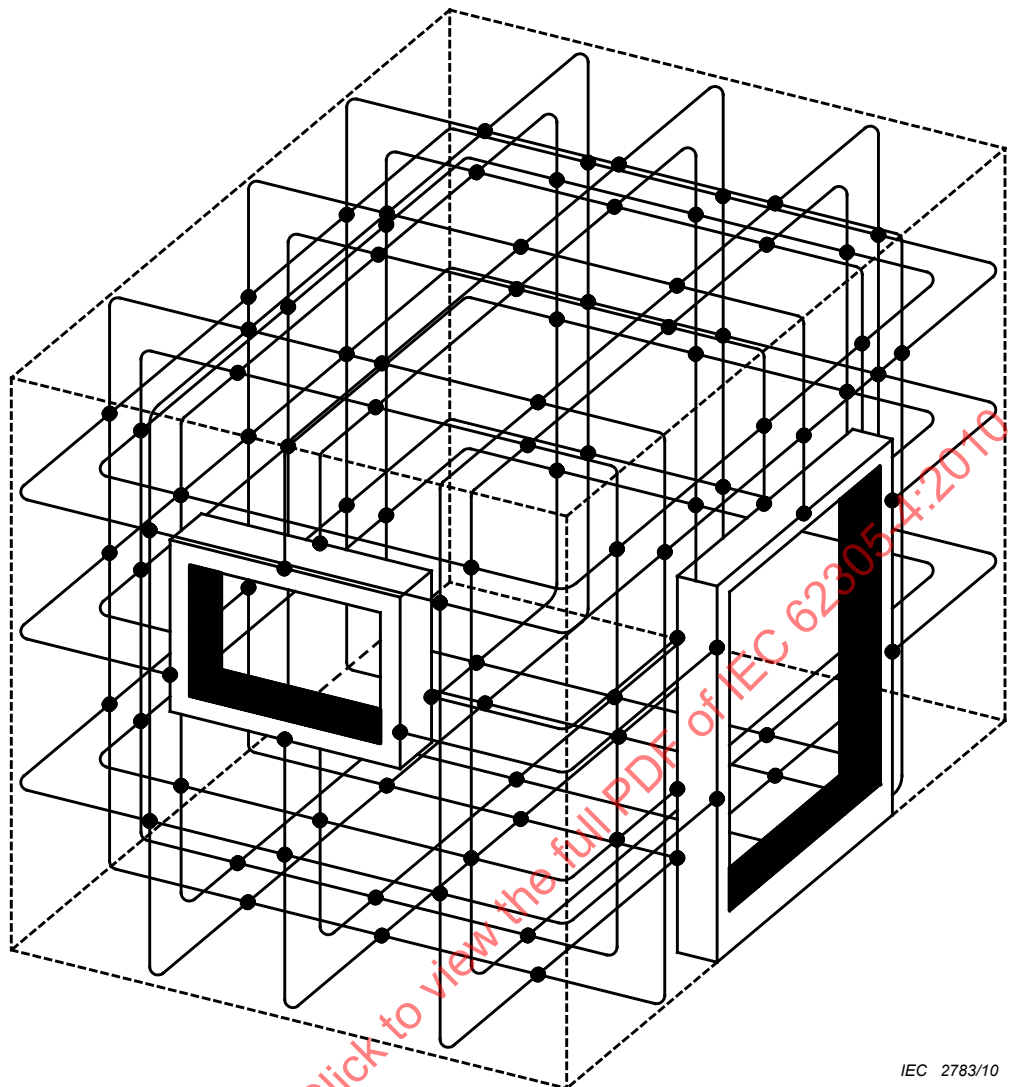
#### A.3.2 Grid-like spatial shields

In practice, the large volume shields of LPZs are usually created by natural components of the structure such as the metal reinforcement in the ceilings, walls and floors, the metal framework, the metal roofs and metal facades. These components together create a grid-like spatial shield. Effective shielding requires that the mesh width be typically less than 5 m.

NOTE 1 The shielding effect may be neglected if an LPZ 1 is created by a normal external LPS in accordance with IEC 62305-3 with mesh widths and typical distances greater than 5 m. Otherwise, a large steel frame building with many structural steel stanchions provides a significant shielding effect.

NOTE 2 Shielding in subsequent inner LPZ can be accomplished either by adopting spatial shielding measures, by using closed metal racks or cabinets, or by using the metal enclosure of the equipment.

Figure A.3 shows how in practice the metal reinforcement in concrete and metal frames (for metal doors and possibly shielded windows) can be used to create a large volume shield for a room or building.

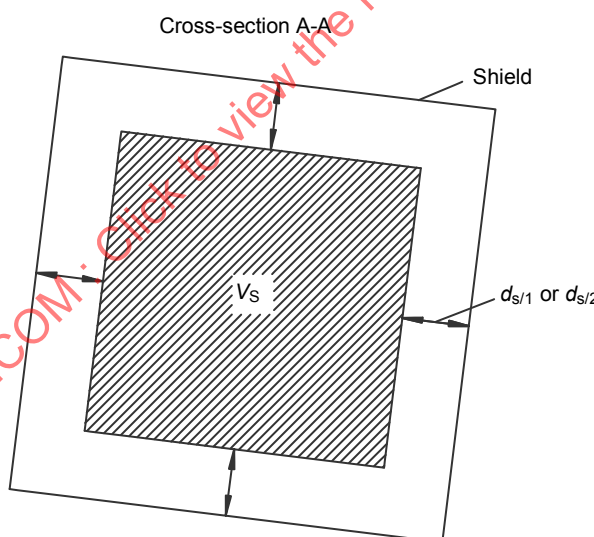
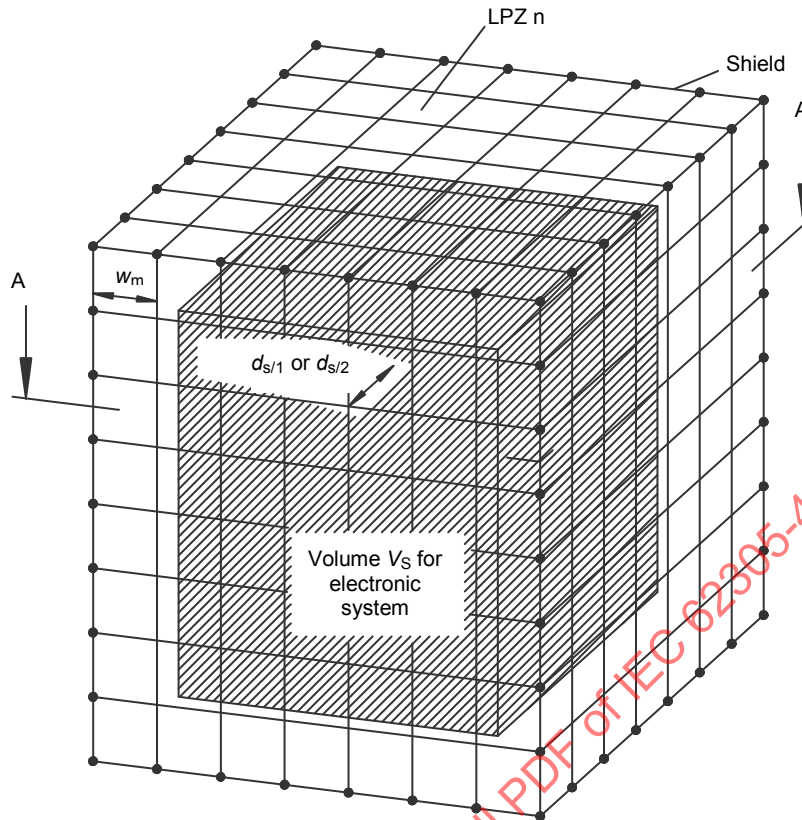
**Key**

- welded or clamped at every rod and at the crossings

**NOTE** In practice, it is not possible for extended structures to be welded or clamped at every point. However, most of the points are naturally connected by direct contacts or by additional wiring. A practical approach therefore could be a connection at about every 1 m.

**Figure A.3 – Large volume shield built by metal reinforcement and metal frames**

Internal systems should be located inside a “safety volume” which respects a safety distance from the shield of the LPZ (see Figure A.4). This is because of the relatively high magnetic fields close to the shield, due to partial lightning currents flowing in the shield (particularly for LPZ 1).



IEC 2784/10

**NOTE** The volume  $V_S$  should keep a safety distance  $d_{s/1}$  or  $d_{s/2}$  from the shield of LPZ n – see Clause A.4.

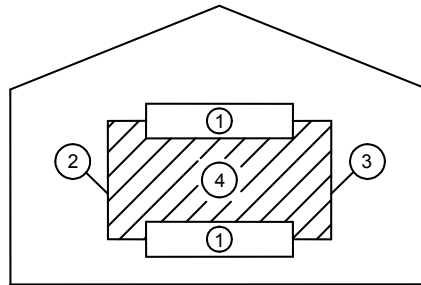
**Figure A.4 – Volume for electrical and electronic systems inside an inner LPZ n**

### A.3.3 Line routing and line shielding

Surges induced into the internal systems can be reduced by suitable line routing (minimizing the induction loop area) or by using shielded cables or metallic cable ducts (minimizing the induction effects inside), or a combination of both (see Figures A.5).

**Key**

- 1 equipment
- 2 signal wiring
- 3 power wiring
- 4 induction loop

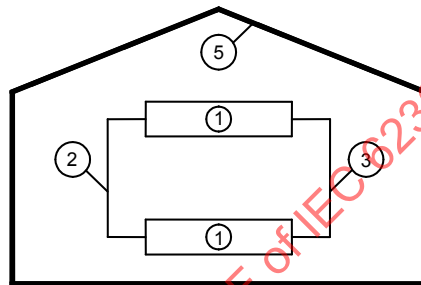


IEC 2785/10

**Figure A.5a – Unprotected system**

**Key**

- 1 equipment
- 2 signal wiring
- 3 power wiring
- 5 spatial shielding

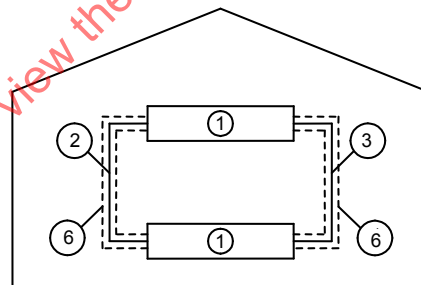


IEC 2786/10

**Figure A.5b – Reducing the magnetic field inside an inner LPZ by its spatial shield**

**Key**

- 1 equipment
- 2 signal wiring
- 3 power wiring
- 6 line shielding

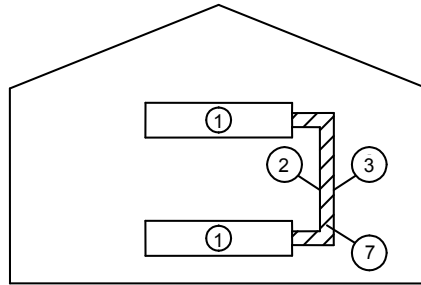


IEC 2787/10

**Figure A.5c – Reducing the influence of the field on lines by line shielding**

**Key**

- 1 equipment
- 2 signal wiring
- 3 power wiring
- 7 reduced loop area



IEC 2788/10

**Figure A.5d – Reducing the induction loop area by suitable line routing****Figure A.5 – Reducing induction effects by line routing and shielding measures**

The conductive cables connected to internal systems should be routed as closely to the metal components of the bonding network as possible. It is beneficial to run these cables in metal enclosures of the bonding network, for example U-shaped conduits or metal trunking (see also IEC 61000-5-2<sup>[6]</sup>).

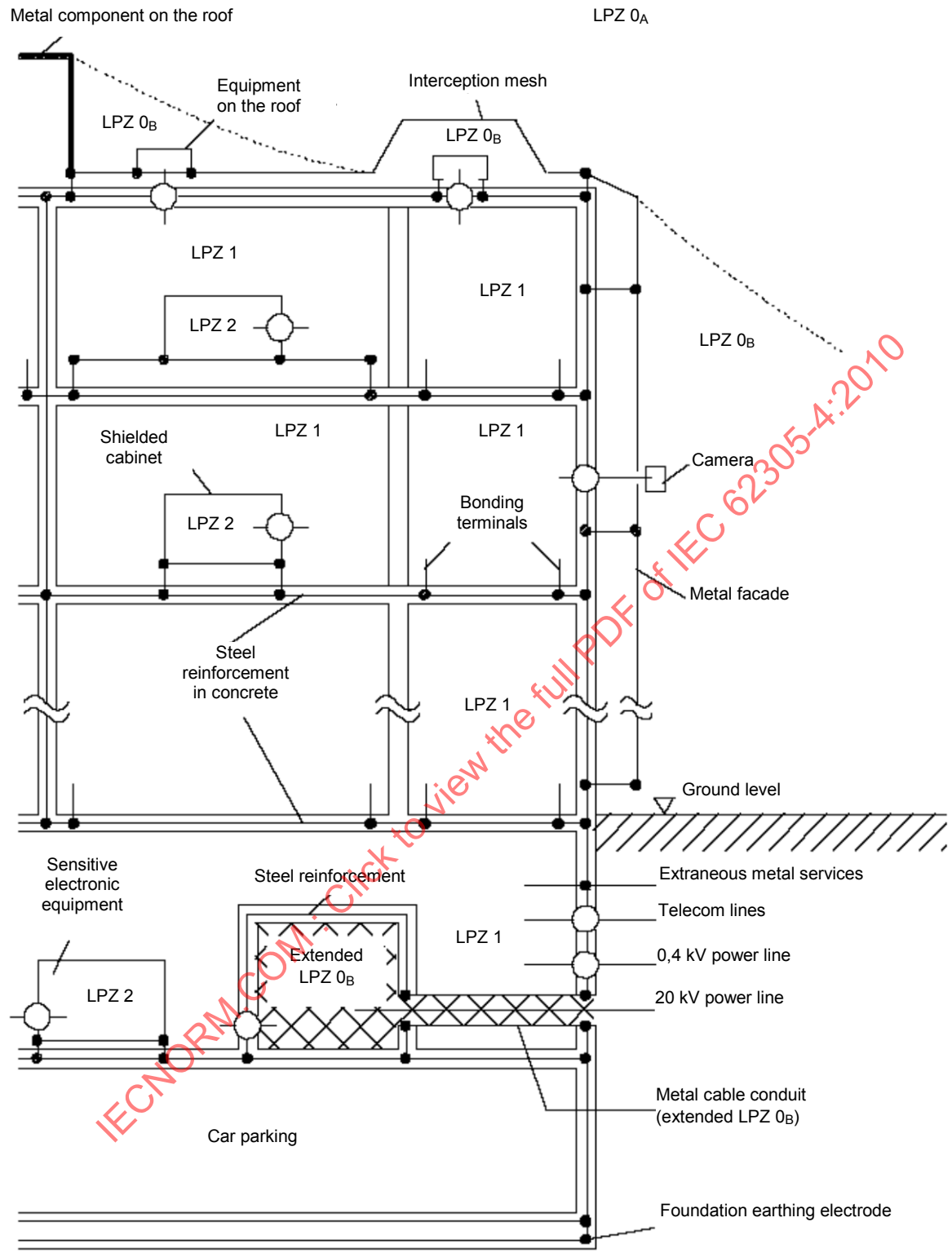
Particular attention should be paid when installing cables close to the shield of an LPZ (especially LPZ 1) due to the substantial value of the magnetic fields at that location.

When cables, which run between separate structures, need to be protected, they should be run in metal cable ducts. These ducts should be bonded at both ends to the bonding bars of the separate structures. If the cable shields (bonded at both ends) are able to carry the anticipated partial lightning current, additional metal cable ducts are not required.

Voltages and currents induced into loops, formed by installations, result in common mode surges at the internal systems. Calculations of these induced voltages and currents are described in Clause A.5.

Figure A.6 provides an example of a large office building:

- Shielding is achieved by steel reinforcement and metal facades for LPZ 1, and by shielded enclosures for the sensitive internal systems in LPZ 2. To be able to install a narrow meshed bonding system, several bonding terminals are provided in each room.
- LPZ 0 is extended into LPZ 1 to house a power supply of 20 kV, because the installation of SPDs on the high voltage power side immediately at the entrance was not possible in this special case.



IEC 2789/10

**Key**

- equipotential bonding
- surge protective device (SPD)

**Figure A.6 – Example of SPM for an office building**

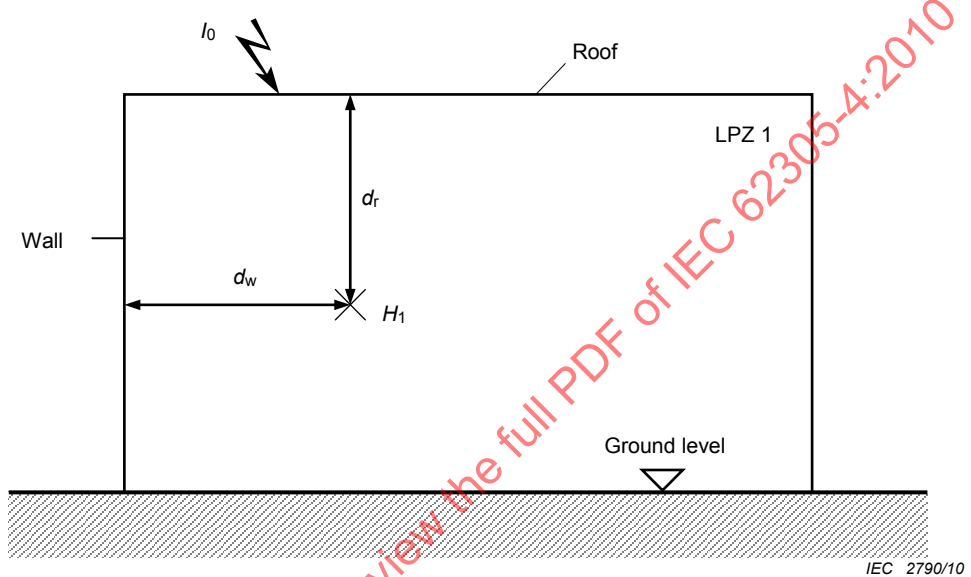
## A.4 Magnetic field inside LPZ

### A.4.1 Approximation for the magnetic field inside LPZ

If a theoretical (A.4.2), or experimental (A.4.3), investigation of the shielding effectiveness is not performed, the attenuation should be evaluated as follows.

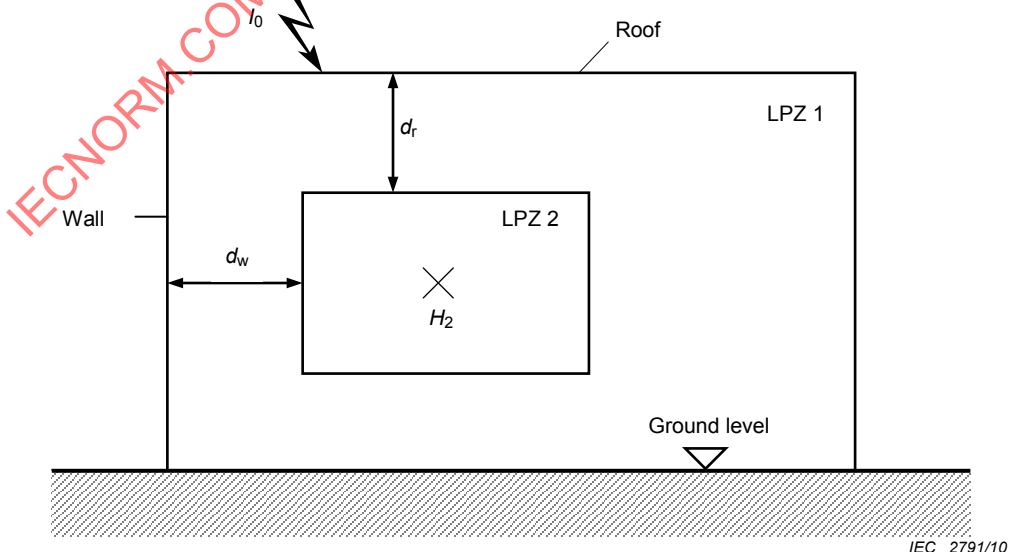
#### A.4.1.1 Grid-like spatial shield of LPZ 1 in the case of a direct lightning strike

The shield of a building (shield surrounding LPZ 1) can be part of the external LPS; currents due to direct lightning strikes will flow along it. This situation is depicted by Figure A.7a assuming that the lightning hits the structure at an arbitrary point of the roof.



NOTE Distances  $d_w$  and  $d_r$  are determined for the point considered.

Figure A.7a – Magnetic field inside LPZ 1



NOTE Distances  $d_w$  and  $d_r$  are determined for the boundary of LPZ 2.

Figure A.7b – Magnetic field inside LPZ 2

Figure A.7 – Evaluation of the magnetic field values in case of a direct lightning strike

For the magnetic field strength  $H_1$  at an arbitrary point inside LPZ 1, the following formula applies:

$$H_1 = k_h \times I_0 \times w_m / (d_w \times \sqrt{d_r}) \quad (\text{A/m}) \quad (\text{A.1})$$

where

- $d_r$  (m) is the shortest distance between the point considered and the roof of shielded LPZ 1;
- $d_w$  (m) is the shortest distance between the point considered to the wall of shielded LPZ 1;
- $I_0$  (A) is the lightning current in LPZ 0<sub>A</sub>;
- $k_h$  (1/ $\sqrt{\text{m}}$ ) is the configuration factor, typically  $k_h = 0,01$ ;
- $w_m$  (m) is the mesh width of the grid-like shield of LPZ 1.

The result of this formula is the maximum value of the magnetic field in LPZ 1 (taking the note below into account):

$$- H_{1/F/\text{MAX}} = k_h \times I_{F/\text{MAX}} \times w_m / (d_w \times \sqrt{d_r}) \quad (\text{A/m}) \quad \text{caused by the first positive stroke} \quad (\text{A.2})$$

$$- H_{1/FN/\text{MAX}} = k_h \times I_{FN/\text{MAX}} \times w_m / (d_w \times \sqrt{d_r}) \quad (\text{A/m}) \quad \text{caused by the first negative stroke} \quad (\text{A.3})$$

$$- H_{1/S/\text{MAX}} = k_h \times I_{S/\text{MAX}} \times w_m / (d_w \times \sqrt{d_r}) \quad (\text{A/m}) \quad \text{caused by the subsequent strokes} \quad (\text{A.4})$$

where

$I_{F/\text{MAX}}$  (A) is the maximum value of the first positive stroke current in accordance with the protection level;

$I_{FN/\text{MAX}}$  (A) is the maximum value of the first negative stroke current in accordance with the protection level;

$I_{S/\text{MAX}}$  (A) is the maximum value of the subsequent stroke currents in accordance with the protection level.

NOTE 1 The field is reduced by a factor of 2 if a meshed bonding network in accordance with 5.2 is installed.

These values of the magnetic field are valid only for a safety volume  $V_S$  inside the grid-like shield with a safety distance  $d_{s/1}$  from the shield (see Figure A.4):

$$d_{s/1} = w_m \times SF / 10 \quad (\text{m}) \quad \text{for } SF \geq 10 \quad (\text{A.5})$$

$$d_{s/1} = w_m \quad (\text{m}) \quad \text{for } SF < 10 \quad (\text{A.6})$$

where

$SF$  (dB) is the shielding factor evaluated from the formulae of Table A.3;

$w_m$  (m) is the mesh width of the grid-like shield.

NOTE 2 Experimental results of the magnetic field inside an LPZ 1 with a grid-like shield indicate that the increase of the magnetic field close to the shield is less than that resulting from the equations above.

## EXAMPLE

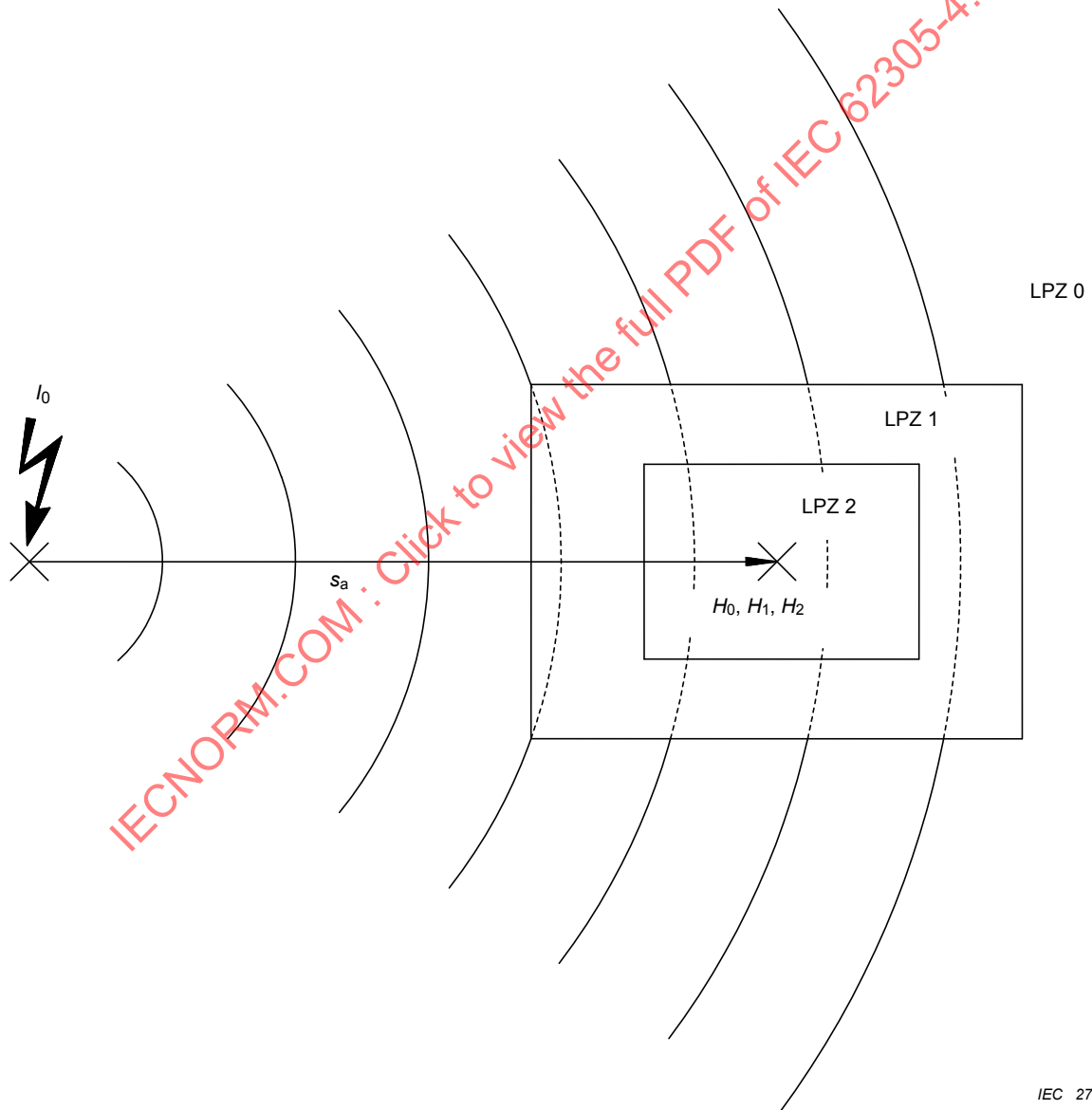
As an example, three copper grid-like shields with dimensions given in Table A.2, and having an average mesh width of  $w_m = 2$  m, are considered (see Figure A.10). This results in a safety distance  $d_{s/1} = 2,0$  m defining the safety volume  $V_S$ . The values for  $H_{1/\text{MAX}}$  valid inside  $V_S$  are calculated for  $I_{0/\text{MAX}} = 100$  kA and shown in Table A.2. The distance to the roof is half of the height:  $d_r = H/2$ . The distance to the wall is half of the length:  $d_w = L/2$  (centre) or equal to:  $d_w = d_{s/1}$  (worst case near the wall).

**Table A.2 – Examples for  $I_{0\text{MAX}} = 100 \text{ kA}$  and  $w_m = 2 \text{ m}$** 

Type of shield see Figure A.10	$L \times W \times H$ m	$H_{1/\text{MAX}}$ (centre) A/m	$H_{1/\text{MAX}} (d_w=d_{s/1})$ A/m
1	$10 \times 10 \times 10$	179	447
2	$50 \times 50 \times 10$	36	447
3	$10 \times 10 \times 50$	80	200

**A.4.1.2 Grid-like spatial shield of LPZ 1 in the case of a nearby lightning strike**

The situation for a nearby lightning strike is shown in Figure A.8. The incident magnetic field around the shielded volume of LPZ 1 can be approximated as a plane wave.

**Figure A.8 – Evaluation of the magnetic field values in case of a nearby lightning strike**

The shielding factor  $SF$  of the grid-like spatial shields for a plane wave is given in Table A.3 below.

**Table A.3 – Magnetic attenuation of grid-like spatial shields for a plane wave**

Material	<b>SF (dB) <sup>a, b</sup></b>	
	25 kHz (valid for the first positive stroke)	1 MHz (valid for subsequent strokes) or 250 kHz (valid for the first negative stroke)
Copper or aluminium	$20 \times \log (8,5/ w_m)$	$20 \times \log (8,5/ w_m)$
Steel <sup>c</sup>	$20 \times \log \left[ (8,5/ w_m) / \sqrt{1 + 18 \times 10^{-6} / r_c^2} \right]$	$20 \times \log (8,5/ w_m)$

*w<sub>m</sub>* mesh width of the grid-like shield (m).  
*r<sub>c</sub>* radius of a rod of the grid-like shield (m).

<sup>a</sup> SF = 0 in the case of negative results of the formulae.

<sup>b</sup> SF increases by 6 dB, if a meshed bonding network in accordance with 5.2 is installed.

<sup>c</sup> Permeability  $\mu_r \approx 200$ .

The incident magnetic field  $H_0$  is calculated using:

$$H_0 = I_0 / (2 \times \pi \times s_a) \text{ (A/m)} \quad (\text{A.7})$$

where

$I_0$  (A) is the lightning current in LPZ 0<sub>A</sub>;

$s_a$  (m) is the distance between the point of strike and the centre of the shielded volume.

From this, follows for the maximum value of the magnetic field in LPZ 0:

$$- H_{0/F/\text{MAX}} = I_{F/\text{MAX}} / (2 \times \pi \times s_a) \text{ (A/m) caused by the first positive stroke} \quad (\text{A.8})$$

$$- H_{0/FN/\text{MAX}} = I_{FN/\text{MAX}} / (2 \times \pi \times s_a) \text{ (A/m) caused by the first negative stroke} \quad (\text{A.9})$$

$$- H_{0/S/\text{MAX}} = I_{S/\text{MAX}} / (2 \times \pi \times s_a) \text{ (A/m) caused by the subsequent strokes} \quad (\text{A.10})$$

where

$I_{F/\text{MAX}}$  (A) is the maximum value of the lightning current of the first positive stroke in accordance with the chosen protection level;

$I_{FN/\text{MAX}}$  (A) is the maximum value of the lightning current of the first negative stroke in accordance with the chosen protection level;

$I_{S/\text{MAX}}$  (A) is the maximum value of the lightning current of the subsequent strokes in accordance with the chosen protection level.

The reduction of  $H_0$  to  $H_1$  inside LPZ 1 can be derived using the SF values given in Table A.3:

$$H_{1/\text{MAX}} = H_{0/\text{MAX}} / 10^{SF/20} \text{ (A/m)} \quad (\text{A.11})$$

where

$SF$  (dB) is the shielding factor evaluated from the formulae of Table A.3;

$H_{0/\text{MAX}}$  (A/m) is the magnetic field in LPZ 0.

From this follows for the maximum value of the magnetic field in LPZ 1:

$$- H_{1/F/\text{MAX}} = H_{0/F/\text{MAX}} / 10^{SF/20} \text{ (A/m) caused by the first positive stroke} \quad (\text{A.12})$$

$$- H_{1/FN/MAX} = H_{0/FN/MAX} / 10^{SF/20} \text{ (A/m) caused by the first negative stroke} \quad (\text{A.13})$$

$$- H_{1/S/MAX} = H_{0/S/MAX} / 10^{SF/20} \text{ (A/m) caused by the subsequent strokes} \quad (\text{A.14})$$

These magnetic field values are valid only for a safety volume  $V_S$  inside the grid-like shield with a safety distance  $d_{s/2}$  from the shield (see Figure A.4).

$$- d_{s/2} = w_m^{SF/10} \text{ (m)} \quad \text{for } SF \geq 10 \quad (\text{A.15})$$

$$- d_{s/2} = w_m \text{ (m)} \quad \text{for } SF < 10 \quad (\text{A.16})$$

where

$SF$  (dB) is the shielding factor evaluated from the formulae of Table A.3;

$w_m$  (m) is the mesh width of the grid-like shield.

For additional information concerning the calculation of the magnetic field strength inside grid-like shields in case of nearby lightning strikes, see A.4.3.

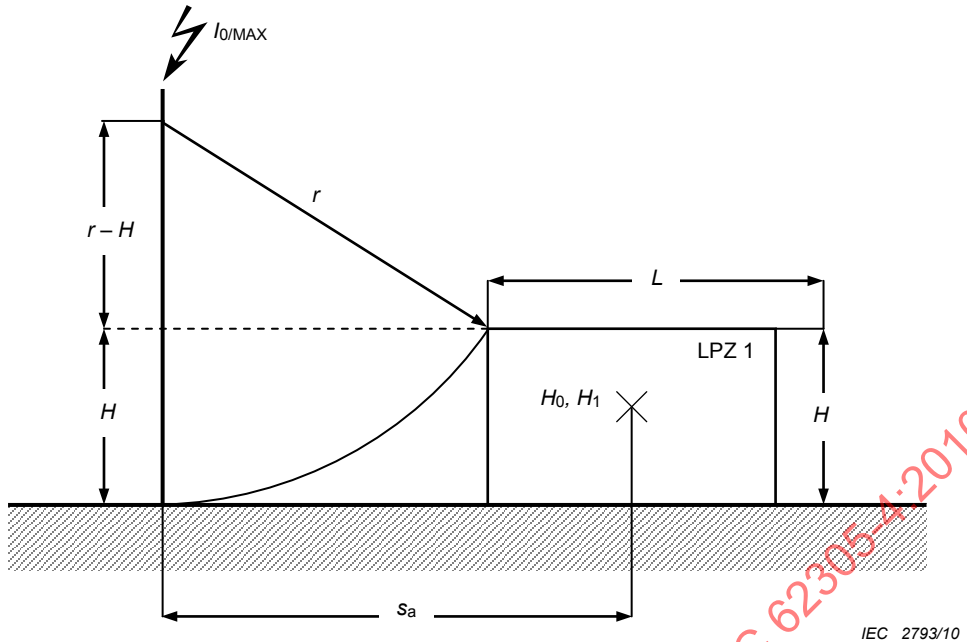
## EXAMPLES

The magnetic field strength  $H_{1/MAX}$  inside LPZ 1 in the case of a nearby lightning strike depends on: the lightning current  $I_{0/MAX}$ , the shielding factor  $SF$  of the shield of LPZ 1 and the distance  $s_a$  between the lightning channel and the centre of LPZ 1 (see Figure A.8).

The lightning current  $I_{0/MAX}$  depends on the LPL chosen (see IEC 62305-1). The shielding factor  $SF$  (see Table A.3) is mainly a function of the mesh width of the grid-like shield. The distance  $s_a$  is either:

- a given distance between the centre of LPZ 1 and an object nearby (e.g. a mast) in case of a lightning strike to this object; or
- the minimum distance between the centre of LPZ 1 and the lightning channel in case of a lightning strike to ground near LPZ 1.

The worst-case condition then is the highest current  $I_{0/MAX}$  combined with the closest distance  $s_a$  possible. As shown in Figure A.9, this minimum distance  $s_a$  is a function of height  $H$  and length  $L$  (or width  $W$ ) of the structure (LPZ 1), and of the rolling sphere radius,  $r$ , corresponding to  $I_{0/MAX}$  (see Table A.4), defined from the electro-geometric model (see Clause A.4 of IEC 62305-1:2010).



**Figure A.9 – Distance  $s_a$  depending on rolling sphere radius and structure dimensions**

The distance can be calculated as:

$$s_a = \sqrt{2 \times r \times H - H^2} + L/2 \quad \text{for } H < r \quad (\text{A.17})$$

$$s_a = r + L/2 \quad \text{for } H \geq r \quad (\text{A.18})$$

NOTE For distances smaller than this minimum value the lightning strikes the structure directly.

Three typical shields may be defined, having the dimensions given in Table A.5. A grid-like shield of copper with an average mesh width of  $w_m = 2$  m is assumed. This results in a shielding factor  $SF = 12,6$  dB and in a safety distance  $d_{s/2} = 2,5$  m defining the safety volume  $V_S$ . The values for  $H_{0/\text{MAX}}$  and  $H_{1/\text{MAX}}$ , which are assumed to be valid everywhere inside  $V_S$ , are calculated for  $I_{0/\text{MAX}} = 100$  kA and shown in Table A.5.

**Table A.4 – Rolling sphere radius corresponding to maximum lightning current**

Protection level	Maximum lightning current $I_{0/\text{MAX}}$ kA	Rolling sphere radius, $r$ m
I	200	313
II	150	260
III – IV	100	200

**Table A.5 – Examples for  $I_{0/\text{MAX}} = 100$  kA and  $w_m = 2$  m corresponding to  $SF = 12,6$  dB**

Type of shield see Figure A.10	$L \times W \times H$ m	$s_a$ m	$H_{0/\text{MAX}}$ A/m	$H_{1/\text{MAX}}$ A/m
1	$10 \times 10 \times 10$	67	236	56
2	$50 \times 50 \times 10$	87	182	43
3	$10 \times 10 \times 50$	137	116	27

#### A.4.1.3 Grid-like spatial shields for LPZ 2 and higher

In the grid-like shields of LPZ 2, and higher, no significant partial lightning currents will flow. Therefore, as a first approach, the reduction of  $H_n$  to  $H_{n+1}$  inside LPZ  $n + 1$  can be evaluated as given by A.4.1.2 for nearby lightning strikes:

$$H_{n+1} = H_n / 10^{SF/20} \text{ (A/m)} \quad (\text{A.19})$$

where

- $SF$  (dB) is the shielding factor from Table A.3;
- $H_n$  (A/m) is the magnetic field inside LPZ  $n$  (A/m).

If  $H_n = H_1$ , this field strength can be evaluated as follows:

- In the case of lightning strikes direct to the grid-like shield of LPZ 1 see A.4.1.1 and Figure A.7b, while  $d_w$  and  $d_r$  are the distances between the shield of LPZ 2 and the wall respectively the roof.
- In the case of lightning strikes nearby LPZ 1 see A.4.1.2 and Figure A.8.

These magnetic field values are valid only for a safety volume  $V_S$  inside the grid-like shield with a safety distance  $d_{S/2}$  from the shield (as defined in A.4.1.2 and shown in Figure A.4).

#### A.4.2 Theoretical evaluation of the magnetic field due to direct lightning strikes

In A.4.1.1, the formulae for the assessment of the magnetic field strength  $H_{1/\text{MAX}}$  are based on numerical magnetic field calculations for three typical grid-like shields as shown in Figure A.10. For these calculations, a lightning strike to one of the edges of the roof is assumed. The lightning channel is simulated by a vertical conducting rod with a length of 100 m on top of the roof. An idealized conducting plate simulates the ground plane.

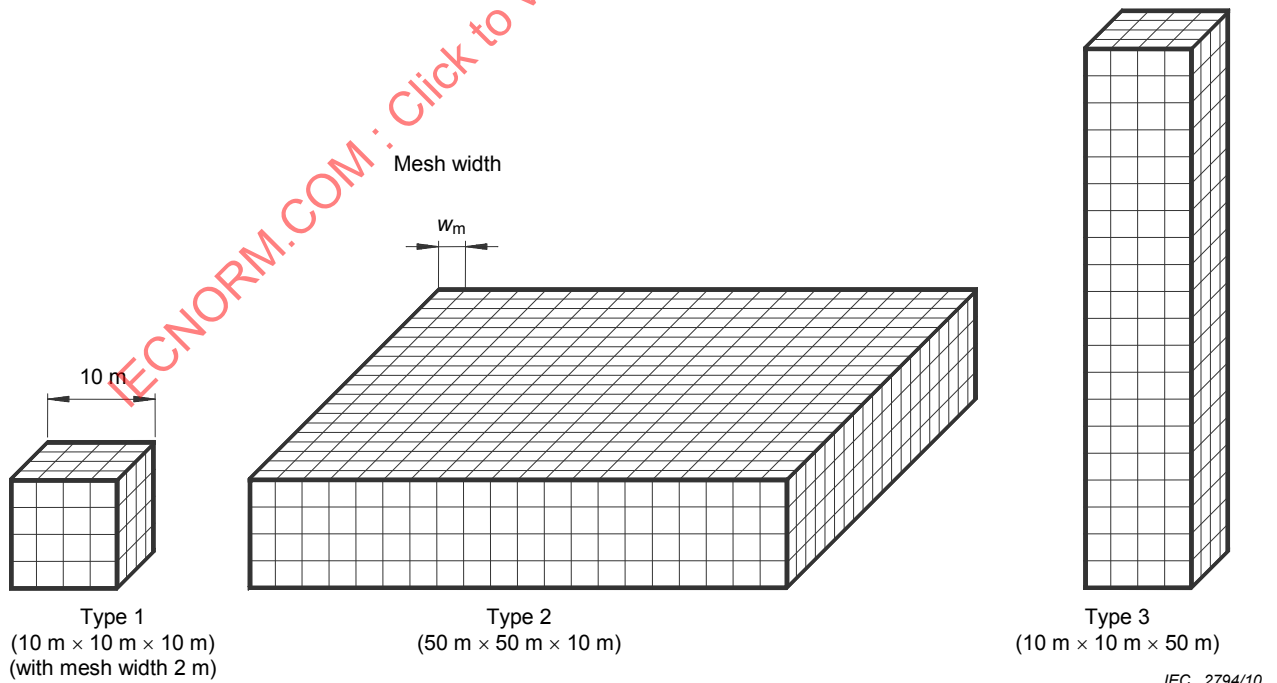


Figure A.10 – Types of grid-like large volume shields

In the calculation, the magnetic field coupling of every rod within the grid-like shield, including all other rods and the simulated lightning channel, is considered and results in a set of

equations to calculate the lightning current distribution in the grid. From this current distribution, the magnetic field strength inside the shield is derived. It is assumed that the resistance of the rods can be neglected. Therefore, the current distribution in the grid-like shield and the magnetic field strength are independent of the frequency. Also, capacitive coupling is neglected to avoid transient effects.

For the case of a type 1 shield (see Figure A.10), some results are presented in Figures A.11 and A.12.

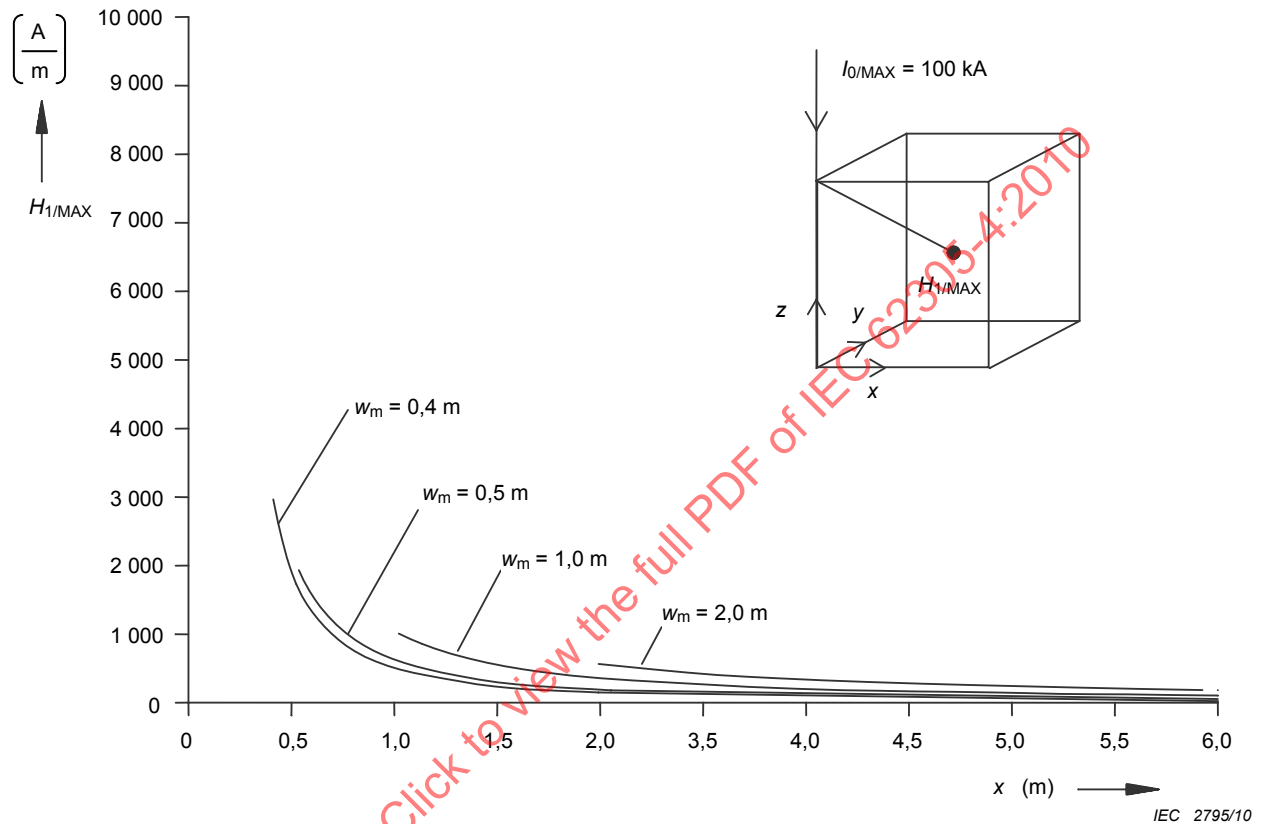
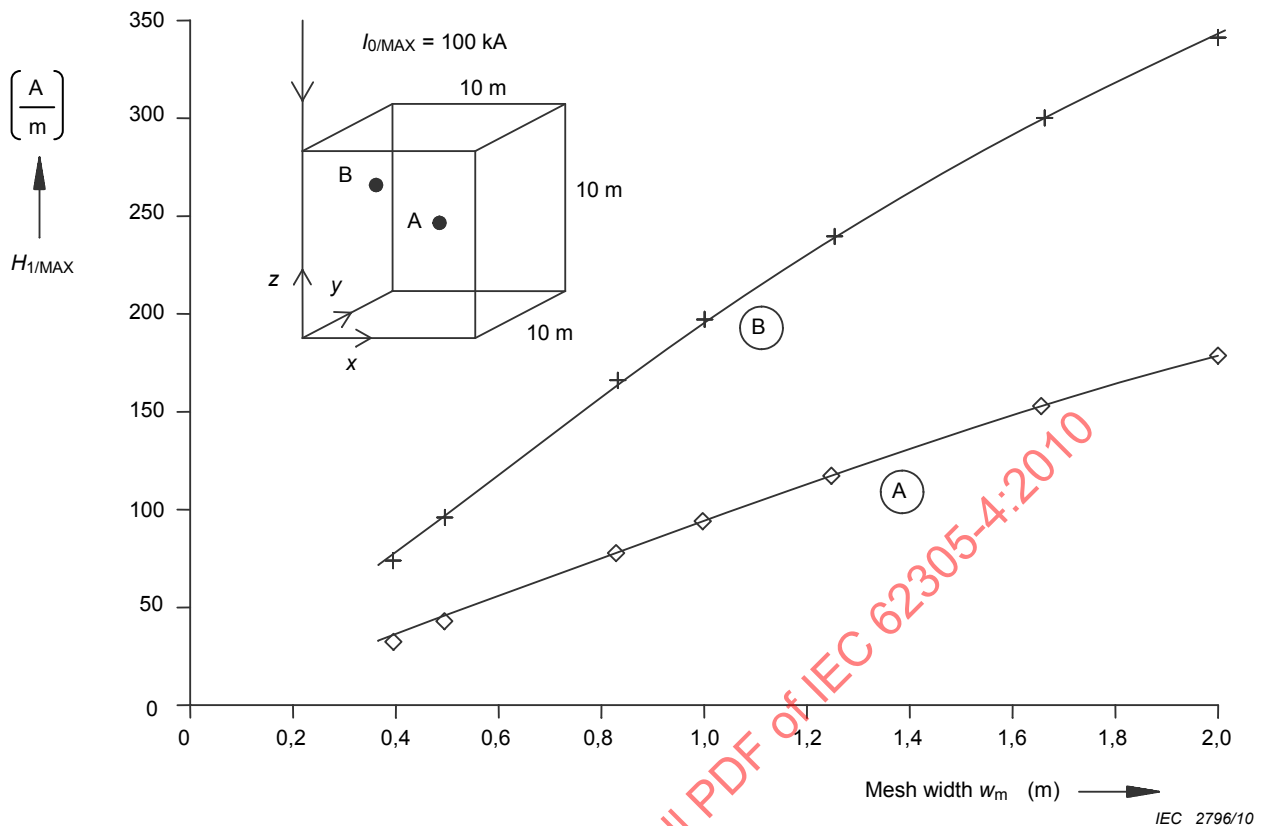


Figure A.11 – Magnetic field strength  $H_{1/\text{MAX}}$  inside a grid-like shield type 1



**Figure A.12 – Magnetic field strength  $H_{1/\text{MAX}}$  inside a grid-like shield type 1 according to mesh width**

NOTE 1 Experimental results of the magnetic field inside an LPZ 1 with a grid-like shield indicate that the increase of the magnetic field close to the shield is less than that resulting from the equations above.

NOTE 2 The calculated results are valid only for distances  $d_{s/1} > w_m$  to the grid-like shield.

In all cases, a maximum lightning current  $I_{0/\text{MAX}} = 100 \text{ kA}$  is assumed. In both Figure A.11 and Figure A.12,  $H_{1/\text{MAX}}$  is the maximum magnetic field strength at a point, derived from its components  $H_x$ ,  $H_y$  and  $H_z$ :

$$H_{1/\text{MAX}} = \sqrt{H_x^2 + H_y^2 + H_z^2} \quad (\text{A.20})$$

In Figure A.11,  $H_{1/\text{MAX}}$  is calculated along a straight line starting from the point of strike ( $x = y = 0$ ,  $z = 10 \text{ m}$ ) and ending at the centre of the volume ( $x = y = 5 \text{ m}$ ,  $z = 5 \text{ m}$ ).  $H_{1/\text{MAX}}$  is plotted as a function of the  $x$ -coordinate for each point on this line, where the parameter is the mesh width  $w_m$  of the grid-like shield.

In Figure A.12,  $H_{1/\text{MAX}}$  is calculated for two points inside the shield (point A:  $x = y = 5 \text{ m}$ ,  $z = 5 \text{ m}$ ; point B:  $x = y = 3 \text{ m}$ ,  $z = 7 \text{ m}$ ). The result is plotted as a function of the mesh width  $w_m$ .

Both figures show the effects of the main parameters governing the magnetic field distribution inside a grid-like shield: the distance from the wall or roof, and the mesh width.

In Figure A.11 it should be observed that along other lines through the volume of the shield, there may be zero-axis crossings and sign changes of the components of the magnetic field strength  $H_{1/\text{MAX}}$ . The formulae in A.4.1.1 are therefore first-order approximations of the real, and more complicated, magnetic field distribution inside a grid-like shield.

#### A.4.3 Experimental evaluation of the magnetic field due to a direct lightning strike

The magnetic fields inside shielded structures can also be determined by taking experimental measurements. Figure A.13 shows a proposal for the simulation of a direct lightning strike to an arbitrary point of a shielded structure, using a lightning current generator. Such tests can be performed using a simulated lightning current source of lower current level but with the same representative waveshape as the actual lightning discharge.

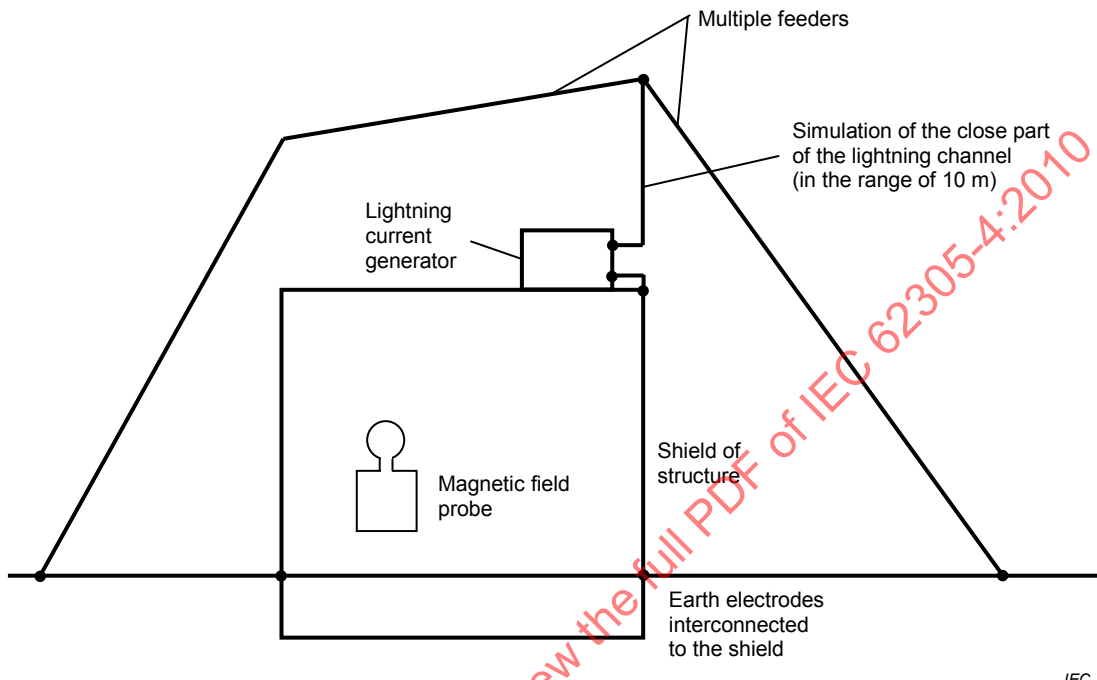
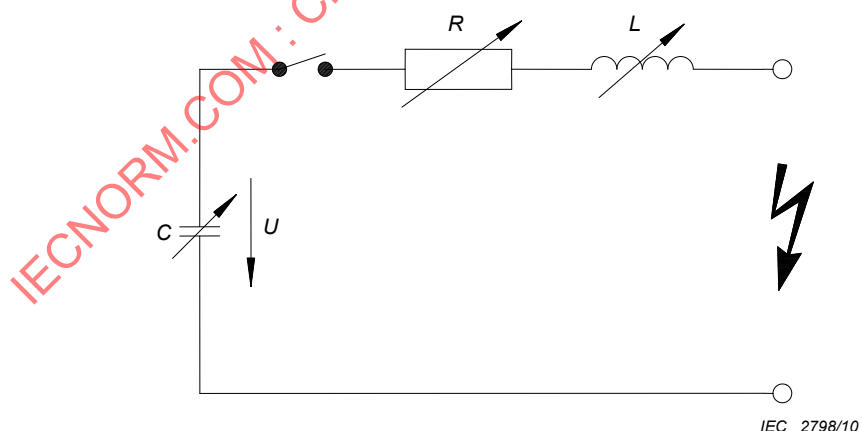


Figure A.13a – Test arrangement



#### Key

- $U$  typically some 10 kV
- $C$  typically some 10 nF

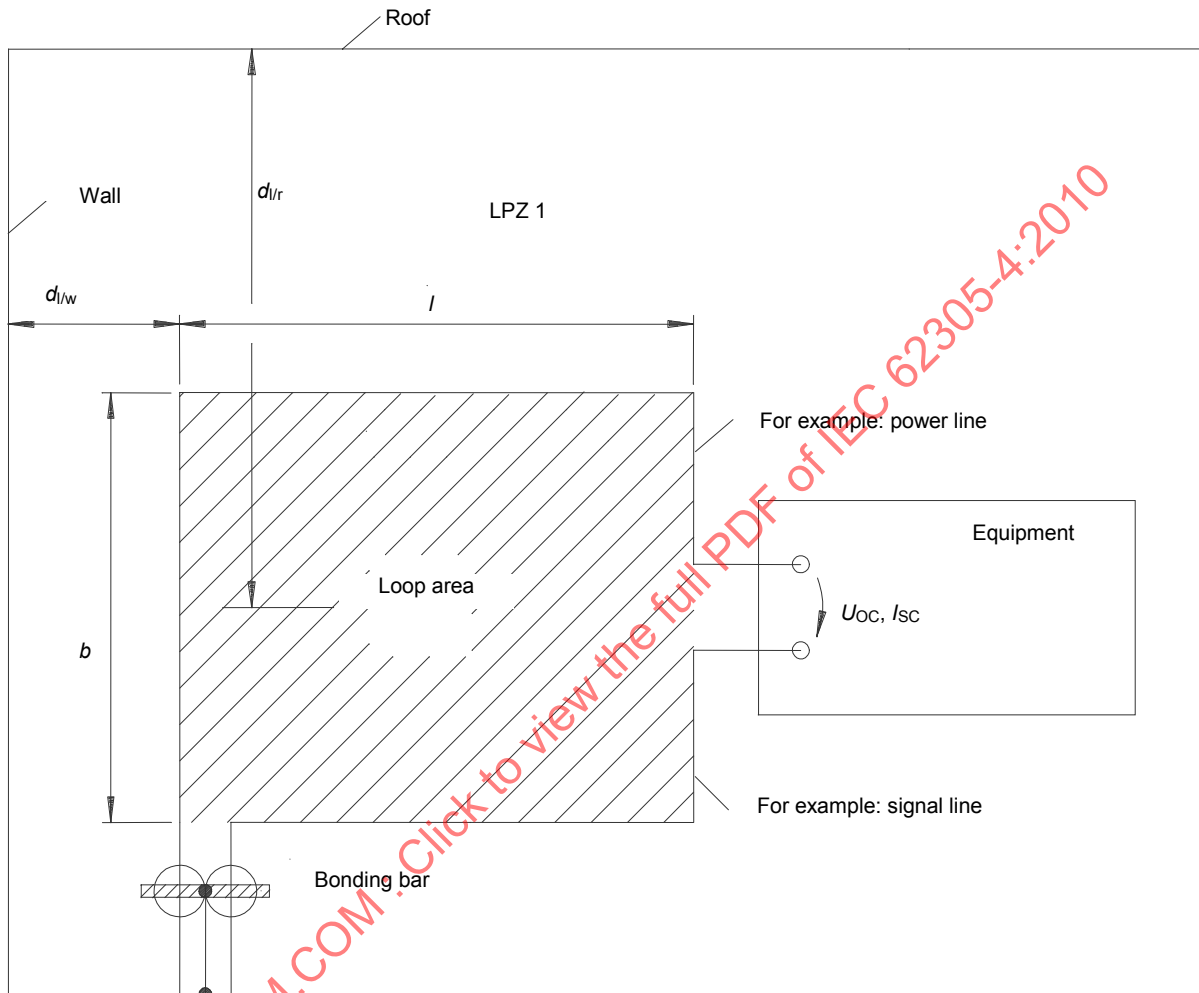
Figure A.13b – Lightning current generator

Figure A.13 – Low-level test to evaluate the magnetic field inside a shielded structure

## A.5 Calculation of induced voltages and currents

### A.5.1 General

Only rectangular loops in accordance with Figure A.14 are considered. Loops with other shapes should be transformed into rectangular configurations having the same loop area.



IEC 2799/10

**Figure A.14 – Voltages and currents induced into a loop formed by lines**

### A.5.2 Situation inside LPZ 1 in the case of a direct lightning strike

For the magnetic field  $H_1$  inside the volume  $V_S$  of an LPZ 1, the following applies (see A.4.1.1):

$$H_1 = k_h \times I_0 \times w_m / (d_w \times \sqrt{d_r}) \text{ (A/m)} \quad (\text{A.21})$$

The open circuit voltage  $U_{OC}$  is given by:

$$U_{OC} = \mu_0 \times b \times \ln(1 + l/d_{l/w}) \times k_h \times (w_m / \sqrt{d_{l/r}}) \times dI_0 / dt \text{ (V)} \quad (\text{A.22})$$

The peak value  $U_{OC/\text{MAX}}$  occurs during the front time  $T_1$

$$U_{OC/MAX} = \mu_0 \times b \ln(1 + l/d_{l/w}) \times k_h \times (w_m / \sqrt{d_{l/r}}) \times I_{0/MAX} / T_1 \text{ (V)} \quad (\text{A.23})$$

where

- $\mu_0$  is equal to  $4 \times \pi \times 10^{-7}$  (Vs)/(Am);
- $b$  (m) is the width of the loop;
- $d_{l/w}$  (m) is the distance of the loop from the wall of the shield, where  $d_{l/w} \geq d_{s/1}$ ;
- $d_{l/r}$  (m) is the average distance of the loop from the roof of the shield;
- $I_0$  (A) is the lightning current in LPZ 0<sub>A</sub>;
- $I_{0/MAX}$  (A) is the maximum value of the lightning current stroke in LPZ 0<sub>A</sub>;
- $k_h$  (1/ $\sqrt{\text{m}}$ ) is the configuration factor  $k_h = 0,01$ ;
- $l$  (m) is the length of the loop;
- $T_1$  (s) is the front time of the lightning current stroke in LPZ 0<sub>A</sub>;
- $w_m$  (m) is the mesh width of the grid-like shield.

The short-circuit current  $I_{SC}$  is given by:

$$I_{SC} = \mu_0 \times b \ln(1 + l/d_{l/w}) \times k_h \times (w_m / \sqrt{d_{l/r}}) \times I_0 / L_S \text{ (A)} \quad (\text{A.24})$$

where the ohmic resistance of the wire is neglected (worst case).

The maximum value  $I_{SC/MAX}$  is given by:

$$I_{SC/MAX} = \mu_0 \times b \ln(1 + l/d_{l/w}) \times k_h \times (w_m / \sqrt{d_{l/r}}) \times I_{0/MAX} / L_S \text{ (A)} \quad (\text{A.25})$$

where  $L_S$  (H) is the self-inductance of the loop.

For rectangular loops, the self-inductance  $L_S$  can be calculated from:

$$\begin{aligned} L_S = & \{0,8 \times \sqrt{l^2 + b^2} - 0,8 \times (l + b) + 0,4 \times l \times \ln \left[ \frac{(2b/r_c)}{1 + \sqrt{1 + (b/l)^2}} \right] \\ & + 0,4 \times b \times \ln \left[ \frac{(2l/r_c)}{1 + \sqrt{1 + (l/b)^2}} \right] \} \times 10^{-6} \text{ (H)} \end{aligned} \quad (\text{A.26})$$

where  $r_c$  (m) is the radius of the loop conductor.

The voltage and current induced by the magnetic field of the first positive stroke ( $T_1 = 10 \mu\text{s}$ ) is given by:

$$U_{OC/F/MAX} = 1,26 \times b \times \ln(1 + l/d_{l/w}) \times (w_m / \sqrt{d_{l/r}}) \times I_{F/MAX} \text{ (V)} \quad (\text{A.27})$$

$$I_{SC/F/MAX} = 12,6 \times 10^{-6} \times b \times \ln(1 + l/d_{l/w}) \times (w_m / \sqrt{d_{l/r}}) \times I_{F/MAX} / L_S \text{ (A)} \quad (\text{A.28})$$

The voltage and current induced by the magnetic field of the first negative stroke ( $T_1 = 1 \mu\text{s}$ ) is given by:

$$U_{OC/FN/MAX} = 12,6 \times b \times \ln(1 + l/d_{l/w}) \times (w_m / \sqrt{d_{l/r}}) \times I_{FN/MAX} \text{ (V)} \quad (\text{A.29})$$

$$I_{SC/FN/MAX} = 12,6 \times 10^{-6} \times b \times \ln(1 + l/d_{l/w}) \times (w_m / \sqrt{d_{l/r}}) \times I_{FN/MAX} / L_S \text{ (A)} \quad (\text{A.30})$$

The voltage and current induced by the magnetic field of the subsequent strokes ( $T_1 = 0,25 \mu\text{s}$ ) is given by:

$$U_{OC/S/\text{MAX}} = 50,4 \times b \times \ln(1 + l/d_{l/w}) \times (w_m / \sqrt{d_{l/r}}) \times I_{S/\text{MAX}} \text{ (V)} \quad (\text{A.31})$$

$$I_{SC/S/\text{MAX}} = 12,6 \times 10^{-6} \times b \times \ln(1 + l/d_{l/w}) \times (w_m / \sqrt{d_{l/r}}) \times I_{S/\text{MAX}} / L_S \text{ (A)} \quad (\text{A.32})$$

where

$I_{F/\text{MAX}}$  (kA) is the maximum value of the current of the first positive stroke;

$I_{FN/\text{MAX}}$  (kA) is the maximum value of the current of the first negative stroke;

$I_{S/\text{MAX}}$  (kA) is the maximum value of the current of the subsequent strokes.

### A.5.3 Situation inside LPZ 1 in the case of a nearby lightning strike

The magnetic field  $H_1$  inside volume  $V_S$  of LPZ 1 is assumed to be homogeneous (see A.4.1.2).

The open circuit voltage  $U_{OC}$  is given by:

$$U_{OC} = \mu_0 \times b \times l \times dH_1 / dt \text{ (V)} \quad (\text{A.33})$$

The peak value  $U_{OC/\text{MAX}}$  occurs during the front time  $T_1$ :

$$U_{OC/\text{MAX}} = \mu_0 \times b \times l \times H_{1/\text{MAX}} / T_1 \text{ (V)} \quad (\text{A.34})$$

where

$\mu_0$  is equal to  $4\pi 10^{-7}$  (Vs)/(Am);

$b$  (m) is the width of the loop;

$H_1$  (A/m) is the time dependent magnetic field inside LPZ 1;

$H_{1/\text{MAX}}$  (A/m) is the maximum value of the magnetic field inside LPZ 1;

$l$  (m) is the length of the loop;

$T_1$  (s) is the front time of the magnetic field, identical with the front time of the lightning current stroke.

The short circuit current  $I_{SC}$  is given by:

$$I_{SC} = \mu_0 \times b \times l \times H_1 / L_S \text{ (A)} \quad (\text{A.35})$$

where the ohmic resistance of the wire is neglected (worst case).

The maximum value  $I_{SC/\text{MAX}}$  is given by:

$$I_{SC/\text{MAX}} = \mu_0 \times b \times l \times H_{1/\text{MAX}} / L_S \text{ (A)} \quad (\text{A.36})$$

where  $L_S$  (H) is the self-inductance of the loop (for the calculation of  $L_S$  see A.5.2).

The voltage and current induced by the magnetic field  $H_{1/F}$  of the first positive stroke ( $T_1 = 10 \mu\text{s}$ ) is given by:

$$U_{OC/F/\text{MAX}} = 0,126 \times b \times l \times H_{1/F/\text{MAX}} \text{ (V)} \quad (\text{A.37})$$

$$I_{SC/F/\text{MAX}} = 1,26 \times 10^{-6} \times b \times l \times H_{1/F/\text{MAX}} / L_S \text{ (A)} \quad (\text{A.38})$$

The voltage and current induced by the magnetic field  $H_{1/FN}$  of the first negative stroke ( $T_1 = 1 \mu\text{s}$ ) is given by:

$$U_{OC/FN/MAX} = 1,26 \times b \times I \times H_{1/FN/MAX} (\text{V}) \quad (\text{A.39})$$

$$I_{SC/FN/MAX} = 1,26 \times 10^{-6} \times b \times I \times H_{1/FN/MAX} / L_S (\text{A}) \quad (\text{A.40})$$

The voltage and current induced by the magnetic field  $H_{1/S}$  of the subsequent strokes ( $T_1 = 0,25 \mu\text{s}$ ) are given by:

$$U_{OC/S/MAX} = 5,04 \times b \times I \times H_{1/S/MAX} (\text{V}) \quad (\text{A.41})$$

$$I_{SC/S/MAX} = 1,26 \times 10^{-6} \times b \times I \times H_{1/S/MAX} / L_S (\text{A}) \quad (\text{A.42})$$

where

$H_{1/F/MAX}$  (A/m) is the maximum of the magnetic field inside LPZ 1 due to the first positive stroke;

$H_{1/FN/MAX}$  (A/m) is the maximum of the magnetic field inside LPZ 1 due to the first negative stroke;

$H_{1/S/MAX}$  (A/m) is the maximum of the magnetic field inside LPZ 1 due to the subsequent strokes.

#### A.5.4 Situation inside LPZ 2 and higher

The magnetic field  $H_n$  inside LPZ n for  $n \geq 2$  is assumed to be homogeneous (see A.4.1.3).

Therefore, the same formulae for the calculation of induced voltages and currents apply (A.4.1.2), where  $H_1$  is substituted by  $H_n$ .

IECNORM.COM : Click to view the full PDF of IEC 62305-4:2010

## Annex B (informative)

### **Implementation of SPM for an existing structure**

#### **B.1 General**

For equipment within existing structures it is not always possible to follow the SPM outlined in this standard. This annex attempts to describe the main points for consideration and provides information on protection measures which are not mandatory but may help to improve the overall protection provided.

#### **B.2 Checklists**

In existing structures, suitable protection measures need to take into account the given construction, conditions of the structure, and the existing electrical and electronic systems.

A set of checklists facilitates risk analysis and selection of the most suitable protection measures.

For existing structures in particular, a systematic layout should be established for the zoning concept and for earthing, bonding, line routing and shielding.

The checklists given in Tables B.1 to B.4 should be used to collect the required data of the existing structure and its installations. Based on these data, a risk assessment in accordance with IEC 62305-2 should be performed to determine the need for protection and, if so, to identify the most cost-effective protection measures to be used.

NOTE 1 For further information on protection against electromagnetic interference (EMI) in building installations, see IEC 60364-4-44<sup>[1]</sup>.

The data collected by means of the checklists are also useful in the design process.

**Table B.1 – Structural characteristics and surroundings**

Item	Question <sup>a</sup>
1	Masonry, bricks, wood, reinforced concrete, steel-framed structures, metal facade?
2	One single structure or interconnected blocks with expansion joints?
3	Flat and low or high-rise structures? (dimensions of the structure)
4	Reinforcing rods electrically connected throughout the structure?
5	Kind, type and quality of metallic roof material?
6	Metal facades bonded?
7	Metal frames of the windows bonded?
8	Size of the windows?
9	Structure equipped with an external LPS?
10	Type and quality of this LPS?
11	Material of ground (rock, soil)?
12	Height, distance and earthing of adjacent structures?

<sup>a</sup> For detailed information see IEC 62305-2.

**Table B.2 – Installation characteristics**

Item	Question <sup>a</sup>
1	Type of incoming services (underground or overhead)?
2	Type of aerials (antennas or other external devices)?
3	Type of power supply (high voltage, low voltage, overhead or underground)?
4	Line routing (number and location of risers, cable ducts)?
5	Use of metal cable ducts?
6	Are the equipments self-contained within the structure?
7	Metal conductors to other structures?

<sup>a</sup> For detailed information see IEC 62305-2.

**Table B.3 – Equipment characteristics**

Item	Question <sup>a,b</sup>
1	Type of internal system interconnections (shielded or unshielded multicore cables, coaxial cable, analogue and/or digital, balanced or unbalanced, fibre optic cables)? <sup>a</sup>
2	Withstand level of the electronic system specified? <sup>a, b</sup>

<sup>a</sup> For detailed information see IEC 62305-2.

<sup>b</sup> For detailed information see ITU-T K.21 [4], IEC 61000-4-5, IEC 61000-4-9 and IEC 61000-4-10.

**Table B.4 – Other questions to be considered for the protection concept**

Item	Question <sup>a</sup>
1	Configuration of power supply earthing - TN (TN-S, TN-C or TN-C-S), TT or IT?
2	Location of the equipment? <sup>a</sup>
3	Interconnections of functional earthing conductors of the internal system with the bonding network?

<sup>a</sup> For detailed information see Annex A.

### B.3 Design of SPM for an existing structure

The first step in the design process is to work through the checklist in accordance with Clause B.2 and to conduct the risk assessment.

If this analysis shows that SPM is required, then this should be implemented following the steps outlined in Figure B.1.

Assign suitable LPZs to all locations where equipment to be protected is located (see 4.3).

The basis of the SPM shall be an internal screening and bonding network. This network should have mesh widths not exceeding 5 m in any direction. If the lay-out of the structure does not permit this screening and bonding network, at least a ring conductor inside the outer wall of the structure on each floor should be installed. This ring conductor should be bonded to each down-conductor of the external LPS.

NOTE Retrofitting screening measures to an existing building is often impractical and uneconomic. Where this is the case, the use of SPDs provides an effective alternative.

## B.4 Design of basic protection measures for LPZ

### B.4.1 Design of basic protection measures for LPZ 1

The protection measures should be based on the internal screening and bonding network or the ring conductor inside the outer wall, which is normally the boundary of LPZ 1. If the outer wall is not the boundary of LPZ 1 and an internal screening and bonding network is not possible, a ring conductor should be installed at the boundary of LPZ 1. The ring conductor has to be connected to the ring conductor of the outer wall at least at two locations as far apart as possible.

### B.4.2 Design of basic protection measures for LPZ 2

The protection measures are based on the internal screening and bonding network or the ring conductor inside the outer wall. If an internal screening and bonding network is not possible, a ring conductor should be installed at the boundary of every LPZ 2. If an LPZ 2 is larger than  $5\text{ m} \times 5\text{ m}$  a subdivision has to be made creating meshes not exceeding  $5\text{ m} \times 5\text{ m}$ . The ring conductor has to be connected to the ring conductor of the surrounding LPZ 1 at two locations at least, and as far apart as possible.

### B.4.3 Design of basic protection measures for LPZ 3

The protection measures are based on the internal screening and bonding network or the ring conductor inside the LPZ 2. If an internal screening and bonding network is not possible, a ring conductor should be installed at the boundary of every LPZ 3. If an LPZ 3 is larger than  $5\text{ m} \times 5\text{ m}$ , a subdivision has to be made creating meshes not exceeding  $5\text{ m} \times 5\text{ m}$ . The ring conductor has to be connected to the ring conductor of the surrounding LPZ 2 at two locations at least, and as far apart as possible.

## B.5 Installation of a coordinated SPD system

A coordinated SPD system should be designed to protect the cables crossing borders of the different LPZs.

Designing additional measures will greatly improve the protection by bonding and SPD systems.

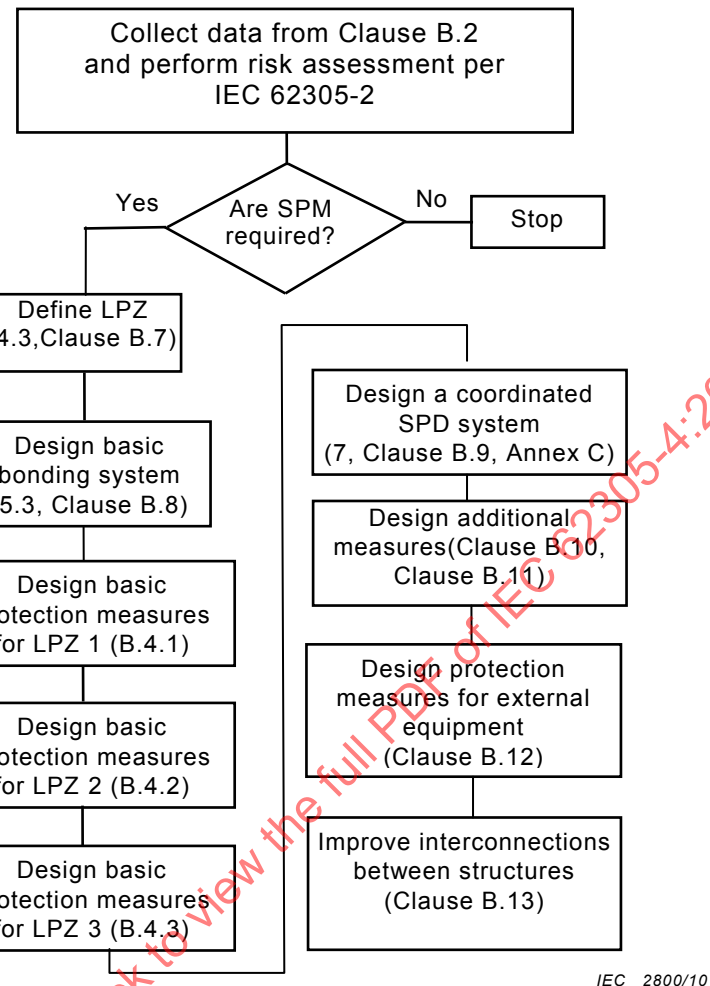
The design of cable trays, cable ladders and the like has to be improved to make them proper screens for the cables running in and/or over them.

If possible, additional measures such as screening of walls, floors, ceilings etc should be considered to provide additional protection to that already applied (see Clause 6).

Design measures to improve interconnections between the structure under consideration and other structures (see Clause B.11).

In the case where new internal systems are installed in a structure already equipped with protection measures, the design process should be repeated for the location of those internal systems.

The complete design process is illustrated in the flow chart (see Figure B.1).



**Figure B.1 – SPM design steps for an existing structure**

## B.6 Improvement of an existing LPS using spatial shielding of LPZ 1

An existing LPS (in accordance with IEC 62305-3) around LPZ 1 can be improved by

- integrating existing metal facades and metal roofs into the external LPS,
- using such structural reinforcing bars as are electrically continuous from the upper roof to the earth termination system,
- reducing the spacing of the down-conductors and reducing the mesh size of the air-termination system to typically below 5 m,
- installation of flexible bonding conductors across the expansion joints between adjacent, but structurally separated, reinforced blocks.

## B.7 Establishment of LPZs for electrical and electronic systems

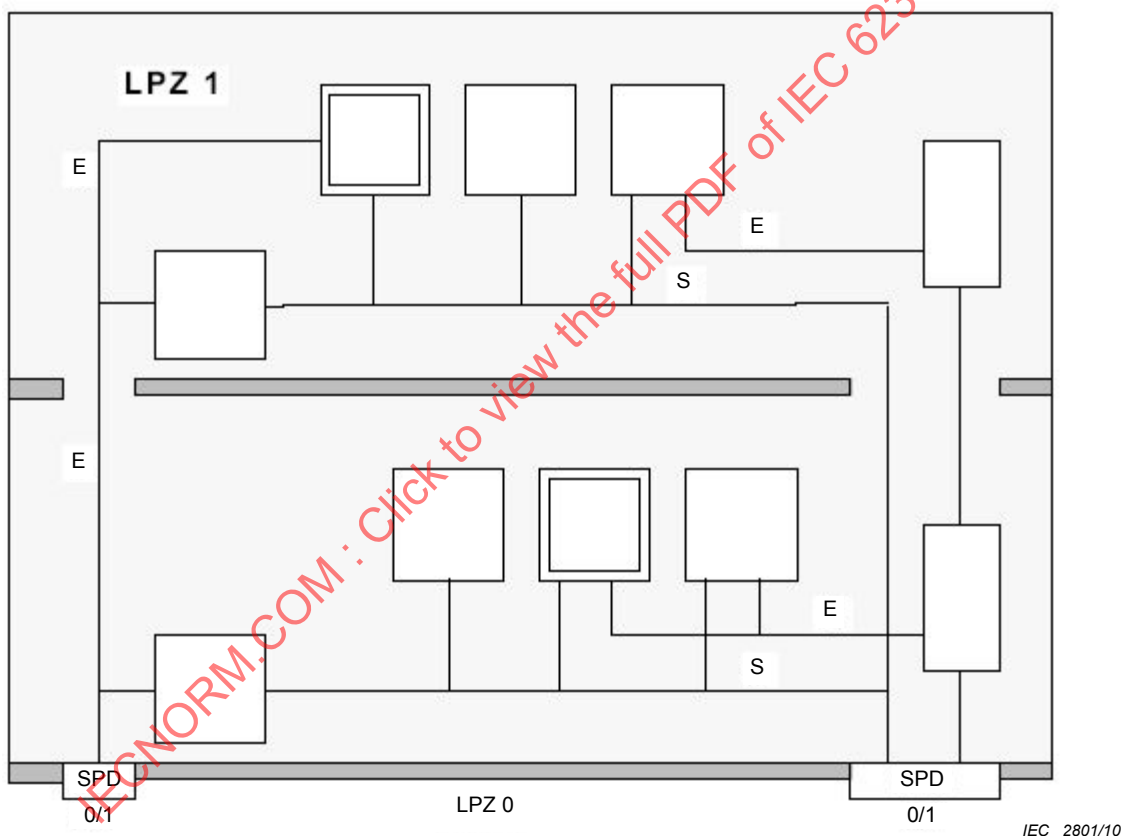
Depending on the number, type and sensitivity of the electrical and electronic systems, suitable inner LPZs are defined from small local zones (the enclosure of a single electronic equipment) up to large integral zones (the whole building volume).

Figure B.2 shows typical LPZ layouts for the protection of internal systems providing different solutions suitable for existing structures in particular:

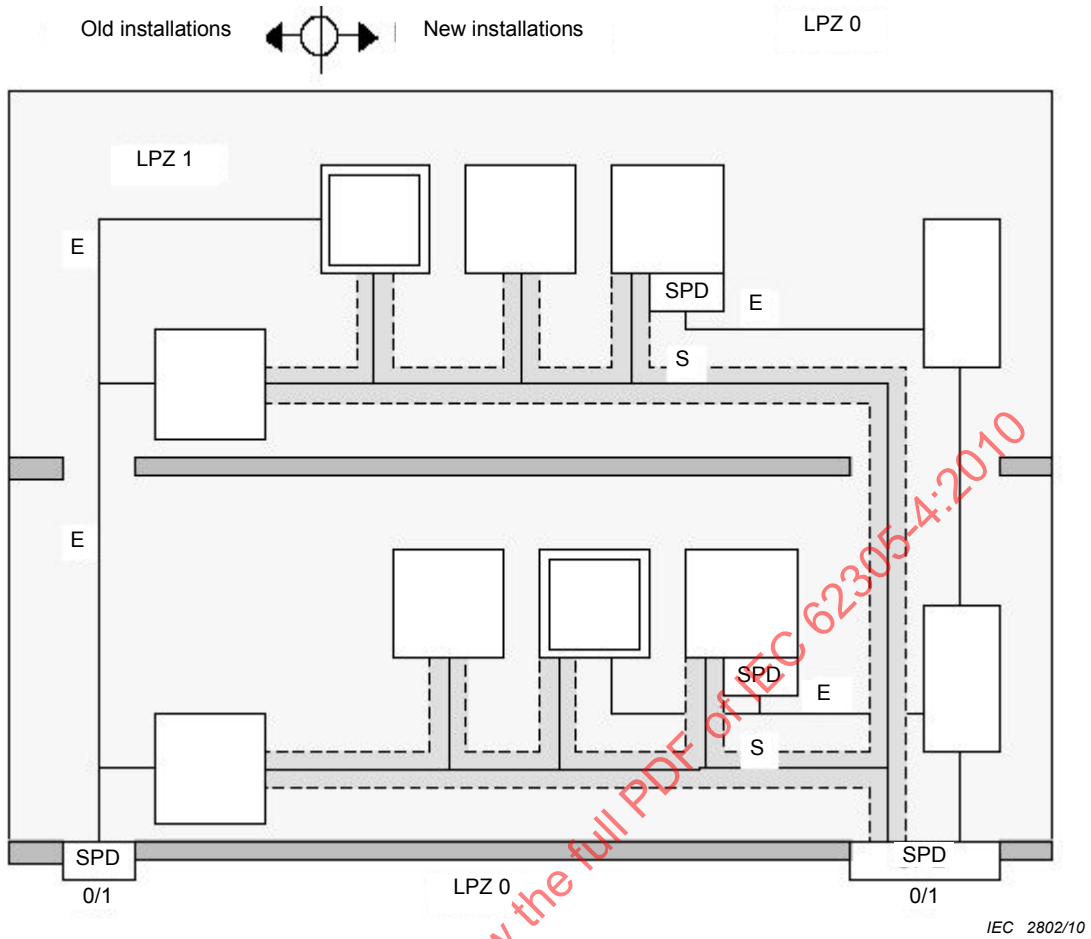
Figure B.2a shows the installation of a single LPZ 1, creating a protected volume inside the whole structure, e.g. for enhanced withstand voltage levels of the internal systems:

- This LPZ 1 could be created using an LPS, in accordance with IEC 62305-3, that consists of an external LPS (air-termination, down-conductor and earth-termination system) and an internal LPS (lightning equipotential bonding and compliance with the separation distances).
- The external LPS protects LPZ 1 against lightning flashes to the structure, but the magnetic field inside LPZ 1 remains nearly unattenuated. This is because air-terminations and down-conductors have mesh widths and typical distances greater than 5 m, therefore the spatial shielding effect is negligible as explained above.
- The internal LPS requires bonding of all services entering the structure at the boundary of LPZ 1, including the installation of SPDs for all electrical and signal lines. This ensures that the conducted surges on the incoming services are limited at the entrance by SPDs.

NOTE Isolating interfaces can be useful inside LPZ 1 in order to avoid low-frequency interference.



**Figure B.2a – Unshielded LPZ 1 using LPS and SPDs at the entrance of the lines into the structure (e.g. for enhanced withstand voltage level of the systems or for small loops inside the structure)**

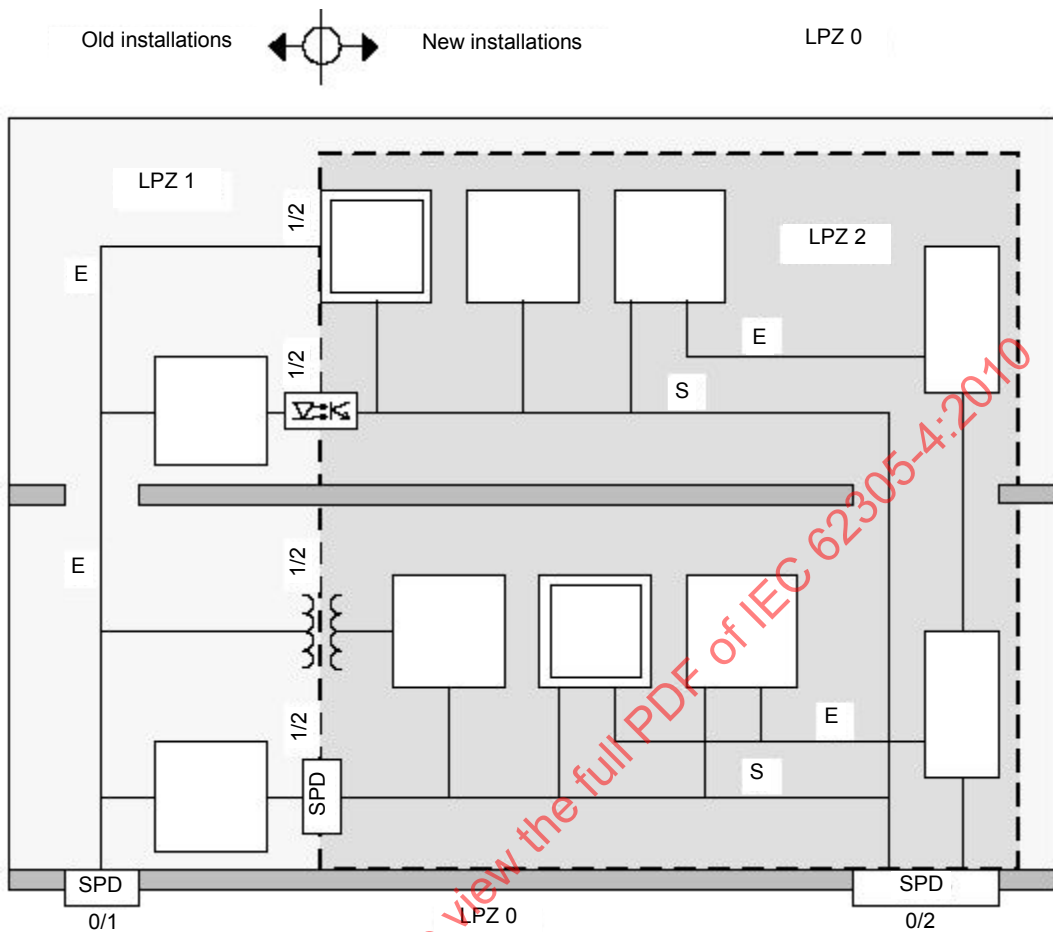


IEC 2802/10

**Key**

E power lines  
S signal lines

**Figure B.2b – Unshielded LPZ 1 with protection for new internal systems using shielded signal lines and coordinated SPDs in power lines**

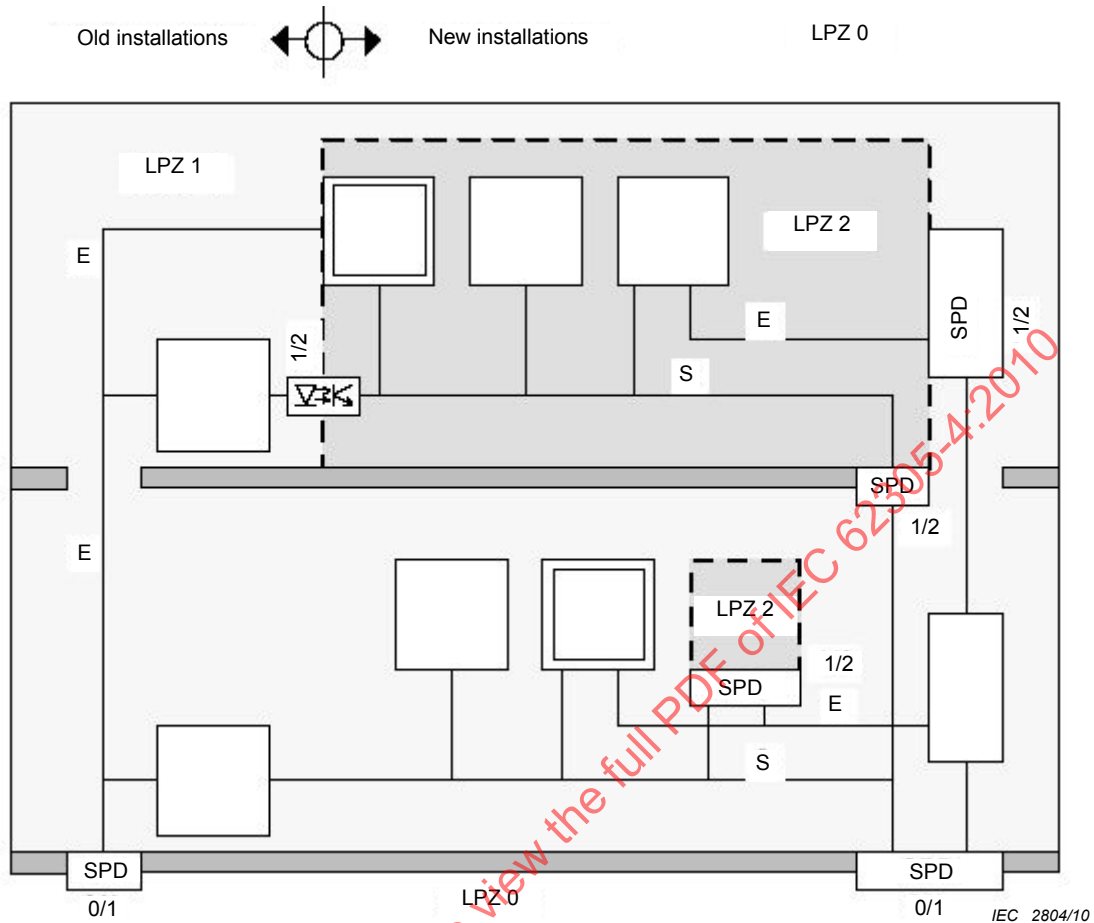


IEC 2803/10

**Key**

E power lines  
S signal lines

**Figure B.2c – Unshielded LPZ 1 and large shielded LPZ 2 for new internal systems**

**Key**

- E power lines
- S signal lines

**Figure B.2d – Unshielded LPZ 1 and two local LPZs 2 for new internal systems****Figure B.2 – Possibilities to establish LPZ in existing structures**

Figure B.2b shows that in an unshielded LPZ 1, new equipment also needs to be protected against conducted surges. As an example, the signal lines can be protected using shielded cables and the power lines using a coordinated SPD system. This may require additional SPDs tested with  $I_N$  and SPDs tested with a combination wave, installed close to the equipment, and coordinated with the SPDs at the service entrance. It may also require additional Class II “double insulation” of the equipment.

Figure B.2c shows the installation of a large integral LPZ 2 inside of LPZ 1, to accommodate the new internal systems. The grid-like spatial shield of LPZ 2 provides a significant attenuation of the lightning magnetic field. On the left hand side, the SPDs installed at the boundary of LPZ 1 (transition of LPZs 0/1) and subsequently at the boundary of LPZ 2 (transition of LPZs 1/2), should be coordinated in accordance with IEC 61643-12. On the right hand side, the SPDs installed at the boundary of LPZ 1 should be selected for a direct transition of LPZs 0/2 (see C.3.5).

Figure B.2d shows the creation of two smaller LPZs (LPZs 2) inside LPZ 1. Additional SPDs for power as well as for signal lines at the boundary of each LPZ 2 should be installed. These SPDs should be coordinated with the SPDs at the boundary of LPZ 1 in accordance with IEC 61643-12.

## B.8 Protection using a bonding network

Existing power-frequency earthing systems might not provide a satisfactory equipotential plane for lightning currents with frequencies up to several MHz, because their impedance may be too high at these frequencies.

Even an LPS designed in accordance with IEC 62305-3, which allows mesh widths typically greater than 5 m, and which includes lightning equipotential bonding as a mandatory part of the internal LPS, might not be sufficient for sensitive internal systems. This is because the impedance of this bonding system may still be too high for this application.

A low impedance bonding network with typical mesh width of 5 m and below is strongly recommended.

In general the bonding network should not be used either as a power, or signal, return path. Therefore the PE conductor should be integrated into the bonding network, but the PEN conductor should not.

Direct bonding of a functional earthing conductor (e.g. a clean earth specific to an electronic system) to the low impedance bonding network is allowed, because in this case the interference coupling into electrical or signal lines will be very low. No direct bonding is allowed to the PEN conductor, or to other metal parts connected to it, so as to avoid power frequency interference in the electronic system.

## B.9 Protection by surge protective devices

To limit conducted surges due to lightning on electrical lines, SPDs should be installed at the entry to any inner LPZ (see Figure B.2 and Figure B.8, No.3).

In buildings with uncoordinated SPDs, damage to the internal system may result if a downstream SPD, or an SPD within the equipment, prevents the proper operation of the SPD at the service entrance.

In order to maintain the effectiveness of the protection measures adopted, it is necessary to document the location of all installed SPDs.

## B.10 Protection by isolating interfaces

Power-frequency interference currents through the equipment and its connected signal lines can be caused by large loops or the lack of a sufficiently low impedance bonding network. To prevent such interference (mainly in TN-C installations), a suitable separation between existing and new installations can be achieved using isolating interfaces, such as:

- class II insulated equipment (i.e. double insulation without a PE-conductor),
- isolation transformers,
- metal-free fibre optic cables,
- optical couplers.

NOTE Care should be taken that metal equipment enclosures do not have an unintended galvanic connection to the bonding network or to other metal parts, but that they are isolated. This is the situation in most cases, since electronic equipment installed in domestic rooms or offices is linked to the earth reference through connection cables only.

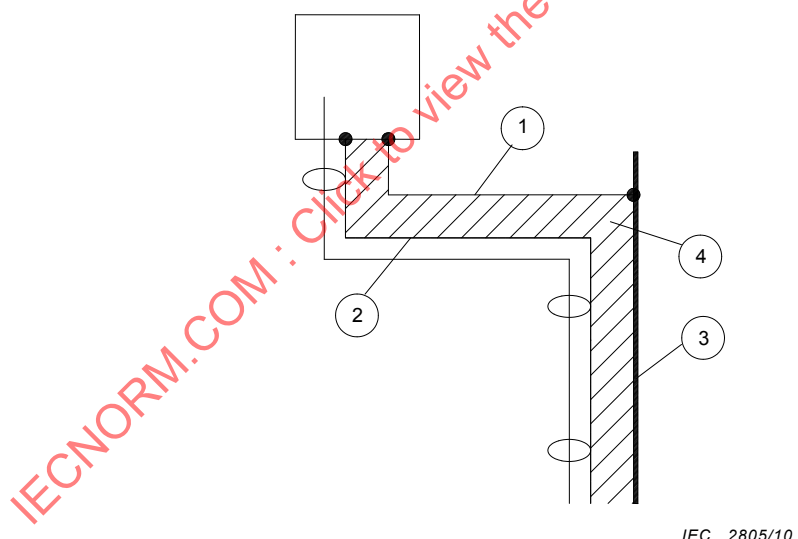
### B.11 Protection measures by line routing and shielding

Suitable line routing and shielding are effective measures to reduce induced overvoltages. These measures are especially important if the spatial shielding effectiveness of LPZ 1 is negligible. In this case, the following principles provide improved protection:

- minimizing the induction loop area;
- powering new equipment from the existing mains should be avoided, because it creates a large enclosed induction loop area, which will significantly increase the risk of damage. Furthermore, routing electrical and signal lines adjacent to one another can avoid large loops (see Figure B.8, No. 8);
- using shielded cables – the shields of these signal lines should be bonded at least at either end;
- using metal cable ducts or bonded metal plates – the separate metal sections should be electrically well interconnected and the overall length bonded at either end. The connections should be performed by bolting the overlapping parts or by using bonding conductors. In order to keep the impedance of the cable duct low, multiple screws or strips should be distributed over the perimeter of the cable duct (see IEC 61000-5-2) <sup>[6]</sup>.

Examples of good line routing and shielding techniques are given in Figures B.3 and B.4.

**NOTE** Where the distance between signal lines and electronic equipment within general areas (which are not specifically designated for electronic systems) is greater than 10 m, it is recommended to use balanced signal lines with suitable galvanic isolation ports, e.g. optical couplers, signal isolation transformers or isolation amplifiers. In addition, the use of tri-axial cables can be advantageous.



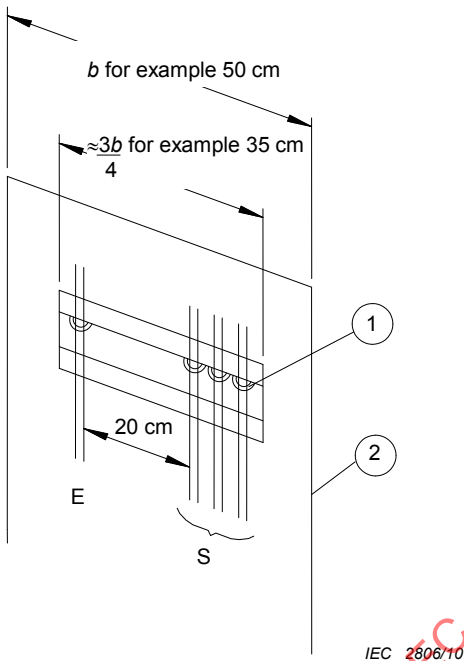
IEC 2805/10

#### Key

- 1 PE, only when class I equipment is used
- 2 optional cable shield needs to be bonded at both ends
- 3 metal plate as additional shield (see Figure B.4)
- 4 small loop area

**NOTE** Owing to the small loop area, the induced voltage between the cable shield and the metal plate is small.

**Figure B.3 – Reduction of loop area using shielded cables close to a metal plate**

**Key**

- 1 cable fixing with or without bonding of cable shields to the plate
- 2 at the edges, the magnetic field is higher than in the middle of the plate
- E electrical lines
- S signal lines

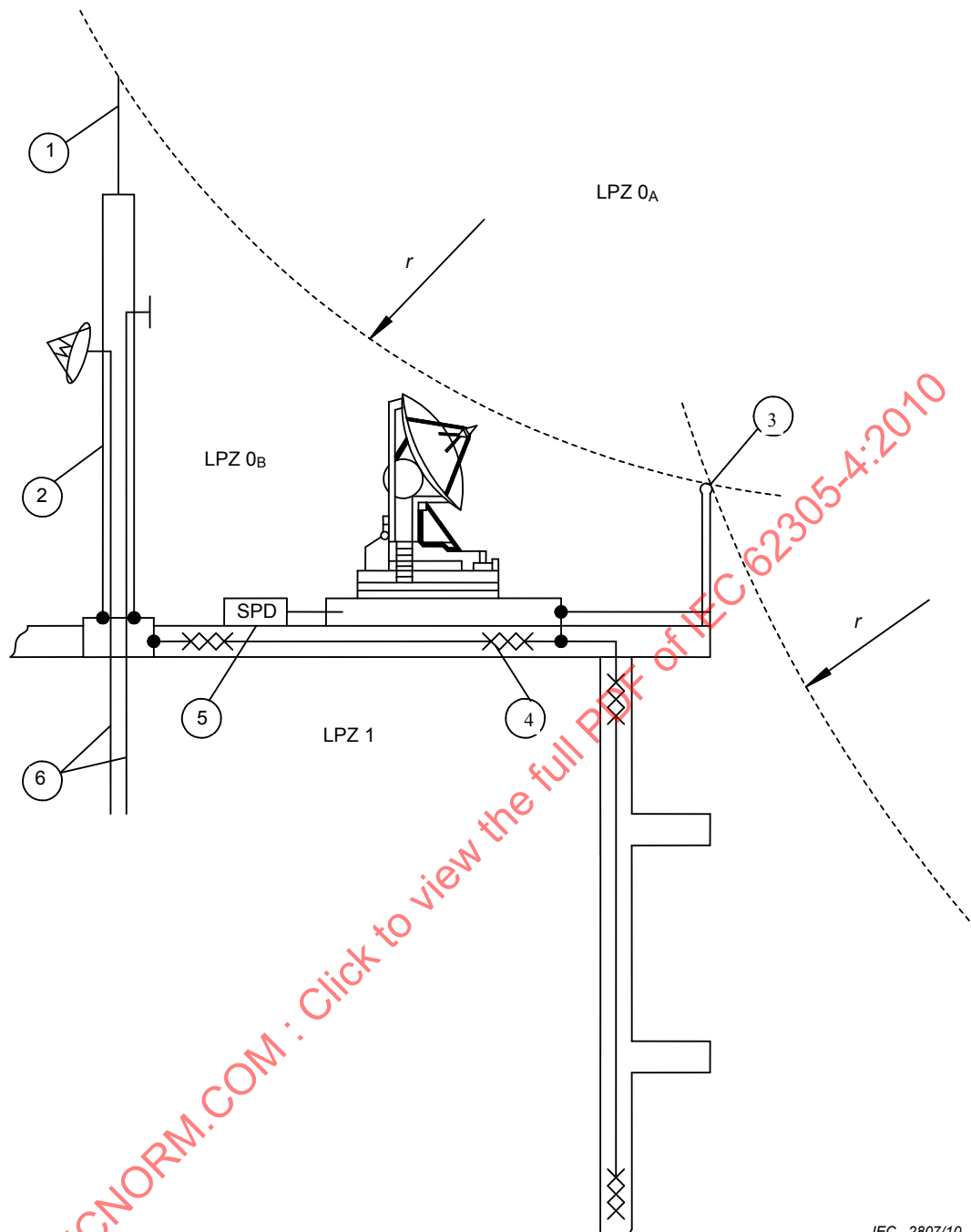
**Figure B.4 – Example of a metal plate for additional shielding****B.12 Protection measures for externally installed equipment****B.12.1 General**

Examples of externally installed equipment include: sensors of any kind including aerials; meteorological sensors; surveillance TV cameras; exposed sensors on process plants (pressure, temperature, flow rate, valve position, etc.) and any other electrical, electronic or radio equipment in external positions on structures, masts and process vessels.

**B.12.2 Protection of external equipment**

Wherever possible, the equipment should be brought under the protective zone LPZ  $0_B$  using for example a local air terminal to protect it against direct lightning flashes (see Figure B.5).

On tall structures the rolling sphere method (see IEC 62305-3) should be applied, to determine if the equipments installed on the top or sides of the building are possibly subject to a direct flash. If this is the case, additional air-terminations should be used. In many cases, handrails, ladders, pipes, etc. can adequately perform the function of an air-termination. All equipment, except some types of aerials, can be protected in this manner. Aerials sometimes have to be placed in exposed positions to avoid their performance being adversely affected by nearby lightning conductors. Some aerial designs are inherently self-protecting because only well-earthed conductive elements are exposed to a lightning flash. Others might require SPDs to be installed on their feeder cables to prevent excessive transients from flowing down the cable to the receiver or the transmitter. When an external LPS is available the aerial supports should be bonded to it.

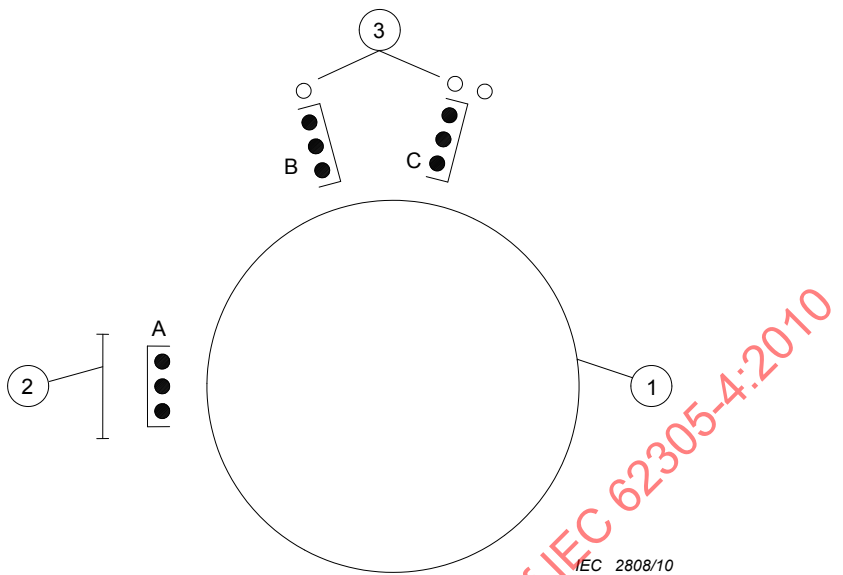
**Key**

- 1 lightning rod
- 2 steel mast with antennas
- 3 handrails
- 4 interconnected reinforcement
- 5 line coming from LPZ 0<sub>B</sub> needs an SPD at entry
- 6 lines coming from LPZ 1 (inside the mast) may not need SPDs at entry
- r* radius of the rolling sphere

**Figure B.5 – Protection of aerials and other external equipment****B.12.3 Reduction of overvoltages in cables**

High induced voltages and currents can be prevented by running cables in bonded ducting, trunking or metal tubes. All cables leading to the specific equipment should leave the cable duct at a single point. Where possible, the inherent shielding properties of the structure itself should be used to maximum advantage by running all cables together within the tubular components of the structure. Where this is not possible, as in the case of process vessels, cables should run on the outside but close to the structure and make as much use as possible

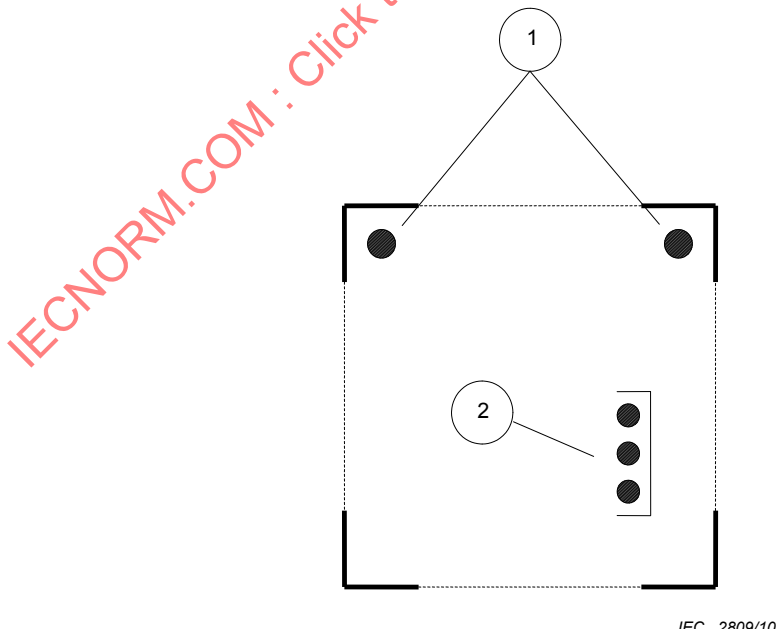
of the natural shielding provided by metal pipes, steel rung ladders and any other well bonded conducting materials (see Figure B.6). On masts which use L-shaped corner members, cables should be placed in the inside corner of the L for maximum protection (see Figure B.7).


**Key**

- 1 process vessel
- 2 rung ladder
- 3 pipes

NOTE A, B, C are good alternatives for cable tray positioning.

**Figure B.6 – Inherent shielding provided by bonded ladders and pipes**


**Key**

- 1 ideal positions for cables in corners of L-girders
- 2 alternative position for bonded cable tray within the mast

**Figure B.7 – Ideal positions for lines on a mast (cross-section of steel lattice mast)**

## B.13 Improving interconnections between structures

### B.13.1 General

Lines interconnecting separate structures are either

- isolating (metal-free fibre optic cables), or
- metallic (e.g. wire pairs, multicores, waveguides, coaxial cables or fibre optic cables with continuous metal components).

Protection requirements depend on the type of the line, the number of lines and whether the earth-termination systems of the structures are interconnected.

### B.13.2 Isolating lines

If metal-free fibre optic cables (i.e. without metal armouring, moisture barrier foil or steel internal draw wire) are used to interconnect separate structures, no protection measures for these cables are needed.

### B.13.3 Metallic lines

Without proper interconnection between the earth-termination systems of separate structures, the interconnecting lines form a low impedance route for the lightning current. This may result in a substantial portion of the lightning current flowing along these interconnecting lines. In this case:

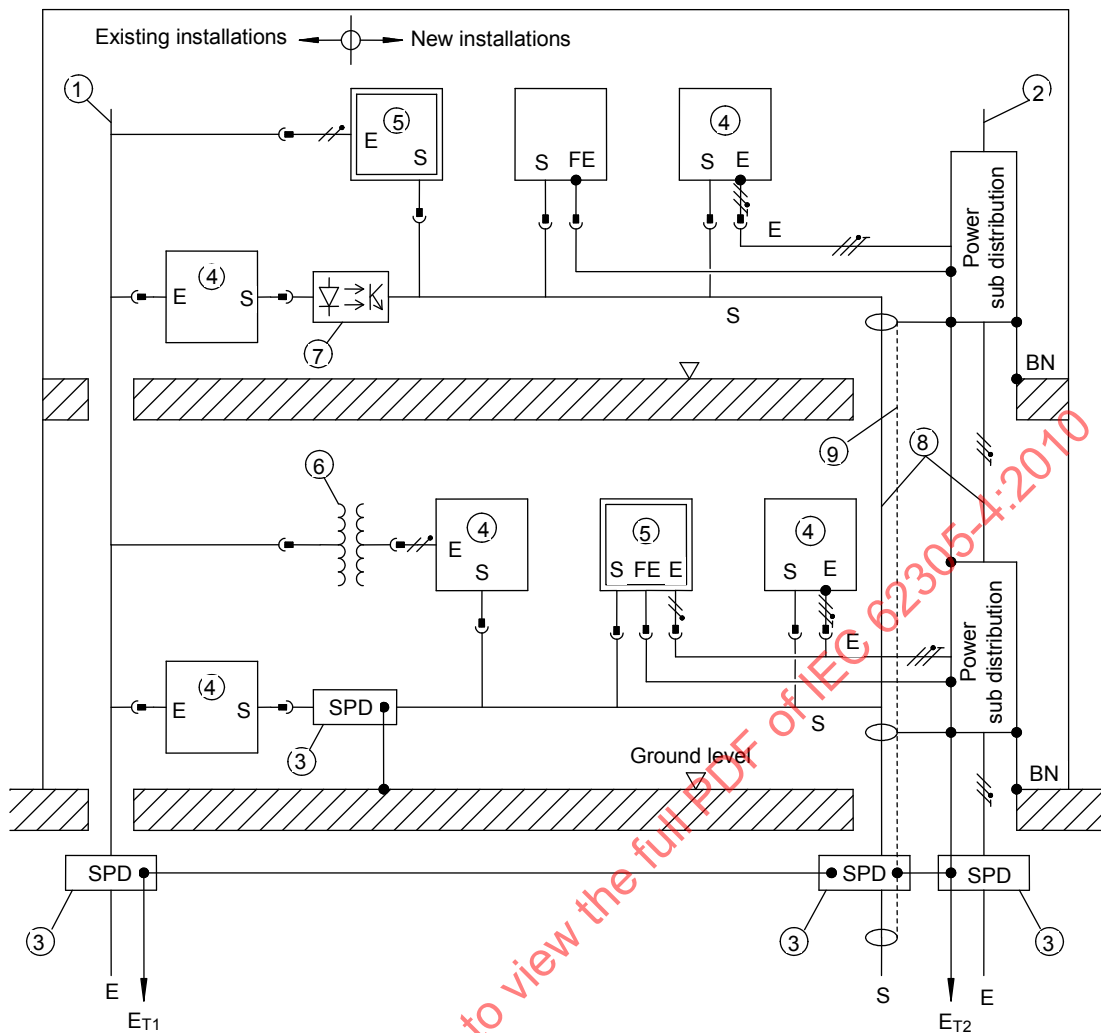
- the required bonding, directly or via an SPD, at the entries to both LPZs 1 will protect only the equipment inside, whereas the lines outside remain unprotected;
- the lines might be protected by installing an additional bonding conductor in parallel. The lightning current will then be shared between the lines and this bonding conductor;
- it is recommended that the lines be run in closed and interconnected metal cable ducts. In this case, the lines as well as the equipment are protected.

Where proper interconnection between the earth-termination systems of separate structures is implemented, the protection of lines by interconnected metal ducts is still recommended. Where many cables are run between interconnected structures, the shields or the armouring of these cables, bonded at either end, can be used instead of cable ducts.

## B.14 Integration of new internal systems into existing structures

When adding new internal systems to an existing structure, the existing installation might restrict the protection measures that can be adopted.

Figure B.8 shows an example where an existing installation, shown on the left, is interconnected to a new installation, shown on the right. The existing installation has restrictions on the protection measures that can be employed. However, design and planning of the new installation can allow for all necessary protection measures to be adopted.



IEC 2810/10

**Key**

1	existing mains (TN-C,TT,IT)	E	electrical lines
2	new mains (TN-S,TN-CS,TT,IT)	S	signal lines (shielded or unshielded)
3	surge protective device (SPD)	ET	earth-termination system
4	class I standard insulation	BN	bonding network
5	class II double insulation without PE	PE	protective earthing conductor
6	isolation transformer	/ T	3-wire electrical line: L, N, PE
7	opto-coupler or fibre optic cable	/	2-wire electrical line: L, N
8	adjacent routing of electrical and signal lines	•	bonding points (PE, FE, BN)
9	shielded cable ducts		

**Figure B.8 – Upgrading of the SPM in existing structures****B.15 Overview of possible protection measures****B.15.1 Power supply**

Existing mains supply (see Figure B.8, No.1) in the structure is very often of the type TN-C, which can cause power frequency interference. Such interference can be avoided by isolating interfaces (see below).

If a new mains supply (see Figure B.8, No. 2) is installed, type TN-S is strongly recommended.

### B.15.2 Surge protective devices

To control conducted surges on lines, SPDs should be installed at the entry into any LPZ and possibly at the equipment to be protected (see Figure B.8, No.3 and Figure B.2).

### B.15.3 Isolating interfaces

To avoid interference, isolating interfaces between existing and new equipment can be used: class II insulated equipment (see Figure B.8, No. 5), isolation transformers (see Figure B.8, No. 6), fibre optic cables or optical couplers (see Figure B.8, No. 7).

### B.15.4 Line routing and shielding

Large loops in line routing might lead to very high induced voltages or currents. These can be avoided by routing electrical and signal lines adjacent to each other (see Figure B.8, No. 8), thereby minimizing the loop area. It is recommended to use shielded signal lines. For extended structures, additional shielding, for example by bonded metal cable ducts (see Figure B.8, No. 9), is also recommended. All these shields should be bonded at both ends.

Line routing and shielding measures become more important the smaller the shielding effectiveness of the spatial shield of LPZ 1, and the larger the loop area.

### B.15.5 Spatial shielding

Spatial shielding of LPZ against lightning magnetic fields requires mesh widths typically less than 5 m.

An LPZ 1 created by a normal external LPS in accordance with IEC 62305-3 (air-termination, down-conductor and earth-termination system) has mesh widths and typical distances greater than 5 m, resulting in negligible shielding effects. If higher shielding effectiveness is required, the external LPS should be upgraded (see Clause B.4).

LPZ 1 and higher may require spatial shielding to protect internal systems not complying with radiated radio frequency emission and immunity requirements.

### B.15.6 Bonding

Equipotential bonding for lightning currents with frequencies up to several MHz requires a meshed low impedance bonding network having a typical mesh width of 5 m. All services entering an LPZ should be bonded directly, or via a suitable SPD, as closely as possible to the boundary of the LPZ.

If, in existing structures, these conditions cannot be fulfilled, other suitable protective measures should be provided.

## B.16 Upgrading a power supply and cable installation inside the structure

The power distribution system in older structures (see Figure B.8, No. 1) is very often TN-C. Interference at 50/60 Hz arising from the connection of earthed signal lines with the PEN conductor can be avoided by

- isolating interfaces using class II electrical equipment or double insulated transformers. This can be a solution if there is only a small amount of electronic equipment (see Clause B.5),
- changing the power distribution system to a TN-S (see Figure B.8 No. 2). This is the recommended solution, especially for extensive systems of electronic equipment.

The requirements of earthing, bonding and line routing should be fulfilled.

## Annex C (informative)

### Selection and installation of a coordinated SPD system

#### C.1 Introduction

Lightning flashes to a structure (source of damage S1), near the structure (S2), to a service connected to the structure (S3) and near a service connected to the structure (S4) can cause failures or malfunction of internal systems (see 5.1 of IEC 62305-1:2010).

This annex provides information on the selection and installation of a coordinated SPD system. Additional information may be found in IEC 61643-12 and IEC 60364-5-53 which deal with protection against overcurrent and the consequences in the case of an SPD failure.

The failure due to surges exceeding the immunity level of electronic equipment is not covered within the scope of the IEC 62305 series. The reader is referred to IEC 61000-4-5 for treatment of this subject.

However, lightning surges frequently cause failure of electrical and electronic systems due to insulation breakdown or when overvoltages exceed the equipment's common mode insulation level.

Equipment is protected if its rated impulse withstand voltage  $U_W$  at its terminals (common mode withstand voltage) is greater than the surge overvoltage between the live conductors and earth. If not, an SPD must be installed.

Such an SPD will protect the equipment if its effective voltage protection level  $U_{P/F}$  (the protection level  $U_P$  obtained when the nominal discharge current  $I_n$  flows added to the inductive voltage drop  $\Delta U$  of the connecting conductors) is lower than  $U_W$ . It should be noted that if the discharge current which occurs at the point of installation of the SPD exceeds the designated  $I_n$  of the SPD, the protection level  $U_P$  will be higher, and  $U_{P/F}$  may exceed the equipment's withstand level  $U_W$ . In this case the equipment is no longer protected. It follows that the nominal current  $I_n$  of the SPD should be selected to be equal to, or higher, than the discharge lightning current which can be expected at this point of installation.

The probability that an SPD with  $U_{P/F} \leq U_W$  does not adequately protect the equipment for which it is intended, is equal to the probability that the discharge current at the point of installation of this SPD exceeds the current at which  $U_P$  was determined.

Evaluation of the currents expected at various points in the installation is given in Annex E of IEC 62305-1:2010, and is based on the LPL determined using IEC 62305-2. A complete analysis of current sharing is required when considering the S1 event. Annex D of this standard provides additional information.

It should also be noted, that selecting an SPD with a lower value  $U_P$  (compared to the equipment's  $U_W$ ) results in a lower stress to the equipment that may result not just in a lower probability of damage, but also a longer operating life.

Values of the probability  $P_{SPD}$  as a function of the LPL are given in Table B.3 of IEC 62305-1:2010.

NOTE Values of  $P_{SPD}$  for SPDs providing better protection characteristics can be determined if the voltage vs current characteristic of the SPD is available.

Finally, the importance of applying SPD protection to both power and signal circuits is essential if an effective coordinated SPD system is to result.

## C.2 Selection of SPDs

### C.2.1 Selection with regard to voltage protection level

Selection of the proper voltage protection level of the SPD depends on

- the impulse withstand voltage  $U_W$  of the equipment to be protected,
- the length of the connecting conductors to the SPD,
- the length and the routing of the circuit between the SPD and the equipment.

The impulse withstand voltage  $U_W$  of the equipment to be protected should be defined for

- equipment connected to power lines in accordance with IEC 60664-1 and IEC 61643-12,
- equipment connected to telecom lines in accordance with IEC 61643-22, ITU-T K.20<sup>[3]</sup>, K.21<sup>[4]</sup> and K45<sup>[5]</sup>,
- other lines and equipment terminals in accordance with information obtained from the manufacturer.

**NOTE 1** The protective level  $U_P$  of an SPD is related to the residual voltage at a defined nominal current  $I_n$ . For higher or lower currents passing through the SPD, the value of voltage at the SPD's terminals will change accordingly.

**NOTE 2** The voltage protective level  $U_P$  should be compared with the impulse withstand voltage  $U_W$  of the equipment, tested under the same conditions as the SPD (overvoltage and overcurrent waveform and energy, energized equipment, etc.). This matter is under consideration.

**NOTE 3** Equipment may contain internal SPD components. The characteristics of these internal SPDs may affect the coordination.

When an SPD is connected to equipment to be protected, the inductive voltage drop  $\Delta U$  of the connecting conductors will add to the protection level  $U_P$  of the SPD. The resulting effective protection level  $U_{P/F}$ , defined as the voltage at the output of the SPD resulting from the protection level and the wiring/voltage drop in the leads/connections (see Figure C.1), can be assumed as being:

$$U_{P/F} = U_P + \Delta U \quad \text{for voltage limiting type SPD(s);}$$

$$U_{P/F} = \max(U_P, \Delta U) \quad \text{for voltage switching type SPD(s).}$$

**NOTE 4** For some switching type SPDs it may be required to add the arc voltage to  $\Delta U$ . This arc voltage may be as high as some hundreds of volts. For combination type SPDs, more complex formulae may be needed.

When the SPD is installed at the line entrance into the structure,  $\Delta U = 1 \text{ kV per m length}$ , should be assumed. When the length of the connection conductors is  $\leq 0,5 \text{ m}$ ,  $U_{P/F} = 1,2 \times U_P$  can be assumed. When the SPD is carrying induced surges only,  $\Delta U$  can be neglected.

During the operating state of an SPD, the voltage between the SPD terminals is limited to  $U_{P/F}$  at the location of the SPD. If the length of the circuit between the SPD and the equipment is too long, propagation of surges can lead to an oscillation phenomenon. In the case of an open-circuit at the equipment's terminals, this can increase the overvoltage up to  $2 \times U_{P/F}$  and failure of equipment may result even if  $U_{P/F} \leq U_W$ .

Information on the connecting conductors, connecting configurations and fuse withstand levels for SPDs can be found in IEC 61643-12 and IEC 60364-5-53.

Moreover, lightning flashes to the structure or to ground nearby the structure, can induce an overvoltage  $U_I$  in the circuit loop between the SPD and the equipment, that adds to  $U_{P/F}$  and thereby reduces the protection efficiency of the SPD. Induced overvoltages increase with the dimensions of the loop (line routing: length of circuit, distance between PE and active

conductors, loop area between power and signal lines) and decrease with attenuation of the magnetic field strength (spatial shielding and/or line shielding).

NOTE 5 For evaluation of induced overvoltages  $U_I$ , Clause A.4 applies.

Internal systems are protected if

- they are energy coordinated with the upstream SPD(s), and
- one of the following three conditions is fulfilled:
  - 1)  $U_{P/F} \leq U_W$ : when the circuit length between the SPD and the equipment is negligible (typical case of an SPD installed at equipment terminals);
  - 2)  $U_{P/F} \leq 0,8 U_W$ : when the circuit length is not greater than ten metres (typical case of SPD installed at a secondary distribution board or at a socket outlet);

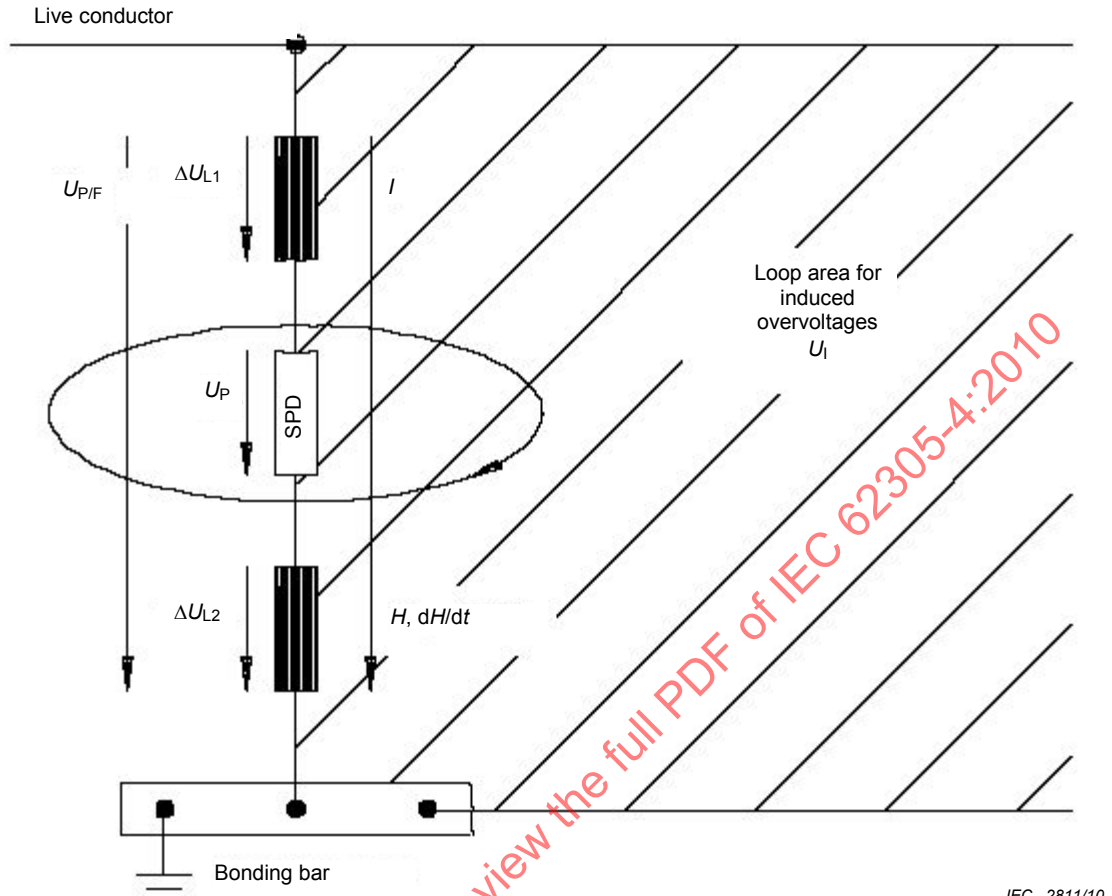
NOTE 6 Where failure on internal systems may cause loss of human life or loss of service to the public doubling of voltage due to oscillations should be considered and the criteria  $U_{P/F} \leq U_W / 2$  is required..

- 3)  $U_{P/F} \leq (U_W - U_I) / 2$ : when the circuit length is more than ten metres (typical case of SPD installed at the line entrance into the structure or, in some cases, at the secondary distribution board).

NOTE 7 For shielded telecommunication lines, different requirements may apply due to the steepness of the wave front. Information on this effect is provided in Chapter 10 of the ITU-T lightning handbook<sup>[7]</sup>.

If spatial shielding of the structure (or of the rooms) and/or line shielding (use of shielded cables or metallic cable ducts) are provided, induced overvoltages  $U_I$  are usually negligible and can be disregarded in most cases.

IECNORM.COM : Click to view the full PDF of IEC 62305-4:2010

**Key**

$I$	partial lightning current
$U_I$	induced overvoltage
$U_{P/F} = U_P + \Delta U$	surge voltage between live conductor and bonding bar
$U_P$	limiting voltage of SPD
$\Delta U = \Delta U_{L1} + \Delta U_{L2}$	inductive voltage drop on the bonding conductors
$H, dH/dt$	magnetic field and its time derivative

**NOTE** The surge voltage  $U_{P/F}$  between the live conductor and the bonding bar is higher than the protection level  $U_P$  of the SPD, because of the inductive voltage drop  $\Delta U$  at the bonding conductors (even if the maximum values of  $U_P$  and  $\Delta U$  do not necessarily appear simultaneously). That is, the partial lightning current flowing through the SPD induces additional voltage into the loop on the protected side of the circuit following the SPD. Therefore, the maximum voltage endangering the connected equipment can be considerably higher than the protection level  $U_P$  of the SPD.

**Figure C.1 – Surge voltage between live conductor and bonding bar**

### C.2.2 Selection with regard to location and to discharge current

SPDs should withstand the discharge current expected at their installation point in accordance with Annex E of IEC 62305-1:2010. The use of SPDs depends on their withstand capability, classified in IEC 61643-1 for power, and in IEC 61643-21 for telecommunication systems.

The selection of an SPDs discharge current rating is influenced by the type of connection configuration and the type of power distribution network. More information on this may be found in IEC 61643-12 and IEC 60364-5-53.

SPDs should be selected in accordance with their intended installation location, as follows:

- a) At the line entrance into the structure (at the boundary of LPZ 1, e.g. at the main distribution board MB):

- **SPD tested with  $I_{imp}$  (class I test)**

The required impulse current  $I_{imp}$  of the SPD should provide for the (partial) lightning current to be expected at this installation point based on the chosen LPL in accordance with Clause E.2 (source of damage S1) and/or E.3.1 (source of damage S3) of IEC 62305-1:2010.

- **SPD tested with  $I_n$  (class II test)**

This type of SPD can be used when the lines entering are entirely within LPZ  $0_B$  or when the probability of failures of the SPD due to sources of damage S1 and S3 can be disregarded. The required nominal discharge current  $I_n$  of the SPD should provide for the surge level to be expected at the installation point based on the chosen LPL and related overcurrents, in accordance with E.3.2 of IEC 62305-1:2010.

NOTE 1 The risk of failures of the SPDs due to sources of damage S1 and S3 can be disregarded if the total number of direct flashes to structure ( $N_D$ ) and to line ( $N_L$ ) complies with the condition  $N_D + N_L \leq 0,01$ .

- b) Close to the equipment to be protected (at the boundary of LPZ 2 and higher, e.g. at a secondary distribution board SB, or at a socket outlet SA).

- **SPD tested with  $I_n$  (class II test)**

The required nominal discharge current  $I_n$  of the SPD should provide for the surge current to be expected at this point of the installation, based the chosen LPL and related overcurrents in accordance with Clause E.4 of IEC 62305-1:2010.

NOTE 2 An SPD having the characteristics of class I and class II tests may be used in this location.

- **SPD tested with a combination wave  $U_{OC}$  (class III test)**

This type of SPD can be used when the lines entering are entirely within LPZ  $0_B$  or when the risk of failures of the SPD due to sources of damage S1 and S3 can be disregarded. The required open circuit voltage rating  $U_{OC}$  of the SPD (from which the short-circuit current  $I_{SC}$  can be determined, since test class III is carried out using a combination wave generator with a  $2 \Omega$  impedance) should provide for the surge level to be expected at the installation point, based on the chosen LPL and related overcurrents, in accordance with Clause E.4 of IEC 62305-1:2010.

### C.3 Installation of a coordinated SPD system

#### C.3.1 General

The efficiency of a coordinated SPD system depends not only on the proper selection of the SPDs, but also on their correct installation. Aspects to be considered include:

- location of the SPD;
- connecting conductors.

#### C.3.2 Installation location of SPDs

The location of the SPDs should comply with C.2.2 and is primarily affected by

- the specific source of damage e.g. lightning flashes to a structure (S1), to a line (S3), to ground near a structure (S2) or to ground near a line (S4),
- the nearest opportunity to divert the surge current to ground (as close to the entrance point of a line into the structure as possible).

The first criterion to be considered is: the closer the SPD is to the entrance point of the incoming line, the greater the amount of equipment within the structure that will be protected by this SPD (economic advantage). Then the second criterion should be checked: the closer an SPD is to the equipment being protected, the more effective its protection will be (technical advantage).

### C.3.3 Connecting conductors

The SPDs connecting conductors should have a minimum cross-sectional area as given in Table 1.

### C.3.4 Coordination of SPDs

In a coordinated SPD system, cascaded SPDs need to be energy coordinated in accordance with IEC 61643-12 and/or IEC 61643-22. For this purpose, the SPD manufacturer should provide sufficient information as to how to achieve energy coordination between his different SPDs.

### C.3.5 Procedure for installation of a coordinated SPD system

A coordinated SPD system should be installed as follows:

- At the line entrance into the structure (at the boundary of LPZ 1, e.g. at installation point MB) install SPD1 fulfilling the requirements of C.2.2.
- Determine the impulse withstand voltage  $U_W$  of internal systems to be protected.
- Select the voltage protection level  $U_{P1}$  of SPD 1.
- Check the requirements of C.2.1 are met.

If this requirement is met, the equipment is adequately protected by SPD 1. Otherwise, an additional SPD 2(s) is/are needed.

- If so required, closer to the equipment (at the boundary of LPZ 2, e.g. at the installation point SB or SA), install SPD 2, fulfilling the requirements of C.2.2 and energy coordinated with the upstream SPD 1 (see C.3.4).
- Select the protection level  $U_{P2}$  of SPD 2.
- Check the requirements of C.2.1 are met.

If this requirement is met, the equipment is adequately protected by SPD 1 and SPD 2.

- Otherwise, close to the equipment (e.g. at installation point SA socket), additional SPD 3(s) is/are needed fulfilling the requirements of C.2.2 and energy coordinated with the upstream SPD 1 and SPD 2 (see C.2.3),
- Check the condition  $U_{P/F3} \leq U_W$  is fulfilled (see C.2.1).

## Annex D (informative)

### Factors to be considered in the selection of SPDs

#### D.1 Introduction

$I_{\text{imp}}$ ,  $I_{\text{max}}$  and  $I_n$  are test parameters used in the operating duty test for class I and class II tests. They are related to the maximum values of discharge currents, which are expected to occur at the LPL probability level at the location of installation of the SPD in the system.  $I_{\text{max}}$  is associated with class II tests and  $I_{\text{imp}}$  is associated with class I tests.

The preferred values for  $I_{\text{imp}}$ ,  $Q$ ,  $W/R$ , in accordance with the future IEC 61643-11<sup>[8]</sup> are reproduced in Table D.1.

**Table D.1 – Preferred values of  $I_{\text{imp}}$** <sup>a</sup>

$I_{\text{imp}}$ <sup>b</sup> kA	1	2	5	10	12,5 <sup>c</sup>	20	25
$Q$ (C)	0,5	1	2,5	5	6,25 <sup>c</sup>	10	12,5
$W/R$ (kJ/Ω)	0,25	1	6,25	25	39 <sup>c</sup>	100	156

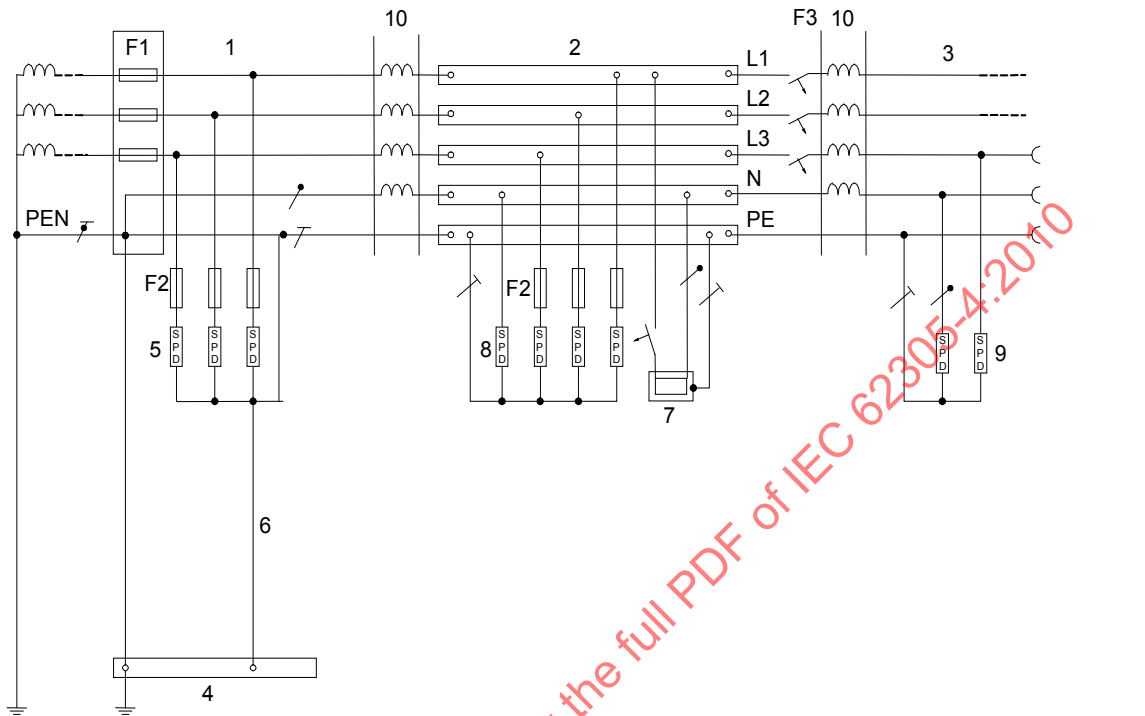
<sup>a</sup> Table D.1 refers to SPDs connected line to neutral (CT1 connection).  
<sup>b</sup> In general  $I_{\text{imp}}$  is associated with longer waveshapes (for example 10/350 µs) than  $I_{\text{max}}$ .  
<sup>c</sup> See IEC 60364-5-53:2001.

#### D.2 Factors determining the stress experienced by an SPD

The stress which an SPD will experience under surge conditions is a function of many complex and interrelated parameters. These include:

- location of the SPD(s) within the structure (see Figure D.1);
- method of coupling of the lightning strike to the facility (see Figure D.2) – for example, is this via a direct strike to the structure's LPS (S1), or via induction onto building wiring due to a nearby strike (S2), or services feeding the structure (S3 and S4);
- distribution of lightning currents within the structure – for example, what portion of the lightning current enters the earthing system, and what remaining portion seeks a path to remote earths via services which enter the structure such as the power distribution system, metallic pipes, telecom services, etc. and the equipotential bonding SPDs used on these;
- the resistance and inductance of services entering the structure, as these components effect the current peak value,  $I$ , and charge  $Q$  distribution ratios;
- additional conductive services connected to the facility – these will carry a portion of the direct lightning current and therefore reduce the portion which flows through the power distribution system via the lightning equipotential bonding SPD(s). Attention should be paid to the permanence of such services due to possible replacement by non-conductive parts;
- type of waveshape being considered – it is not possible to consider simply the peak current which the SPD will have to conduct under surge conditions, one also has to consider the waveshape of this surge (for example, 10/350 µs covering direct and partial lightning current, 8/20 µs covering induced lightning current) and the bulk charge  $Q$ ;

- any additional structures which are interconnected to the primary structure via the power service, as these will also effect the current sharing distribution.



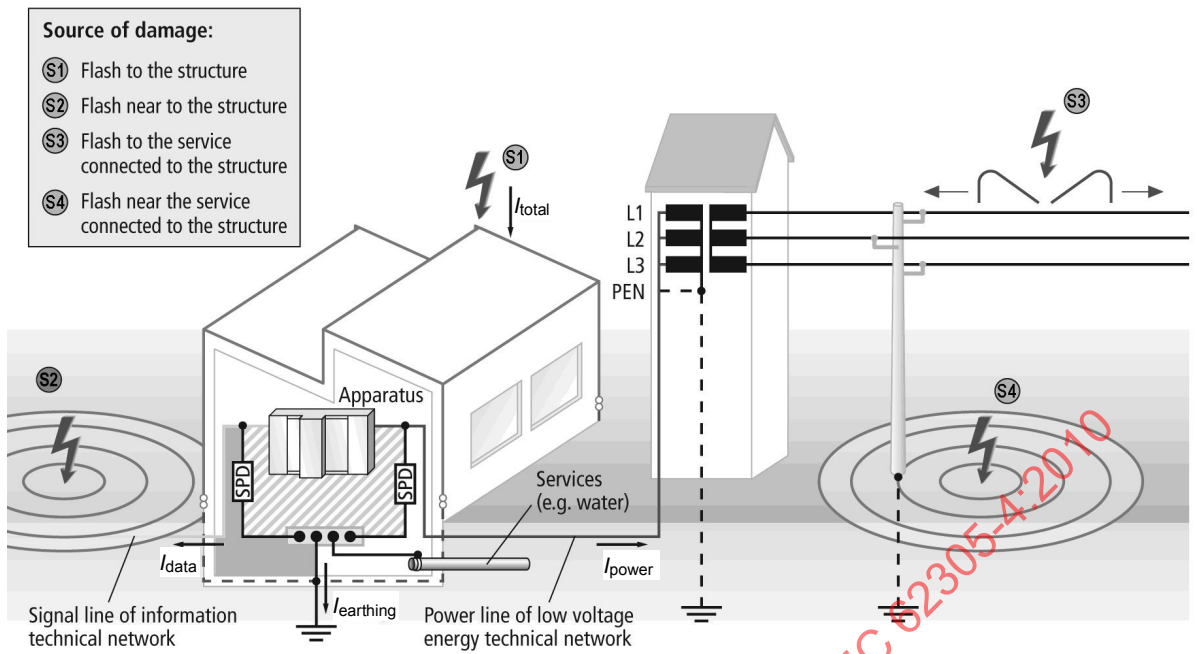
IEC 2812/10

**Key**

- |   |   |
|---|---|
| 1 origin of the installation  | 7 fixed equipment to be protected                       |
| 2 distribution board  | 8 surge protective device, class II tested              |
| 3 distribution outlet   | 9 surge protective device, class II or class III tested |
| 4 main earthing terminal or bar   | 10 decoupling element or line length                    |
| 5 surge protective device, class I or II tested                           | F1, F2, F3 overcurrent protective disconnectors         |
| 6 earthing connection (earthing conductor) of the surge protective device |   |

NOTE Refer to IEC 61643-12 for further information.

**Figure D.1 – Installation example of test class I, class II and class III SPDs**



**Figure D.2 – Basic example for different sources of damage to a structure and lightning current distribution within a system**

### D.3 Quantifying the statistical threat level to an SPD

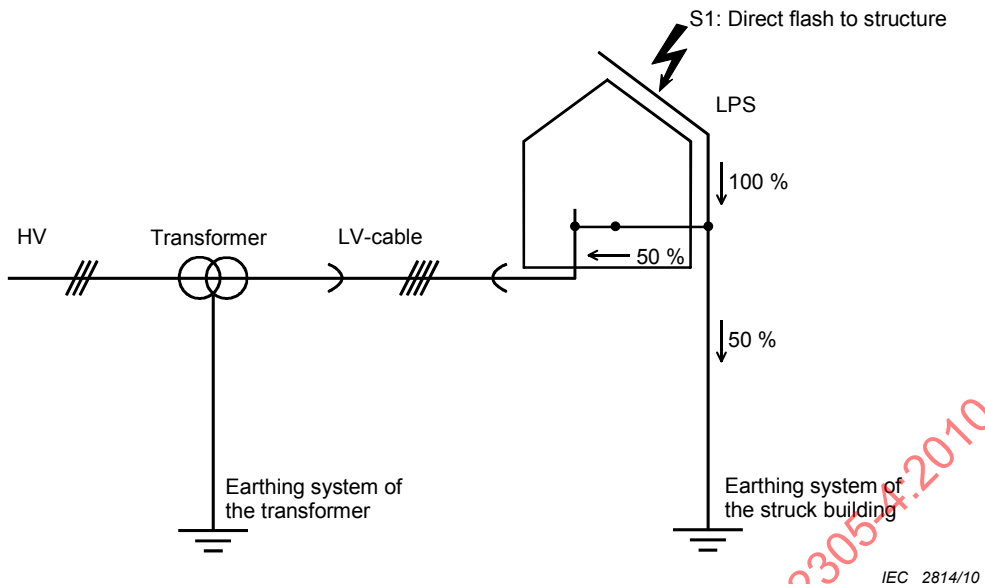
#### D.3.1 General

Many attempts have been made to quantify the electrical environment and “threat level” which an SPD will experience at different locations within a facility. For example, for a service entrance SPD where a structural LPS is fitted, the threat level depends on the required LPL according to risk assessment for the involved structure, in order to limit such risk to the tolerable value (see Clause 6 of IEC 62305-1:2010).

This standard postulates that under an LPL I the magnitude of a direct strike (S1) to the structure’s LPS may be as high as 200 kA with a waveshape of 10/350 µs (see 8.1 and Annex A of IEC 62305-1:2010). However, whilst the SPDs should be selected to meet the required LPL identified by the risk assessment, there are further factors that would affect the magnitude of lightning current to which SPD is subjected.

#### D.3.2 Installation factors effecting current distribution

When no specific calculation of current sharing (see Clause E.2 of IEC 62305-1:2010) is carried out, a general assumption is made that 50 % of this current is conducted to the building’s earthing system, and 50 % returns via the equipotential bonding SPD(s). For LPL I, this implies that the portion of the initial 200 kA discharge experienced by each SPD,  $I_{imp}$ , is 25 kA for a three-phase plus neutral power distribution system – see Figure D.3.



**Figure D.3 – Basic example of balanced current distribution**

If, however, three metallic services supply the structure, and the model of Clause E.2 of IEC 62305-1:2010 is adopted, the total current,  $I_{\text{imp}}$ , to each equipotential bonding SPD in the three-phase system becomes 8,3 kA.

The distribution of lightning current on a power distribution system is strongly influenced by the earthing practice of the services entering the structure. For example, in the TN-C system with its multiple-earthed neutral, a more direct and lower impedance path to earth is provided for lightning currents than in a TT system.

Simplified assumptions of current dispersion are useful in considering the possible threat level, which the SPD(s) may experience, but it is important to keep in context the assumptions being made. In addition, it has been assumed that the waveshape of this current component through the SPD(s) will be the same waveshape as the initial discharge, whereas in reality the waveshape may have been altered by the impedance of building wiring, etc.

Computer simulations can be a helpful tool in order to consider these factors for the correct selection of SPDs. In order to evaluate the lightning current dispersion for a complex system, it is necessary to convert the real world system, as shown in the example of Figure D.2 into an equivalent electrical circuit diagram.

Many standards have sought rather to base their considerations of the threat level to which an SPD may be subject, on field experience collected over time. Table E.2 of IEC 62305-1:2010 is based mainly on field experience (see IEEE C62.41 series<sup>[9]</sup>).

### D.3.3 Considerations in the selection of SPD ratings: $I_{\text{imp}}$ , $I_{\text{max}}$ , $I_n$ , $U_{\text{OC}}$

From the above, it is apparent that the selection of the appropriate ratings  $I_{\text{imp}}$ ,  $I_{\text{max}}$ ,  $I_n$  and  $U_{\text{OC}}$  of an SPD depends on many complex and interconnected parameters.

It is important to keep in context that the risk of damage to internal systems within a structure due to surges arising from

- induced effects coupling power, phone and data lines (S4),
- LEMP effects of coupling from nearby strikes to the structure (S2),

may often be greater than those due to the effects of surges arising from direct strikes to the structure itself (S1) or to lines (S3).

Many buildings do not require protection against direct strikes to the structure or to incoming lines, and as such the requirement for test class I SPD(s) is not necessary, while a correctly designed test class II SPD system may be appropriate.

In general, the approach should be to use a test class I SPD where direct or partial lightning currents are involved (S1/S3) and a test class II/III SPD for induced effects (S2/S4).

When addressing such complexities, one needs to keep in mind that the most important aspect in selecting an SPD is its voltage-limiting performance during the expected surge event, and the energy withstand ( $I_{imp}$ ,  $I_{max}$ ,  $I_n$ ,  $U_{OC}$ ) which it can handle (see NOTE 4 that follows Table B.7 in IEC 62305-2:2010).

At the expected  $I_n$ , an SPD with a limiting voltage lower than the withstand voltage of the equipment will ensure equipment protection, particularly considering external factors that create additive voltages (voltage drop on connecting leads, oscillations and induction phenomena). In contrast, an SPD with a withstand energy higher than that required at the point of installation may result only in a longer SPD operating life. However, an SPD with lower limiting voltage may be more susceptible to possible damage from temporary over voltages (TOV) if installed on poorly regulated power systems.

IECNORM.COM : Click to view the full PDF of IEC 62305-4:2010

## Bibliography

- [1] IEC 60364-4-44, *Low-voltage electrical installations – Part 4-44: Protection for safety – Protection against voltage disturbances and electromagnetic disturbances*
- [2] IEC 61000 (all parts), *Electromagnetic compatibility (EMC)*
- [3] ITU-T Recommendation K.20:2008, *Resistibility of telecommunication equipment installed in a telecommunications centre to overvoltages and overcurrents*
- [4] ITU-T Recommendation K.21:2003, *Resistibility of telecommunication equipment installed in customer premises to overvoltages and overcurrents*
- [5] ITU-T Recommendation K.45:2003, *Resistibility of telecommunication equipment installed in the access and trunk networks to overvoltages and overcurrents*
- [6] IEC 61000-5-2:1997, *Electromagnetic compatibility (EMC) – Part 5-2: Installation and mitigation guidelines – Earthing and cabling*
- [7] ITU-T Lightning handbook:1994, *The protection of telecommunication lines and equipment against lightning discharges – Chapter 10*
- [8] IEC 61643-11, *Low-voltage surge protective devices – Part 11: Surge protective devices connected to low-voltage power distribution systems – Requirements and test methods*
- [9] IEEE C62.41:1991, *Recommended practice on surge voltages in low-voltage ac power circuits*

## SOMMAIRE

AVANT-PROPOS .....	91
INTRODUCTION .....	93
1 Domaine d'application .....	95
2 Références normatives .....	95
3 Termes et définitions .....	96
4 Conception et mise en œuvre de MPF .....	99
4.1 Généralités .....	99
4.2 Conception de MPF .....	103
4.3 Zones de protection contre la foudre (ZPF) .....	104
4.4 MPF fondamentales .....	108
5 Mise à la terre et équipotentialité .....	109
5.1 Généralités .....	109
5.2 Réseau de prises de terre .....	109
5.3 Réseau d'équipotentialité .....	111
5.4 Barres d'équipotentialité .....	116
5.5 Equipotentialité à la frontière d'une ZPF .....	116
5.6 Matériaux et dimensions des éléments d'équipotentialité .....	117
6 Ecrans magnétiques et cheminement .....	117
6.1 Généralités .....	117
6.2 Ecran spatial .....	117
6.3 Ecran des lignes internes .....	118
6.4 Cheminement des lignes internes .....	118
6.5 Ecran des lignes externes .....	118
6.6 Matériaux et dimensions des écrans magnétiques .....	118
7 Parafoudres coordonnés .....	118
8 Interfaces d'isolement .....	119
9 Gestion d'une MPF .....	119
9.1 Généralités .....	119
9.2 Plan de gestion d'une MPF .....	120
9.3 Inspection d'une MPF .....	121
9.3.1 Généralités .....	121
9.3.2 Procédure d'inspection .....	122
9.3.3 Documentation pour l'inspection .....	123
9.4 Maintenance .....	123
Annexe A (informative) Eléments essentiels pour l'évaluation de l'environnement électromagnétique dans une ZPF .....	124
Annexe B (informative) Mise en œuvre d'une MPF pour une structure existante .....	149
Annexe C (informative) Choix et mise en œuvre d'un système de protection coordonné par parafoudres .....	167
Annexe D (informative) Facteurs à prendre en compte dans le choix des parafoudres .....	173
Bibliographie .....	178
Figure 1 – Principe général de partition en diverses ZPF .....	100

Figure 2 – Exemples de mesures de protection possibles MPF (mesures de protection contre l'IEMF) .....	102
Figure 3 – Exemples de ZPF interconnectées .....	106
Figure 4 – Exemples de zones de protection contre la foudre étendues .....	107
Figure 5 – Exemple de réseau de mise à la terre tridimensionnel constitué du réseau d'équipotentialité interconnecté avec le réseau de prises de terre.....	109
Figure 6 – Réseau de prises de terre maillé d'une implantation .....	110
Figure 7 – Utilisation des tiges d'armature d'une structure pour une liaison équipotentielle .....	112
Figure 8 – Liaison équipotentielle dans une structure avec armature en acier.....	113
Figure 9 – Intégration des parties conductrices des réseaux internes dans le réseau d'équipotentialité .....	114
Figure 10 – Associations de méthodes d'incorporation des parties conductrices des réseaux internes dans le réseau d'équipotentialité.....	115
Figure A.1 – Situation de l'IEMF due à un impact de foudre .....	125
Figure A.2 – Simulation de l'élévation du champ magnétique due à des oscillations amorties .....	128
Figure A.3 – Ecran à large volume réalisé par armatures et ossatures métalliques .....	129
Figure A.4 – Volume pour les réseaux de puissance et de communication dans une ZPF n intérieure .....	130
Figure A.5 – Réduction des effets d'induction par des dispositions de cheminement et d'écran .....	131
Figure A.6 – Exemple de MPF d'un immeuble de bureaux.....	133
Figure A.7 – Evaluation du champ magnétique en cas de coup de foudre direct .....	134
Figure A.8 – Evaluation du champ magnétique dans le cas de coup de foudre proche .....	136
Figure A.9 – Distance $s_a$ en fonction du rayon de la sphère fictive et des dimensions de la structure.....	139
Figure A.10 – Types de volumes d'écrans en grille de grandes dimensions .....	140
Figure A.11 – Champ magnétique $H_{1/MAX}$ dans un écran en grille de type 1 .....	141
Figure A.12 – Champ magnétique $H_{1/MAX}$ dans un écran en grille de type 1 selon la largeur de maille .....	142
Figure A.13 – Essai à bas niveau pour déterminer le champ magnétique dans une structure avec écran .....	144
Figure A.14 – Tensions et courants induits dans une boucle formée par les lignes .....	145
Figure B.1 – Etapes de la conception d'une MPF pour une structure existante.....	152
Figure B.2 – Etablissement possible des ZPF dans les structures existantes .....	156
Figure B.3 – Réduction des dimensions de la boucle en utilisant des câbles écrantés proches d'une plaque métallique.....	159
Figure B.4 – Exemple de plaque métallique utilisée comme écran complémentaire .....	159
Figure B.5 – Protection d'antennes et autres matériels extérieurs .....	161
Figure B.6 – Ecran naturel fourni par des échelles et canalisations mises à la terre.....	162
Figure B.7 – Emplacements idéaux pour des lignes sur un mât (section d'un mât-treillis en acier) .....	162
Figure B.8 – Amélioration de la MPF dans les structures existantes.....	164
Figure C.1 – Surtension entre un conducteur actif et la barre d'équipotentialité .....	170
Figure D.1 – Exemple d'installation d'essai de parafoudres de classes I, II et III .....	174

Figure D.2 – Exemple de base de différentes sources de dommage à une structure et distribution du courant de foudre dans un réseau .....	175
Figure D.3 – Exemple de base de distribution partagée du courant .....	176
Tableau 1 – Sections minimales des éléments d'équipotentialité .....	117
Tableau 2 – Plan de gestion des MPF pour des bâtiments neufs et pour des modifications importantes dans la construction ou l'utilisation de bâtiments .....	121
Tableau A.1 – Paramètres relatifs à la source de dégradation et aux matériels .....	126
Tableau A.2 – Exemples pour $I_{0/\text{MAX}} = 100 \text{ kA}$ et $w_m = 2 \text{ m}$ .....	136
Tableau A.3 – Atténuation magnétique des écrans spatiaux en grille dans le cas d'une onde plane .....	137
Tableau A.4 – Rayon de la sphère fictive correspondant au courant maximal de foudre .....	139
Tableau A.5 – Exemples pour $I_{0/\text{MAX}} = 100 \text{ kA}$ et $w_m = 2 \text{ m}$ correspondant à $SF = 12,6 \text{ dB}$ .....	139
Tableau B.1 – Caractéristiques des structures et environnements .....	149
Tableau B.2 – Caractéristiques des installations .....	150
Tableau B.3 – Caractéristiques des matériels .....	150
Tableau B.4 – Autres questions à considérer pour la détermination du concept de protection .....	150
Tableau D.1 – Valeurs préférentielles de $I_{\text{imp}}$ .....	173

IECNORM.COM : Click to view the full PDF of IEC 62305-4:2010

## COMMISSION ÉLECTROTECHNIQUE INTERNATIONALE

### PROTECTION CONTRE LA FOUDRE –

#### Partie 4: Réseaux de puissance et de communication dans les structures

#### AVANT-PROPOS

- 1) La Commission Electrotechnique Internationale (CEI) est une organisation mondiale de normalisation composée de l'ensemble des comités électrotechniques nationaux (Comités nationaux de la CEI). La CEI a pour objet de favoriser la coopération internationale pour toutes les questions de normalisation dans les domaines de l'électricité et de l'électronique. A cet effet, la CEI – entre autres activités – publie des Normes internationales, des Spécifications techniques, des Rapports techniques, des Spécifications accessibles au public (PAS) et des Guides (ci-après dénommés "Publication(s) de la CEI"). Leur élaboration est confiée à des comités d'études, aux travaux desquels tout Comité national intéressé par le sujet traité peut participer. Les organisations internationales, gouvernementales et non gouvernementales, en liaison avec la CEI, participent également aux travaux. La CEI collabore étroitement avec l'Organisation Internationale de Normalisation (ISO), selon des conditions fixées par accord entre les deux organisations.
- 2) Les décisions ou accords officiels de la CEI concernant les questions techniques représentent, dans la mesure du possible, un accord international sur les sujets étudiés, étant donné que les Comités nationaux de la CEI intéressés sont représentés dans chaque comité d'études.
- 3) Les Publications de la CEI se présentent sous la forme de recommandations internationales et sont agréées comme telles par les Comités nationaux de la CEI. Tous les efforts raisonnables sont entrepris afin que la CEI s'assure de l'exactitude du contenu technique de ses publications; la CEI ne peut pas être tenue responsable de l'éventuelle mauvaise utilisation ou interprétation qui en est faite par un quelconque utilisateur final.
- 4) Dans le but d'encourager l'uniformité internationale, les Comités nationaux de la CEI s'engagent, dans toute la mesure possible, à appliquer de façon transparente les Publications de la CEI dans leurs publications nationales et régionales. Toutes divergences entre toutes Publications de la CEI et toutes publications nationales ou régionales correspondantes doivent être indiquées en termes clairs dans ces dernières.
- 5) La CEI elle-même ne fournit aucune attestation de conformité. Des organismes de certification indépendants fournissent des services d'évaluation de conformité et, dans certains secteurs, accèdent aux marques de conformité de la CEI. La CEI n'est responsable d'aucun des services effectués par les organismes de certification indépendants.
- 6) Tous les utilisateurs doivent s'assurer qu'ils sont en possession de la dernière édition de cette publication.
- 7) Aucune responsabilité ne doit être imputée à la CEI, à ses administrateurs, employés, auxiliaires ou mandataires, y compris ses experts particuliers et les membres de ses comités d'études et des Comités nationaux de la CEI, pour tout préjudice causé en cas de dommages corporels et matériels, ou de tout autre dommage de quelque nature que ce soit, directe ou indirecte, ou pour supporter les coûts (y compris les frais de justice) et les dépenses découlant de la publication ou de l'utilisation de cette Publication de la CEI ou de toute autre Publication de la CEI, ou au crédit qui lui est accordé.
- 8) L'attention est attirée sur les références normatives citées dans cette publication. L'utilisation de publications référencées est obligatoire pour une application correcte de la présente publication.
- 9) L'attention est attirée sur le fait que certains des éléments de la présente Publication de la CEI peuvent faire l'objet de droits de propriété intellectuelle ou de droits analogues. La CEI ne saurait être tenue pour responsable de ne pas avoir identifié de tels droits de propriété et de ne pas avoir signalé leur existence.

La Norme internationale CEI 62305-4 a été établie par le comité d'études 81 de la CEI: Protection contre la foudre.

Cette seconde édition annule et remplace la première édition, publiée en 2006, dont elle constitue une révision technique.

La présente édition comprend les modifications techniques importantes suivantes par rapport à la précédente édition:

- 1) Introduction d'interfaces d'isolement capables de réduire les chocs conduits sur les services pénétrant dans la structure.
- 2) Légère modification des sections minimales des composants de liaison.
- 3) Introduction d'un premier courant pulsé négatif à des fins de calcul, comme source électromagnétique de dégradation des réseaux internes

- 4) Amélioration du choix du parafoudre par rapport au niveau de protection contre les surtensions, afin de tenir compte de l'existence de phénomènes d'oscillation et d'induction dans le circuit en aval du parafoudre.
- 5) Suppression de l'Annexe C traitant de la coordination des parafoudres avec renvoi au SC 37A.
- 6) Introduction d'une nouvelle Annexe informative D fournissant des informations sur les facteurs à prendre en compte dans le choix des parafoudres.

La présente version bilingue (2012-06) correspond à la version anglaise monolingue publiée en 2010-12.

Le texte anglais de cette norme est issu des documents 81/373/FDIS et 81/383/RVD.

Le rapport de vote 81/383/RVD donne toute information sur le vote ayant abouti à l'approbation de cette norme.

La version française de cette norme n'a pas été soumise au vote.

Cette publication a été rédigée, aussi fidèlement que possible, selon les Directives ISO/CEI, Partie 2.

Une liste de toutes les parties de la série CEI 62305, présentées sous le titre général *Protection contre la foudre*, est disponible sur le site Web de la CEI.

Le comité a décidé que le contenu de cette publication ne sera pas modifié avant la date de stabilité indiquée sur le site web de la CEI sous "<http://webstore.iec.ch>" dans les données relatives à la publication recherchée. A cette date, la publication sera

- reconduite;
- supprimée;
- remplacée par une édition révisée, ou
- amendée.

## INTRODUCTION

La foudre, en tant que source de dégradation, est un phénomène à très forte énergie. Les chocs de foudre libèrent une énergie de plusieurs centaines de mégajoules. Si l'on compare avec une valeur de l'ordre de quelques millijoules suffisante pour affecter un matériel électronique sensible dans des réseaux de puissance et de communication à l'intérieur d'une structure, il est évident que des mesures de protection complémentaires seront nécessaires pour la protection de certains matériels.

Le besoin de la présente Norme internationale s'est fait sentir en raison de l'accroissement des coûts de défaillances des réseaux de puissance et de communication dus aux effets du champ électromagnétique de la foudre. Les réseaux qui revêtent la plus grande importance sont les réseaux de communication utilisés pour le traitement et le stockage de données, ainsi que pour le contrôle et la sécurité des procédés de fabrication des usines de valeur, de dimensions et de complexité considérables (pour lesquelles les arrêts sont véritablement indésirables pour des raisons de coût et de sécurité).

La foudre peut entraîner, dans une structure, divers types de dommages définis dans la CEI 62305-1:

- D1 blessures d'êtres vivants par un choc électrique;
- D2 dommages physiques (incendie, explosion, destruction mécanique, dégagement chimique) dus à des effets de courant de décharge, y compris l'étincelage;
- D3 défaillance des réseaux internes dus à l'IEMF.

La CEI 62305-3 traite des mesures de protection pour la réduction du risque de dommages physiques et de danger de mort, mais ne traite pas de la protection des réseaux de puissance et de communication.

La présente Partie 4 de la CEI 62305 donne donc des informations sur les mesures de protection pour la réduction du risque de défaillances permanentes des réseaux de puissance et de communication dans les structures.

Les défaillances permanentes des réseaux de puissance et de communication peuvent être dues à l'impulsion électromagnétique de foudre (IEMF) par:

- a) les chocs conduits et induits transmis aux matériels par les câblages de connexion;
- b) les effets des champs électromagnétiques rayonnés directement dans les matériels.

Les chocs peuvent être générés à l'intérieur ou à l'extérieur de la structure:

- les chocs à l'extérieur de la structure sont générés par des impacts de foudre sur les lignes entrantes ou sur le sol à proximité de la structure et sont transmis aux réseaux de puissance et de communication de la structure via ces lignes;
- les chocs à l'intérieur de la structure sont dus aux impacts de foudre sur la structure et sur le sol à proximité de la structure.

NOTE 1 Les chocs peuvent également être internes à la structure, dus aux effets de commutation, par exemple, la commutation de charges inductives.

Le couplage peut être dû à plusieurs mécanismes:

- couplage résistif (par exemple, dû à l'impédance du réseau de prises de terre ou à la résistance des blindages des câbles);
- couplage de champs magnétiques (par exemple, dû à des boucles dans les réseaux de puissance et de communication ou à l'inductance des conducteurs d'équipotentialité);
- couplage de champs électriques (par exemple, dû aux antennes de réception).

NOTE 2 Les effets de couplage de champs électriques sont généralement très faibles si l'on compare au couplage des champs magnétiques et peuvent être négligés.

Les champs électromagnétiques rayonnés peuvent être dus à

- l'écoulement du courant direct de foudre dans le canal de foudre,
- l'écoulement de courants de foudre partiels dans des conducteurs (par exemple, dans les conducteurs de descente d'un SPF extérieur conforme à la CEI 62305-3 ou dans un écran spatial extérieur conforme à la présente norme).

IECNORM.COM : Click to view the full PDF of IEC 62305-4:2010

## PROTECTION CONTRE LA FOUDRE –

### Partie 4: Réseaux de puissance et de communication dans les structures

#### 1 Domaine d'application

La présente partie de la CEI 62305 fournit des informations relatives à la conception, à l'installation, à l'inspection, à la maintenance et aux essais d'une installation de protection de réseau de puissance et de communication (MPF) visant à réduire le risque de défaillances permanentes dû aux impulsions électromagnétiques de foudre (IEMF) dans une structure.

La présente norme ne traite pas de la protection contre les perturbations électromagnétiques dues à la foudre et susceptibles d'entraîner des dysfonctionnements des réseaux internes. Toutefois, les informations de l'Annexe A peuvent également être utilisées pour évaluer ces perturbations. Les mesures de protection contre les perturbations électromagnétiques sont traitées dans la CEI 60364-4-44<sup>[1]</sup> <sup>1</sup> et dans la série CEI 61000<sup>[2]</sup>.

La présente norme donne des lignes directrices pour la coopération entre le concepteur des réseaux de puissance et de communication et le concepteur des mesures de protection pour essayer d'obtenir la protection la plus efficace.

La présente norme ne traite pas de la conception détaillée des réseaux de puissance et de communication eux-mêmes.

#### 2 Références normatives

Les documents de référence suivants sont indispensables pour l'application du présent document. Pour les références datées, seule l'édition citée s'applique. Pour les références non datées, la dernière édition du document de référence s'applique (y compris les éventuels amendements).

CEI 60364-5-53:2001, *Installations électriques des bâtiments – Partie 5-53: Choix et mise en œuvre des matériels électriques – Sectionnement, coupure et commande*

CEI 60664-1:2007, *Coordination de l'isolement des matériels dans les systèmes (réseaux) à basse tension – Partie 1: Principes, exigences et essais*

CEI 61000-4-5:2005, *Compatibilité électromagnétique (CEM) – Partie 4-5: Techniques d'essai et de mesure – Essai d'immunité aux ondes de choc*

CEI 61000-4-9:1993, *Compatibilité électromagnétique (CEM) – Partie 4-9: Techniques d'essai et de mesure – Essai d'immunité au champ magnétique impulsif – Publication CEM fondamentale*

CEI 61000-4-10:1993, *Compatibilité électromagnétique (CEM) – Partie 4-10: Techniques d'essai et de mesure – Essai d'immunité au champ magnétique oscillatoire amorti – Publication CEM fondamentale*

CEI 61643-1:2005, *Parafoudres basse tension – Partie 1: Parafoudres connectés aux réseaux de distribution basse tension – Exigences et essais*

<sup>1</sup> Les chiffres entre crochets font référence à la bibliographie.

CEI 61643-12:2008, *Parafoudres basse tension – Partie 12: Parafoudres connectés aux réseaux de distribution basse tension – Principes de choix et d'application*

CEI 61643-21, *Parafoudres basse tension – Partie 21: Parafoudres connectés aux réseaux de signaux et de télécommunications – Prescriptions de fonctionnement et méthodes d'essais*

CEI 61643-22, *Parafoudres basse tension – Partie 22: Parafoudres connectés aux réseaux de signaux et de télécommunications – Principes de choix et d'application*

CEI 62305-1:2010, *Protection contre la foudre – Partie 1: Principes généraux*

CEI 62305-2:2010, *Protection contre la foudre – Partie 2: Evaluation des risques*

CEI 62305-3:2010, *Protection contre la foudre – Partie 3: Dommages physiques sur les structures et risques humains*

### **3 Termes et définitions**

Pour les besoins du présent document, les termes et définitions suivants, ainsi que ceux donnés dans les autres parties de la CEI 62305, s'appliquent.

#### **3.1**

##### **réseau de puissance**

réseau comprenant des composants de l'alimentation de puissance basse tension

#### **3.2**

##### **réseau de communication**

réseau comprenant des composants électroniques sensibles tels que matériels de communication, systèmes d'ordinateurs, de commande et d'instrumentation, systèmes radio et installations d'électronique de puissance

#### **3.3**

##### **réseaux internes**

réseaux de puissance et de communication à l'intérieur d'une structure

#### **3.4**

##### **protection contre la foudre**

PCLF

installation complète de protection des structures et/ou des réseaux de puissance et de communication contre les effets de la foudre, comprenant un SPF et une MPF

#### **3.5**

##### **système de protection contre la foudre**

SPF

installation complète utilisée pour réduire les dangers de dommages physiques dus aux coups de foudre sur une structure

NOTE Elle comprend à la fois une installation extérieure et une installation intérieure de protection contre la foudre.

#### **3.6**

##### **impulsion électromagnétique de foudre**

IEMF

tous les effets électromagnétiques dus au courant de foudre par couplage résistif, inductif et capacitif qui crée des chocs de tension et des champs électromagnétiques

**3.7****choc**

onde transitoire créant une surtension et/ou une surintensité due à l'IEMF

**3.8****tenue assignée de choc**

$U_w$

tension de choc donnée par le constructeur de l'équipement ou d'une partie de l'équipement, caractérisant la tenue spécifiée de son isolation contre les surtensions

NOTE Pour les besoins de la présente partie de la CEI 62305, seule la tension de choc entre les conducteurs actifs et la terre est considérée.

**3.9****niveau de protection contre la foudre**

NPF

chiffre lié à un ensemble de paramètres du courant de foudre et relatif à la probabilité que les valeurs minimales et maximales associées prévues ne seront pas dépassées lors d'apparition naturelle d'orages

NOTE Un niveau de protection contre la foudre est utilisé pour prévoir des mesures de protection conformément à l'ensemble approprié de paramètres du courant de foudre.

**3.10****zone de protection contre la foudre**

ZPF

zone dont l'environnement électromagnétique est défini

NOTE Les frontières d'une ZPF ne sont pas forcément les frontières physiques (par exemple, les parois, le sol ou le plafond).

**3.11****mesures de protection contre l'IEMF**

MPF

mesures prises pour protéger les réseaux internes contre les effets de l'IEMF

NOTE Il s'agit d'une partie de la protection globale contre la foudre.

**3.12****écran spatial en grille**

écran magnétique caractérisé par ses ouvertures

NOTE Pour un bâtiment ou un local, il est, de préférence, réalisé par interconnexion de composants métalliques naturels de la structure (par exemple, armatures du béton, encadrements et supports métalliques).

**3.13****réseau de prises de terre**

partie d'une installation extérieure de SPF destinée à conduire et à dissiper le courant de foudre à la terre

**3.14****réseau d'équipotentialité**

réseau de conducteurs reliant les parties conductrices de la structure et des réseaux internes (à l'exclusion des conducteurs actifs) au réseau de prises de terre

**3.15****réseau de terre**

réseau complet associant le réseau de prises de terre et le réseau d'équipotentialité

**3.16****parafoudre**

dispositif conçu pour limiter les surtensions transitoires et évacuer les courants de choc; il comporte au moins un composant non linéaire

### 3.17

#### **parafoudre soumis à essai sous $I_{imp}$**

parafoudre résistant à un courant de foudre partiel d'onde typique 10/350  $\mu$ s nécessitant un courant correspondant d'essai de choc  $I_{imp}$

NOTE Pour les réseaux de puissance, un courant d'essai adapté  $I_{IMP}$  est défini dans la méthode d'essai de Classe I de la CEI 61643-1:2005.

### 3.18

#### **parafoudre soumis à essai sous $I_n$**

parafoudre résistant à des courants de choc induits d'onde typique 8/20  $\mu$ s nécessitant un courant correspondant d'essai de choc  $I_n$

NOTE Pour les réseaux de puissance, un courant d'essai adapté  $I_n$  est défini dans la méthode d'essai de Classe II de la CEI 61643-1:2005.

### 3.19

#### **parafoudre soumis à essai en onde combinée**

parafoudre résistant à des courants de choc induits d'onde typique 8/20  $\mu$ s nécessitant un courant correspondant d'essai de choc  $I_{SC}$

NOTE Pour les réseaux de puissance, une onde combinée d'essai est définie dans la méthode d'essai de Classe III de la CEI 61643-1:2005 définissant la tension en circuit ouvert  $U_{OC}$  1,2/50  $\mu$ s et le courant de court-circuit  $I_{SC}$  8/20  $\mu$ s d'un générateur d'onde combinée de 2  $\Omega$ .

### 3.20

#### **parafoudre de type coupure en tension**

parafoudre présentant une impédance élevée en l'absence de choc, qui peut chuter rapidement en réponse à un choc de tension

NOTE 1 Des composants habituels utilisés comme dispositifs à coupure en tension sont par exemple les éclateurs, les tubes à gaz, les thyristors silicium (redresseurs silicium) et les triacs. Ces parafoudres sont parfois dits «de type crowbar».

NOTE 2 Un parafoudre de type coupure en tension présente une caractéristique tension/courant discontinue.

### 3.21

#### **parafoudre de type limitation de tension**

parafoudre présentant une impédance élevée en l'absence de choc, mais qui diminue de manière continue avec un courant et une tension de choc croissants

NOTE 1 Des exemples habituels de composants utilisés comme dispositifs non linéaires sont les varistances et les diodes écrêteuses. Ces parafoudres sont parfois dits «de type clamping».

NOTE 2 Un parafoudre de type limitation de tension présente une caractéristique tension/courant continue.

### 3.22

#### **parafoudre de type combiné**

parafoudre comprenant des composants de type coupure en tension et de type limitation de tension et pouvant couper en tension, limiter en tension ou effectuer les deux à la fois, et dont le comportement dépend des caractéristiques de la tension appliquée

### 3.23

#### **protection coordonnée par parafoudres**

parafoudres choisis, coordonnés et mis en oeuvre de manière appropriée afin de constituer un réseau destiné à réduire les défaillances des réseaux de puissance et de communication

### 3.24

#### **interfaces d'isolement**

dispositifs capables de réduire les chocs conduits sur les services pénétrant dans la ZPF

NOTE 1 Ces dispositifs comprennent des transformateurs d'isolement à écran mis à la terre entre les enroulements, les câbles à fibre optique non métalliques et les opto-isolateurs.

NOTE 2 Les caractéristiques de tenue d'isolement de ces dispositifs sont appropriées à la présente application, de manière intrinsèque ou par l'intermédiaire d'un parafoudre.

## 4 Conception et mise en œuvre de MPF

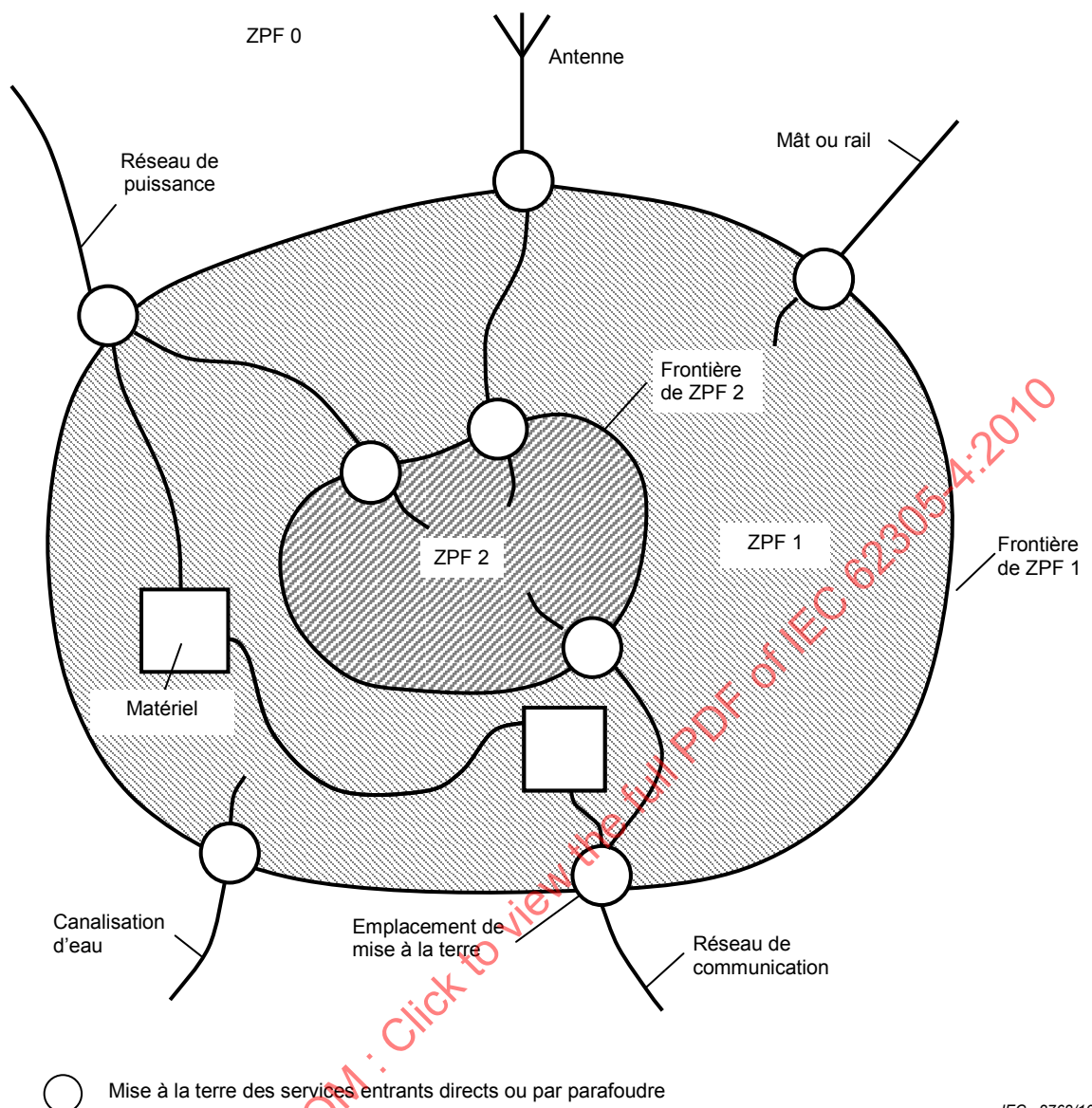
### 4.1 Généralités

Les réseaux de puissance et de communication sont mis en danger par l'impulsion électromagnétique de foudre (IEMF). Par conséquent, des mesures de MPF doivent être prévues pour éviter toute défaillance des réseaux internes.

Il convient que les mesures de MPF soient conçues par des experts en protection contre la foudre et les chocs de foudre possédant une connaissance approfondie en matière de CEM et de pratiques de mise en œuvre.

La protection contre l'IEMF se fonde sur le concept de zone de protection contre la foudre (ZPF): la zone comportant des réseaux à protéger doit être divisée en ZPF. Ces zones sont théoriquement des volumes spécifiés (ou d'un réseau interne) de sévérité IEMF compatible avec le niveau d'immunité des réseaux internes qu'ils contiennent (voir Figure 1). Les zones successives sont caractérisées par des modifications significatives de la sévérité IEMF. Les frontières d'une ZPF sont définies par les mesures de protection utilisées (voir Figure 2).

IECNORM.COM : Click to view the full PDF of IEC 62305-4:2010

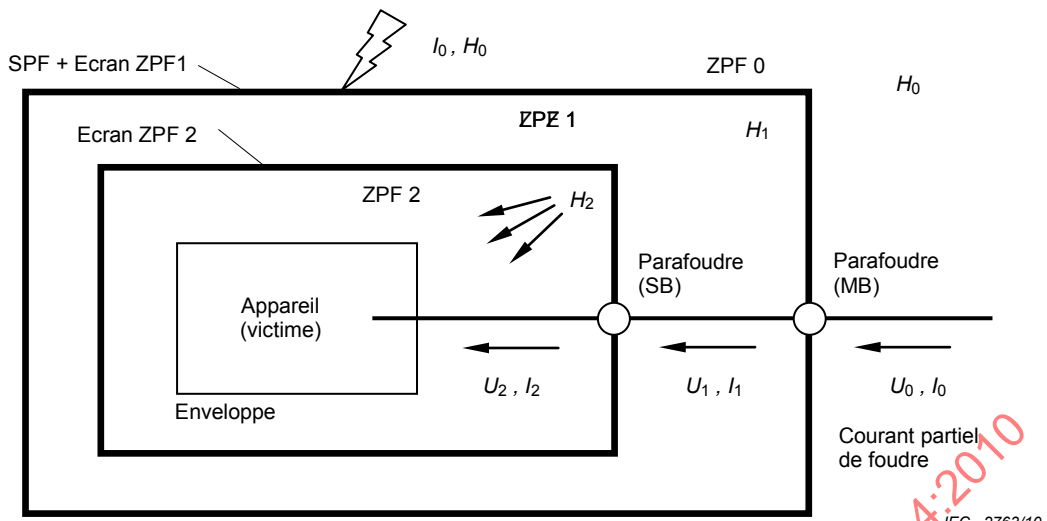


○ Mise à la terre des services entrants directs ou par parafoudre

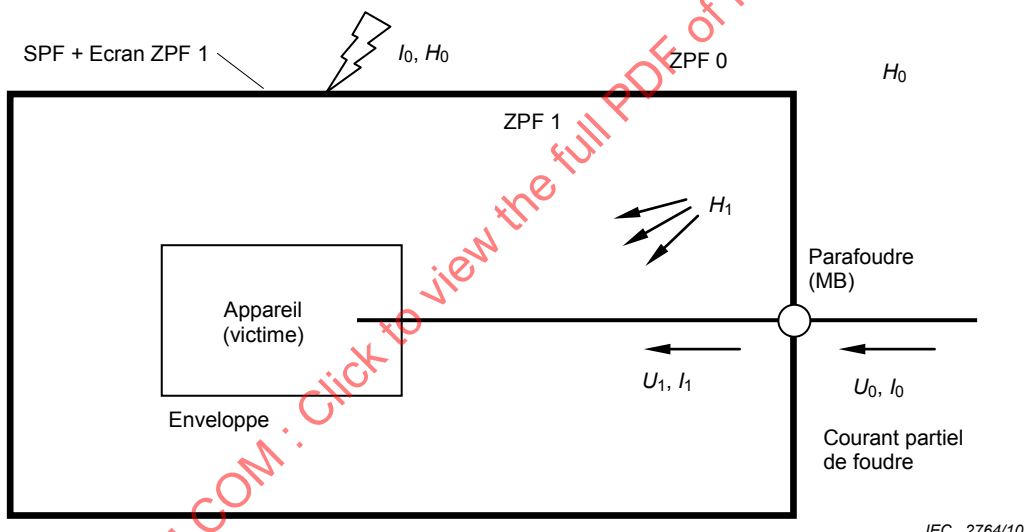
IEC 2762/10

NOTE Cette figure montre un exemple de partition d'une structure en ZPF intérieures. Tous les services métalliques pénétrant dans la structure sont mis à la terre par des bornes d'équipotentialité à la frontière de la ZPF 1. De plus, les services conducteurs entrant dans la ZPF 2 (par exemple, salle d'ordinateurs) sont mis à la terre par des bornes d'équipotentialité à la frontière de la ZPF 2.

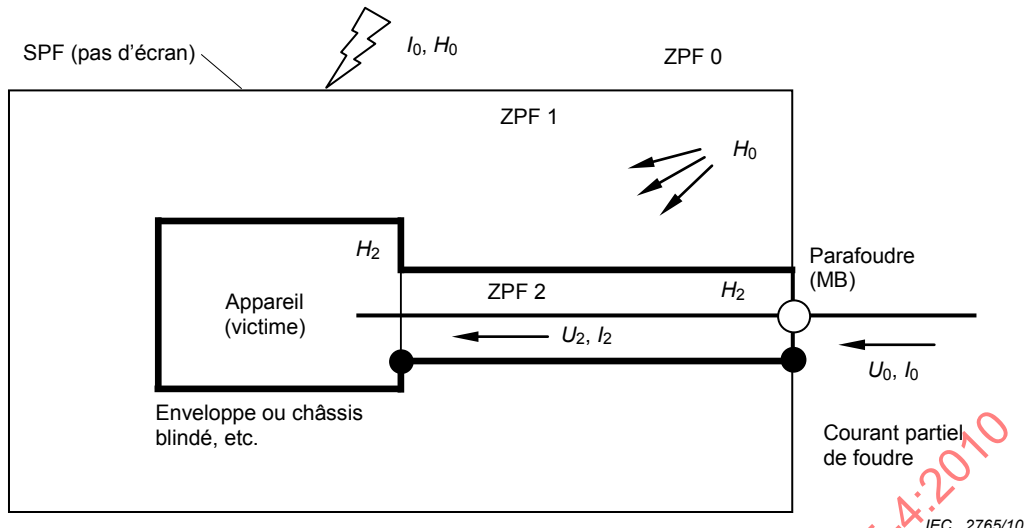
**Figure 1 – Principe général de partition en diverses ZPF**



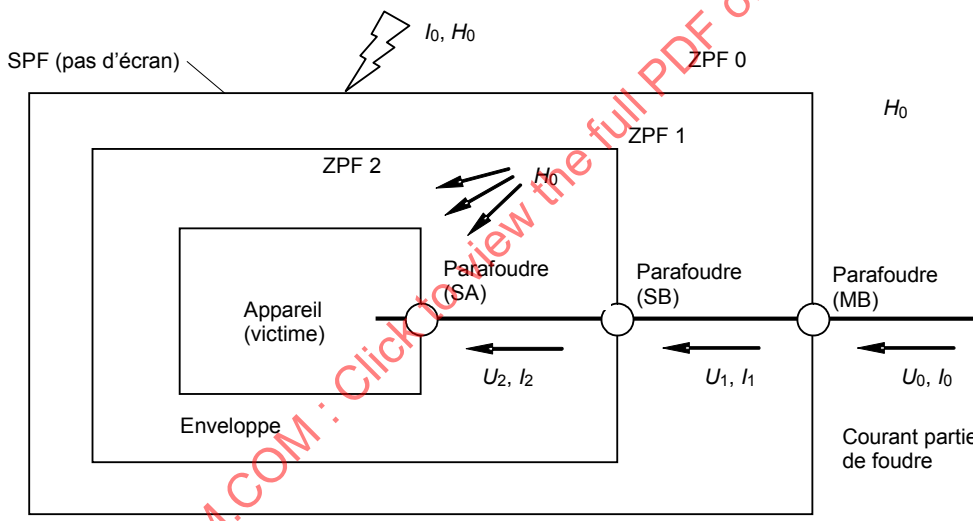
**Figure 2a – MPF utilisant des écrans spatiaux et une protection coordonnée par parafoudres – Matériels bien protégés contre les chocs conduits ( $U_2 << U_0$  et  $I_2 << I_0$ ) et contre les champs magnétiques rayonnés ( $H_2 << H_0$ )**



**Figure 2b – MPF utilisant un écran spatial pour la ZPF 1 et une protection par parafoudre à l'entrée de la ZPF 1 – Matériels protégés contre les chocs conduits ( $U_1 < U_0$  et  $I_1 < I_0$ ) et contre les champs magnétiques rayonnés ( $H_1 < H_0$ )**



**Figure 2c – MPF utilisant un écran de ligne intérieure et une protection par parafoudre à l'entrée de la ZPF 1**  
– Matériels protégés contre les chocs conduits ( $U_2 < U_0$  et  $I_2 < I_0$ ) et contre les champs magnétiques rayonnés ( $H_2 < H_0$ )



**Figure 2d – MPF utilisant seulement une protection coordonnée par parafoudres – Matériels protégés contre les chocs conduits ( $U_2 \ll U_0$  et  $I_2 \ll I_0$ ), mais pas contre les champs magnétiques rayonnés ( $H_0$ )**

#### Légende

- frontière écrantée
- frontière non écrantée

NOTE 1 Les parafoudres peuvent être situés aux points suivants:

- à la frontière de la ZPF 1 (par exemple, au tableau principal de distribution MB);
- à la frontière de la ZPF 2 (par exemple, au tableau secondaire de distribution SB);
- au niveau ou à proximité du matériel (par exemple, sur la prise SA).

NOTE 2 Pour des règles d'installation détaillées, voir aussi la CEI 60364-5-53.

#### Figure 2 – Exemples de mesures de protection possibles MPF (mesures de protection contre l'IEMF)

Des défaillances permanentes des réseaux de puissance et de communication dues à l'IEMF peuvent être dues à

- des chocs conduits et induits sur les matériels par les câblages de connexion,
- des effets des champs électromagnétiques rayonnés directement sur les matériels eux-mêmes.

Pour la protection contre les effets des champs électromagnétiques rayonnés directement sur le matériel, il convient d'utiliser une MPF comprenant des écrans spatiaux et/ou des services blindés, associée à des matériels sous enveloppe blindée.

Pour la protection contre les effets des chocs conduits et induits transmis aux matériels par les câblages de connexion, il convient d'utiliser une MPF comprenant des parafoudres coordonnés.

Les défaillances dues à des champs électromagnétiques directs sur les matériels peuvent être considérées comme négligeables si les matériels sont conformes aux essais d'émission et d'immunité RF définis dans les normes de produits CEM correspondantes.

En règle générale, le matériel doit être conforme aux normes de produits CEM correspondantes. Par conséquent, une MPF comprenant une protection coordonnée par parafoudres est généralement considérée comme suffisante pour protéger ce type de matériel contre les effets de l'IEMF.

Pour les matériels non conformes aux normes de produits CEM correspondantes, une simple MPF comprenant une protection coordonnée par parafoudres n'est pas considérée comme appropriée pour protéger ce type de matériel contre les effets de l'IEMF. Dans ce cas, l'Annexe A donne des informations supplémentaires pour réaliser la meilleure protection contre les effets directs des champs électromagnétiques. Le niveau de tenue de ces matériels contre les champs magnétiques rayonnés doit être choisi conformément à la CEI 61000-4-9 et à la CEI 61000-4-10.

Si nécessaire pour des applications spécifiques, il est possible de réaliser en laboratoire un essai de simulation de niveau de protection de réseau comprenant un ou des parafoudres, le câblage d'installation et le matériel considéré afin de vérifier la coordination de la protection.

#### 4.2 Conception de MPF

Des MPF peuvent être conçues pour la protection des matériels contre les chocs et contre les champs électromagnétiques. La Figure 2 fournit quelques exemples de MPF utilisant des mesures de protection, telles que des SPF, des écrans magnétiques et des protections coordonnées par parafoudres:

- des MPF utilisant des écrans spatiaux et une protection coordonnée par parafoudres protègeront contre les champs magnétiques rayonnés et contre les chocs conduits (voir la Figure 2a). Des écrans spatiaux en cascade et des parafoudres coordonnés peuvent réduire le champ magnétique et les chocs à des valeurs inférieures au niveau de menace.
- des MPF utilisant un écran spatial de ZPF 1 et un parafoudre à l'entrée de la ZPF 1 peuvent protéger les matériels contre le champ magnétique rayonné et contre les chocs conduits (voir Figure 2b).

NOTE 1 La protection ne serait pas suffisante si le champ magnétique reste trop élevé (dû à un écran faible de la ZPF 1) ou si le niveau de choc reste trop élevé (en raison d'un niveau de protection du parafoudre trop élevé et des effets d'induction sur le câblage en aval du parafoudre).

- des MPF utilisant les réseaux écrantés, associées à des matériels sous enveloppes écrantées protègeront contre les champs magnétiques rayonnés. Le parafoudre à l'entrée de la ZPF 1 assurera la protection contre les chocs conduits (voir Figure 2c). Pour obtenir un niveau de menace inférieur (en une étape de la ZPF 0 à la ZPF 2), un parafoudre particulier peut être requis (par exemple, étages intérieurs de coordination supplémentaires) pour obtenir un niveau de protection contre la tension suffisamment bas.
- des MPF utilisant une protection coordonnée par parafoudres ne sont efficaces que pour des matériels insensibles aux champs magnétiques rayonnés car les parafoudres

n'assurent que la protection contre les chocs conduits (voir Figure 2d). Une protection plus basse peut être réalisée par des parafoudres coordonnés.

NOTE 2 Des solutions conformes aux Figures 2a à 2c sont recommandées particulièrement pour les matériels non conformes aux normes de produits CEM correspondantes.

NOTE 3 Un SPF conforme à la CEI 62305-3, qui utilise uniquement des parafoudres d'équipotentialité, ne fournit aucune protection efficace contre la défaillance des réseaux de puissance et de communication sensibles. Le SPF peut être amélioré en réduisant la taille des mailles et en choisissant des parafoudres appropriés, constituant ainsi un composant efficace des MPF.

#### 4.3 Zones de protection contre la foudre (ZPF)

Selon la menace due à la foudre, les ZPF suivantes sont définies (voir CEI 62305-1):

##### Zones extérieures:

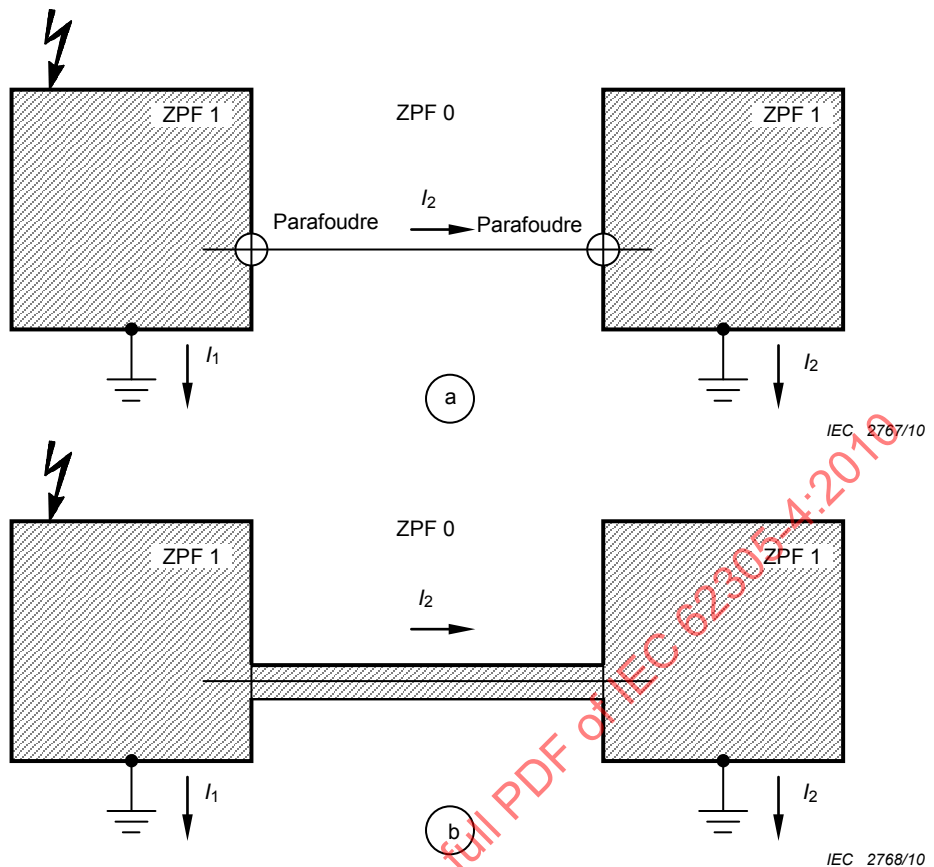
- ZPF 0 Zone mise en danger par le champ électromagnétique de foudre non amorti et où les réseaux internes peuvent être mis en danger par des chocs sous le courant plein ou partiel de la foudre. Une ZPF 0 se subdivise en:
  - ZPF 0<sub>A</sub> zone mise en danger par le coup de foudre direct et par le champ électromagnétique total de foudre. Les réseaux internes peuvent être mis en danger par des chocs sous le courant plein de la foudre.
  - ZPF 0<sub>B</sub> zone protégée contre les coups de foudre directs, mais où le champ électromagnétique total de foudre constitue la menace. Les réseaux internes peuvent être mis en danger par des chocs sous le courant partiel de la foudre.

##### Zones intérieures: (protégées contre les coups de foudre directs)

- ZPF 1 Zone où le courant de choc est limité par les interfaces de partage et d'isolement du courant et/ou par des parafoudres disposés aux frontières. Un écran spatial peut amortir le champ électromagnétique de foudre.
- ZPF 2..n Zone où le courant de choc peut être encore limité par les interfaces de partage et d'isolement du courant et/ou par des parafoudres supplémentaires disposés aux frontières. Un écran spatial additionnel peut être utilisé pour amortir davantage le champ électromagnétique de foudre.

Les ZPF sont mises en œuvre par la mise en place des MPF, par exemple, installation de parafoudres coordonnés et/ou d'un écran magnétique (voir Figure 2). En fonction du nombre, du type et de la tenue des matériels à protéger, une ZPF appropriée peut être définie. Ces zones peuvent inclure des emplacements locaux réduits (par exemple, enveloppes d'un matériel) ou de vastes zones intégrées (par exemple, l'ensemble de la structure) (voir Figure B.2).

L'interconnexion de ZPF de même niveau peut être nécessaire si deux structures séparées sont connectées par des réseaux de puissance ou de communication, ou si le nombre de parafoudres requis doit être réduit (voir Figure 3).



**NOTE** La Figure 3a montre deux ZPF 1 connectées par des réseaux de puissance ou de communication. Il convient de prendre un soin particulier si les deux ZPF 1 représentent des structures séparées avec des prises de terre différentes, distantes de plusieurs dizaines ou centaines de mètres. Dans ce cas, une grande partie du courant de foudre peut s'écouler dans les réseaux interconnectés qui ne sont pas protégés.

#### Légende

$I_1, I_2$  courants de foudre partiels

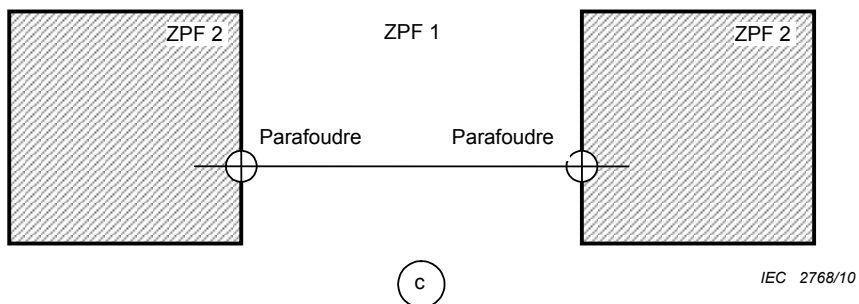
**Figure 3a – Interconnexion de deux ZPF 1 utilisant des parafoudres**

**NOTE** La Figure 3b montre que ce problème peut être résolu en utilisant des câbles ou des conduits écrantés pour interconnecter les deux ZPF 1, à condition que les écrans soient capables de conduire le courant de foudre partiel. Le parafoudre peut être omis si la chute de tension le long de l'écran n'est pas trop élevée.

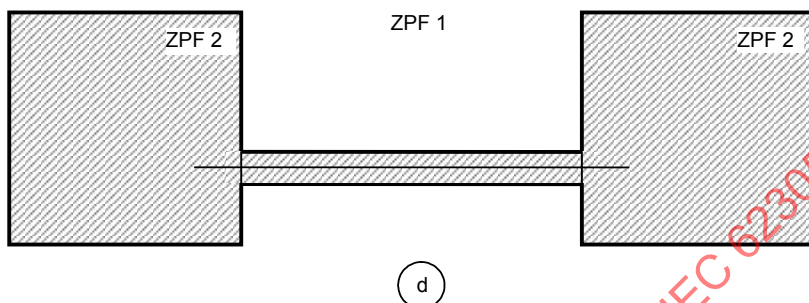
#### Légende

$I_1, I_2$  courants de foudre partiels

**Figure 3b – Interconnexion de deux ZPF 1 utilisant des câbles ou des conduits écrantés**



IEC 2768/10



IEC 2769/10

**NOTE** La Figure 3c montre deux ZPF 2 interconnectées par des réseaux de puissance ou de communication. En raison de l'exposition des réseaux au niveau de menace de ZPF 1, des parafoudres sont requis à l'entrée de chaque ZPF 2.

**Figures 3c – Interconnexion de deux ZPF 2 utilisant des parafoudres**

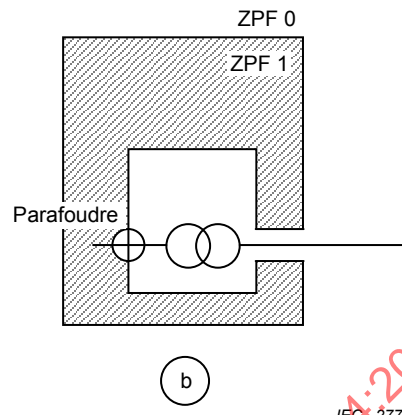
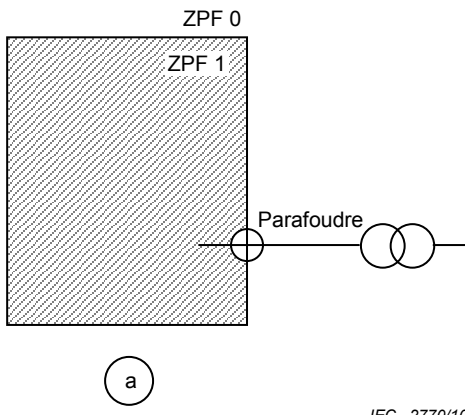
**NOTE** La Figure 3d montre que de telles perturbations peuvent être évitées et que les parafoudres peuvent être omis si les câbles ou conduits écrantés interconnectent les deux ZPF 2.

**Figure 3d – Interconnexion de deux ZPF 2 utilisant des câbles ou des conduits écrantés**

### Figure 3 – Exemples de ZPF interconnectées

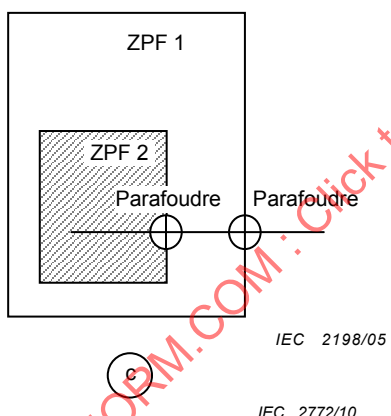
L'extension d'une ZPF en une nouvelle ZPF peut être nécessaire dans des cas particuliers ou peut encore être utilisée pour réduire le nombre de parafoudres requis (voir Figure 4).

Une évaluation détaillée de l'environnement électromagnétique d'une ZPF est décrite à l'Annexe A.



**NOTE** La Figure 4a montre une structure alimentée par un transformateur. Si le transformateur se trouve à l'extérieur de la structure, seules les lignes basse tension pénétrant dans la structure nécessitent une protection par parafoudre.

**Figure 4a – Transformateur à l'extérieur de la structure (dans la ZPF 0)**

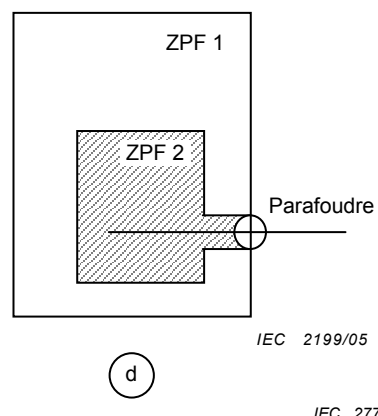


**NOTE** La Figure 4c montre une ZPF 2 alimentée par un réseau de puissance ou de communication. Ce réseau nécessite deux parafoudres coordonnés: un à la frontière des ZPF 0/1, et l'autre à la frontière des ZPF 1/2.

**Figure 4c – Deux parafoudres coordonnés – un parafoudre (entre les zones 0/1) et un parafoudre (entre les zones 1/2) sont nécessaires**

**NOTE** Si le transformateur se situe à l'intérieur de la structure et ne comporte pas de parafoudre placé du côté haute tension (dans la mesure où le propriétaire du bâtiment n'est généralement pas autorisé à prendre des mesures de protection côté haute tension), alors la Figure 4b s'applique. La Figure 4b montre que le problème peut être résolu en étendant la ZPF 0 dans la ZPF 1, ce qui ne nécessite la présence de parafoudres uniquement du côté basse tension.

**Figure 4b – Transformateur à l'intérieur de la structure (ZPF 0 étendue à ZPF 1)**



**NOTE** La Figure 4d montre que le réseau peut entrer directement dans la ZPF 2 et seul un parafoudre est requis, si la ZPF 2 est étendue à la ZPF 1 par des câbles ou conduits écrantés. Toutefois, ce parafoudre réduira la menace immédiatement au niveau de la ZPF 2.

**Figure 4d – Un seul parafoudre est nécessaire (entre les zones 0/2) (ZPF 2 étendue à ZPF 1)**

**Figure 4 – Exemples de zones de protection contre la foudre étendues**

#### 4.4 MPF fondamentales

Les mesures de protection fondamentales contre l'IEMF sont les suivantes:

- **La mise à la terre et les équipotentialités (voir Article 5)**

La mise à la terre écoule et disperse le courant de foudre à la terre.

Le réseau d'équipotentialité minimise les différences de potentiel et peut réduire le champ magnétique.

- **Les écrans magnétiques et le cheminement des lignes (voir Article 6)**

L'écran spatial atténue le champ magnétique dans la ZPF dû à des impacts directs de foudre sur ou près de la structure, et réduit les chocs internes.

L'écran des réseaux internes utilisant des câbles ou des conduits écrantés minimise les chocs induits dans l'installation.

Le cheminement des réseaux internes peut minimiser les boucles d'induction et réduire les chocs internes.

NOTE 1 L'écran spatial, l'écran et le cheminement des réseaux internes peuvent être associés ou utilisés séparément.

L'écran des réseaux externes pénétrant dans la structure réduit les chocs extérieurs transmis aux réseaux internes connectés.

- **Les parafoudres coordonnés (voir Article 7)**

Un parafoudre coordonné réduit les effets des chocs extérieurs et intérieurs.

- **Les interfaces d'isolement (voir Article 8)**

Les interfaces d'isolement limitent les effets des chocs conduits sur les services pénétrant dans la ZPF.

Il convient que la mise à la terre et les équipotentialités soient toujours assurées, particulièrement pour chaque service conducteur entrant directement ou par l'intermédiaire d'un parafoudre d'équipotentialité au point d'entrée dans la structure.

D'autres mesures de MPF peuvent être utilisées seules ou en combinaison.

Les mesures de MPF doivent résister aux contraintes de fonctionnement (par exemple, de température, d'humidité, d'atmosphère corrosive, de vibrations, de tension et de courant), susceptibles d'affecter l'emplacement de l'installation.

Le choix des MPF les plus appropriées doit être effectué en utilisant une méthode d'évaluation des risques conformément à la CEI 62305-2, en tenant compte des facteurs techniques et économiques.

Des informations pratiques sur la mise en œuvre des mesures de MPF pour les réseaux internes dans les structures existantes sont données à l'Annexe B.

NOTE 2 Une liaison équipotentielle de foudre (EB) conforme à la CEI 62305-3 protège uniquement contre les étincelles dangereuses. La protection des réseaux internes contre les chocs nécessite une protection coordonnée par parafoudres conforme à la présente norme.

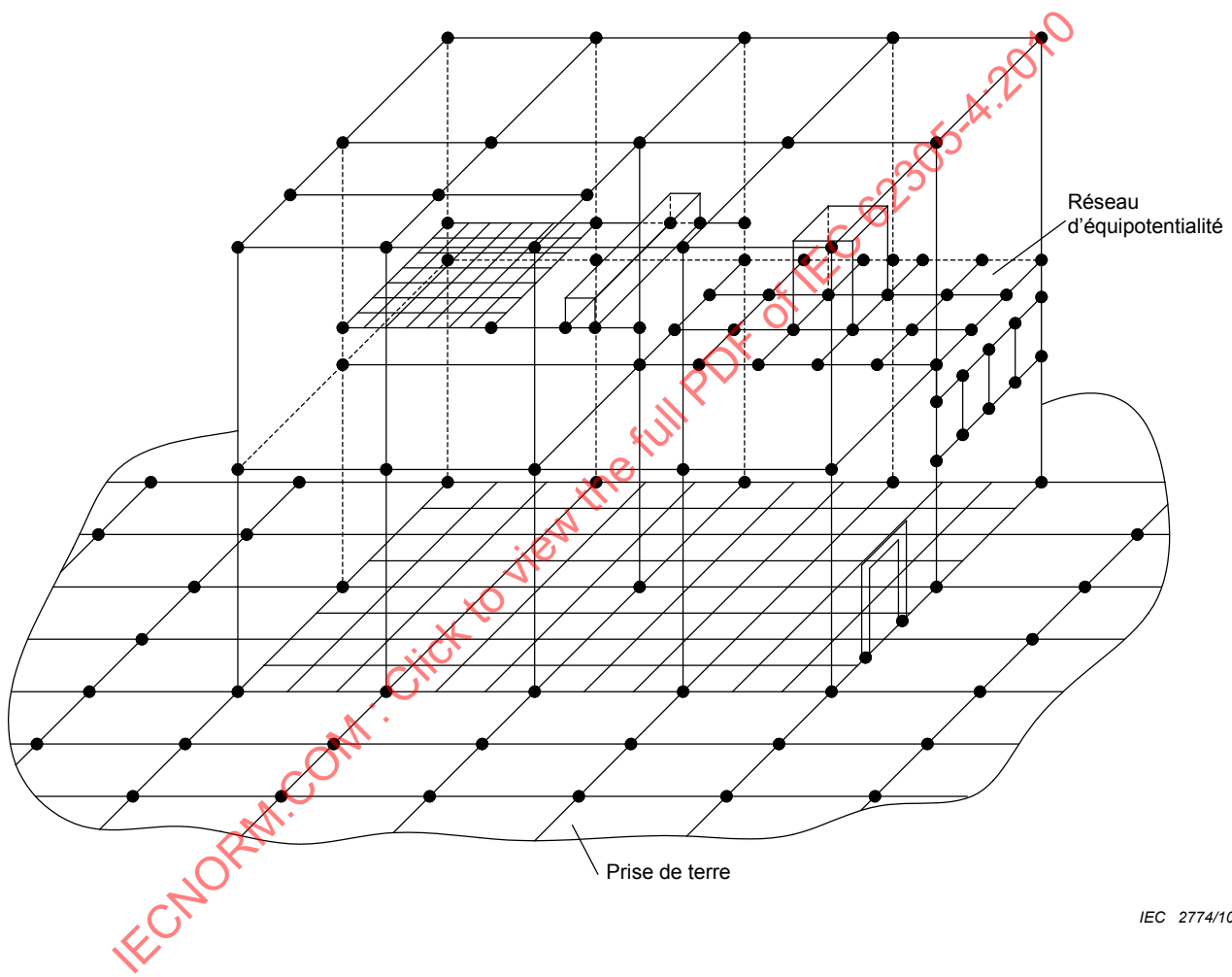
NOTE 3 D'autres informations sur la mise en œuvre de mesures de MPF figurent dans la CEI 60364-4-44.

## 5 Mise à la terre et équipotentialité

### 5.1 Généralités

Une mise à la terre et une équipotentialité appropriées se fondent sur un réseau de terre complet (voir Figure 5) associant

- le réseau de prises de terre (écoulant le courant de foudre dans le sol), et
- le réseau d'équipotentialité (minimisant les différences de potentiel et réduisant le champ magnétique).



IEC 2774/10

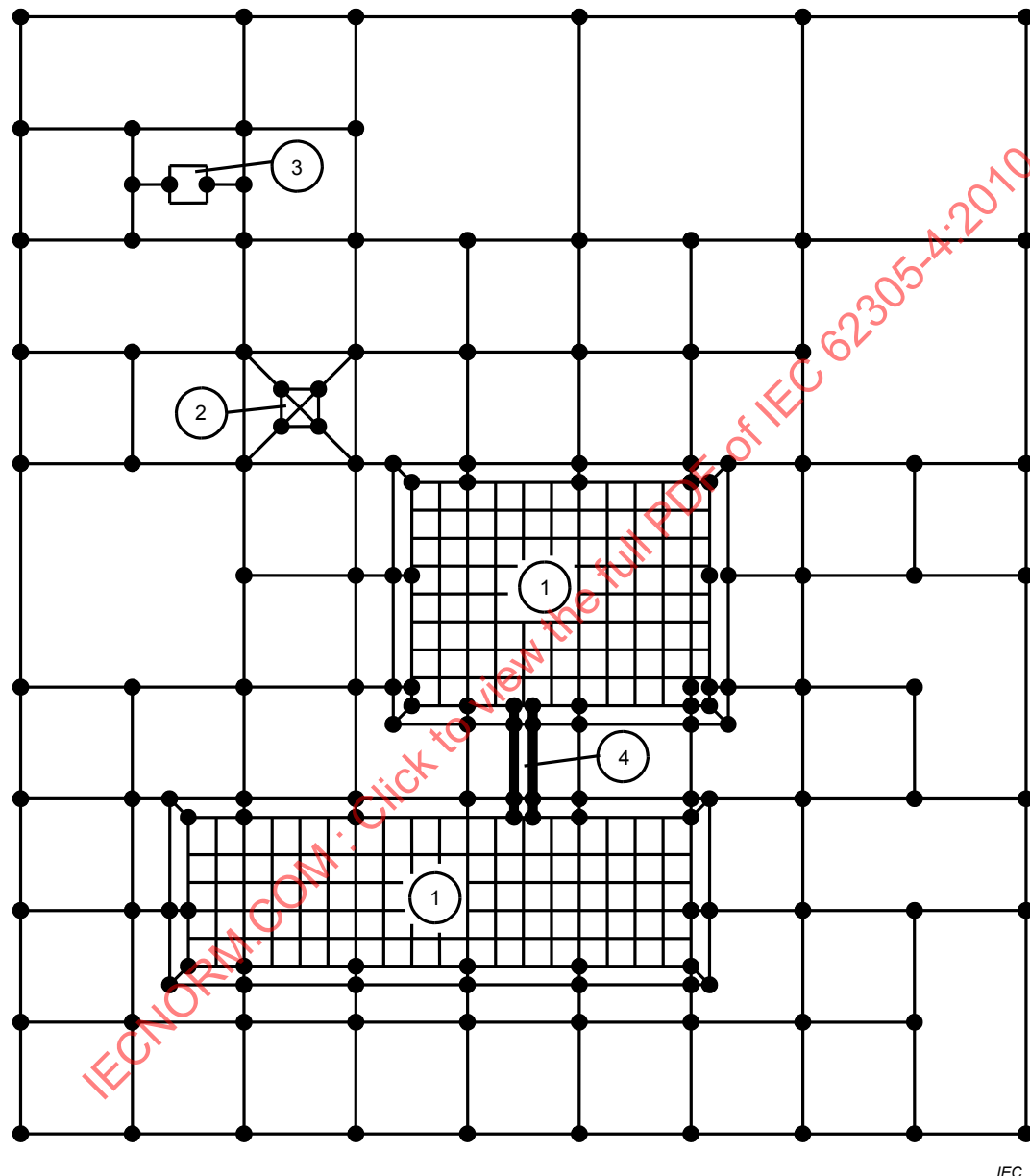
**NOTE** Tous les conducteurs de descente sont des éléments métalliques de structure reliés ou des conducteurs d'équipotentialité. Certains d'entre eux peuvent également servir à intercepter, écouter et disperser le courant de foudre à la terre.

**Figure 5 – Exemple de réseau de mise à la terre tridimensionnel constitué du réseau d'équipotentialité interconnecté avec le réseau de prises de terre**

### 5.2 Réseau de prises de terre

Le réseau de prises de terre de la structure doit être conforme à la CEI 62305-3. Dans des structures où seuls des réseaux de puissance existent, une disposition de prises de terre de type A peut être utilisée, mais une disposition de prises de terre de type B est préférable. Dans des structures intégrant des réseaux de communication, une disposition de prises de terre de type B est recommandée.

Il convient que la prise de terre en boucle autour de la structure, ou celle dans le béton à la périphérie de la base, soit intégrée à un réseau maillé dessous et autour de la structure, d'une largeur de maille typique de 5 m. Cela améliore grandement les performances du réseau de prises de terre. Les armatures du béton dans le sol formant un maillage interconnecté bien défini, connecté au réseau de prises de terre, généralement tous les 5 m, assurent les mêmes performances. Un exemple de réseau de prises de terre maillé d'une implantation est illustré à la Figure 6.



#### Légende

- 1 bâtiment avec réseau maillé des armatures
- 2 tour dans l'implantation
- 3 équipement isolé
- 4 chemin de câbles

**Figure 6 – Réseau de prises de terre maillé d'une implantation**

Pour réduire les différences de potentiel entre deux réseaux internes pouvant dans certains cas particuliers être connectés à des réseaux de prises de terre différents, les méthodes suivantes peuvent être appliquées:

- plusieurs conducteurs d'équipotentialité parallèles dans les mêmes cheminements que les câbles électriques, ou les câbles enfermés dans des conduits en béton armé en grille (ou présentant une continuité métallique) intégrés dans les deux réseaux de prises de terre;
- utilisation de câbles écrantés dont l'écran présente une section adéquate, reliés aux deux extrémités aux prises de terre distinctes.

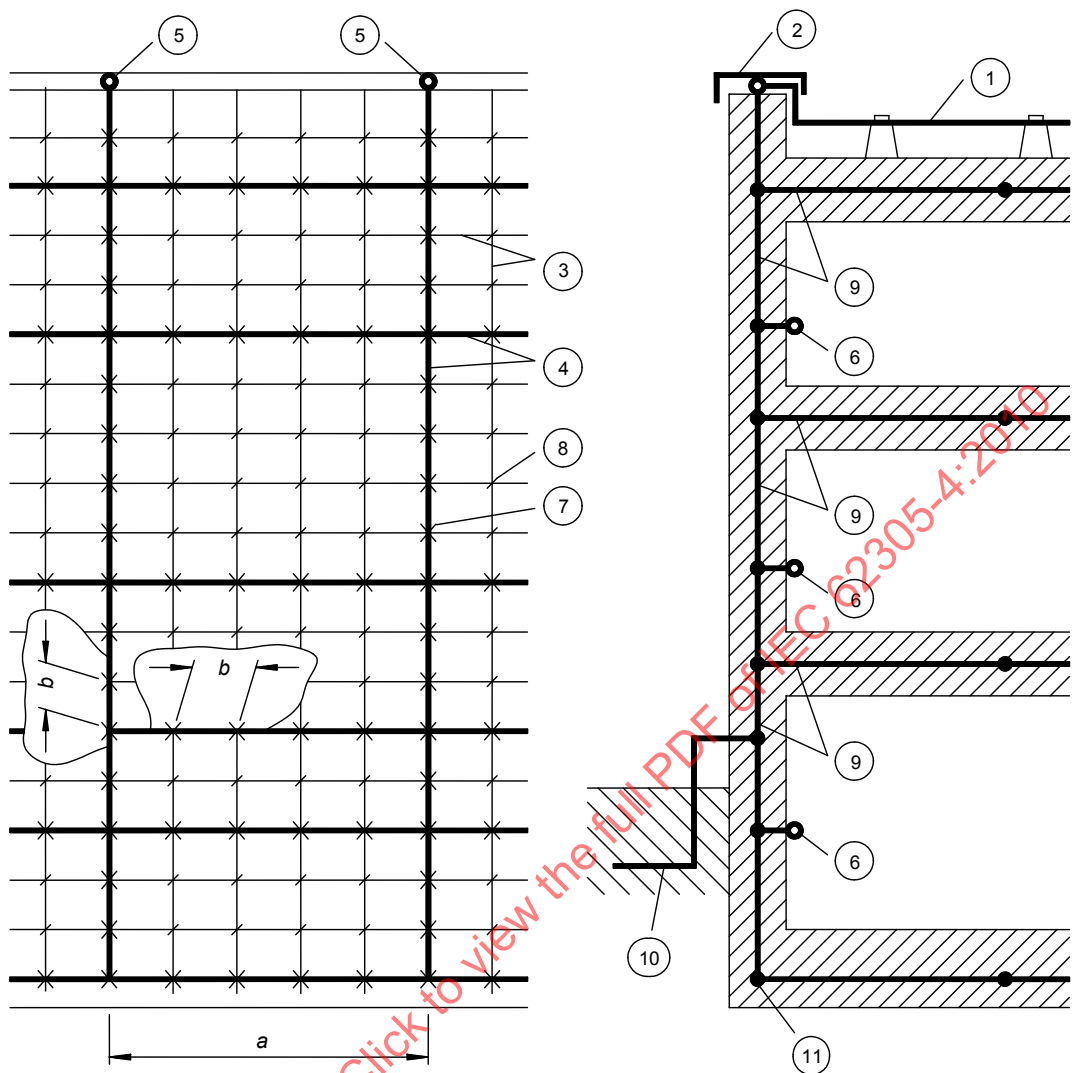
### 5.3 Réseau d'équipotentialité

Un réseau d'équipotentialité de faible impédance est nécessaire pour éviter des différences de potentiel dangereuses entre tous les matériels situés dans la ZPF intérieure. De plus, un tel réseau réduit aussi le champ magnétique (voir l'Annexe A).

Cela peut être réalisé par un réseau d'équipotentialité maillé incorporant les parties conductrices de la structure, ou celles des réseaux internes, et en mettant à la terre les parties métalliques ou les services conducteurs à la frontière de chacune des ZPF directement ou indirectement par des parafoudres appropriés.

Le réseau d'équipotentialité peut être réalisé comme une structure maillée tridimensionnelle avec une taille de maille typique de 5 m (voir Figure 5). Cela nécessite de multiples interconnexions des éléments métalliques dans et sur la structure (tels qu'armatures du béton, rails d'ascenseurs, grues, toitures métalliques, façades métalliques, cadres métalliques de fenêtres et de portes, de planchers, canalisations et chemins de câbles). Les barres d'équipotentialité (par exemple, ceinturages, plusieurs barres d'équipotentialité à différents niveaux de la structure) et les écrans magnétiques de la ZPF doivent être intégrés de la même façon.

Des exemples de réseaux d'équipotentialité sont donnés dans les Figures 7 et 8.



IEC 2776/10

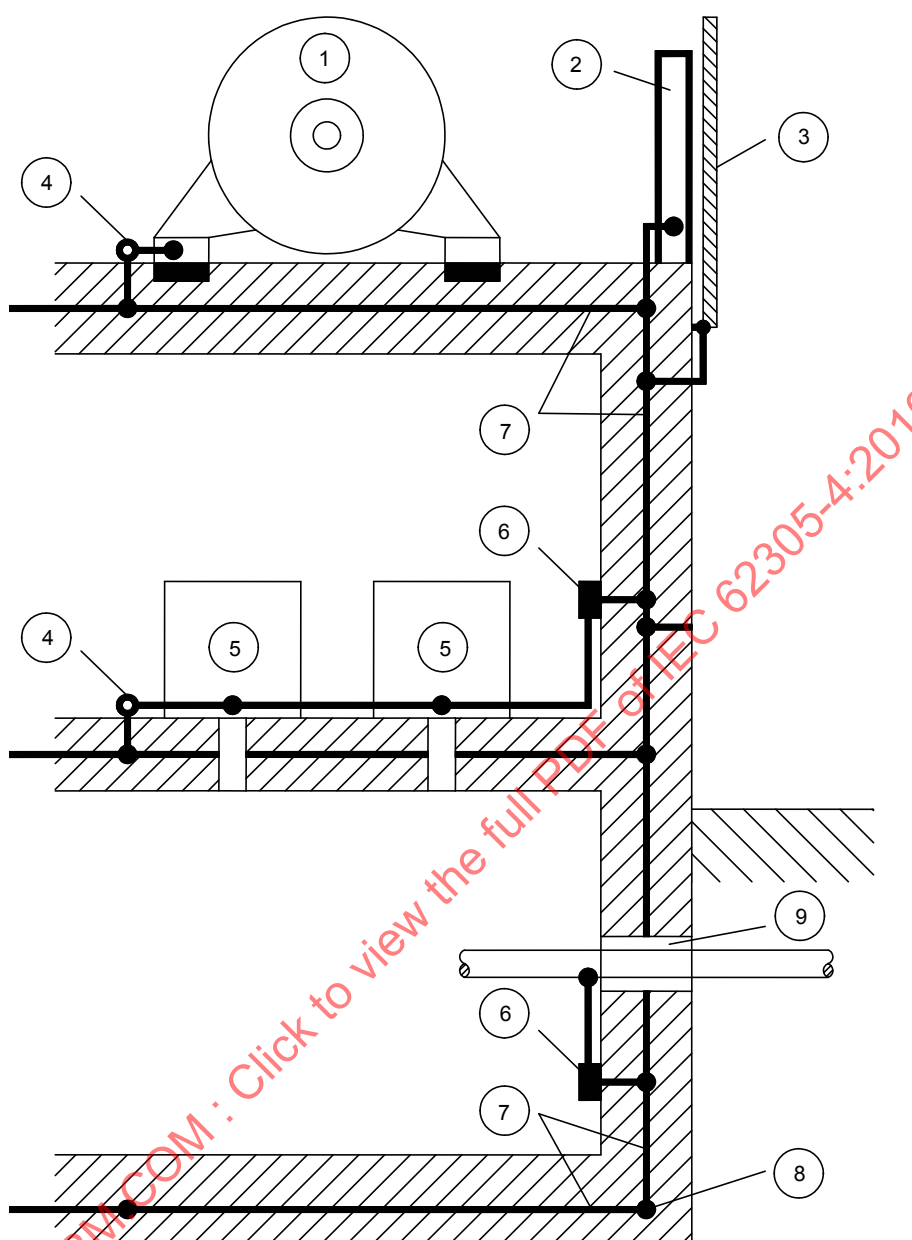
**Légende**

- 1 conducteur de capture
- 2 revêtement métallique du parapet
- 3 tiges en acier de renfort
- 4 conducteurs maillés en complément des armatures
- 5 borne du conducteur maillé
- 6 borne pour une barre d'équipotentialité interne
- 7 connexion par soudure ou par serrage
- 8 connexion arbitraire
- 9 armature en acier du béton (avec conducteurs maillés complémentaires)
- 10 prise de terre en boucle (le cas échéant)
- 11 prise de terre à fond de fouille

*IEC.COM : Click to view the full PDF*  
*IEC 62305-4:2010*

a distance typique de 5 m pour des conducteurs maillés complémentaires  
 b distance typique de 1 m pour la connexion de ce réseau maillé avec les armatures

**Figure 7 – Utilisation des tiges d'armature d'une structure pour une liaison équipotentielle**



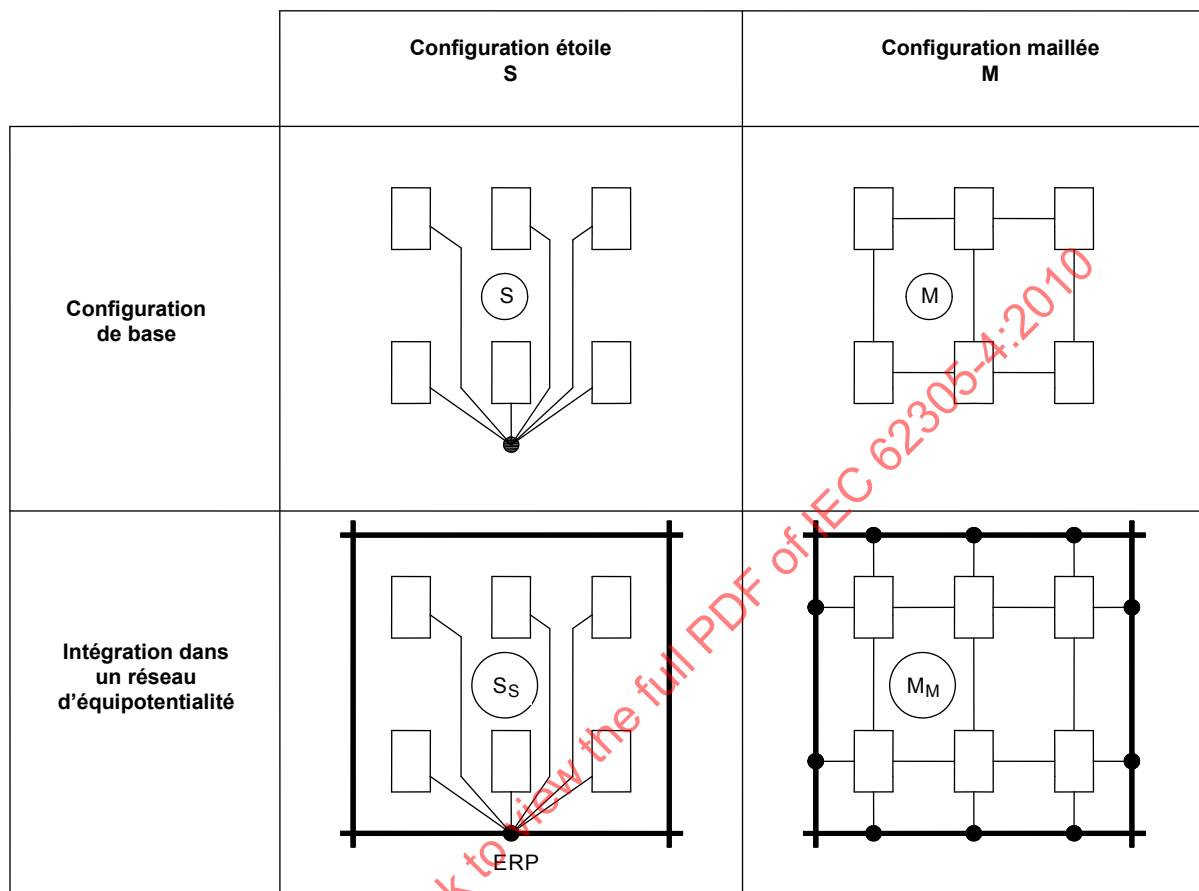
IEC 2777/10

**Légende**

- 1 matériel électrique de puissance  
 2 poutre métallique  
 3 revêtement métallique de la façade  
 4 connexion d'équipotentialité  
 5 matériel électrique ou électronique  
 6 barre d'équipotentialité  
 7 armature en acier du béton (avec conducteurs maillés complémentaires)  
 8 prise de terre à fond de fouille  
 9 point d'entrée commun de différents services

**Figure 8 – Liaison équipotentielle dans une structure avec armature en acier**

Les parties conductrices (par exemple, armoires, enveloppes, tiroirs) et le conducteur de protection des circuits (PE) des réseaux internes doivent être mis à la terre au réseau d'équipotentialité conformément aux configurations suivantes (voir Figure 9):



IEC 2778/10

#### Légende

- réseau d'équipotentialité
- conducteur d'équipotentialité
- [ ] matériel
- jonction au réseau d'équipotentialité
- ERP (earthing reference point) point de référence terre
- $S_s$  configuration étoile intégrée dans un point étoile
- $M_M$  configuration maillée intégrée dans une maille

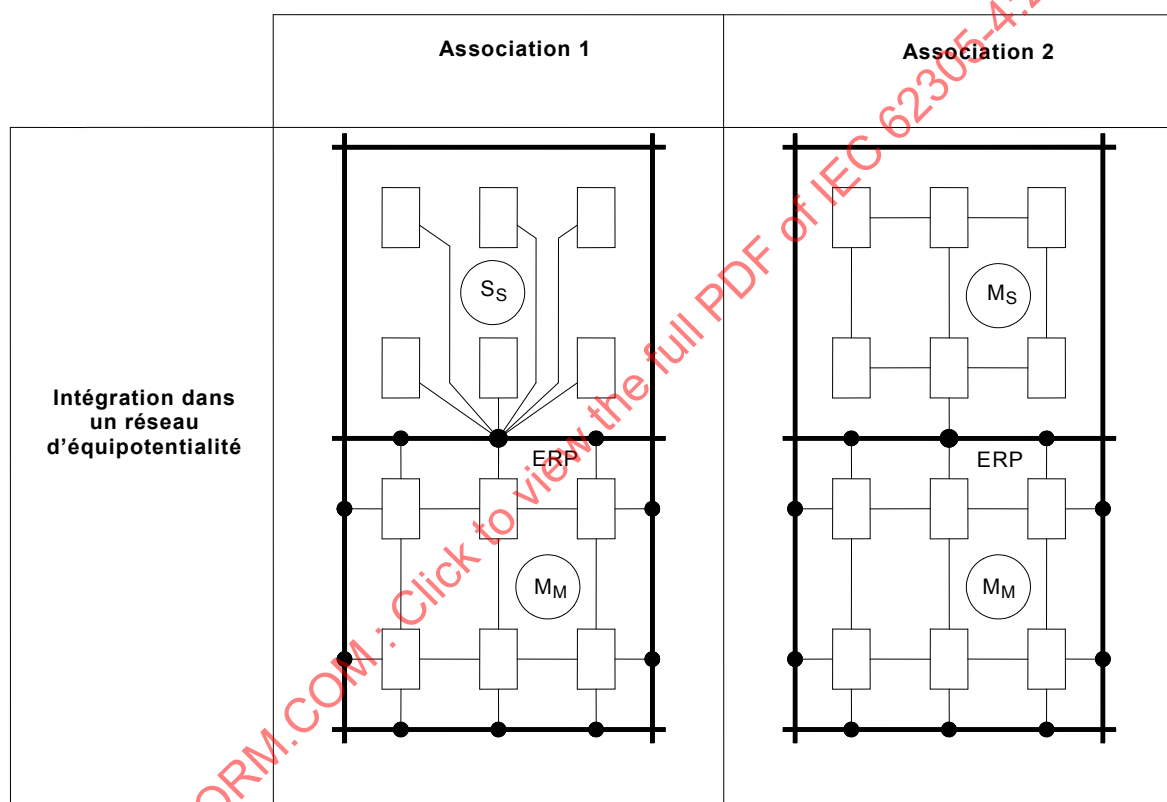
**Figure 9 – Intégration des parties conductrices des réseaux internes dans le réseau d'équipotentialité**

Si la configuration étoile S est utilisée, tous les éléments métalliques (par exemple, armoires, enveloppes, tiroirs) des réseaux internes doivent être isolés par rapport au réseau de mise à la terre. La configuration étoile S ne doit être intégrée que dans le réseau de mise à la terre utilisant une seule barre d'équipotentialité agissant comme le point de référence terre (ERP), résultant en un type  $S_s$ . Dans ce cas, tous les câbles d'alimentation entre chaque matériel doivent cheminer parallèlement, et à proximité, des conducteurs d'équipotentialité suivant la

configuration étoile, afin d'éviter des boucles d'induction. La configuration étoile S peut être utilisée lorsque les réseaux internes sont situés dans des zones relativement petites et lorsque toutes les lignes pénètrent dans la zone en un seul point.

Si la configuration maillée M est utilisée, les éléments métalliques (par exemple, armoires, enveloppes, tiroirs) des réseaux internes ne doivent pas être isolés du réseau de mise à la terre, mais doivent être intégrés dans une mise à la terre en une multitude de points, résultant en un type  $M_M$ . La configuration M est préférée pour des réseaux internes étendus à des zones relativement larges ou pour l'ensemble d'une structure, avec de nombreuses interconnexions entre matériels et lorsque les lignes pénètrent dans la structure en plusieurs points.

Dans des systèmes complexes, les avantages des deux configurations (M et S) peuvent être associés comme illustré à la Figure 10, entraînant l'association 1 ( $S_s$  associée à  $M_M$ ) ou l'association 2 ( $M_s$  associée à  $M_M$ ).



IEC 2779/10

#### Légende

- réseau d'équipotentialité
- conducteur d'équipotentialité
- [ ] matériel
- jonction au réseau d'équipotentialité
- ERP (earthing reference point) point de référence terre
- $S_s$  configuration étoile intégrée dans un point étoile
- $M_M$  configuration maillée intégrée dans une maille
- $M_s$  configuration maillée intégrée par un point étoile

**Figure 10 – Associations de méthodes d'incorporation des parties conductrices des réseaux internes dans le réseau d'équipotentialité**

#### 5.4 Barres d'équipotentialité

Les barres d'équipotentialité doivent être installées pour la liaison équipotentielle

- de tous les services conducteurs entrant dans une ZPF (directement ou par parafoudres appropriés),
- du conducteur de terre de protection PE,
- des éléments métalliques des réseaux internes (par exemple, armoires, enveloppes, tiroirs),
- des écrans magnétiques de la ZPF à la périphérie et à l'intérieur de la structure.

Pour l'efficacité de l'équipotentialité, les règles d'installation suivantes sont importantes:

- un réseau d'équipotentialité à faible impédance constitue la base de toutes les mesures d'équipotentialité,
- il convient de connecter les barres d'équipotentialité à la prise de terre par le chemin le plus court,
- les matériaux et dimensions des barres et des conducteurs d'équipotentialité doivent satisfaire à 5.6,
- il convient de placer les parafoudres de manière à utiliser les connexions les plus courtes possible avec la barre d'équipotentialité, ainsi qu'avec les conducteurs sous tension, réduisant ainsi au minimum les chutes de tension inductive,
- il convient, du côté protégé du circuit (en aval d'un parafoudre), de minimiser les effets d'induction mutuelle, soit en réduisant les boucles d'induction, soit en utilisant des câbles ou des conduits écrantés.

#### 5.5 Equipotentialité à la frontière d'une ZPF

Lorsqu'une ZPF est définie, une équipotentialité doit être prévue pour toutes les parties métalliques et tous les services (par exemple, canalisations métalliques, réseaux de puissance ou de communication) pénétrant la frontière de la ZPF.

NOTE Il convient que la liaison équipotentielle des services entrant dans la ZPF 1 soit négociée avec les opérateurs des réseaux concernés (par exemple, de puissance ou de télécommunication), afin d'éviter des exigences conflictuelles.

L'équipotentialité doit être effectuée à l'aide de barres de même nature, disposées aussi près que possible du point de pénétration à la frontière.

Dans toute la mesure du possible, il convient que les services entrants pénètrent dans la ZPF au même point et soient connectés à la même barre d'équipotentialité. Si les services pénètrent en plusieurs points d'une ZPF, chaque service doit être connecté à une barre d'équipotentialité et les diverses barres doivent être interconnectées. A cette fin, un ceinturage d'équipotentialité (conducteur de ceinturage) est recommandé.

Les parafoudres d'équipotentialité sont toujours exigés au point d'entrée dans la ZPF afin de connecter les lignes entrantes, reliées aux réseaux internes dans la ZPF, à la barre d'équipotentialité. Le nombre de parafoudres requis peut être réduit en utilisant une ZPF interconnectée ou étendue.

Les câbles écrantés ou les conduits métalliques interconnectés, mis à la terre à chaque frontière de la ZPF, peuvent être utilisés pour l'interconnexion de plusieurs ZPF proches de même niveau, ou pour étendre une ZPF à la frontière suivante.

## 5.6 Matériaux et dimensions des éléments d'équipotentialité

Les matériaux, les dimensions et les conditions d'utilisation doivent être conformes à la CEI 62305-3. La section minimale des éléments d'équipotentialité doit être conforme aux valeurs du Tableau 1 ci-dessous.

Les fixations doivent être dimensionnées conformément aux valeurs du courant de foudre du niveau de protection contre la foudre (voir la CEI 62305-1) et à l'analyse du partage du courant (voir la CEI 62305-3).

Les parafoudres doivent être dimensionnés conformément à l'Article 7.

**Tableau 1 – Sections minimales des éléments d'équipotentialité**

Elément d'équipotentialité	Matériaux <sup>a</sup>	Section <sup>b</sup> mm <sup>2</sup>
Barres d'équipotentialité (cuivre, acier à revêtement en cuivre ou acier galvanisé)	Cu, Fe	50
Conducteurs de connexion entre les barres d'équipotentialité et la prise de terre ou entre les autres barres d'équipotentialité (transportant la totalité ou une partie significative du courant de foudre)	Cu Al Fe	16 25 50
Conducteurs de connexion entre les installations internes métalliques et les barres d'équipotentialité (transportant un courant de foudre partiel)	Cu Al Fe	6 10 16
Conducteurs de mise à la terre avec le parafoudre (transportant la totalité ou une partie significative du courant de foudre) <sup>c</sup>	Classe I Classe II Classe III Autres parafoudres <sup>d</sup>	Cu 16 6 1 1

<sup>a</sup> Il convient que les autres matériaux utilisés présentent des sections assurant une résistance équivalente.

<sup>b</sup> Dans certains pays, il est possible d'utiliser des conducteurs de plus petites dimensions, à condition qu'ils satisfassent aux exigences thermiques et mécaniques - voir la CEI 62305-1:2010, Annexe D.

<sup>c</sup> Pour les parafoudres utilisés dans des applications de puissance, des informations complémentaires relatives aux conducteurs de connexion sont données dans la CEI 60364-5-53 et dans la CEI 61643-12.

<sup>d</sup> Les autres parafoudres incluent les parafoudres utilisés dans les réseaux de télécommunication et de signalisation

## 6 Ecrans magnétiques et cheminement

### 6.1 Généralités

Les écrans magnétiques peuvent réduire le champ électromagnétique, ainsi que l'ampleur des chocs internes induits. Un cheminement approprié des lignes internes peut aussi minimiser l'ampleur des chocs internes induits. Les deux mesures sont efficaces pour la réduction des défaillances permanentes des réseaux internes.

### 6.2 Ecran spatial

Les écrans spatiaux définissent des zones protégées, qui peuvent couvrir l'ensemble de la structure, une de ses parties, un local seul ou l'enveloppe de matériel seule. Il peut s'agir d'écrans métalliques en grille ou continu, ou de l'utilisation de « composants naturels » de la structure elle-même (voir la CEI 62305-3).

Des écrans spatiaux sont envisageables dans les cas où il est plus pratique et utile de protéger une zone définie de la structure et non plusieurs matériels. Il convient de prévoir des écrans spatiaux dès l'étude préliminaire d'une structure neuve ou d'un nouveau réseau

interne. L'amélioration d'installations existantes peut entraîner des coûts plus élevés et des difficultés techniques plus importantes.

### 6.3 Ecran des lignes internes

L'écran peut être limité au câblage et aux matériels du réseau à protéger: écran métallique des câbles, conduits métalliques fermés et enveloppes métalliques des matériels sont utilisés à cette fin.

### 6.4 Cheminement des lignes internes

Un cheminement approprié des lignes internes minimise les boucles d'induction et réduit la génération de surtensions internes dans la structure. La surface de boucle peut être minimisée par un cheminement des câbles adjacent aux composants naturels de la structure mis à la terre et/ou par un cheminement adjacent des réseaux de puissance et de communication.

NOTE Une certaine distance de séparation entre réseaux de puissance et réseaux de communication non écrantés peut toujours être nécessaire pour éviter des perturbations.

### 6.5 Ecran des lignes externes

L'écran des lignes externes pénétrant dans la structure comprend l'écran des câbles, les conduits métalliques fermés ou en béton armé avec armatures interconnectées. L'écran des lignes externes est utile, mais souvent en dehors de la responsabilité du concepteur des MPF (car le propriétaire des lignes externes est généralement le fournisseur de réseau).

### 6.6 Matériaux et dimensions des écrans magnétiques

A la frontière des zones ZPF 0<sub>A</sub> et ZPF 1, les matériaux et les dimensions des écrans magnétiques (par exemple, écrans spatiaux en grille, écrans de câbles ou enveloppes de matériel) doivent satisfaire aux exigences de la CEI 62305-3 relatives aux conducteurs de capture et/ou de descente. En particulier:

- l'épaisseur minimale des feuilles métalliques, des conduits, des canalisations et des écrans des câbles doit satisfaire aux valeurs du Tableau 3 de la CEI 62305-3:2010;
- la configuration des écrans spatiaux en grille et la section minimale de leurs conducteurs, doivent satisfaire aux valeurs du Tableau 6 de la CEI 62305-3:2010.

Il n'est pas nécessaire que les dimensions des écrans magnétiques non destinés à conduire les courants de foudre soient conformes aux valeurs des Tableaux 3 et 6 de la CEI 62305-3:2010:

- à la frontière des ZPF 1/2 ou au-dessus, à condition que la distance de séparation,  $s$ , entre les écrans magnétiques et le SPF soit respectée (voir 6.3 de la CEI 62305-3:2010),
- à la frontière de toute ZPF, si le nombre d'événements dangereux  $N_D$  dus aux impacts de foudre sur la structure est négligeable, c'est-à-dire  $N_D < 0,01$  par an.

## 7 Parafoudres coordonnés

La protection des réseaux internes contre les chocs nécessite une approche systématique consistant en l'utilisation de parafoudres coordonnés à la fois pour les réseaux de puissance et de communication. Les principes de choix et de mise en œuvre des parafoudres coordonnés sont similaires pour les réseaux de puissance et de communication (voir l'Annexe C).

Dans des MPF utilisant le concept de zones de protection contre la foudre avec plus d'une zone intérieure (ZPF 1, ZPF 2 et plus), le(s) parafoudre(s) doi(ven)t être placé(s) au point d'entrée des lignes dans chaque ZPF (voir Figure 2).

Dans des MPF utilisant seulement une ZPF 1, un parafoudre doit être placé au moins au point d'entrée de la ligne dans la ZPF 1.

Dans les deux cas, des parafoudres complémentaires peuvent être exigés si la distance entre l'emplacement du parafoudre et le matériel protégé est trop longue (voir l'Annexe C).

Les exigences d'essai des parafoudres doivent être conformes à

- la CEI 61643-1 pour les réseaux de puissance,
- la CEI 61643-21 pour les réseaux de signaux et de télécommunication.

L'Annexe C donne des informations sur le choix et la mise en œuvre des parafoudres coordonnés. Le choix et la mise en œuvre des parafoudres coordonnés doivent satisfaire à

- la CEI 61643-12 et la CEI 60364-5-53 pour la protection des réseaux de puissance,
- la CEI 61643-22 pour la protection des réseaux de signaux et de télécommunication.

Des informations et des lignes directrices sur l'ampleur des chocs dus à la foudre pour le dimensionnement des parafoudres en divers points de l'installation dans la structure, sont données à l'Annexe D de la présente norme et à l'Annexe E de la CEI 62305-1:2010.

## 8 Interfaces d'isolement

Les interfaces d'isolement peuvent être utilisées pour réduire les effets de l'IEMF. La protection de ce type d'interfaces contre des surtensions peut, si nécessaire, être réalisée en utilisant des parafoudres. Le niveau de tenue de l'interface d'isolement et le niveau de protection  $U_P$  contre les surtensions du parafoudre doivent être coordonnés avec les catégories de surtension de la CEI 60664-1.

NOTE Le domaine d'application de la présente partie de la CEI 62305 traite de la protection du matériel dans la structure et non de la protection des structures interconnectées auxquelles le transformateur d'isolement peut apporter certains avantages.

## 9 Gestion d'une MPF

### 9.1 Généralités

Afin d'obtenir un système de protection efficace et rentable, il convient que la conception soit réalisée pendant la conception et avant la construction du bâtiment. Ainsi, il est possible d'optimiser l'utilisation des composants naturels de la structure et de choisir le meilleur compromis pour l'emplacement des circuits et des matériels.

Pour l'amélioration de structures existantes, le coût de la MPF est généralement plus élevé que pour des structures neuves. Toutefois, il est possible de minimiser le coût par un choix approprié des ZPF et en utilisant les installations existantes ou en les améliorant.

Une protection appropriée ne peut être réalisée que si

- des dispositions sont définies par un expert en protection contre la foudre,
- une excellente coordination existe entre les différents experts impliqués dans la construction du bâtiment et la MPF (par exemple, ingénieurs civils et électriciens),
- le plan de gestion présenté en 9.2 est suivi.

Les MPF doivent être maintenues par inspection et par entretien. Après réalisation de modifications importantes de la structure ou des moyens de protection, il convient d'effectuer une nouvelle évaluation des risques.

## 9.2 Plan de gestion d'une MPF

La planification et la coordination des MPF requièrent un plan de gestion (voir Tableau 2), qui commence par une évaluation initiale des risques (CEI 62305-2) pour déterminer les mesures de protection nécessaires pour réduire le risque à un niveau tolérable. Pour cela, les zones de protection contre la foudre doivent être définies.

Conformément aux niveaux de protection contre la foudre définis dans la CEI 62305-1, et les mesures de protection à adopter, les étapes suivantes doivent être réalisées:

- un réseau de mise à la terre, comprenant un réseau d'équipotentialité et un réseau de prises de terre, doit être prévu;
- les parties métalliques externes et les services entrants doivent être mis à la terre soit directement, soit par des parafoudres appropriés;
- le réseau interne doit être intégré au réseau d'équipotentialité;
- l'écran spatial associé au cheminement et au blindage peut être mis en place;
- les exigences concernant les parafoudres coordonnés doivent être déterminées;
- le caractère approprié des interfaces d'isolement doit être déterminé;
- pour les structures existantes, des mesures particulières peuvent être nécessaires (voir l'Annexe B).

Après cela, il convient que le rapport coût/bénéfice pour les mesures de protection choisies soit réévalué et optimisé en utilisant à nouveau la méthode d'évaluation des risques.

**Tableau 2 – Plan de gestion des MPF pour des bâtiments neufs et pour des modifications importantes dans la construction ou l'utilisation de bâtiments**

Etape	But	Action à effectuer par
Analyse préliminaire du risque <sup>a</sup>	Vérification de la nécessité de protection contre l'IEMF  Si nécessaire, choix des mesures de MPF appropriées par la méthode d'évaluation des risques  Vérification de la réduction du risque après réalisation de chaque mesure de protection successive	Expert en protection contre la foudre <sup>b</sup>  Propriétaire
Analyse finale du risque <sup>a</sup>	Il convient que le rapport coût/bénéfice pour les mesures de protection choisies soit optimisé en utilisant de nouveau la méthode d'évaluation des risques  Comme résultat, sont définis:  - le niveau de protection contre la foudre et les paramètres de foudre - les ZPF et leurs frontières	Expert en protection contre la foudre <sup>b</sup>  Propriétaire
Planification d'une MPF	Définition d'une MPF:  - mesures d'écran spatial - réseaux d'équipotentialité - réseaux de prises de terre - écrans des lignes et cheminement - écran des services entrants - protection coordonnée par parafoudres - interface d'isolation	Expert en protection contre la foudre  Propriétaire  Architecte  Concepteurs des réseaux internes  Concepteurs des installations considérées
Conception d'une MPF	Schémas généraux et descriptions  Préparation des listes de pièces  Schémas détaillés et projets d'installation	Bureau d'études ou équivalent
Installation de la MPF y compris le contrôle	Qualité de l'installation  Documentation  Révision éventuelle des schémas détaillés	Expert en protection contre la foudre  Installateur de la MPF  Bureau d'études  Contrôleur
Approbation de la MPF	Vérification et documentation de l'état du réseau	Expert en protection contre la foudre indépendant  Contrôleur
Inspections périodiques	Vérification de la conformité de la MPF	Expert en protection contre la foudre  Contrôleur

<sup>a</sup> Voir la CEI 62305-2.

<sup>b</sup> Ayant une vaste connaissance de la CEM et des règles d'installation.

## 9.3 Inspection d'une MPF

### 9.3.1 Généralités

L'inspection comprend la vérification de la documentation technique, les vérifications visuelles et les mesures d'essai. L'objectif d'une inspection consiste à vérifier que

- la MPF est conforme à sa conception,

- la MPF est apte à remplir sa fonction prévue,
- toute nouvelle mesure de protection supplémentaire est intégrée de manière correcte dans la MPF.

Les inspections doivent être effectuées

- lors de l'installation de la MPF,
- après l'installation de la MPF,
- périodiquement,
- après toute modification de composants relatifs à la MPF,
- si possible après un coup de foudre sur la structure (identifié par exemple par un compteur de foudre ou par un témoin, ou encore si un dommage lié à la foudre est constaté visuellement sur la structure).

La fréquence des inspections périodiques doit être fixée selon les considérations suivantes:

- l'environnement local, tel que des sols corrosifs ou une atmosphère corrosive;
- le type de mesures de protection utilisées.

NOTE En l'absence d'exigences spécifiques identifiées par la juridiction compétente, il est recommandé d'utiliser les valeurs données dans le Tableau E.2 de la CEI 62305-3:2010.

### **9.3.2 Procédure d'inspection**

#### **9.3.2.1 Vérification de la documentation technique**

Après l'installation d'une nouvelle mesure MPF, la documentation technique doit être vérifiée pour contrôler sa conformité avec les normes appropriées, et constater l'achèvement du système. Par suite, la documentation technique doit être mise à jour d'une façon régulière, par exemple, après toute détérioration ou extension de la MPF.

#### **9.3.2.2 Inspection visuelle**

Une inspection visuelle doit être réalisée pour vérifier que

- les connexions sont serrées et qu'aucune rupture accidentelle de conducteur ou de jonction n'existe,
- aucune partie du système n'est fragilisée par la corrosion, particulièrement au niveau du sol,
- les conducteurs d'équipotentialité et les écrans de câbles sont intacts et interconnectés;
- il n'existe pas d'ajouts ou de modifications nécessitant des mesures de protection complémentaires,
- il n'y a aucune indication de dommage occasionné sur les parafoudres, et leurs fusibles ou leurs sectionneurs,
- des cheminements de câbles appropriés sont maintenus,
- les distances de sécurité par rapport aux écrans spatiaux sont maintenues.

#### **9.3.2.3 Mesures**

Pour les parties d'un réseau de mise à la terre et d'équipotentialité non visibles lors de l'inspection, il convient d'effectuer une mesure de continuité électrique.

NOTE Si un parafoudre ne comporte aucun indicateur visuel (drapeau), des mesures doivent être effectuées conformément aux instructions du fabricant visant à confirmer son état de fonctionnement, si cela est exigé.

### **9.3.3 Documentation pour l'inspection**

Il convient de préparer un guide d'inspection pour en faciliter le processus. Il convient que le guide contienne suffisamment d'informations pour aider l'inspecteur dans sa tâche, de manière qu'il puisse documenter tous les aspects de l'installation et des composants, les méthodes d'essai et les données d'essai enregistrées.

L'inspecteur doit préparer un rapport qui doit être annexé à la documentation technique et aux précédents rapports d'inspection. Le rapport d'inspection doit comporter les informations relatives

- à l'état général de la MPF,
- à tout(s) écart(s) par rapport à la documentation technique,
- au résultat des mesures éventuelles effectuées.

### **9.4 Maintenance**

Après l'inspection, tous les défauts relevés doivent être rectifiés sans délai. Si nécessaire, la documentation technique doit être mise à jour.

IECNORM.COM : Click to view the full PDF of IEC 62305-4:2010

## Annexe A (informative)

### Eléments essentiels pour l'évaluation de l'environnement électromagnétique dans une ZPF

#### A.1 Généralités

L'Annexe A fournit des informations pour l'évaluation de l'environnement électromagnétique dans une ZPF qui peuvent être utilisées, à la fois pour la protection contre l'IEMF, et pour la protection contre les perturbations électromagnétiques.

#### A.2 Dégradation par la foudre des réseaux de puissance et de communication

##### A.2.1 Source de dégradation

La source primaire de dégradation est le courant de foudre et son champ magnétique associé, ce dernier ayant la même forme d'onde que le courant de foudre.

NOTE Pour la protection, l'influence du champ électrique de foudre est habituellement mineure.

##### A.2.2 Victimes des dégradations

Les victimes des dégradations sont les réseaux internes dans et sur la structure, qui présentent une immunité limitée contre les chocs et les champs magnétiques et qui peuvent être soumis aux effets de la foudre et à leurs champs magnétiques associés.

Les réseaux à l'extérieur de la structure peuvent être mis en danger par le champ magnétique non amorti et, éventuellement par les coups de foudre directs s'ils sont mis en œuvre dans des emplacements exposés.

Les réseaux installés dans la structure peuvent être mis en danger par le champ magnétique restant amorti, par les chocs internes conduits ou induits et par les chocs externes conduits par les lignes entrantes.

Pour les informations relatives aux niveaux de tenue de l'installation, les normes suivantes s'appliquent:

- le niveau de tension assignée de choc de l'installation de puissance est défini dans le Tableau F.1 de la CEI 60664-1:2007. Le niveau de tenue est défini par la tension de tenue assignée de choc 1,5 kV – 2,5 kV – 4 kV et 6 kV pour les réseaux 230/400 V et 277/480 V;
- le niveau de tenue des matériels de communication est défini dans les UIT-T K.20<sup>[3]</sup>, K.21<sup>[4]</sup> et K.45<sup>[5]</sup>.

Le niveau de tenue des matériels est généralement défini dans les spécifications des produits d'accompagnement ou peut être soumis à essai

- contre les chocs conduits en appliquant la CEI 61000-4-5, avec des niveaux d'essai en tension: 0,5 kV – 1 kV – 2 kV – 4 kV avec une forme d'onde de 1,2/50 µs et avec des niveaux d'essai en courant: 0,25 kV - 0,5 kV – 1 kV – 2 kA avec une forme d'onde de 8/20 µs,

NOTE Pour que certains matériels satisfassent aux exigences de la norme ci-dessus, ils peuvent comporter des parafoudres intégrés. Les caractéristiques de ces parafoudres internes peuvent affecter les exigences de coordination.

- contre les champs magnétiques en appliquant la CEI 61000-4-9 avec les niveaux d'essai suivants: 100 A/m – 300 A/m – 1 000 A/m avec une forme d'onde de 8/20  $\mu$ s et en appliquant la CEI 61000-4-10 avec les niveaux d'essai suivants: 10 A/m – 30 A/m – 100 A/m à 1 MHz.

Les matériaux non conformes aux essais d'émissions rayonnées à radio fréquence (RF) et aux essais d'immunité tels que définis dans les normes de produits CEM appropriées, peuvent être exposés à un risque dû aux champs magnétiques rayonnés. D'autre part, la défaillance d'un matériel conforme à ces normes peut être négligée.

### A.2.3 Mécanismes de couplage entre victime et source de dégradation

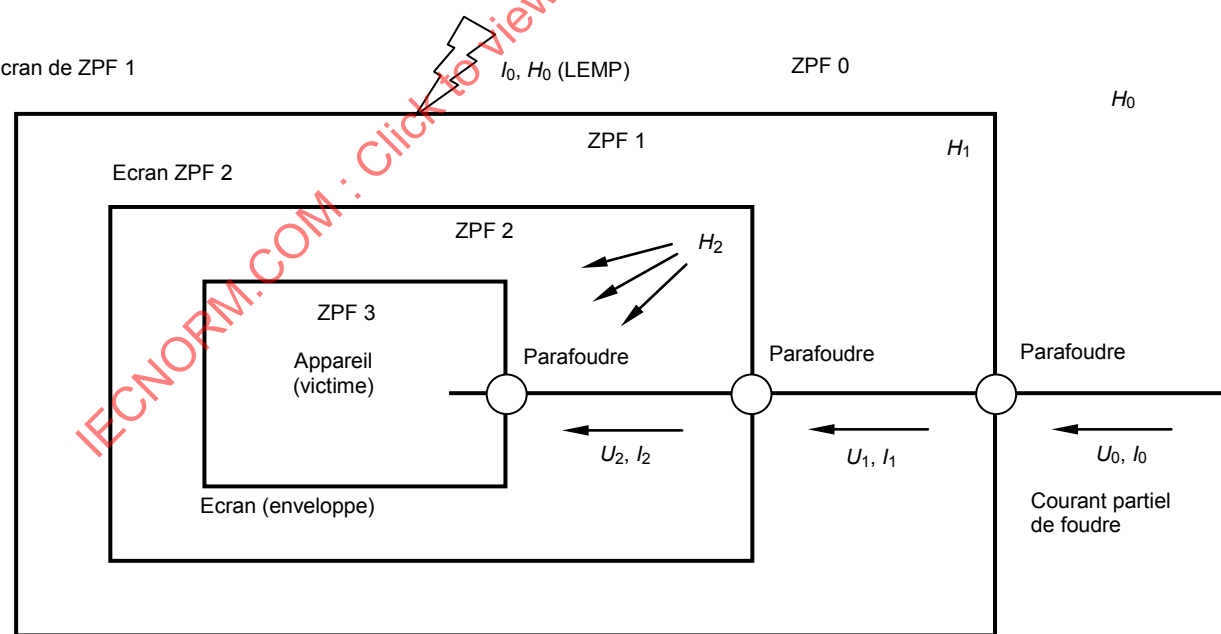
Le niveau de tenue du matériel doit être compatible avec la source de dégradation. Pour cela, les mécanismes de couplage doivent être contrôlés de manière appropriée, par l'amélioration des zones de protection contre la foudre (ZPF).

## A.3 Ecran spatial, cheminement et blindage des lignes

### A.3.1 Généralités

Le champ magnétique occasionné à l'intérieur d'une ZPF par des coups de foudre directs ou proches de la structure ne peut être réduit que par un écran spatial des ZPF. Les chocs induits dans les réseaux de communication peuvent être minimisés soit par écran spatial, soit par cheminement et blindage ou par association des deux méthodes.

La Figure A.1 constitue un exemple d'IEMF en cas d'impact de foudre sur la structure et montre les zones de protection contre la foudre ZPF 0, ZPF 1 et ZPF 2. Le réseau de communication à protéger est situé dans la ZPF 2.



IEC 2780/10

**Figure A.1 – Situation de l'IEMF due à un impact de foudre**

Les points 1, 2 et 3 du Tableau A.1 définissent les paramètres  $I_0$ ,  $H_0$  et  $U_W$  de la Figure A.1; les paramètres d'essai appropriés, visant à s'assurer que les matériaux sont capables de

résister à la contrainte prévue à leur emplacement d'installation, sont donnés aux points 4 et 5.

**Tableau A.1 – Paramètres relatifs à la source de dégradation et aux matériaux**

Source primaire de dégradation – IEMF										
Définie à partir des paramètres des niveaux de protection de I à IV:										
1.	CEI 62305-1		Choc μs	Amplitude pour NPL I – II – III - IV kA	Raidleur pour LPL I – II – III - IV kA/μs	Effects correspondants sur:				
		$I_0$	10/350 1/200 0,25/100	200 – 150 – 100 – 100 100 – 75 – 50 – 50 50 – 37,5 – 25 – 25	20 – 15 – 10 – 10 100 – 75 – 50 – 50 200 – 150 – 100 – 100	Courant de foudre Induction Induction				
		$H_0$	Déduit de $I_0$ correspondant							
		<b>Tension assignée de tenue aux chocs de l'installation de puissance</b>								
2.	Définie par la catégorie de surtension I à IV pour des tensions nominales 230/400 V et 277/480 V:									
	CEI 60664-1	$U_W$	Catégorie de surtension à I à IV		6 kV – 4 kV – 2,5 kV – 1,5 kV					
3.	<b>Tenue aux chocs des installations de communication</b>									
	Recommandations UIT K.20 <sup>[3]</sup> , K.21 <sup>[4]</sup> and K.45 <sup>[5]</sup>									
4.	<b>Essais pour matériaux sans normes appropriées de produits</b>									
	Niveau de tenue des matériaux défini pour les effets conduits de foudre ( $U_I$ ):									
4.	CEI 61000-4-5	$U_{OC}$	Choc 1,2/50 μs		4 kV – 2 kV – 1 kV – 0,5 kV					
		$I_{SC}$	Choc 8/20 μs		2 kVA – 1 kVA – 0,5 kVA – 0,25 kA					
5.	<b>Essais pour matériaux non conformes aux normes de produits CEM applicables</b>									
	Niveau de tenue des matériaux défini pour les effets de foudre rayonnés ( $H$ )									
5.	CEI 61000-4-9	$H$	Choc 8/20 μs, (oscillations amorties 25 kHz, $T_P = 10 \mu s$ )		1 000 A/m – 300 A/m – 100 A/m					
	CEI 61000-4-10	$H$	Oscillations amorties 1 MHz (choc 0,2/0,5 μs, $T_P = 0,25 \mu s$ )		100 A/m – 30 A/m – 10 A/m					

Le courant de foudre  $I_0$  et le champ magnétique  $H_0$  constituent les sources électromagnétiques primaires de perturbations pour les réseaux de communication. Les courants de foudre partiels s'écoulent dans les services entrants. Ces courants et les champs magnétiques ont approximativement la même forme d'onde. Le courant de foudre à prendre en compte ici est le courant de premier coup positif  $I_F$  (généralement avec une forme d'onde de longue queue de 10/350 μs), le courant de premier coup négatif  $I_{FN}$  (forme d'onde de 1/200 μs) et les courants des coups consécutifs  $I_S$  (forme d'onde de 0,25/100 μs). Le courant de premier coup positif  $I_F$  génère le champ magnétique  $H_F$ , le courant de premier coup négatif  $I_{FN}$  génère le champ magnétique  $H_{FN}$ , et les courants des coups consécutifs  $I_S$  génèrent les champs magnétiques  $H_S$ .

Les effets d'induction magnétique sont essentiellement occasionnés par le temps de montée du champ magnétique. Comme indiqué à la Figure A.2, le temps de montée de  $H_F$  peut être caractérisé par un champ oscillatoire amorti de 25 kHz avec une valeur maximale de  $H_F/\text{MAX}$  et une durée jusqu'à la valeur maximale  $T_{P/F}$  de 10 μs. De même, le temps de montée de  $H_S$  peut être caractérisé par un champ oscillatoire amorti de 1 MHz avec une valeur maximale de  $H_S/\text{MAX}$  et une durée jusqu'à la valeur maximale  $T_{P/S}$  de 0,25 μs. De même, le temps de montée de  $H_{FN}$  peut être caractérisé par un champ oscillatoire amorti de 250 kHz avec une valeur maximale de  $H_{FN}/\text{MAX}$  et une durée jusqu'à la valeur maximale  $T_{P/FN}$  de 1 μs.

Ainsi, le champ magnétique du premier coup positif peut être caractérisé par une fréquence typique de 25 kHz, le champ magnétique du premier coup négatif peut être caractérisé par une fréquence typique de 250 kHz, et le champ magnétique des coups consécutifs peut être caractérisé par une fréquence typique de 1 MHz. Les champs magnétiques oscillatoires

amortis pour ces fréquences sont définis pour des essais dans la CEI 61000-4-9 et dans la CEI 61000-4-10.

En installant des écrans magnétiques et des parafoudres aux interfaces des ZPF, il convient de réduire l'effet du coup de foudre non amorti défini par  $I_0$  et  $H_0$  jusqu'au niveau de tenue du matériel, ou en dessous de ce niveau. Comme indiqué à la Figure A.1, il convient que le matériel résiste au champ magnétique environnant  $H_2$ , aux courants de foudre conduits  $I_2$  et aux tensions  $U_2$ .

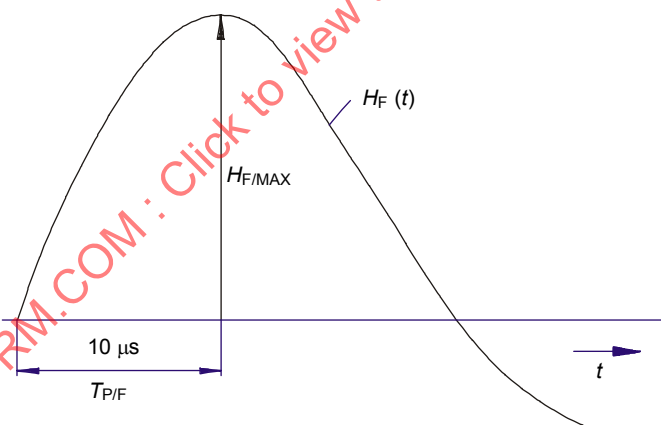
La réduction de  $I_1$  à  $I_2$  et de  $U_1$  à  $U_2$  est traitée dans l'Annexe C, la réduction de  $H_0$  à une valeur suffisamment faible de  $H_2$  étant pour sa part traitée comme suit:

Dans le cas d'un écran spatial en grille, il peut être supposé que la forme d'onde du champ magnétique dans les ZPF ( $H_1$ ,  $H_2$ ) est la même que la forme d'onde du champ magnétique à l'extérieur ( $H_0$ ).

Les formes d'ondes d'oscillation amorties illustrées à la Figure A.2 sont conformes aux essais définis dans la CEI 61000-4-9 et dans la CEI 61000-4-10 et peuvent être utilisées pour déterminer la tenue des matériaux aux champs magnétiques créés par l'élévation du champ magnétique lors du premier coup positif  $H_F$  et des coups consécutifs  $H_S$ .

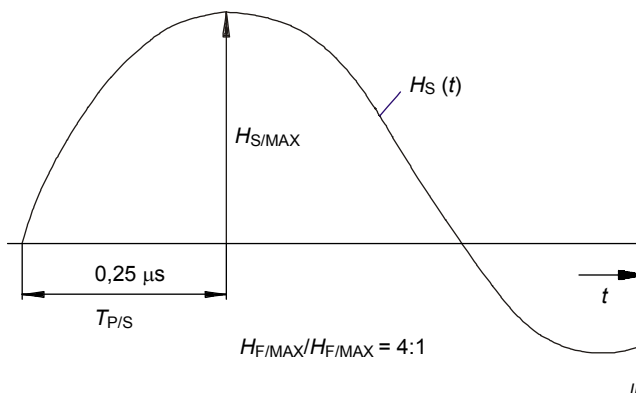
Il convient que les chocs induits dus au champ magnétique couplé à la boucle d'induction (voir Article A.5) soient inférieurs ou égaux à la tenue du matériel.

**Norme fondamentale: CEI 61000-4-9**



IEC 2781/10

**Figure A.2a – Simulation de l'élévation du champ magnétique due au premier coup positif (10/350 µs) par un seul choc 8/20 µs (oscillation amortie à 25 kHz)**

**Norme fondamentale: CEI 61000-4-10**


**Figure A.2b – Simulation de l'élévation du champ magnétique due au coup consécutif (0,25/100 µs) par des oscillations amorties de 1 MHz (chocs multiples 0,2/0,5 µs)**

NOTE 1 Bien que les définitions de la durée jusqu'à la valeur maximale  $T_p$  et du temps de montée  $T_1$  soient différentes, leurs valeurs numériques sont prises égales à celles données ici pour une approche appropriée.

NOTE 2 Le rapport des valeurs maximales est  $H_{f/Max} / H_{fn/Max} / H_{s/Max} = 4: 2: 1$

**Figure A.2 – Simulation de l'élévation du champ magnétique  
due à des oscillations amorties**

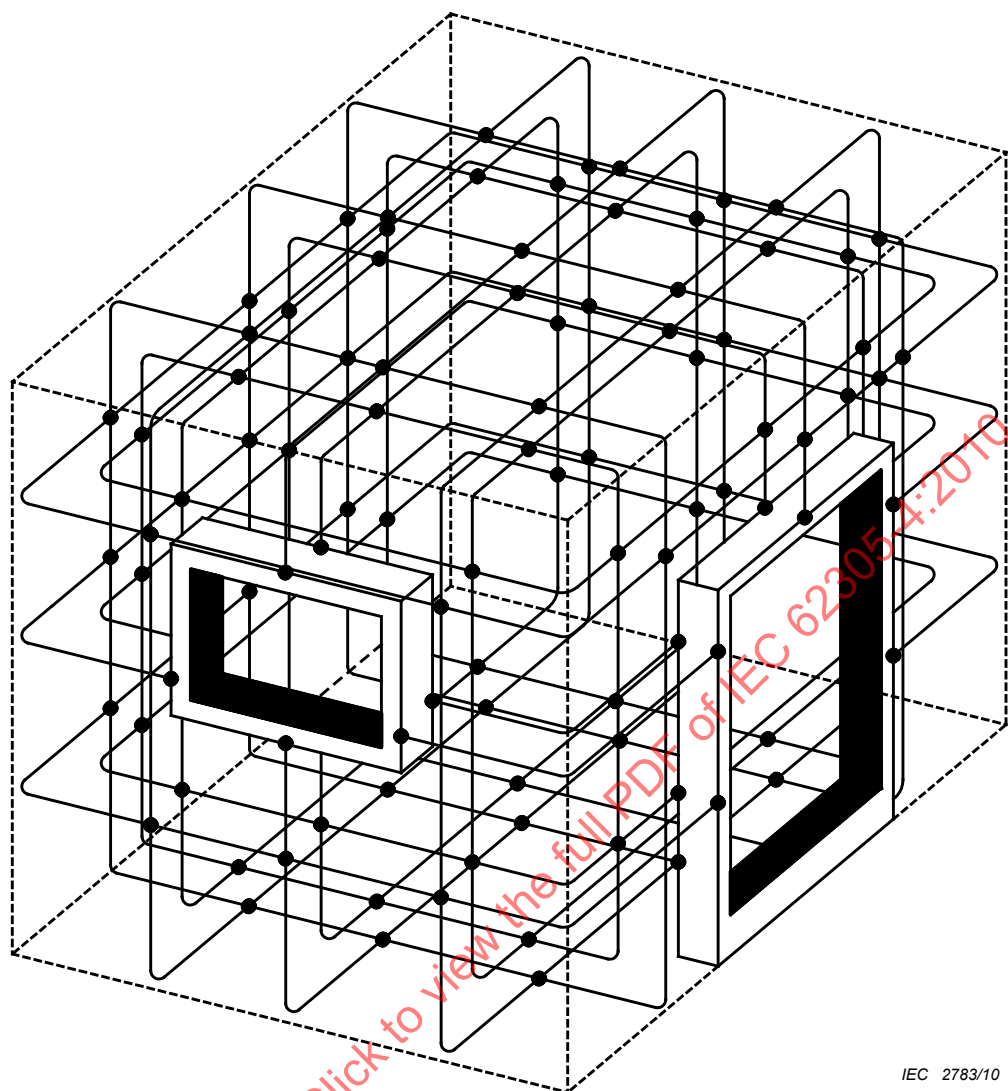
### A.3.2 Ecrans spatiaux en grille

En pratique, les écrans à large volume des ZPF sont habituellement constitués de composants naturels de la structure tels que les supports ou armatures métalliques des plafonds, murs et planchers, la charpente métallique, les toits ou façades métalliques. Ces composants constituent ensemble un écran spatial en grille. Un écran efficace requiert généralement des dimensions de mailles inférieures à 5 m.

NOTE 1 L'effet d'écran peut ne pas être pris en compte si une ZPF1 est créée par une extension normale de ZPF conformément à la CEI 62305-3 avec des dimensions de mailles et des distances typiques supérieures à 5 m. Dans le cas contraire, un bâtiment avec des ossatures métalliques de grandes dimensions et de nombreuses pièces d'étaissons en acier profilé assure un effet d'écran de grande portée.

NOTE 2 Des écrans dans les ZPF intérieures consécutives peuvent être réalisés soit par des mesures d'écran spatial, soit par des tiroirs ou armoires métalliques fermés ou par des couvertures métalliques du matériel.

La Figure A.3 montre comment, en pratique, les supports ou armatures métalliques du béton et les ossatures métalliques (pour des portes métalliques et d'éventuelles fenêtres écrantées) peuvent servir à constituer un écran à large volume pour une pièce ou un bâtiment.



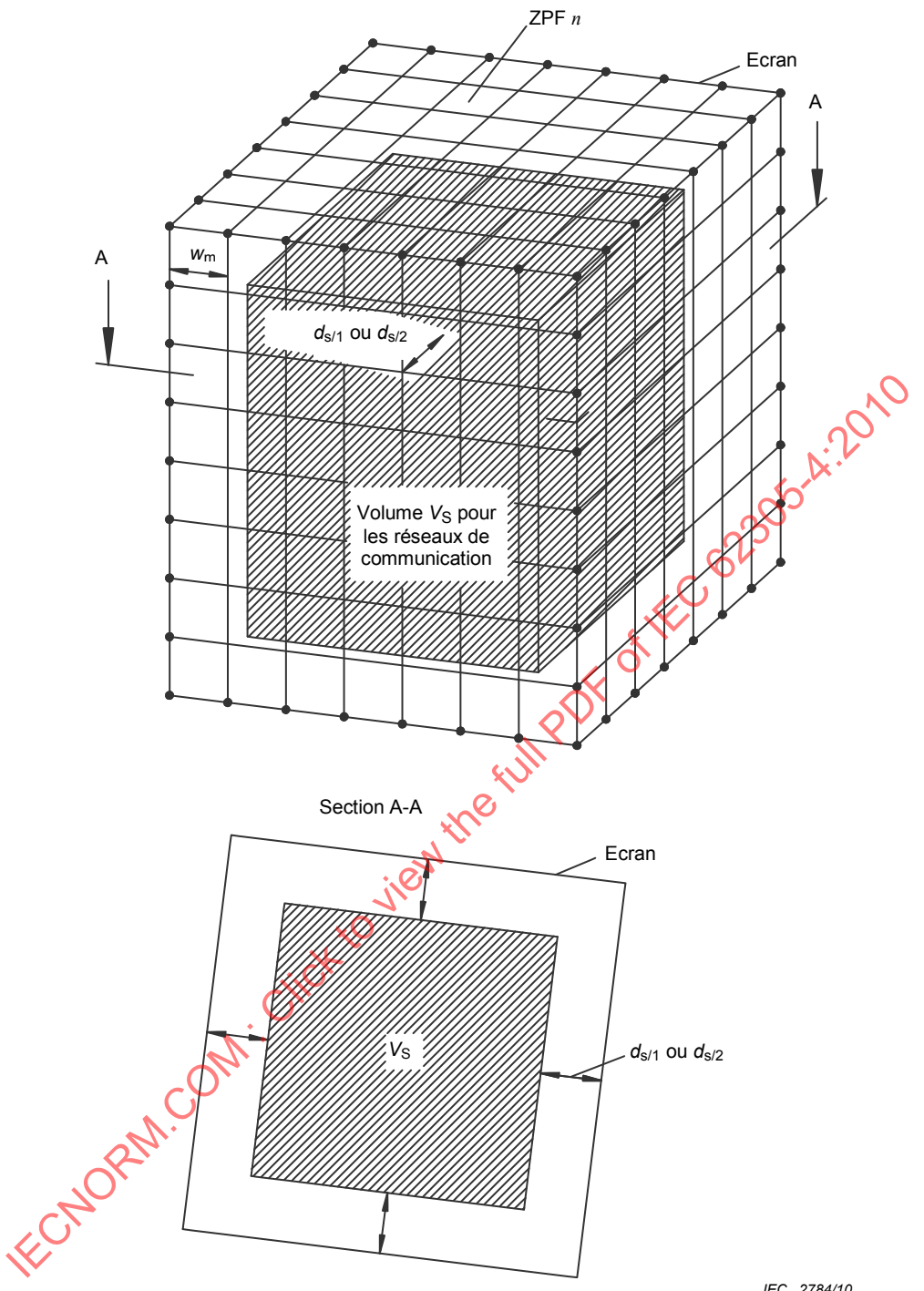
#### Légende

- soudées ou fixées sur chaque tige et aux croisements

**NOTE** En pratique, il n'est pas possible, pour des structures étendues, de réaliser une soudure ou une fixation en chaque point. Toutefois, la plupart des points sont naturellement interconnectés par des rapprochements renforcés ou par des ligatures. Une approche pratique pourrait par conséquent consister à réaliser une connexion environ tous les 1 m.

**Figure A.3 – Ecran à large volume réalisé par armatures et ossatures métalliques**

Il convient de mettre en œuvre les réseaux de communication dans des «volumes sûrs» en respectant les distances de sécurité vis-à-vis de l'écran de la ZPF (voir Figure A.4). Cela est dû aux valeurs relativement élevées du champ magnétique à proximité de l'écran engendré par l'écoulement du courant de foudre partiel dans l'écran (particulièrement dans une ZPF 1).



**NOTE** Il convient que le volume  $V_s$  conserve une distance de sécurité  $d_{s/1}$  or  $d_{s/2}$  par rapport à l'écran de ZPF n – voir l'Article A.4.

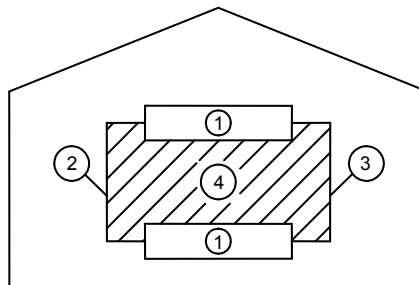
**Figure A.4 – Volume pour les réseaux de puissance et de communication dans une ZPF n intérieure**

### A.3.3 Cheminement et blindage des lignes

Les chocs induits dans les réseaux internes peuvent être réduits par des cheminements appropriés (diminuant la surface de boucle d'induction) ou par l'utilisation de câbles écrantés ou de conduits métalliques (diminuant les effets inductifs internes), ou par une association des deux (voir Figure A.5).

**Légende**

- 1 matériel
- 2 câble de communication
- 3 câble de puissance
- 4 boucle d'induction

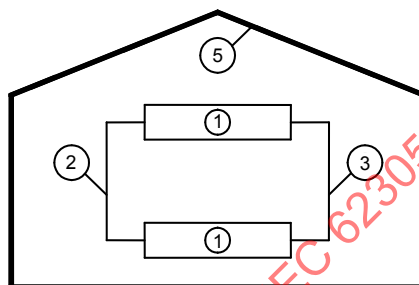


IEC 2785/10

**Figure A.5a – Système non protégé**

**Légende**

- 1 matériel
- 2 câble de communication
- 3 câble de puissance
- 5 écran spatial

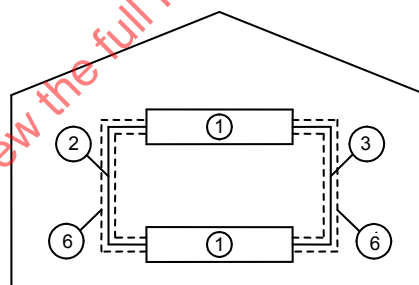


IEC 2786/10

**Figure A.5b – Réduction du champ magnétique dans une ZPF intérieure par écran spatial**

**Légende**

- 1 matériel
- 2 câble de communication
- 3 câble de puissance
- 6 écran de ligne

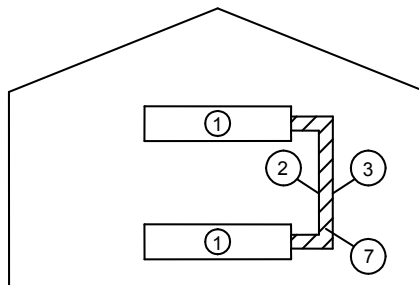


IEC 2787/10

**Figure A.5c – Réduction de l'influence du champ sur les lignes par écran**

**Légende**

- 1 matériel
- 2 câble de communication
- 3 câble de puissance
- 7 surface réduite de la boucle



IEC 2788/10

**Figure A.5d – Réduction de la surface de la boucle d'induction par cheminement approprié****Figure A.5 – Réduction des effets d'induction par des dispositions de cheminement et d'écran**

Il convient que le cheminement des câbles conducteurs connectés aux réseaux internes soit aussi proche que possible des composants métalliques du réseau d'équipotentialité. Il est avantageux d'acheminer ces câbles dans des conduits métalliques du réseau d'équipotentialité, par exemple, des conduits en U ou réseaux métalliques (voir aussi la CEI 61000-5-2<sup>[6]</sup>).

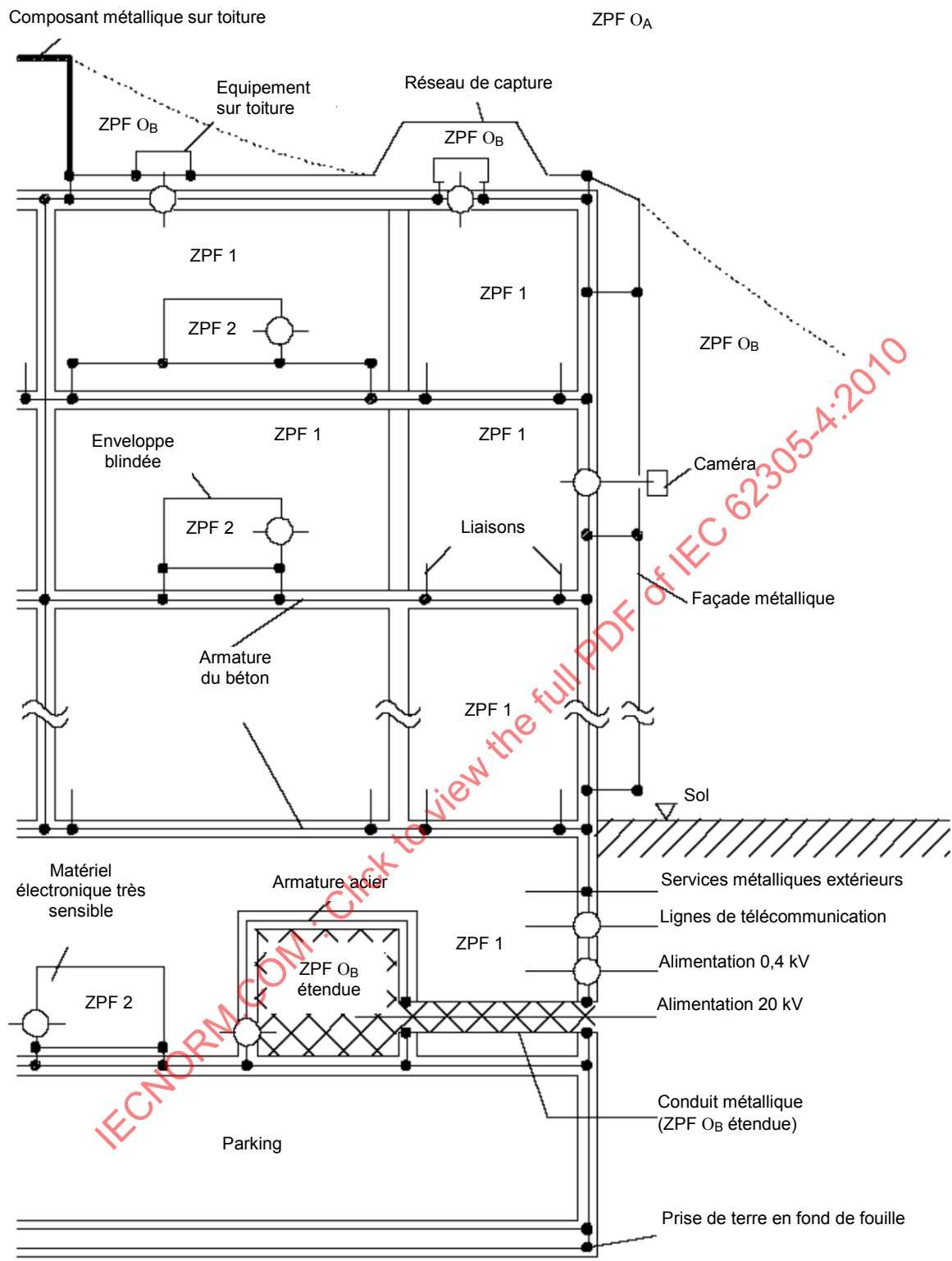
Il convient d'accorder une attention toute particulière à la mise en œuvre des câbles à proximité de l'écran d'une ZPF (particulièrement la ZPF 1), en raison de la valeur élevée des champs magnétiques à cet emplacement.

Lorsque des câbles, qui cheminent entre les structures séparées, doivent être protégés, il convient qu'ils soient dans des conduits métalliques. Il convient que ces conduits soient reliés à leurs deux extrémités aux barres d'équipotentialité des structures séparées. Si les écrans des câbles (reliés à leurs deux extrémités) sont capables de supporter le courant de foudre partiel présumé, des conduits métalliques additionnels ne sont pas nécessaires.

Les tensions et courants induits dans les boucles, formés par les installations, conduisent à des chocs en mode commun dans les réseaux internes. Les calculs de ces tensions et courants induits sont décrits à l'Article A.5.

La Figure A.6 donne un exemple d'un grand immeuble de bureaux.

- L'écran est réalisé pour la ZPF 1 par des armatures en acier et des façades métalliques et, pour les réseaux internes sensibles dans la ZPF 2, par des enveloppes blindées. Afin de réaliser un réseau d'équipotentialité maillé serré, plusieurs bornes d'équipotentialité sont prévues dans chaque local.
- La ZPF 0 est étendue à la ZPF 1 pour envelopper une alimentation de 20 kV, dans la mesure où l'installation de parafoudres du côté alimentation haute tension immédiatement à l'entrée du réseau n'a pas été possible dans ce cas particulier.



IEC 2789/10

**Légende**

- liaison équipotentielle
- O parafoudre (SPD)

**Figure A.6 – Exemple de MPF d'un immeuble de bureaux**

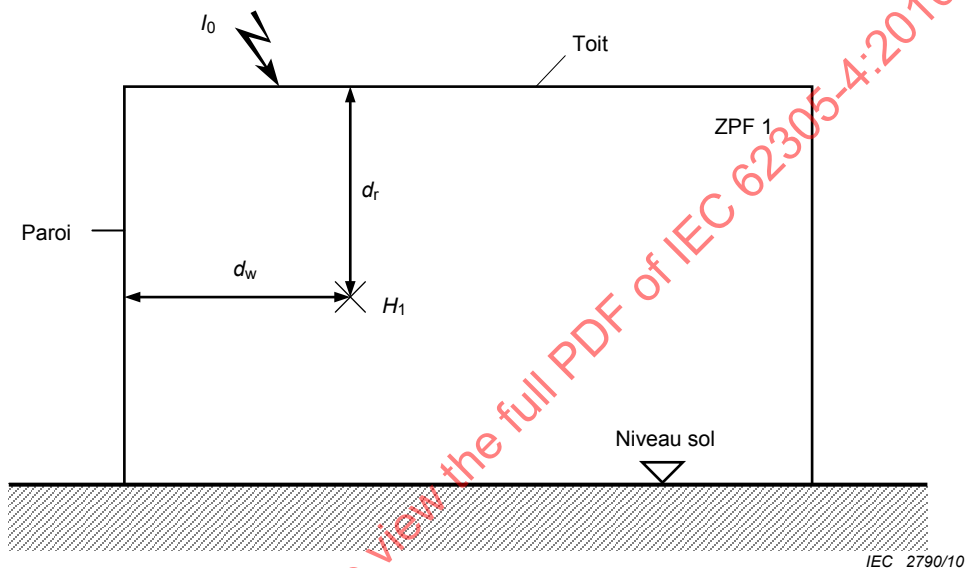
## A.4 Champ magnétique dans les ZPF

### A.4.1 Approximation du champ magnétique dans les ZPF

Si une étude théorique (A.4.2) ou expérimentale (A.4.3) de l'efficacité du blindage n'est pas effectuée, il convient de calculer l'atténuation comme suit.

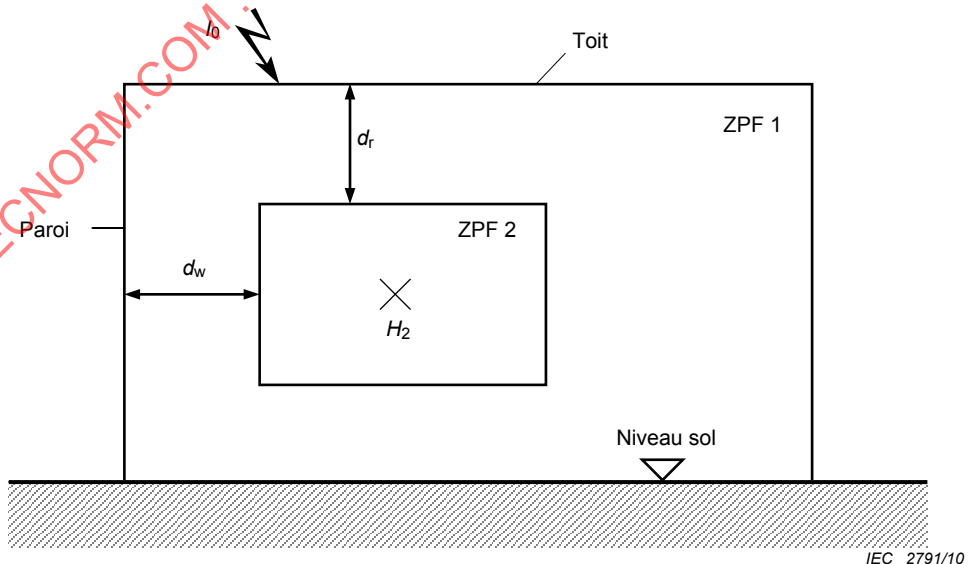
#### A.4.1.1 Ecran spatial en grille de ZPF 1 en cas de coup de foudre direct

L'écran d'un bâtiment (entourant une ZPF 1) peut être une partie du SPF extérieur et les courants dus aux coups de foudre directs s'écoulent le long de ce dernier. La Figure A.7a montre une telle situation en supposant que la foudre frappe la structure en un point arbitraire de la toiture.



NOTE Les distances  $d_w$  et  $d_r$  sont déterminées pour le point considéré.

Figure A.7a – Champ magnétique dans la ZPF 1



NOTE Les distances  $d_w$  et  $d_r$  sont déterminées pour la frontière de la ZPF 2.

Figure A.7b – Champ magnétique dans la ZPF 2

Figure A.7 – Evaluation du champ magnétique en cas de coup de foudre direct

Pour le champ magnétique  $H_1$  en un point arbitraire dans la ZPF 1, la formule suivante s'applique:

$$H_1 = k_h \times I_0 \times w_m / (d_w \times \sqrt{d_r}) \text{ (A/m)} \quad (\text{A.1})$$

où

- $d_r$  (m) est la distance la plus courte entre le point considéré et le toit de l'écran de la ZPF 1;
- $d_w$  (m) est la distance la plus courte entre le point considéré et la paroi de l'écran de la ZPF 1;
- $I_0$  (A) est le courant de foudre dans la ZPF  $0_A$ ;
- $k_h$  ( $1/\sqrt{\text{m}}$ ) est le facteur de configuration, généralement  $k_h = 0,01$ ;
- $w_m$  (m) est la taille de maille de l'écran en grille de la ZPF 1.

Le résultat de cette formule est la valeur maximale du champ magnétique dans la ZPF 1 (en tenant compte de la note ci-après):

$$- H_{1/F/MAX} = k_h \times I_{F/MAX} \times w_m / (d_w \times \sqrt{d_r}) \text{ (A/m) due au premier coup positif} \quad (\text{A.2})$$

$$- H_{1/FN/MAX} = k_h \times I_{FN/MAX} \times w_m / (d_w \times \sqrt{d_r}) \text{ (A/m) due au premier coup négatif} \quad (\text{A.3})$$

$$- H_{1/S/MAX} = k_h \times I_{S/MAX} \times w_m / (d_w \times \sqrt{d_r}) \text{ (A/m) due aux coups consécutifs} \quad (\text{A.4})$$

où

- $I_{F/MAX}$  (A) est la valeur maximale du courant du premier coup positif, choisie conformément au niveau de protection,
- $I_{FN/MAX}$  (A) est la valeur maximale du courant du premier coup négatif, choisie conformément au niveau de protection,
- $I_{S/MAX}$  (A) est la valeur maximale des courants des coups consécutifs, choisie conformément au niveau de protection.

NOTE 1 Le champ est réduit d'un facteur 2 en cas de mise en place d'un réseau d'équipotentialité maillé conformément à 5.2.

Les valeurs du champ magnétique ne sont valables que pour un volume de sécurité  $V_s$  à l'intérieur de l'écran en grille avec une distance de sécurité  $d_{s/1}$  par rapport à l'écran (voir Figure A.4):

$$d_{s/1} = w_m \times SF / 10 \text{ (m) pour } SF \geq 10 \quad (\text{A.5})$$

$$d_{s/1} = w_m \text{ (m) pour } SF < 10 \quad (\text{A.6})$$

où

$SF$  (dB) est le facteur d'écran obtenu à partir des formules du Tableau A.3;

$w_m$  (m) est la largeur de maille de l'écran en grille.

NOTE 2 Les résultats expérimentaux du champ magnétique dans une ZPF 1 avec un écran en grille indiquent que l'augmentation du champ magnétique à proximité de l'écran est inférieure à la valeur obtenue avec les équations ci-dessus.

## EXEMPLE

A titre d'exemple, trois écrans en grille en cuivre dont les dimensions sont indiquées au Tableau A.2, et ayant une taille moyenne de maille de  $w_m = 2 \text{ m}$  sont étudiés (voir Figure A.10). Cela donne une distance de sécurité  $d_{s/1} = 2,0 \text{ m}$  définissant le volume de sécurité  $V_s$ . Les valeurs pour  $H_{1/MAX}$  valables dans le volume  $V_s$  sont calculées pour  $I_{0/MAX} = 100 \text{ kA}$  et indiquées dans le Tableau A.2. La distance jusqu'au toit correspond à la moitié de la hauteur:

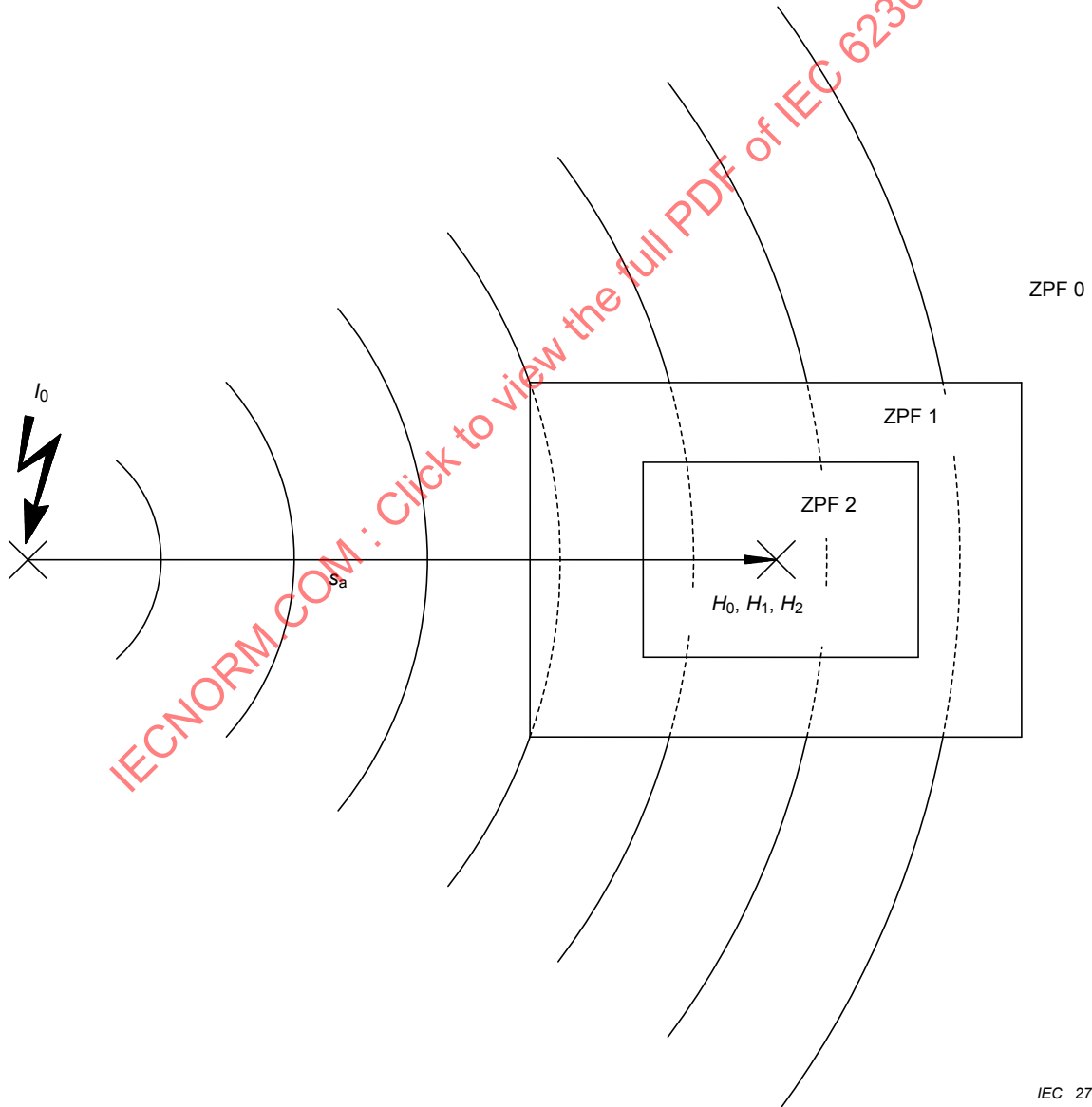
$d_r = H/2$ . La distance jusqu'à la paroi correspond à la moitié de la longueur:  $d_w = L/2$  (centre) ou égale à:  $d_w = d_{s/1}$  (cas le plus défavorable à proximité de la paroi).

**Tableau A.2 – Exemples pour  $I_{0/\text{MAX}} = 100 \text{ kA}$  et  $w_m = 2 \text{ m}$**

Type d'écran voir Figure A.10	$L \times W \times H$ m	$H_{1/\text{MAX}}$ (centre) A/m	$H_{1/\text{MAX}} (d_w = d_{s/1})$ A/m
1	$10 \times 10 \times 10$	179	447
2	$50 \times 50 \times 10$	36	447
3	$10 \times 10 \times 50$	80	200

#### A.4.1.2 Ecran spatial en grille de la ZPF 1 en cas de coup de foudre proche

Dans le cas d'un coup de foudre proche, la situation est présentée à la Figure A.8. Le champ magnétique incident autour du volume blindé de la ZPF 1 peut être assimilé à une onde plane.



**Figure A.8 – Evaluation du champ magnétique dans le cas de coup de foudre proche**

Le facteur d'écran  $SF$  des écrans spatiaux en grille pour une onde plane est donné dans le Tableau A.3 ci-après.

**Tableau A.3 – Atténuation magnétique des écrans spatiaux en grille dans le cas d'une onde plane**

Matériaux	$SF$ (dB) <sup>a,b</sup>	
	25 kHz (valable pour le premier coup positif)	1 MHz (valable pour les coups consécutifs) ou 250 kHz (valable pour le premier coup négatif)
Cuivre ou aluminium	$20 \times \log (8,5 / w_m)$	$20 \times \log (8,5 / w_m)$
Acier <sup>c</sup>	$20 \times \log \left[ (8,5 / w_m) / \sqrt{1 + 18 \times 10^{-6} / r_c^2} \right]$	$20 \times \log (8,5 / w_m)$

$w_m$  largeur de maille de l'écran en grille (m).  
 $r_c$  rayon d'une tige de l'écran en grille (m).

<sup>a</sup>  $SF = 0$  si les résultats obtenus par les formules sont négatifs.

<sup>b</sup>  $SF$  augmente de 6 dB, si un réseau d'équipotentialité maillé est mis en œuvre conformément à 5.2.

<sup>c</sup> Perméabilité  $\mu_r \approx 200$ .

Le champ magnétique incident  $H_0$  est calculé ainsi:

$$H_0 = I_0 / (2 \times \pi \times s_a) \text{ (A/m)} \quad (\text{A.7})$$

où

$I_0$  (A) est le courant de foudre dans la ZPF 0<sub>A</sub>;

$s_a$  (m) est la distance entre le point d'impact et le centre du volume protégé.

Par suite, on peut calculer la valeur maximale du champ magnétique dans la ZPF 0:

$$- H_{0/F/MAX} = I_{F/MAX} / (2 \times \pi \times s_a) \text{ (A/m)} \quad \text{due au premier coup positif} \quad (\text{A.8})$$

$$- H_{0/FN/MAX} = I_{FN/MAX} / (2 \times \pi \times s_a) \text{ (A/m)} \quad \text{due au premier coup négatif} \quad (\text{A.9})$$

$$- H_{0/S/MAX} = I_{S/MAX} / (2 \times \pi \times s_a) \text{ (A/m)} \quad \text{due aux coups consécutifs} \quad (\text{A.10})$$

où

$I_{F/MAX}$  (A) est la valeur maximale du courant de foudre du premier coup positif, choisie conformément au niveau de protection retenu;

$I_{FN/MAX}$  (A) est la valeur maximale du courant de foudre du premier coup négatif, choisie conformément au niveau de protection retenu;

$I_{S/MAX}$  (A) est la valeur maximale du courant de foudre des coups consécutifs, choisie conformément au niveau de protection retenu.

La réduction de  $H_0$  à  $H_1$  dans la ZPF 1 peut être donnée par les formules des valeurs de  $SF$  indiquées dans le Tableau A.3:

$$H_{1/MAX} = H_{0/MAX} / 10^{SF/20} \text{ (A/m)} \quad (\text{A.11})$$

où

$SF$  (dB) est le facteur d'écran obtenu à partir des formules du Tableau A.3;

$H_{0/MAX}$  (A/m) est le champ magnétique dans la ZPF 0.

Par suite, on peut calculer la valeur maximale du champ magnétique dans la ZPF 1:

$$- H_{1/F/MAX} = H_{0/F/MAX} / 10^{SF/20} \text{ (A/m)} \quad \text{due au premier coup positif} \quad (\text{A.12})$$

$$- H_{1/FN/MAX} = H_{0/FN/MAX} / 10^{SF/20} \text{ (A/m)} \quad \text{due au premier coup négatif} \quad (\text{A.13})$$

$$- H_{1/S/\text{MAX}} = H_{0/S/\text{MAX}} / 10^{\text{SF}/20} \text{ (A/m)} \quad \text{due aux coups consécutifs} \quad (\text{A.14})$$

Ces valeurs de champ magnétique ne sont valables que pour un volume de sécurité  $V_S$  à l'intérieur de l'écran en grille avec une distance de sécurité  $d_{s/2}$  par rapport à l'écran (voir Figure A.4).

$$- d_{s/2} = w_m^{\text{SF}/10} \text{ (m)} \quad \text{pour } \text{SF} \geq 10 \quad (\text{A.15})$$

$$- d_{s/2} = w_m \text{ (m)} \quad \text{pour } \text{SF} < 10 \quad (\text{A.16})$$

où

$\text{SF}$  (dB) est le facteur d'écran obtenu à partir des formules du Tableau A.3;

$w_m$  (m) est la largeur de maille de l'écran en grille.

Pour des informations complémentaires sur le calcul du champ magnétique dans les écrans en grille en cas de coups de foudre proches, voir A.4.3.

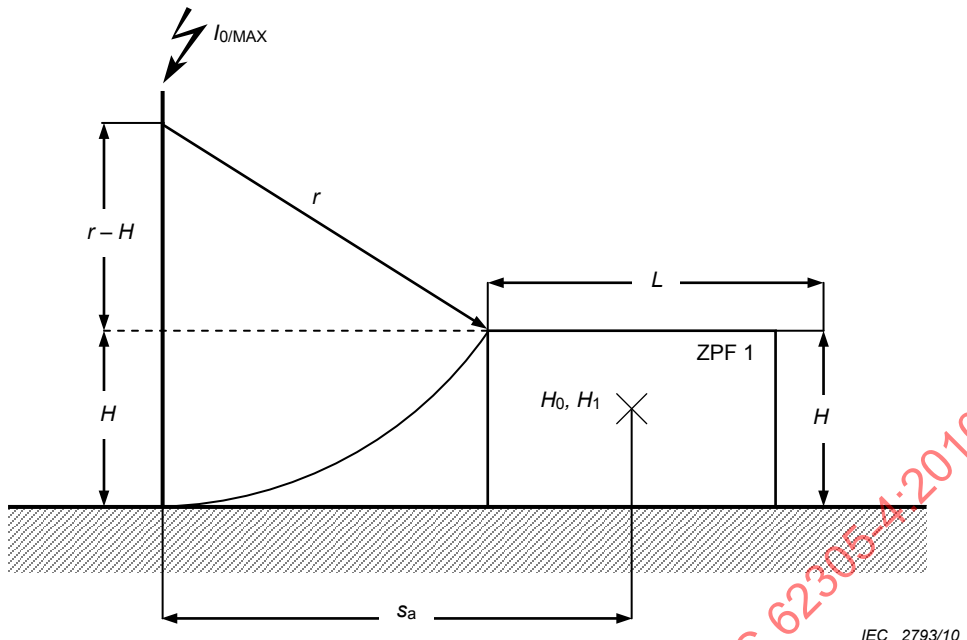
## EXEMPLES

Le champ magnétique  $H_{1/\text{MAX}}$  dans la LPZ 1 dans le cas d'un impact de foudre proche dépend du courant de foudre  $I_{0/\text{MAX}}$ , du facteur d'écran  $\text{SF}$  de la LPZ 1 et de la distance  $s_a$  entre le canal de foudre et le centre de la LPZ 1 (voir Figure A.8).

Le courant de foudre  $I_{0/\text{MAX}}$  dépend du niveau de protection choisi (voir la CEI 62305-1). Le facteur d'écran  $\text{SF}$  (voir Tableau A.3) est essentiellement fonction de la largeur de maille de l'écran en grille. La distance  $s_a$  est:

- une distance donnée entre le centre de la ZPF 1 et un objet proche (par exemple, un mât) dans le cas d'un impact de foudre sur cet objet; ou
- la distance minimale entre le centre de la ZPF 1 et le canal de foudre dans le cas d'un impact de foudre sur le sol proche de la ZPF 1.

Le cas le plus défavorable est alors le courant de foudre le plus élevé  $I_{0/\text{MAX}}$  associé à la distance  $s_a$  la plus faible. Comme indiqué à la Figure A.9, cette distance minimale  $s_a$  est fonction de la hauteur  $H$  et de la longueur  $L$  (ou de la largeur  $W$ ) de la structure (ZPF 1), et du rayon de la sphère fictive,  $r$ , correspondant à  $I_{0/\text{MAX}}$  (voir Tableau A.4), défini par le modèle électro-géométrique (voir l'Article A.4 de la CEI 62305-1:2010).



**Figure A.9 – Distance  $s_a$  en fonction du rayon de la sphère fictive et des dimensions de la structure**

La distance peut être calculée comme suit:

$$s_a = \sqrt{2 \times r \times H - H^2} + L/2 \quad \text{pour } H < r \quad (\text{A.17})$$

$$s_a = r + L / 2 \quad \text{pour } H \geq r \quad (\text{A.18})$$

NOTE Pour des distances inférieures à cette valeur minimale, la foudre frappe directement la structure.

Trois écrans typiques peuvent être définis dont les dimensions sont données au Tableau A.5. Pour un écran en grille en cuivre, on admet une taille moyenne de maille  $w_m = 2$  m. Cela donne un facteur d'écran SF = 12,6 dB et une distance de sécurité  $d_{s/2} = 2,5$  m, définissant le volume de sécurité  $V_s$ . Les valeurs de  $H_{0/\text{MAX}}$  et  $H_{1/\text{MAX}}$ , supposées être valables en tout point du volume  $V_s$  sont calculées pour  $I_{0/\text{MAX}} = 100$  kA et indiquées au Tableau A.5.

**Tableau A.4 – Rayon de la sphère fictive correspondant au courant maximal de foudre**

Niveau de protection	Courant de foudre maximal $I_{0/\text{MAX}}$ kA	Rayon de la sphère fictive, r m
I	200	313
II	150	260
III - IV	100	200

**Tableau A.5 – Exemples pour  $I_{0/\text{MAX}} = 100$  kA et  $w_m = 2$  m correspondant à SF = 12,6 dB**

Type d'écran voir Figure A.10	$L \times W \times H$ m	$s_a$ m	$H_{0/\text{MAX}}$ A/m	$H_{1/\text{MAX}}$ A/m
1	$10 \times 10 \times 10$	67	236	56
2	$50 \times 50 \times 10$	87	182	43
3	$10 \times 10 \times 50$	137	116	27

#### A.4.1.3 Ecrans spatiaux en grille pour une ZPF 2 ou d'ordre supérieur

Pour les écrans en grille entourant des ZPF 2 ou d'ordre supérieur, aucun courant de foudre partiel significatif ne s'écoulera. C'est pourquoi, en première approche, la réduction de  $H_n$  à  $H_{n+1}$  dans la ZPF  $n+1$  peut être calculée comme indiqué en A.4.1.2, pour les coups de foudre proches:

$$H_{n+1} = H_n / 10^{SF/20} \text{ (A/m)} \quad (\text{A.19})$$

où

$SF$  (dB) est le facteur d'écran donné dans le Tableau A.3;

$H_n$  (A/m) est le champ magnétique dans la ZPF  $n$  (A/m).

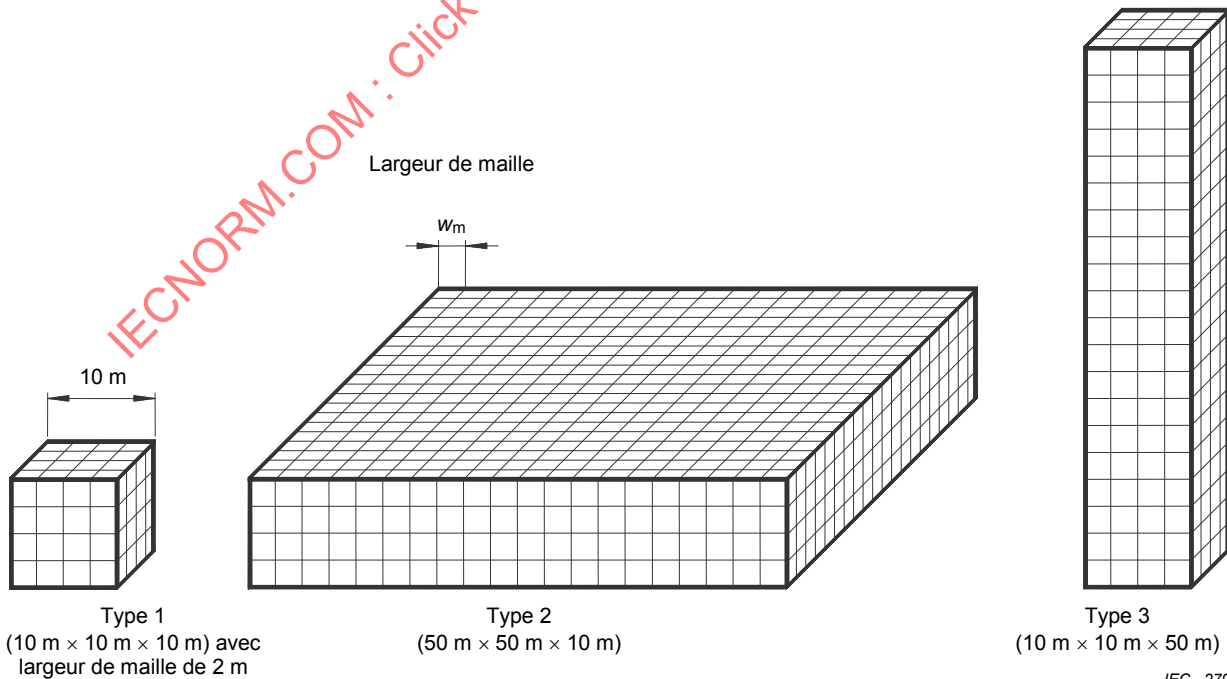
Si  $H_n = H_1$ , cette valeur du champ peut être déterminée comme suit:

- en cas de coups de foudre directs sur l'écran en grille de la ZPF 1, voir A.4.1.1 et la Figure A.7b,  $d_w$  et  $d_r$  étant les distances entre l'écran de la ZPF 2 et respectivement les parois et le toit.
- en cas de coups de foudre proches de la ZPF 1, voir A.4.1.2 et la Figure A.8.

Ces valeurs du champ magnétique ne sont valables que pour un volume de sécurité  $V_S$  dans l'écran en grille défini avec une distance de sécurité  $d_{s/2}$  par rapport à l'écran (tel que défini en A.4.1.2 et illustré à la Figure A.4).

#### A.4.2 Evaluation théorique du champ magnétique dû aux coups de foudre directs

En A.4.1.1, les formules d'évaluation du champ magnétique  $H_{1/\text{MAX}}$  se fondent sur les calculs numériques du champ magnétique dans le cas de trois écrans en grille typiques représentés à la Figure A.10. Pour ces calculs, un coup de foudre sur un des rebords du toit est supposé. Le canal de foudre est simulé par une tige conductrice verticale d'une longueur de 100 m au-dessus du toit. Le sol est simulé par un plateau conducteur idéal.

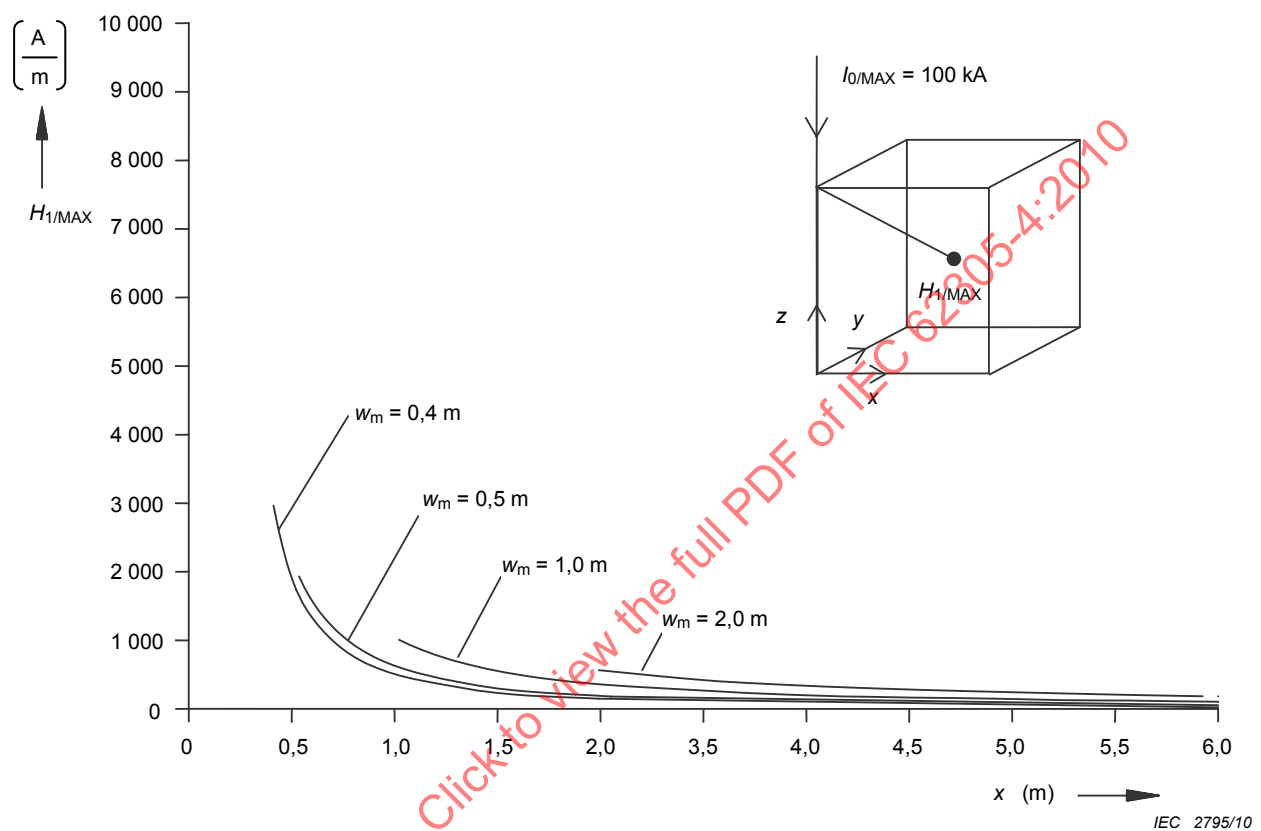


**Figure A.10 – Types de volumes d'écrans en grille de grandes dimensions**

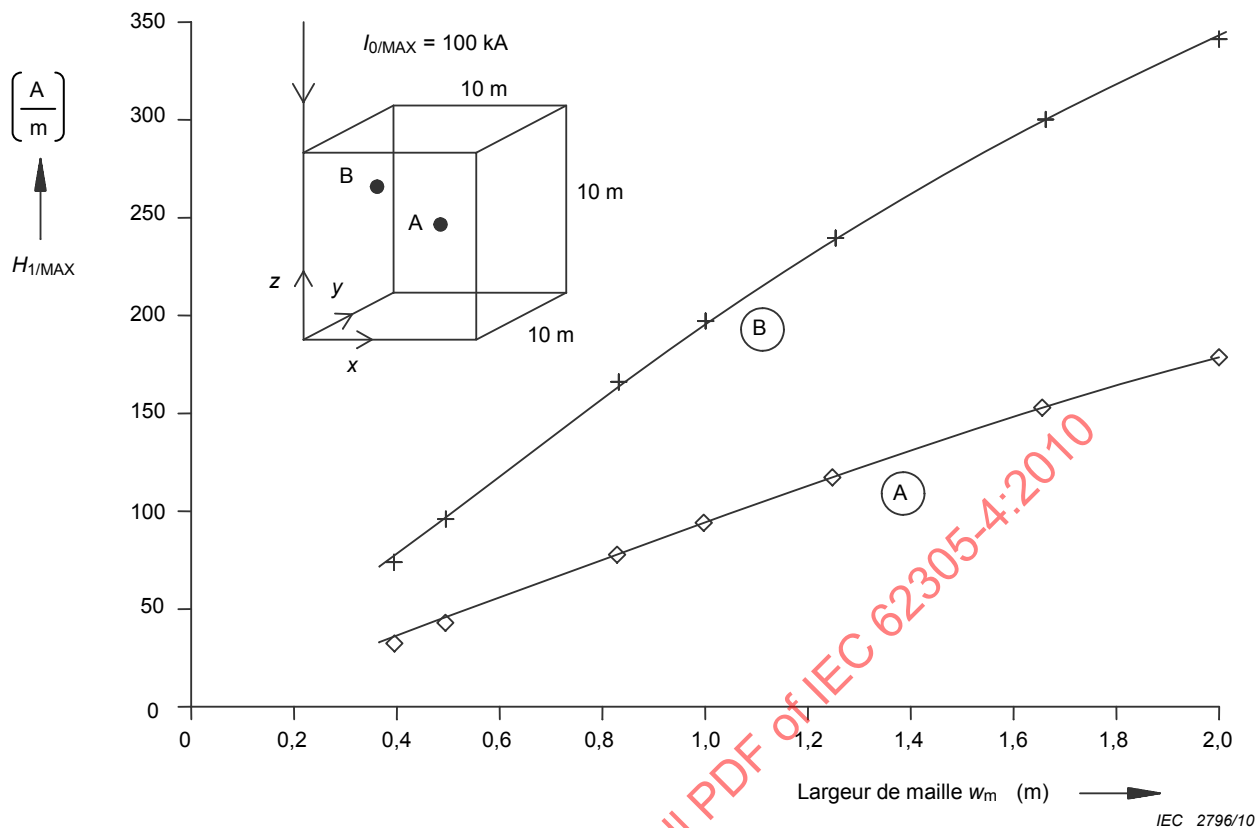
Pour le calcul, le couplage magnétique de toute tige de l'écran en grille, y compris toutes les autres tiges et le canal de foudre simulé, est pris en considération, cela aboutissant à un

système d'équations permettant de calculer la distribution du courant de foudre dans la grille. Le champ magnétique dans l'écran se déduit de la distribution du courant de foudre. Il est supposé que la résistance des tiges peut être négligée. Ainsi, la distribution du courant dans l'écran en grille et le champ magnétique sont indépendants de la fréquence. Le couplage capacitif est également négligé de manière à éviter les effets transitoires.

Pour l'écran de type 1 présenté à la Figure A.10, certains résultats sont présentés dans les Figures A.11 et A.12.



**Figure A.11 – Champ magnétique  $H_{1/\text{MAX}}$  dans un écran en grille de type 1**



**Figure A.12 – Champ magnétique  $H_{1/\text{MAX}}$  dans un écran en grille de type 1 selon la largeur de maille**

NOTE 1 Les résultats expérimentaux du champ magnétique dans une ZPF 1 avec un écran en grille indiquent que l'augmentation du champ magnétique à proximité de l'écran est inférieure à la valeur obtenue avec les équations ci-dessus.

NOTE 2 Les résultats du calcul ne sont valables que pour des distances  $d_{s/1} > w_m$  par rapport à l'écran en grille.

Dans tous les cas, il est supposé un courant de foudre maximal  $I_{0/\text{MAX}} = 100 \text{ kA}$ . Dans les deux Figures A.11 et A.12,  $H_{1/\text{MAX}}$  est le champ magnétique maximal en un point dû à ses composantes  $H_x$ ,  $H_y$  et  $H_z$ :

$$H_{1/\text{MAX}} = \sqrt{H_x^2 + H_y^2 + H_z^2} \quad (\text{A.20})$$

Dans la Figure A.11,  $H_{1/\text{MAX}}$  est calculé sur une ligne droite ayant pour origine le point d'impact ( $x = y = 0$ ,  $z = 10 \text{ m}$ ) et aboutissant au centre du volume ( $x = y = 5 \text{ m}$ ,  $z = 5 \text{ m}$ ).  $H_{1/\text{MAX}}$  est tracé en fonction de la coordonnée sur l'axe des  $x$  pour chaque point sur cette ligne. Le paramètre est la largeur de la maille  $w_m$  de l'écran en grille.

Dans la Figure A.12,  $H_{1/\text{MAX}}$  est calculé pour deux points de l'écran (point A:  $x = y = 5 \text{ m}$ ,  $z = 5 \text{ m}$ ; point B:  $x = y = 3 \text{ m}$ ,  $z = 7 \text{ m}$ ). Le résultat est tracé en fonction de la largeur de la maille  $w_m$ .

Les deux figures montrent l'influence des principaux paramètres de la distribution du champ magnétique à l'intérieur de l'écran en grille: la distance par rapport à la paroi ou au toit, et la largeur de maille.

Dans la Figure A.11, il convient d'observer que le long des autres lignes dans le volume d'écran, il peut exister des croisements avec l'abscisse et des changements de signe des

composantes du champ magnétique  $H_{1/\text{MAX}}$ . Les formules de distribution données en A.4.1.1 sont ainsi des approximations du premier ordre de champs magnétiques réels beaucoup plus complexes dans un écran en grille.

#### A.4.3 Evaluation expérimentale du champ magnétique dû à un coup de foudre direct

Les champs magnétiques dans des structures avec écrans peuvent également être déterminés par des mesures expérimentales. La Figure A.13 montre une proposition de simulation d'un coup de foudre direct en un point arbitraire d'une structure avec écran, en utilisant un générateur de courant de foudre. De tels essais peuvent être effectués à l'aide d'une source de courant de foudre simulé de faible niveau, avec toutefois la même forme d'onde représentative que la décharge de foudre réelle.

IECNORM.COM : Click to view the full PDF of IEC 62305-4:2010